



جمهوری اسلامی ایران  
وزارت صنایع و معادن

## طرح اکتشاف استانها

طرح «اکتشافات مقدماتی طلا و تنگستن در مناطق  
جنوب شرق داویجان و غرب سامن در ورقه صد هزار  
ملایر واقع در استان همدان»

### جلد اول

«اکتشافات مقدماتی طلا و تنگستن غرب سامن»

مشاور: مهندسین مشاور زرناپ اکتشاف

سال: ۱۳۸۴

کارفرما:

سازمان توسعه و نوسازی معادن و صنایع معدنی ایران

با همکاری:

سازمان زمین‌شناسی و اکتشافات معدنی کشور

سازمان مدیریت و برنامه‌ریزی کشور

سازمان صنایع و معادن استان همدان

مجری:

شرکت تهیه و تولید مواد معدنی ایران

(شرکت تحقیقات و کاربرد مواد معدنی ایران)

## تشکر و قدردانی

مهندسين مشاور زرناب اكتشاف در راستاي اجرای طرح اكتشاف استانها، "اكتشافات مقدماتي طلا و تنگستان در منطقه جنوب شرق داويرجان و غرب سامن" از مساعدتها و پشتيبانيهاي مسئولين محترم مؤسسه تحقیقات و کاربرد مواد معدني بهره مند شده که بدینوسيله از ایشان قدردانی به عمل می آيد:

- از جناب آقای مهندس هدايتی مدیریت محترم مؤسسه تحقیقات و کاربرد مواد معدنی که با ارائه نظرات ارزشمند خود در مراحل مختلف راهگشای بسياري از مشکلات بوده اند، بدینوسيله از ایشان صميمانه سپاسگزاری می گردد.
  - از جناب آقای مهندس مهرعلی اقبالی مسئول بخش اكتشافات مؤسسه تحقیقات بدلیل زحمات بی شائبه قدردانی می گردد.
  - از ناظر محترم جناب آقای دکتر نعمت الله رشید نژاد عمران و همچنین جناب آقای مهندس زرندي که در تمامی مراحل عملیات صحرایی و دفتری با تجارب ارزنده خویش راهنماییهاي ارزشمندی در زمینه پیشبرد پروژه و رفع نقاط آن ارائه نمودند، سپاسگزاری می شود.
- مهندسين مشاور زرناب اكتشاف** اميد دارد که با اجرای اين پروژه توانسته باشد قدمي هر چند ناچيز در شناسايي پتانسيلهای معدنی کشور عزيzman در استان همدان برداشته باشد.

مديريت و کارشناسان

مهندسين مشاور زرناب اكتشاف

## چکیده

منطقه اکتشافی سامن بین طول های جغرافیایی  $30^{\circ} 48' 48''$  و  $34^{\circ} 15'$  قرار دارد. مطالعات اکتشافی این ناحیه با روش کانیهای سنگین و در محدوده ای برابر با ۵۶ کیلومتر مربع انجام گردیده علاوه بر آن، تهیه نقشه زمین شناسی با مقیاس ۱:۲۰،۰۰۰ در سطحی برابر با ۷۷ کیلومتر مربع، حفر ۴ تراشه به متراث کلی ۱۴۱ متر، برداشت نمونه از تراشه ها (۴۷ عدد) و برداشت نمونه از رخنمونهای سنگی (۵۷ عدد) نیز در برنامه اکتشافی قرار گرفت.

بخش اعظم اطلاعات اکتشافی از ۱۰۰ نمونه کانی سنگین بدست آمده که در میان آنها ۲۱ نمونه حاوی ذرات طلا (از ۱ تا ۷ ذره) و ۷۴ نمونه حاوی شلیت (از ۰،۰۱ تا ۱۵۳ ppm) شناسایی شدند. طلا با شلیت و پیریت همبستگی نشان نداده و همبستگی آن با پیریت اکسید منفی میباشد، بیشترین همبستگی طلا با مجموعه کانیهای حاوی سرب و روی بوده است.

طول ذرات طلا از حداقل ۱۰۰ تا حداقل ۱۷۰۰ میکرون و متوسط آن ۲۹۸ میکرون برآورد شده که نشان از درشت بودن قابل توجه ذرات و نزدیکی به منشا کانی سازی است.

منطقه شمالی - مرکزی محدوده سامن از دیدگاه حضور کانیهای سنگین طلا و شلیت در اولویت قرار گرفته است. حدود یک چهارم این منطقه در جنوب توسط توده نفوذی و بقیه توسط واحدهایی از هورنفلس، شیست، مرمر و در بخشهای بسیار کوچکی از اسکارن پوشیده شده است.

نمونه های برداشت شده از ۴ تراشه حفر شده در منطقه اسکارن انجیره نشان از تمرکز نسبی (نه به معنای کانی سازی اقتصادی) عناصر طلا، مس، سرب، روی، ارسنیک، بیسموت، آنتیموان، قلع، تنگستن و مولیبدن در واحد اسکارنی دارد. مقادیر ماکزیمم و میانگین طلا به ترتیب ۱۴۹ و ۱۹ میلی گرم در تن و همین مقادیر در مورد تنگستن به ترتیب ۳۹۹ و ۵۲ گرم در تن بوده است.

در مرحله اول و همچنین در مرحله کنترل ناهنجاری تعدادی نمونه سنگی (عمدتاً مینرالیزه) برداشت گردید و از میان آنها ۲۷ نمونه آنالیز شده که نمونه های مرتبط با رگه های سیلیسی و اسکارنها غنی شدگی متمایزی را نشان داده اند.

نمونه هایی که بیشترین مقدار طلا را داشته (۵۴۶ و ۵۲۳ میلی گرم در تن) از نمونه های رگه های سیلیسی در شرق و شمال شرق منطقه بوده اند.

محدوده هایی که بیشترین مجموعه اطلاعات (نمونه های کانی سنگین - نمونه های مینرالیزه - مقاطع صیقلی) را در بر داشته اند در قالب ۶ محدوده بررسی شده و انطباق یا عدم انطباق نتایج در محیط های مختلف مورد بررسی قرار گرفته است. تقریباً در تمام مناطق، عدم انطباق بین عیار مس، سرب و روی در نمونه های مینرالیزه با نتایج کانیهای سنگین مرتبط با آنها مشاهده شده است. اما شواهد کانی سازی به نحو بارزی در نمونه های صیقلی گزارش شده است. لازم به ذکر است که نشانی از طلا

در نمونه‌های صیقلی دیده نشده است.

در سایر مطالعات محرز شده است که کانی‌سازی طلا و تا حدودی تنگستن در ارتباط با جایگیری توده نفوذی در سنگ‌های میزبان کربناته و ماسه سنگی است. غنی شدگی نسبی طلا در واحدهای اسکارنی ترانشه‌ها و رگه‌های سیلیسی و اسکارنهای پراکنده در سطح منطقه دلیلی بر این مدعاست. بنابراین اثرات سیالات هیدروترمالی ناشی از توده نفوذی در کانی‌سازی در این واحدهای مشخص شده است. زونهای شکستگی نسبتاً گسترده‌ای که بشكل یک ساختار حلقوی و گسلهای شعاعی بخش اعظمی از منطقه را تحت تاثیر قرار داده نیز میتواند معبری برای گذر سیالات هیدروترمالی و مکان مناسبی برای کانی‌سازی باشد.

از نتایج آنالیز ICP ۱۷ نمونه غیر آلت‌هه در بررسیهای تفریق ماگمایی، شناخت نسبی گرانیتهای مولد کانی‌سازی، درجه اکسیداسیون ماگما، رابطه بین تفریق و اکسیداسیون در ماگماهای میزبان ذخایر کانساری و نهایتاً جایگاه تکتونیکی و تشکیل توده‌های نفوذی استفاده شده است. نتایج بدست آمده بصورت خلاصه در زیر آمده است:

- تفریق در توده گرانیتوئیدی سامن در حد متوسط تا کم صورت گرفته است.
- توده گرانیتوئیدی سامن در سری مگنتیتی قرار گرفته است. (بر اساس محاسبه درجه اکسیداسیون ماگما و محاسبه رابطه بین تفریق و اکسیداسیون ماگما)
- توده نفوذی سامن میتواند تاحدودی مولد ذخایر طلا – بیسموت باشد (بیسموت در رگه‌های سیلیسی انجیره تا حد اکثر  $2130 \text{ ppm}$  عیار داشته است) اما میزان حداکثر عیار طلا تنها در دو نمونه (دو رگه سیلیسی در شرق و شمال شرق منطقه) اندازی شده است.
- نسبت  $\text{Ag}/\text{Au}$  در اسکارن انجیره در حدود  $20$  می باشد، در حالیکه این نسبت در ذخایر مشابه در دنیا به حدود  $1$  می رسد.
- توده گرانیتوئیدی سامن دارای خصوصیات گرانیتهای درون قاره (WPG) میباشد.

در مبحث مدلسازی ژئوشیمیایی کانسار و با توجه به نتایج آنالیز نمونه‌های مینرالیزه، محیط اسکارنی و رگه‌های سیلیسی بعنوان مناطق مستعد کانی‌سازی شناخته شده است. بر مبنای مجموعه عناصر موجود در اسکارن‌ها و رگه‌های سیلیسی و عیار جالب توجه آنها تیپ کانی‌سازی منطقه را میتوان از نوع کانی‌سازی Proximal Skarn و در اعمق کم در نظر داشت. مجموعه عناصر Cu-Bi-Au- $\text{Zn}(\text{Ag},\text{As},\text{Sb})$  معروف این نوع کانی‌سازی می‌باشد. جهت ادامه عملیات اکتشافی مناطقی در راستای تهیه نقشه زمین شناسی و اکتشافات ژئوشیمیایی با مقیاس  $1:50000$  همراه با حفر ترانشه و چاهک پیشنهاد شده است.

۱	فصل اول (کلیات)
۲	۱-۱- مقدمه
۲	۱-۲- موقعیت جغرافیایی، آب و هوا و راههای دسترسی
۴	۱-۳- ژئومورفولوژی منطقه
۴	۱-۴- جایگاه زمین‌شناسی و پدیده‌های مرتبط با زایش طلا در منطقه
۵	۱-۴-۱- واحدهای زمین‌شناسی شایع در منطقه
۶	۱-۴-۱-۱- واحد Jph
۷	۱-۴-۱-۲- واحد TRI
۷	۱-۴-۱-۳- واحد Sch,ms
۷	۱-۴-۱-۴- واحد TRm
۸	۱-۴-۱-۵- واحد g-gn (توده گرانیت-گنیس)
۸	۱-۴-۱-۶- واحد gd (توده گرانیتوئیلی)
۸	۱-۴-۱-۷- واحد S.Sch (شیست لکه دار)
۸	۱-۴-۱-۸- واحد h (هورنفلس)
۹	۱-۴-۱-۹- واحد Sk (اسکارن)
۹	۱-۴-۱-۱۰- واحدهای کواترنری
۹	۱-۴-۱-۲- پدیده‌های مرتبط با زایش طلا در منطقه
۹	۱-۴-۱-۵- متالوژنی طلا در منطقه
۱۰	۱-۶- منابع و ذخایر طلای کشف شده در منطقه پروژه
۱۱	۱-۷- خلاصه و تاریخچه اکتشافی قبلی پروژه
۱۴	۱-۸- اهداف پروژه
۱۵	۱-۹- فعالیت‌های انجام شده در اجرای پروژه
۱۸	فصل دوم (زمین‌شناسی معدنی محلوده مورد مطالعه)
۱۹	۲- واحدهای مختلف زمین‌شناسی و واحد زمین‌شناسی مولد طلا (IGU)
۱۹	مقدمه
۱۹	۲-۱-۱- شرح واحدهای زمین‌شناسی
۱۹	۲-۱-۱-۱- واحد TRL آهک دگرگون شده

۱-۱-۲-۱-۲- واحد TR SH-S (شیست و ماسه سنگ دگرگون شده).....	۲۰
۱-۱-۳- واحد Sk اسکارن.....	۲۱
۱-۱-۴- واحد Jph فلیت، اسلیت و شیست خاکستری .....	۲۳
۱-۱-۵- واحد S.sch شیست لکه دار .....	۲۳
۱-۱-۶- واحد H هورنفلس .....	۲۴
۱-۱-۷- واحد gd گرانیتوئیدی.....	۲۵
۱-۲- واحد زمین شناسی مولد طلا .....	۲۷
۲-۱- عوامل کلیدی مؤثر در زایش طلا (CGF).....	۲۷
۲-۲- رویکردهای همراه و پدیده‌های قابل شناخت برای کانی‌سازی طلا (CRC).....	۳۳
۲-۳- کانسازندها (Ore Formation) و آثار کانی‌سازی (تیپ‌بندی آثار کانی‌زایی بر اساس همزادی کانی‌ها) ..	۳۴
۲-۴- تکتونیک و زمین ساخت منطقه و ارتباط عوامل ساختاری با زایش طلا .....	۳۶
۲-۵- فصل سوم (اکتشافات ژئوشیمیایی با استفاده از نمونه‌های کانی‌سنگین) .....	۴۱
۲-۶- پیشگفتار .....	۴۲
۲-۷- متداول‌لوژی و منطق انتخاب آن .....	۴۲
۲-۸- تعریف کانیهای سنگین .....	۴۳
۲-۹- تقسیم‌بندی کانیهای سنگین .....	۴۵
۲-۱۰- ویژگیهای انحصاری کانیهای سنگین .....	۴۵
۲-۱۱- شبکه نمونه‌برداری و نوع نمونه‌های برداشت شده برای کانی‌سنگین .....	۴۶
۲-۱۲- نحوه نمونه‌برداری .....	۴۶
۲-۱۳- شرح عملیات نمونه‌برداری کانی‌سنگین در منطقه .....	۴۷
۲-۱۴- آماده سازی نمونه‌های کانی‌سنگین .....	۴۷
۲-۱۵- شیوه مطالعه و نتایج حاصل از نمونه‌های کانی‌سنگین .....	۴۸
۲-۱۶- مطالعه نمونه‌های کانی‌سنگین .....	۴۸
۲-۱۷- کمی کردن (Quantitative) داده‌های کانیهای سنگین .....	۴۸
۲-۱۸- پردازش داده‌های حاصل از مطالعات نمونه‌های کانی‌سنگین .....	۵۰
۲-۱۹- جدول پارامترهای آماری .....	۵۰
۲-۲۰- ترسیم هیستوگرامها و شرح آنها .....	۵۲
۲-۲۱- بررسی ضرایب همبستگی .....	۵۷
۳-۱- تعیین و تفکیک نمونه‌های ردیاب کانه‌سازی .....	۶۱
۳-۲- وضعیت طلا و شلیت در نمونه‌ها و همراهی سایر کانی‌های ارزشمند با آنها .....	۶۱

۶۴	۳-۴-۲- بررسی فراوانی سایر کانی‌های ارزشمند در نمونه‌های طلادار
۶۶	۳-۵- تهیه نقشه پراکندگی کانی‌های سنگین هدف‌یاب و همزاد آنها و شرح آنها
۶۶	۳-۱-۵- شرح نقشه کانی‌سنگین طلا(شکل ۳-۳)
۶۸	۳-۲-۵- شرح نقشه کانی‌سنگین شلیت (شکل ۴-۳)
۷۰	۳-۳-۵- شرح نقشه سایر کانی‌های سنگین ارزشمند
۷۰	۳- گروه ۱ (سرب و روی- مس و مولیبدن- سیناپر- اورپیمنت- نقره) (شکل ۳-۵)
۷۲	۳- گروه ۲ (پیریت- اکسید- پیریت لیمونیت- کاسیتیریت- گارنت- آندالوزیت) (شکل ۳-۶)
۷۵	۳-۶- معرفی مناطق امیدبخش و شرح آنومالی‌های موجود
۷۵	۳-۱-۶- مناطق امیدبخش از دیدگاه کانی‌سازی طلا
۷۶	۳-۲-۶- مناطق امیدبخش از دیدگاه کانی‌سازی تنگستان (شنلیت)
۷۶	۳-۷- ارزیابی پتانسیل‌های کانه‌زایی بر پایه سایر اطلاعات ژئوشیمیایی
۷۷	۳-۱-۷- بررسی داده‌های بدست آمده از ترانشه‌ها
۷۷	الف- ترانشه شماره ۱ (TR-۱)
۸۲	ب- ترانشه شماره ۲ (TR-۲)
۸۲	ج- ترانشه شماره ۳ (TR-۳)
۸۲	د- ترانشه شماره ۴ (TR-۴)
۸۳	۳-۲-۷- بررسی Split box plots در ترانشه‌ها
۸۶	۳-۳-۷- نمونه‌های پراکنده سنگی برداشت شده از واحدهای مختلف
۸۸	۳-۴-۷- رگهای سیلیسی و نقش آنها در تمرکز کانی‌سازی‌ها
۹۲	۳-۸- جمع‌بندی تمام اطلاعات در محدوده سامن
۹۲	۳-۱-۸- منطقه اول: شمال‌غرب کوه حرتوسیا
۹۳	۳-۲-۸- منطقه دوم: شمال‌شرق کوه حرتوسیا
۹۵	۳-۳-۸- منطقه سوم: شمال‌شرق قلعه علیمراد خان جنوب چشمہ نظر
۹۶	۳-۴-۸- منطقه چهارم: شرق قلعه علیمراد خان- جنوب محدوده مورد مطالعه
۹۷	۳-۵-۸- منطقه پنجم: اسکارن انجیره
۹۸	۳-۶-۸- منطقه ششم: منطقه شمال سراب سامن- شمال‌شرق محدوده مورد مطالعه
۹۹	۳-۹- تعیین محدوده‌های مستعد (اولویت‌بندی) کانه‌زایی بر پایه معیارهای ژئوشیمیایی
۹۹	(I) منطقه مرکز- شمال
۱۰۰	(II) منطقه شمال‌شرق قلعه علیمراد خان
۱۰۰	(III) اسکارن انجیره
۱۰۲	(IV) منطقه شرق علیمرادخان

۱۰۳	- مدل ژئوشیمیایی کانی‌سازی طلا در منطقه
۱۰۴	- همراهی عناصر ارزشمند در نمونه‌های مینرالیزه
۱۰۹	فصل چهارم (عملیات مهندسی اکتشاف)
۱۱۰	- حجم و نوع عملیات
۱۱۱	- مکان عملیات
۱۱۲	- مستندات تهیه شده از عملیات مهندسی اکتشاف
۱۱۲	- نقشه زمین‌شناسی - معدنی ۱/۲۰،۰۰۰ محدوده اکتشافی
۱۱۳	- محدوده‌های اسکارن انجیره، ایرینه سامن، سراب سامن
۱۱۳	- اسکارن انجیره
۱۱۴	- اسکارن ایرینه سامن
۱۱۴	- اسکارن سراب سامن
۱۱۵	- ساختمان‌های زمین‌شناسی
۱۱۵	- گسل خانه‌آباد
۱۱۵	- گسل سراب سامن
۱۱۶	- گسل غرب حسن کوسج
۱۱۶	- گسل راندگی شرق قلعه علیمراد
۱۱۷	- ترانشه‌های حفر شده در زون اسکارن انجیره محدوده اکتشافی جنوب غرب سامن و شرح آنها
۱۱۷	- ترانشه TR1
۱۱۸	- ترانشه TR2
۱۲۰	- ترانشه TR3
۱۲۱	- ترانشه TR4
۱۲۲	- نمونه‌های پراکنده برداشت شده از محدوده اکتشافی غرب سامن و نتایج مطالعه آنها
۱۳۸	فصل پنجم (نتایج (تلفیق اطلاعات و نتیجه گیری) و پیشنهادها)
۱۳۹	- نتایج
۱۴۶	- پیشنهادات
۱۴۶	- محدوده‌های پیشنهادی جهت ادامه اکتشاف با اهداف طلا و تنگستن
۱۴۶	- محدوده کوه حرتوسیا با اولویت اول به وسعت ۹ کیلومترمربع
۱۴۶	- محدوده شمال شرق قلعه علیمرادخان با اولویت دوم به وسعت ۵ کیلومترمربع
۱۴۷	- محدوده اسکارنی شمال غرب روستای انجیره با اولویت سوم به وسعت ۴ کیلومترمربع
۱۴۹	- شرح خدمات پیشنهادی
۱۵۰	منابع

شکل ۱-۱- موقعیت محدوده مورد مطالعه سامن (چپ) در نقشه راه‌ها.....	۳
شکل ۱-۲- موقعیت قرارگیری محدوده سامن در تقسیمات زمین‌شناسی فربانی (۱۳۸۱).....	۵
شکل ۱-۳- موقعیت محدوده مورد مطالعه سامن در نقشه ۱/۱۰۰،۰۰۰ ملایر.....	۶
شکل ۱-۴- نقشه پراکندگی کانسارها و نشانه‌های معدنی طلا و تنگستن در ایران (نگارنده).....	۱۱
شکل ۱-۵- توزیع آنمالمی‌های طلا در محدوده مورد مطالعه .....	۱۴
شکل ۱-۶- نمایی از واحد آهک دگرگون شده (TRL) در شمال غرب محدوده (دید به طرف شمال غرب) .....	۲۰
شکل ۱-۷- نمایی از واحد شیست و ماسه سنگ دگرگون شده.....	۲۱
شکل ۱-۸- بخش‌های سیلیسی و میترالیزه واحد اسکارن (اسکارن انجیره) .....	۲۲
شکل ۱-۹- بخش‌های سیلیسی و میترالیزه واحد اسکارن .....	۲۳
شکل ۱-۱۰- نمایی از واحد شیست لکه‌دار و رگه و نوارهای های سیلیسی آن .....	۲۴
شکل ۱-۱۱- تصویر میکروسکوپی مقطع تهیه شده از نمونه ZS-۸ .....	۲۵
شکل ۱-۱۲- نمایی از واحد گرانودیوریت، گرانیت، مونزونیت (gd) .....	۲۶
شکل ۱-۱۳- مدل زمین‌شناسی و فرسایشی توده گرانیتوئیدی غرب سامن .....	۳۰
شکل ۱-۱۴- نمودار بررسی رابطه بین تفریق و اکسیداسیون در ماگماهای میزبان ذخایر وابسته به توده‌های نفوذی (blevin ۲۰۰۴) .....	۳۳
شکل ۱-۱۵- تقسیمات زمین‌شناسی اشتولکلین (۱۹۷۷) .....	۳۷
شکل ۱-۱۶- نمودار تغییرات عناصر کمیاب (Pearce, ۱۹۸۴) از توده نفوذی منطقه .....	۳۸
شکل ۱-۱۷- مدل ارائه شده توسط (Goldfarb et al. ۲۰۰۱) که محل و چگونگی تشکیل ذخایر طلای وابسته به کوه‌زایی‌ها را نشان می‌دهد .....	۳۹
شکل ۱-۱۸- تصویر ماهواره‌ای محدوده مورد مطالعه .....	۴۰
شکل ۱-۱۹- موقعیت نمونه‌های برداشت شده .....	۴۴
شکل ۱-۲۰- هیستوگرام تعدادی از کانی‌های مطالعه شده در کانی سنگین .....	۵۴
شکل ۱-۲۱- حوضه‌های طلدار بر روی نقشه زمین‌شناسی .....	۶۷
شکل ۱-۲۲- حوضه‌های شلیت‌دار روی نقشه زمین‌شناسی .....	۶۹
شکل ۱-۲۳- حوضه‌های گروه ۱ (سرپ و روی- مس و مولیبدن- سینابر - اورپیمنت- نقره) .....	۷۱
شکل ۱-۲۴- حوضه‌های گروه ۲ (پیریت- اکسید- پیریت لیمونیت- کاسیتیریت- گارنت- آندالوزیت) .....	۷۴
شکل ۱-۲۵- نمودار خطی عناصر در ترانشه ۱ .....	۷۸
شکل ۱-۲۶- نمودار خطی عناصر در ترانشه ۲ .....	۷۹
شکل ۱-۲۷- نمودار خطی عناصر در ترانشه ۳ .....	۸۰
شکل ۱-۲۸- نمودار خطی عناصر در ترانشه ۴ .....	۸۱
شکل ۱-۲۹- باکس پلات نمایش تاثیر لیتلواژی بر تمرکز یا پراکندگی عیار در عناصر مختلف .....	۸۴

..... شکل ۱۲-۳- نمودار خطی میانگین عیار در لیتولوژی‌های مختلف در ترانشه‌ها	۸۵
..... شکل ۱۳-۳- نمودار خطی میانگین عیار در لیتولوژی‌های مختلف در نمونه‌های سنگی	۸۷
..... شکل ۱۴-۳- نمودارهای باکس پلات نمونه‌های سنگی پراکنده	۹۰
..... شکل ۱۵-۳- نمودارهای خطی بر اساس عیار ردیف شده طلا در رگه‌های سیلیسی	۹۱
..... شکل ۱۶-۳- موقعیت محدوده‌های شش منطقه حاوی بیشترین داده اکتشافی از سطح محدوده سامن	۹۴
..... شکل ۱۷-۳- مناطق مستعد کانی زایی در محدوده پروژه	۱۰۱
..... شکل ۱۸-۳ مدل شماتیک اکتشافی و زمین‌شناسی برای نهشته‌های طلا وابسته به توده‌های نفوذی	۱۰۴
..... شکل ۱۹-۳- مدل عمقی و جانبی نهشته‌های مرتبط با توده‌های نفوذی	۱۰۸
..... شکل ۱-۴- موقعیت جغرافیایی و راههای دسترسی به محدوده اکتشافی	۱۱۲
..... شکل ۲-۴- تصویر میکروسکوپی نمونه ZS-۵	۱۲۴
..... شکل ۳-۴- تصویر میکروسکوپی نمونه ZS-۷	۱۲۵
..... شکل ۴-۴- تصویر میکروسکوپی نمونه ZS-۸	۱۲۶
..... شکل ۴-۵- تصویر میکروسکوپی نمونه ZS-۹	۱۲۷
..... شکل ۴-۶- تصویر میکروسکوپی نمونه ZS-۱۳	۱۲۹
..... شکل ۴-۷- تصویر میکروسکوپی نمونه ZS-۱۵	۱۳۰
..... شکل ۴-۸- تصویر میکروسکوپی نمونه ZS-۱۵	۱۳۰
..... شکل ۴-۹- تصویر میکروسکوپی نمونه ZS-۱۶	۱۳۱
..... شکل ۴-۱۰- تصویر میکروسکوپی نمونه ZS-۱۷	۱۳۲
..... شکل ۴-۱۱- تصویر میکروسکوپی نمونه ZS-۲۴	۱۳۵
..... شکل ۱-۵- محدوده معرفی شده جهت فعالیت‌های اکتشافی بعدی، بر روی نقشه زمین‌شناسی و ژئوشیمی	۱۴۸

جدول ۱-۱- لیست نمونه های سنگی گرفته شده از محدوده سامن و نوع آنالیز نمونه ها .....	۱۶
جدول ۲-۱- بررسی تغییرات عناصر در توده گرانیتوئیدی سامن .....	۳۱
جدول ۲-۲- ضرایب همبستگی بعضی عناصر با طلا در نمونه های مینرالیزه برداشت شده از اسکارن انجیره .....	۳۵
جدول ۳-۱- کارت مخصوص نمونه برداری کانی سنگین .....	۴۹
جدول ۳-۲- پارامترهای آماری نمونه های کانی سنگین منطقه سامن .....	۵۱
جدول ۳-۳- ضرایب همبستگی بعضی کانی های انتخابی در منطقه سامن .....	۵۹
جدول ۳-۴- مشخصات ذرات طلا در نمونه های طلا دار و تعداد ذرات .....	۶۲
جدول ۳-۵- دامنه تغییرات کانی ها / عناصر در آنالیز ICP و مطالعه کانی سنگین در محدوده شماره ۱ .....	۹۳
جدول ۳-۶- دامنه تغییرات کانی ها / عناصر در آنالیز ICP و مطالعه کانی سنگین در محدوده شماره ۲ .....	۹۵
جدول ۳-۷- دامنه تغییرات کانی ها / عناصر در آنالیز ICP و مطالعه کانی سنگین در محدوده شماره ۳ .....	۹۶
جدول ۳-۸- دامنه تغییرات عناصر / کانی ها در آنالیز ICP و مطالعه کانی سنگین در محدوده شماره ۴ .....	۹۷
جدول ۳-۹- دامنه تغییرات کانی ها / عناصر در آنالیز ICP و مطالعه کانی سنگین در محدوده شماره ۵ .....	۹۸
جدول ۳-۱۰- نتایج آنالیز نمونه های مینرالیزه (ردیف شده بر حسب مقادیر طلا) .....	۱۰۵
جدول ۴-۱- تعداد و نوع نمونه های اخذ شده از محدوده اکتشافی سامن .....	۱۱۱
جدول ۴-۲- مختصات ابتدا و انتهای ترانشه های اکتشافی محدوده سامن .....	۱۱۱
جدول ۴-۳- نتایج آنالیز نمونه های اکتشافی ترانشه ۱ .....	۱۱۷
جدول ۴-۴- نتایج آنالیز نمونه های ترانشه ۲ .....	۱۱۹
جدول ۴-۵- نتایج آنالیز نمونه های ترانشه ۳ .....	۱۲۱
جدول ۴-۶- نتایج آنالیز نمونه های ترانشه ۴ .....	۱۲۲
جدول ۴-۷- نتایج آنالیز شیمیایی نمونه ۴ ZS-۴ .....	۱۲۳
جدول ۴-۸- نتایج آنالیز شیمیایی نمونه ۶ ZS-۶ .....	۱۲۴
جدول ۴-۹- نتایج آنالیز شیمیایی نمونه ۱۰ ZS-۱۰ .....	۱۲۷
جدول ۴-۱۰- نتایج آنالیز شیمیایی نمونه ۱۱ ZS-۱۱ .....	۱۲۸
جدول ۴-۱۱- نتایج آنالیز شیمیایی نمونه ۱۴ ZS-۱۴ .....	۱۲۹
جدول ۴-۱۲- آنالیز شیمیایی نمونه ۱۸ ZS-۱۸ .....	۱۳۲
جدول ۴-۱۳- آنالیز شیمیایی نمونه ۱۹ ZS-۱۹ .....	۱۳۳
جدول ۴-۱۴- آنالیز شیمیایی نمونه ۲۰ ZS-۲۰ .....	۱۳۳
جدول ۴-۱۵- آنالیز شیمیایی نمونه ۲۱ ZS-۲۱ .....	۱۳۴
جدول ۴-۱۶- آنالیز شیمیایی نمونه ۲۲ ZS-۲۲ .....	۱۳۴
جدول ۴-۱۷- آنالیز شیمیایی نمونه ۲۳ ZS-۲۳ .....	۱۳۴
جدول ۴-۱۸- نمونه های متفرقه محدوده غرب سامن .....	۱۳۶

ادامه جدول ۴-۱۸.....	۱۳۷
جدول ۵-۱- ارتباط نمونه‌های کانی سنگین حاوی طلا با رخنمونهای گرانیتی.....	۱۴۲
جدول ۵-۲- مقایسه نتایج آنالیز ICP برخی نمونه‌های مینرالیزه با نمونه‌های متاظر کانی سنگین.....	۱۴۵

## **فهرست ضمائل**

---

۱. نتایج مطالعات مقاطع نازک و صیقلی
۲. نتایج آنالیزهای نمونه‌ها به روش ICP-MS
۳. نتایج آنالیزهای نمونه‌ها به روش XRD و XRF
۴. نتایج مطالعات کانی سنگین
۵. نقشه زمین‌شناسی ۲۰،۰۰۰: ۱ محدوده اکتشافی
۶. پروفیل ترانشه‌های حفاری شده بر روی زون‌ها مینرالیزه

# فصل اول

کتاب

## ۱-۱- مقدمه

در پی انعقاد قرارداد شماره ۷۰۵ مورخه ۸۴/۳/۱۷ با عنوان «طرح اکتشاف مقدماتی طلا و تنگستن در منطقه جنوب شرق داویجان و غرب سامن در ورقه یکصد هزار ملایر واقع در استان همدان»، بین « مؤسسه تحقیقات و کاربرد مواد معدنی ایران » به عنوان کارفرما و « شرکت مهندسین مشاور زرناپ اکتشاف » به عنوان مشاور، عملیات اجرایی پروژه آغاز گردید. در راستای اجرای مفاد قرارداد مذکور، گروههای کارشناسی مشاور پس از بررسی‌های مقدماتی و جمع‌آوری اطلاعات (گزارش ژئوشیمی ۰۰۰ ۱۰۰ محدوده، نقشه‌های زمین‌شناسی، ماهواره‌ای، توپوگرافی و...) اقدام به طراحی و جانمایی نمونه‌های کانی‌سنگین نمودند. با توجه به اینکه محدوده‌های معرفی شده، از آنومالی‌های مشخص شده در مطالعات برگه یکصد هزار ملایر بوده‌اند، لذا گزارش مذکور تهیه و مطالعه گردید.

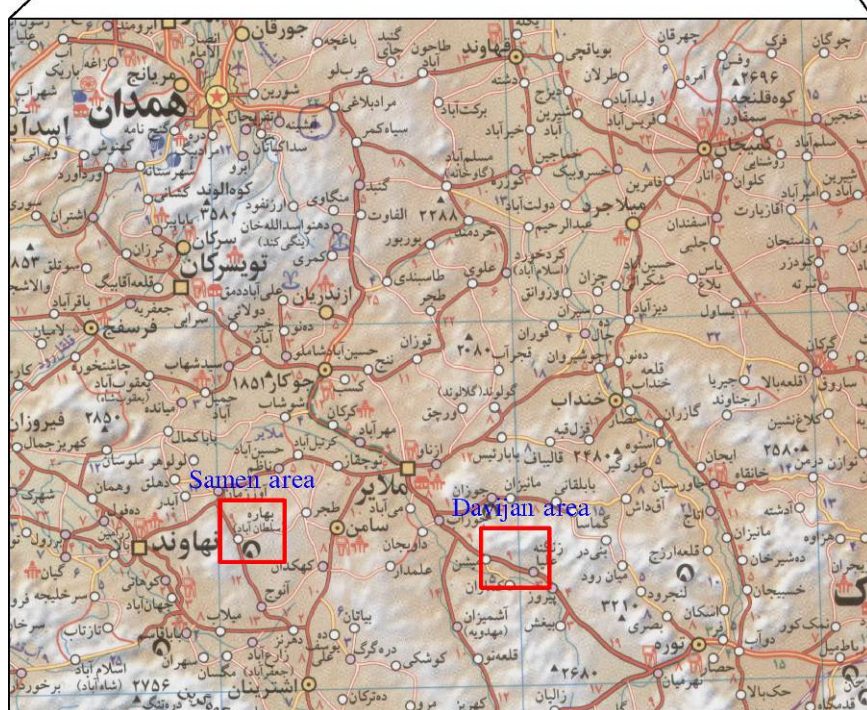
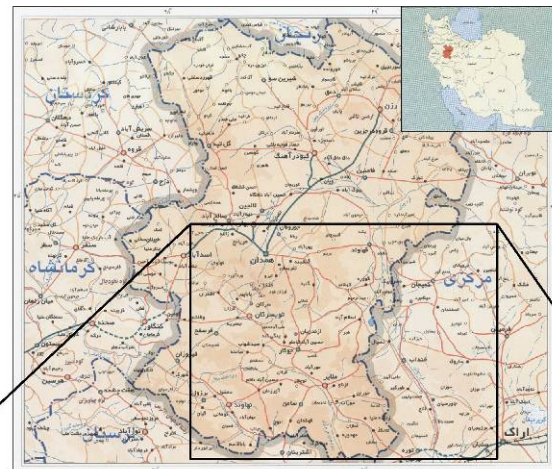
در ارتباط با منطقه سامن پس از نهایی کردن نقشه‌های نمونه‌برداری، اکیپ عملیات صحرایی، شامل گروههای زمین‌شناسی (۲ نفر کارشناس) و گروههایی جهت نمونه‌برداری (۲ نفر کارشناس)، به منطقه اعزام شد. این اکیپ به مدت ۶ روز در منطقه غرب سامن فعالیت داشته‌اند. با بررسی‌های اولیه و مشاهدات صحرایی، کارشناسان لازم دیدند، جهت بررسی جامع ساختارها، واحدهای سنگی و کانی‌زاویه‌ای احتمالی در اطراف توده نفوذی موجود در منطقه، به حجم عملیات افزوده شود. لذا با هماهنگی ناظر ارشد پروژه، محدوده‌ای به وسعت ۲۱ کیلومتر مربع، به سمت شرق محدوده اضافه گردید و وسعت محدوده به ۷۷ کیلومتر مربع افزایش پیدا کرد که مراتب به اطلاع کارفرمای محترم

رسید

در مجموع تعداد ۱۰۰ نمونه جهت مطالعه کانی‌سنگین، ۷۵ نمونه جهت آنالیز ICP-MS، ۱۰ نمونه جهت مطالعه مقاطع صیقلی، ۹ نمونه جهت مقاطع نازک، ۱ نمونه جهت آنالیز XRF و ۹ نمونه نیز جهت مطالعات XRD از منطقه سامن برداشت گردید. همچنین ۱۴۱ متر ترانشه بر روی زون‌های مینرالیزه (اسکارن انجیره) حفر گردید.

## ۱-۲- موقعیت جغرافیایی، آب و هوا و راههای دسترسی

محدوده مورد مطالعه بین طول‌های جغرافیایی  $30^{\circ} 48'$  و  $34^{\circ} 48'$  و عرض‌های جغرافیایی  $11^{\circ} 15'$  و  $15^{\circ} 34'$  واقع شده است. این محدوده در جنوب غربی استان همدان و در غرب شهر سامن واقع شده است. محدوده مورد مطالعه در نیمه جنوب غربی برگه ۱/۱۰۰،۰۰۰ ۱/۱۰۰ ملایر واقع شده است.



شکل ۱-۱- موقعیت محدوده مطالعه سامن (چپ) در نقشه راهها

محدوده سامن به علت دارا بودن ارتفاعات نسبتاً زیاد از سطح دریا دارای تابستان‌های معتدل و زمستان‌های سرد و نسبتاً طولانی می‌باشد. بطوریکه فعالیت اکتشافی در فصل زمستان امکان‌پذیر نمی‌باشد. بنابراین بهترین زمان جهت عملیات صحرایی ماه‌های اردیبهشت تا آبان می‌باشند. میانگین بارندگی سالانه ۳۵۰ میلیمتر است. گسترش زیاد فیلیت‌ها و اسیلت‌ها در منطقه مانع از نفوذ نزولات جوی به سفره‌های آب زیرزمینی می‌شوند و آب‌های سطحی اغلب به صورت جریان‌های فصلی از منطقه خارج می‌شوند. مخازن کارستی و یا چشم‌هایی که قابل توجه باشند در منطقه وجود ندارد. در مجموع منطقه کم آب است و کشاورزی اکثراً به صورت دیم با محصول گندم می‌باشد. راه دسترسی

به محدوده از طریق جاده ملایر-نهاوند بعد از طی حدود ۲۵ کیلومتر از طریق دوراهی آورزمان امکان‌پذیر است. بطوریکه بعد از طی حدود ۵ کیلومتر به شمال محدوده می‌رسیم (شکل ۱-۱).

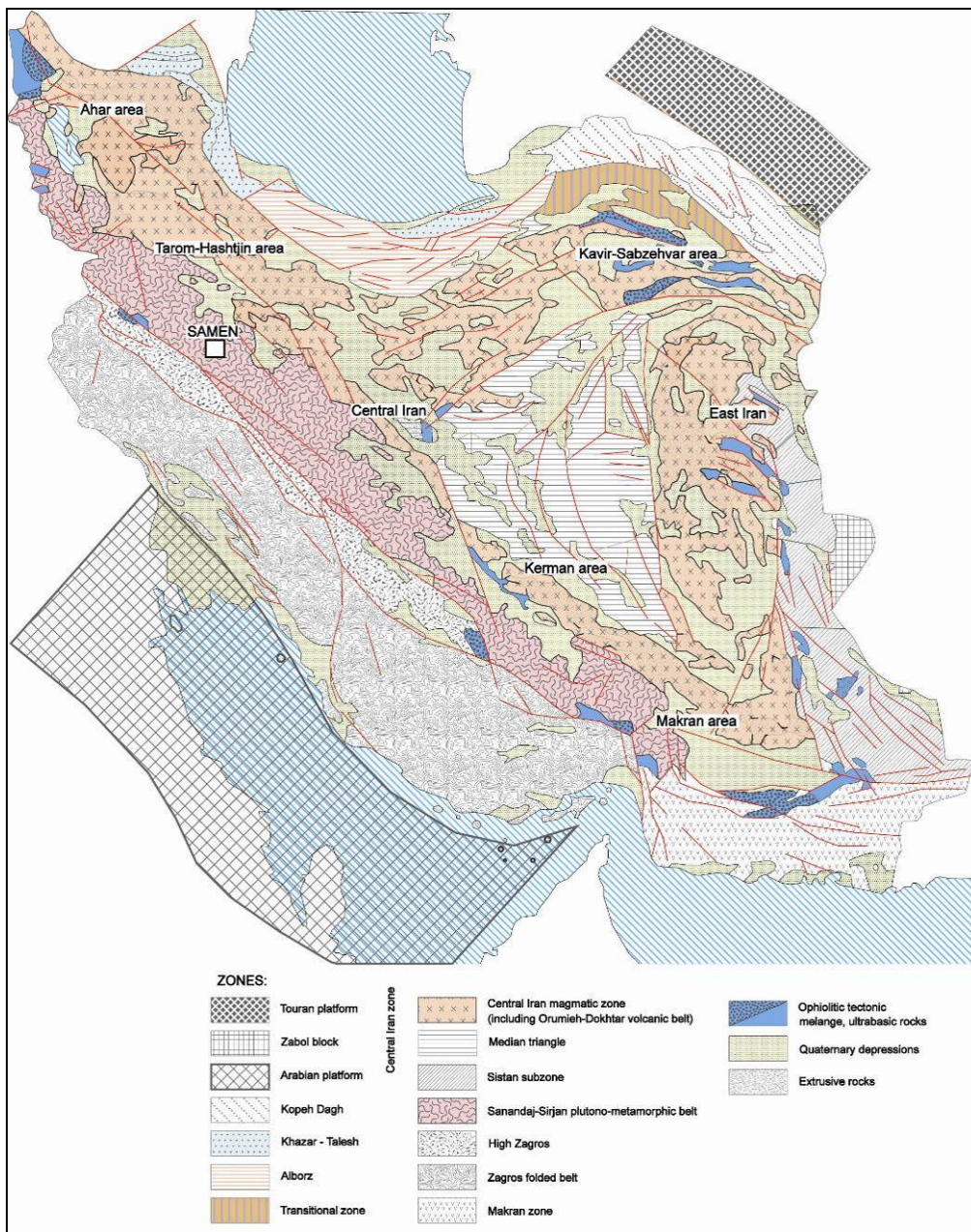
### ۱-۳- ژئومورفولوژی منطقه

بطور کلی ارتفاع متوسط این ناحیه (از سطح دریا) زیاد است اما کوه‌های بلندی در منطقه نمی‌توان دید. مورفولوژی منطقه تقریباً هموار است که این وضع در وله اول محصول نوع سنگ‌های سازنده ارتفاعات می‌باشد. بخش عمده‌ای از این سنگ‌ها فیلیت‌های سیاه‌رنگ و توده‌های نفوذی گرانیتوئیدی می‌باشد. ماهیت فیزیکی هر دو نوع سنگ به گونه‌ای است که در مقابل عوامل هوایی هوازدگی مقاومت چندانی نداشته و فرسوده می‌شوند. تنها ارتفاعات آهکی موجود در جنوب شرقی ملایر است که بلندترین نقاط را به خود اختصاص داده است و تا ۲۸۳۶ متر از سطح دریا ارتفاع دارد. ارتفاعات موجود در محدوده به صورت تپه‌های کم‌شیب و دره‌های پهن با شبیه ملایم بوده و از شمال به دشت منتهی می‌شوند. ارتفاع دشت از سطح دریا حدود ۱۶۷۰ متر می‌باشد.

### ۱-۴- جایگاه زمین‌شناسی و پدیده‌های مرتبط با زایش طلا در منطقه

وضعیت زمین‌شناسی این منطقه از زون ماگماتیسم سنترج-سیرجان تعیت می‌کند (شکل ۱-۲). بطوریکه عده محدوده از یک توده نفوذی و دگرگونی‌های مرتبط با آن پوشیده شده است. واحدهای رسوبی با سن کرتاسه و ژوراسیک در منطقه حضور دارند و بخش‌های زیادی از این واحدها تحت تاثیر دگرگونی مجاورتی قرار گرفته‌اند. تعامل بین واحدهای سنگی و این توده نفوذی عامل اصلی کانی زایی‌های رخداده (طلا و تنگستان) در منطقه هستند.

قدیمیترین نهشته‌های رخنمون یافته به تریاس نسبت داده می‌شود. این رسوبات دارای درجه دگرگونی اندکی بیشتر از نهشته‌های ژوراسیک می‌باشند. در شکل ۱-۲ تقسیمات زمین‌شناسی قربانی (۱۳۸۱) ارائه شده است. با توجه به این تقسیمات، منطقه سامن در زون پلوتونیک-متامorfیک سنترج سیرجان واقع شده است. این زون ناشی از فرورانش پوسته قاره‌ای نوتیس بوده و در محیط کمان قاره‌ای تشکیل شده است.

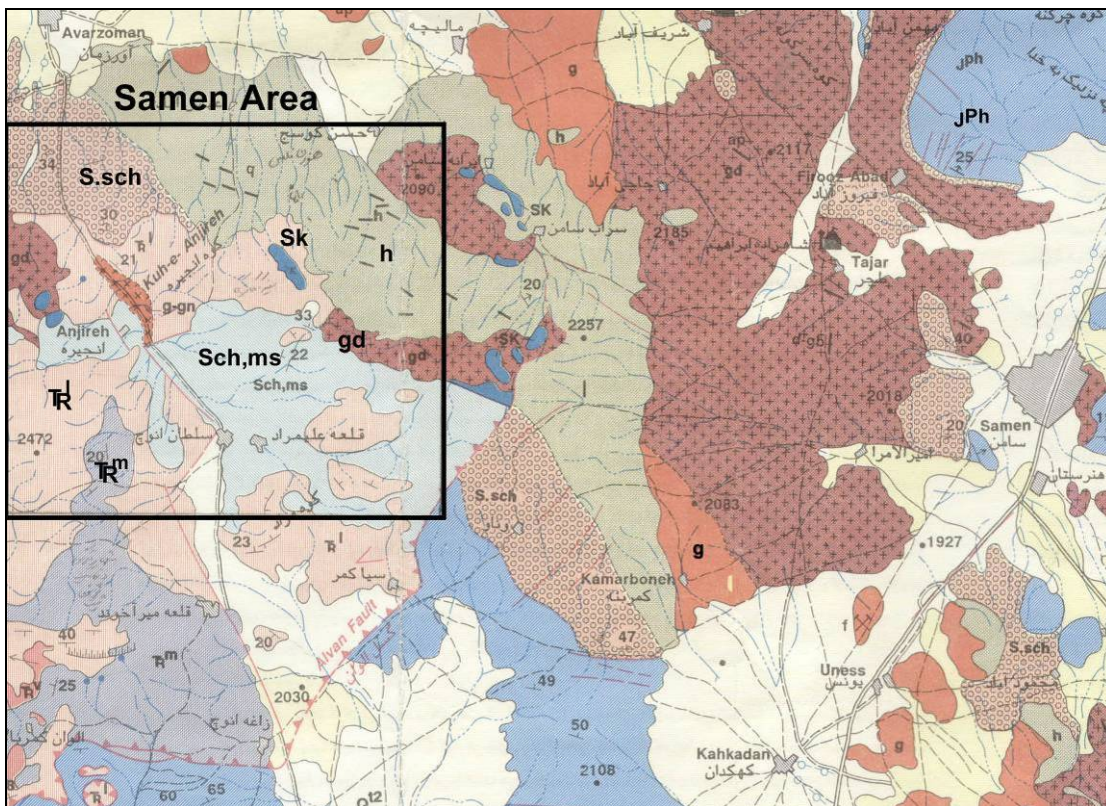


شکل ۱-۲- موقعیت قرارگیری محدوده سامن در تقسیمات زمین‌شناسی قربانی (۱۳۸۱). با توجه به این تقسیمات محدوده سامن در ذون پلوتونیک-متامریک سندنج سیرجان قرار گرفته است.

آثار فعالیت‌های تکتونیکی در این ناحیه، در قالب گسل‌های راندگی و معکوس دیده می‌شود.

#### ۱-۴-۱- واحدهای زمین‌شناسی شایع در منطقه

واحدهای موجود در محدوده مورد مطالعه با توجه به نقشه زمین‌شناسی ۱/۱۰۰،۰۰۰ (شکل ۱-۳) به شرح زیر می‌باشند.



شکل ۱-۳- موقعیت محدوده مورد مطالعه سامن در نقشه ۱/۱۰۰،۰۰۰ مایلیو.

۱-۴-۱- واحد  $J^{ph}$

سنگهای ژوراسیک زیرین و میانی به فیلیت‌ها و اسلیت‌های ملایر و همدان شهرت یافته‌اند. این واحد سنگی عمدتاً از فیلیت، اسلیت، شیست و ماسه سنگ دگرگونه تشکیل شده است. رنگ عمومی واحد مذکور خاکستری تیره تا سیاه است. مطالعات میکروسکوپی نشان می‌دهد که این فیلیت‌ها و اسلیت‌ها از کوارتز، کانی‌های گروه فیلوسیلیکات‌ها (بویژه کلریت) و فلدسپات تشکیل شده‌اند. جهت یافته‌گی مسکویت و سریسیت سبب ایجاد رخ آسان در این سنگها شده است. ذرات ریز اپیدوت و تورمالین کانی‌های فرعی این سنگها را تشکیل می‌دهند. در بخش‌هایی از این واحد توف دگرگون می‌شود که دارای بافت شیستوز بوده و کانی‌های کوارتز، فلدسپات، سریسیت و کلریت اجزاء سنگ را تشکیل می‌دهند با توجه به ضخامت زیاد واحد فیلیتی و نیز با توجه به اینکه درون این واحد بزرگ در برخی نقاط افق‌هایی از سنگ آهک و غیره دیده می‌شود و همچنین علیرغم اینکه ساختهای رسوبی در آن دیده نمی‌شود بنظر می‌رسد که مربوط به یک حوضه رسوبی است که در حال سوبسیدانس بوده است و تقریباً شرایط رسوبی تیپ فلیش را تداعی می‌نماید. براساس معیارهای صحرایی، میکروسکوپی و ژئوشیمیایی (با استفاده از دیاگرامهای AFK, ACF) سنگ اولیه این واحد، شیل و سیلتستون بوده و سنگ اولیه ماسه سنگهای دگرگونه این واحد از انواع ماسه سنگهای کوارتزآرنایتی، گری وکی و

ماسه سنگ آرکوزی می‌باشد (گودرزی ۱۳۷۶ و بهاری فر ۱۳۷۴). سنگهای موجود در این واحد گاهی ریزدانه بوده و کوارتز بخش عمده حجم سنگ را تشکیل می‌دهد. هرچند واحد مذکور در بخش زیرین خود عمدتاً از اسلیت و فیلیت و در بخش فوقانی بیشتر از اسلیت و ماسه سنگ دگرگونه تشکیل شده است ولی در مجموع می‌توان آن را با سازند شمشک در سایر نقاط کشورمان مقایسه نمود. با مطالعه و بررسی این واحد فیلیتی و اسلیتی و همچنین واحدهای فرعی موجود در آن بنظر می‌رسد که این نهشته‌ها در دو مرحله تحت تأثیر دگرگونی ناحیه‌ای قرار گرفته‌اند. علاوه بر آن نفوذ تودهای آذرین الوند و سامن در واحد سنگی مذکور توانسته‌اند در این ناحیه سنگهای دگرگونی مجاورتی (شیست لکه دار و هورنفلس) ایجاد نماید.

#### ۱-۴-۱-۲- واحد $TR^1$

این واحد از طبقات ضخیم سنگ آهک دگرگون شده سفیدرنگ بلورین که در برخی نقاط دولومیتی شده تشکیل می‌شود و بطور موضعی دارای میان لایه‌هایی از شیست و ماسه سنگ می‌باشد. ضخامت این واحد به حدود ۱۰۰ متر می‌رسد. طبقات ضخیم سنگ آهک این واحد خرد شده است بطوریکه تشخیص سطوح لایه بندی در آن مشکل است. این واحد سنگ آهک بلورین در جنوب آورزمان بطور هم شیب با واحد شیستی و فیلیتی ژوراسیک پوشیده شده است.

#### ۱-۴-۱-۳- واحد $Sch,ms$

در جنوب آورزمان واحد آهکی  $TR1$  بطور هم شیب با واحد شیستی و فیلیتی ژوراسیک پوشیده شده است که بخشی از آن عمدتاً شیست و ماسه سنگ دگرگونه  $Sch,ms$  می‌باشد.

#### ۱-۴-۱-۴- واحد $TR^m$

این مجموعه از سنگهای آتشفسانی سبز رنگ توف و سنگهای رسوبی دگرگونه تشکیل شده است. دگرگونی این سنگها در حد رخساره شیست سبز می‌باشد. حجم بیشتر این واحد سنگی را سنگهای آتشفسانی با ترکیب آندزیت - بازالت تشکیل می‌دهد. کانیهای تشکیل دهنده آنها عمدتاً پیروکسن و پلاژیوکلاز است. از کانیهای ثانویه موجود در این سنگها می‌توان به اپیدوت، کلریت، کربنات، اورالیت و کانیهای رسی اشاره نمود. توف دگرگونه دیگر جزء تشکیل دهنده این مجموعه است که اجزاء آن شامل کوارتز، فلدسپات و کلریت می‌باشد. شیست و فیلیت بخش دیگر این واحد است که دارای کوارتز فراوان بصورت خرد شده بوده و نیز دارای سریسیت، مسکویت و کلریت است. ضخامت دقیق این واحد آشکار نیست زیرا حد زیرین آن رخنمون ندارد و با همبزی پیوسته با واحد

فوقانی تریاس ( $TR^I$ ) پوشیده می‌شود.

#### ۱-۴-۱-۵- واحد $g-gn$ (توده گرانیت-گنیس)

این توده در جنوب آورزمان و در محدوده شمال شرق روستای انجیره بروونزد دارد و از گسترش بسیار کمی در سطح زمین برخوردار است. سنگ شناسی آن از گرانیت تا گنیس تغییر می‌کند. دارای بافت کاتاکلاستیک تا گرانولار است. کانیهای اصلی تشکیل دهنده آن کوارتز، فلدسپات، اپیدوت و مسکویت می‌باشد. اسفن، کربنات و اکسید آهن نیز از کانیهای همراه آنها هستند. سنگ میزبان این توده کوچک و احدهای سنگی تریاس و ژوراسیک است که به همراه آنها تحت تأثیر دگرگونی واقع شده است. لذا شاید به ژوراسیک میانی تا بالای؟ تعلق داشته باشد. برگوارگی و بافت کاتاکلاستیک آن مؤید این است که به هر حال این توده ممکن است قدیمی‌تر از گرانیتهاي آخر کرتاسه (گرانیت الوند و سامن) باشد و تحمل حرکات کوهزایی سبب خردشدن آن شده است.

#### ۱-۴-۱-۶- واحد $gd$ (توده گرانیتوئیلی)

این توده نفوذی بیشترین حجم و گسترش را بخود اختصاص داده است. این توده در طول خود دارای ترکیب متنوعی است و در حقیقت یک مجموعه از سنگهای نفوذی را تشکیل می‌دهد. بطور کلی می‌توان ترکیبی از گرانیت، گرانودیوریت و مونزودیوریت تا دیوریت را در آن تشخیص داد ولی تفکیک این بخشها مقدور نمی‌باشد.

#### ۱-۴-۱-۷- واحد $S.Sch$ (شیست لکه دار)

این واحد سنگی در اطراف توده سامن مشاهده می‌شود و هاله بیرون دگرگونی همبری را تشکیل می‌دهد. در این نواحی اسلیت‌ها و فیلیت‌های جنوب ملایر در اثر تزریق توده‌های نفوذی و در نتیجه تحت تأثیر گرمای توده به شیست لکه دار تبدیل شده‌اند. لکه‌ها از بلورهای ریز آندالوزیت و گرونا تشکیل شده‌اند. در این مرحله آثار تورق آسان هنوز وجود دارد و سنگ حاصله شیست کوارتز، فلدسپات، کلریت و مسکویت دار می‌باشد کانی کدر و اکسید آهن نیز از کانی‌های فرعی آن به شمار می‌آیند. بافت سنگ در اینجا شیستوز-لپیدوپلاستیک است. در این ناحیه شیست لکه دار مذکور قبل ایک فاز دگرگونی ناحیه‌ای را تحمل کرده بود که بصورت اسلیت و فیلیت درآمده است.

#### ۱-۴-۱-۸- واحد $h$ (هورنفلس)

اگر از هاله بیرونی به توده‌های نفوذی نزدیک شویم شیست لکه دار به هورنفلس تبدیل می‌شود. این سنگها دارای ظاهری خاکستری تیره تا سیاه و متراکم است. بلورهای آندالوزیت و یا کوردیریت

در آن فراوان است. شیستوزیته تقریباً از بین رفته است. بافت سنگ معمولاً بلاستیک- هورنفلس تا گرانو بلاستیک می باشد. سایر کانیهای اصلی تشکیل دهنده آن در مجموع عبارتند از: کوارتز، پلاژیوکلاز، فلدسپات آلکالن و کانیهای رسی با بیوتیت و گرونا، کلریت، فلوگوپیت و مسکویت.

#### ۱-۴-۹- واحد SK (اسکارن)

در نواحی سراب سامن و انجره بخش هایی از سنگهای آهکی ناحیه (احتمالاً متعلق به تریاس) که در کنار توده های نفوذی قرار می گیرد به اسکارن تبدیل شده است. از کانیهایی که در اثر این پدیده در متن سنگ مشاهده می شوند می توان به گرونا، اپیدوت، کالکوپیریت، اشاره نمود.

#### ۱-۴-۱۰- واحد های کواترنری

این واحدها وسعت چندانی در منطقه ندارند و شامل Qt۱ و Qt۲ هستند که به ترتیب مربوط به رسوبات دشت مرتفع و رسوبات دشت پست می شوند.

#### ۱-۴-۲- پدیده های مرتبط با زایش طلا در منطقه

کانی زایی طلا در منطقه، مربوط به کانی زایی هایی است که در واحد های آذرین زون سنندج- سیرجان رخداده اند. این واحدها عمدتاً با ماهیت گرانیتوئیدی می باشند. در محدوده مورد مطالعه یک توده نفوذی گرانیتوئیدی در سنگ های رسوبی ژوراسیک و کرتاسه نفوذ کرده است.

از مهمترین پدیده های رخداد که می توان از آنها به عنوان فاکتوری در رخداد کانی زایی طلا در منطقه نام برد، می توان به نفوذ توده گرانیتوئیدی، تشکیل زون های دگرگونه، زون های متاسوماتیسمی، تاثیر عوامل تکتونیکی و ایجاد شکستگی در منطقه، اشاره کرد. عوامل دما و فشار در اطراف این توده نفوذی، باعث دگرگونی های گسترده ای شده است. سیالات گرمابی ناشی از این توده نیز به واحد های سنگی اطراف اثر کرده و زون های دگرسانی را ایجاد کرده است. تشکیل اسکارن ها، رگه های سیلیسی و کانی زایی های مرتبط با آن از جمله موارد با اهمیت و قابل بررسی در این محدوده است که در بخش های بعدی به آنها پرداخته خواهد شد.

#### ۱-۵- متالوژنی طلا در منطقه

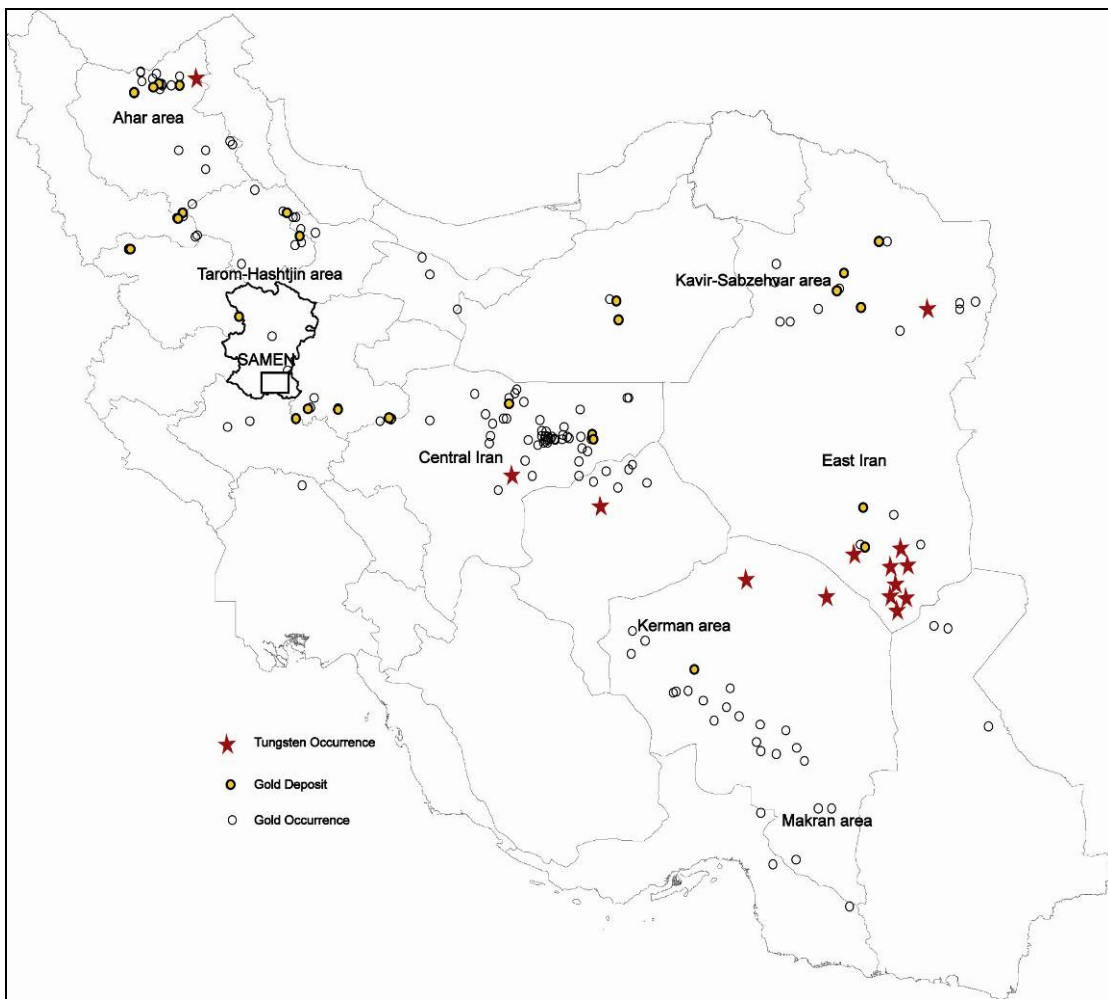
با توجه به موقعیت قرار گیری این کانی زایی در زون سنندج- سیرجان و کانی زایی های مشابهی که در سایر نقاط دیگر این زون مشاهده شده است، متالوژنی طلا در این منطقه مشابه با اندیس های شناخته شده طلا در سایر قسمت های آن می باشد.

مقصودی (۱۳۸۴) زون سنندج- سیرجان را به عنوان یک ایالت طladار معرفی کرده است و آن

را دارای کانسارها و نشانه‌های معدنی مهم طلا در ارتباط با پهنه‌های برشی، ماگماتیسم و به صورت پلاسربی می‌داند. با توجه به تقسیمات وی محدوده مورد مطالعه، در بخش شمالی این زون (بخش گلپایگان-نقده-ماکو) واقع شده است. این بخش دارای پتانسیل بهتری نسبت به بخش جنوبی (بخش گلپایگان-کهنه‌ج) معرفی شده است. کانسارهای موت، داشکسن و اندیس‌های معدنی کرویان، باریکا، آستانه و آثار معدنی واقع در محور ماکو-اشنویه، الوند همدان، کندر الیگودرز، غرب جلدیان و خرابه پیرانشهر در زون شمالی واقع شده‌اند. از نظر ارتباط با توده‌نفوذی، شاید بتوان کانی‌زایی طلا در این منطقه را با کانی‌زایی‌های مرتبط با گرانیت و گرانودیوریت‌های آستانه اراک مقایسه کرد.

## ۱-۶- منابع و ذخایر طلای کشف شده در منطقه پروژه

تا قبل از مطالعات اخیر، در محدوده مورد مطالعه هیچگونه ذخیره یا نشانه معدنی که حاکی از کانی‌زایی طلا در منطقه مورد مطالعه باشد، کشف و یا معرفی نشده است. اما در فاصله حدود ۲۰ کیلومتری شرق این منطقه، کانسار آهن-سرب-نقره آهنگران قرار دارد که دارای غنی‌شدگی کمی از طلا نیز می‌باشد. در شکل ۱-۴ کانسارها و نشانه‌های معدنی طلا و تنگستن در نقشه ایران مشخص شده‌اند. همانطور که دیده می‌شود، در بخش شمالی زون سندج-سیرجان که محدوده سامن در آن قرار گرفته است، کانسارها و نشانه‌های معدنی طلا با تراکم بیشتری وجود دارند. در جنوب شرقی این محدوده (جنوب شرقی استان همدان) چندین کانسار و اندیس طلا قابل مشاهده است. بنابراین با در نظر گرفتن مشابهت‌های مکانی، زمانی و لیتولوژیکی این محدوده با این اندیس‌ها، به نظر می‌رسد محدوده مورد مطالعه در یک زون دارای پتانسیل برای کانی‌زایی طلا قرار گرفته است. اما از نظر تنگستن آثار و اندیس معدنی دیده نمی‌شود.



شکل ۱-۴- نقشه پراکندگی کانسارها و نشانه‌های معدنی طلا و تنگستن در ایران (نگارنده).

## ۱-۷- خلاصه و تاریخچه اکتشافی قبلی پروژه

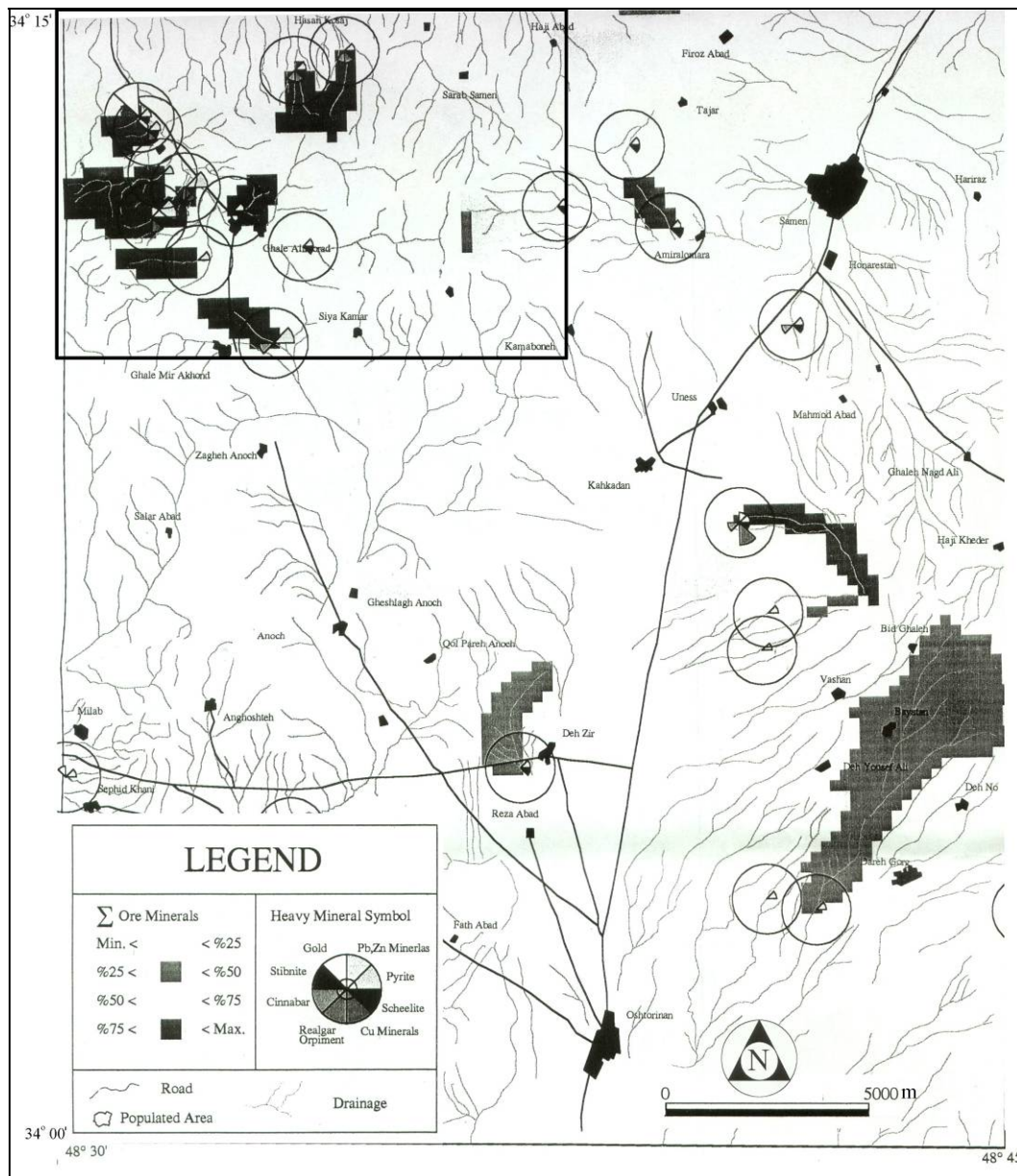
توده نفوذی جنوب ملایر اولین بار در سال ۱۳۴۸ توسط فرقانی مورد مطالعه کانی‌شناسی قرار گرفت. در سال ۱۹۷۳ مجیدی و علوی سنگ‌های نفوذی و دگرگونی منطقه همدان و ملایر را مورد مطالعه قرار دادند. آنها در گزارش خود توده نفوذی گرانیتوئیدی سامن را نیز نام برده‌اند. مدنی (۱۳۵۹) زمین‌شناسی توده نفوذی سامن را در پایان‌نامه کارشناسی ارشد خود مورد مطالعه قرار داده است. جدیدترین مطالعه‌ای که قبل از گزارش حاضر بر روی توده نفوذی غرب سامن صورت گرفته است توسط مجیدی‌فیض‌آبادی (۱۳۷۵)، در پایان‌نامه کارشناسی ارشد خود بوده است که در ذیل مختصراً از آن می‌آید:

«بدنه اصلی توده نفوذی غرب سامن را سنگ‌های تونالیتی - گرانوڈیوریتی که بیوتیت و هورنبلندر در آنها حضور بارزی دارند، تشکیل می‌دهند. سنگ‌های مافیک در دو گروه جدا از هم قرار می‌گیرند. یک گروه توده‌های کوچک گابرویی می‌باشند که در میان سنگ‌های پلیتی دگرگونه نفوذ کرده و با

اثرات بافتی و کانی شناسی دگرگونی و ویژگی تولی ایت، معادل درونی گدازه‌های مافیکی هستند که در بین لایه‌های رسوبی تریاس و ژوراسیک زیرین ریخته‌اند. گروه دیگر، دایکهای دیوریتی هستند که با روند شمال باختری-جنوب خاوری، که روند اصلی تغییر شکل برشی در منطقه می‌باشد، توده نفوذی را قطع کرده‌اند. وجود بافت‌های واکنشی دگرسانی خود به خودی همچون تبدیل پیروکسین‌ها به آمفیبول سبز و تبدیل آمفیبول‌ها به بیوتیت و نیز فراوانی کانیهای فرعی مانند آپاتیت، اثرات دگرسانی شدید در سنگ‌های گرانو دیوریتی و تاثیر شیمیایی بر روی سنگ خاستگاه گرانیت‌های حاصل از گام آناتکسی همراه این دیوریت‌ها، نشانه‌های پویایی سیالهای ماگمایی به هنگام تشکیل آنها می‌باشند. سنگ‌های گرانیت‌وئیدی روشن رنگ مجموعه آذرین سامن نیز از دو گروه تشکیل شده‌اند، سنگ‌های مونزو گرانیتی که براساس نشانه‌های صحرایی همزمان با توده تونالیتی - گرانو دیوریتی پیدا و جایگزین شده‌اند و با ویژگی کالک آلکالن و پرآلومینه، شواهد یک خاستگاه ذوب بخشی سنگ‌های شیلی و آهکی را نشان می‌دهند. ورود ماگمای تونالیتی به چنین جبهه ذوب پوسته‌ای در کنار دلایل بافتی و ژئوشیمیایی، امکان پدیده اختلاط بین ماگمایی حاصل از ذوب بخشی در یک مرز فرورانشی کرانه پویای قاره‌ای با ماگمای فلزیک پوسته‌ای را مطرح می‌کند. گرانیت‌های روشن رنگ مسکویت و تورمالین دار با ویژگیهای بارز خاستگاه آناتکسی مواد پوسته‌ای، آخرین گام پیدایشی گرانیت در این مجموعه را تشکیل می‌دهند. نکته قابل توجه در مورد این گرانیت‌ها، تمایل آنها از پرآلومینه بودن به سوی پرقیلیا شدن می‌باشد. این ویژگی در همان حال که به عملکرد پدیده ذوب بخشی مربوط می‌شود، از تغییرات مقدار  $\text{Na}_2\text{O}$  در سنگ خاستگاه حکایت می‌کند. بررسی دقیق صحرایی و نشانه‌های برگوارگی‌های نخستین و دومین در توده تونالیتی گرانو دیوریتی و نیز تشکیل بافت‌های ویژه در سنگ‌های دگرگونی و اثرات توسعه بخش‌های برشی در داخل توده، نشان می‌دهند که نفوذ آذرین، همزمان با دومین گام دگرگونی ناحیه‌ای در منطقه و به صورت جریان ماگمایی انجام یافته و ساز و کار گسل‌های راندگی، پسی و پس از جایگزینی توده، عمل کرده است. به علاوه نفوذ گرانیت‌ها درون این بخش‌های برشی، در کنار یک ساز و کار راستالغز که خاص چنین کمربندهای کوهزایی فشارشی - انتقالی می‌باشد، ساز و کار ویژه‌ای به نام پمپ انبساطی راستالغز را برای بالا آمدن و جایگزینی آنها نشان می‌دهد. الگوی زمین ساختی که توسط پژوهندگان اخیر مطرح شده شامل توسعه یک کمربند چین و راندگی در اثر برخورد قاره افریقا - عربی به ایران مرکزی می‌باشد که به دنبال فرورانش پوسته اقیانوسی نئوتیس، ورقهای چندی از پوسته افیولیتی و رسوبات پوششی آن را به روی لبه شمالی ورق آفریقا - عربی فرا رانده و ۱۰ تا ۱۵ کیلومتر بر ضخامت پوسته این بخش افزوده است. اما در این الگو به فرآیندهای ماگمایی در این کمربند کمتر توجه شده است. براساس این نتایج، سنگ‌های نفوذی و

بیرونی تریاس تا ژوراسیک زیرین نتیجه پویش یک کمان جزیره‌ای هستند که روی ورق اقیانوسی در جلو ورق قاره‌ای ایران مرکزی تشکیل گردیده و برخورد بعدی آن باله این خرد قاره، تشکیل سنگهای مونزو-گرانیتی را باعث شده است. در این حال نفوذ توده توپالیتی نیز با افزایش گرادیان زمین گرمایی، زمینه را برای اثرات دگرگونی و ذوب‌بخشی فراهم کرده است. فروزانش رشته میان اقیانوسی به زیر این کمربند کوهزایی را نیز می‌توان به عنوان خاستگاه ماگمای دیوریتی آلکالن معرفی نمود که به سهم خود اثرات گرمایی و شیمیایی ویژه‌ای را در هنگام تشکیل دومین گام گرانیت‌های پوسته‌ای به جای گذارد است. با تکامل این کمربند چین و راندگی و برخورد کامل دو پوسته قاره‌ای در میوسن، ارتباط میان منبع قوی ماگمایی با سطوح بالایی پوسته قطع می‌گردد.

همزمان با اجرای پروژه اکتشافات ژئوشیمیایی ۱:۱۰۰،۰۰۰ در ورقه ملایر توسط شرکت کاوشگران (۱۳۸۳) علاوه بر نمونه‌های ژئوشیمی آبراهه‌ای تعدادی نمونه کانی سنگین و همچنین نمونه‌های مینرالیزه از محدوده سامن برداشت شده است، که در تعدادی از نمونه‌های کانی سنگین برداشت شده قبلی دانه‌های طلا و شلیت مشاهده شده است. این مسئله یکی از عوامل تعریف پروژه اخیر و توجیه اقتصادی آن بوده است. در شکل ۱-۵ آنومالی‌های معرفی شده از گزارش مذکور در محدوده غرب سامن مشخص شده‌اند. این آنومالی‌ها دارای درجه یک برای طلا می‌باشند. در این محدوده، مناطق حاوی کانی‌های سنگین طلا و سینابر، همپوشانی خوبی با آنومالی‌های ژئوشیمی طلا نشان داده‌اند و به طور کلی محدوده دارای پتانسیل بالا برای کانی‌زاوی طلا، تنگستن و سینابر معرفی شده است.



شکل ۱-۵-۱- توزیع آنومالی‌های طلا در محدوده مورد مطالعه. این آنومالی‌ها در گزارش اکتشافات ژئوشیمیایی ۱:۱۰۰،۰۰۰ در ورقه ملایر معروفی شده‌اند.

## ۱-۸-۱- اهداف پروژه

بر اساس بند «ب» از شرح خدمات طرح «اکتشاف مقدماتی طلا - در دو منطقه جنوب شرق و غرب سامن در ورقه یکصد هزار ملایر»، مشاور موظف شده است که در محدوده‌ای به وسعت ۵۶ کیلومتر مربع، عملیات اکتشاف نیمه تفصیلی به روش کانی‌های سنگین، انجام دهد (همانطور که قبل اشاره گردید، با هماهنگی ناظر ارشد پروژه، محدوده‌ای به وسعت ۲۱ کیلومتر مربع، به سمت شرق محدوده اضافه گردید و وسعت محدوده به ۷۷ کیلومتر مربع افزایش پیدا کرد). جزئیات شرح خدمات

که به گونه‌ای اهداف پروژه را بیان می‌کند در ذیل آمده است:

۱. تهیه نقشه توپوگرافی و زمین‌شناسی - معدنی در مقیاس ۱:۲۰,۰۰۰ با استفاده از عکس‌های هوایی و اطلاعات تصاویر ماهواره‌ای. تفکیک و برداشت واحدهای لیتولوژی، زون‌های دگرسانی و کانی‌سازی شده، ساختارهای تکتونیکی (زون‌هایی برشی، گسله‌ها و شکستگی‌های اصلی) و زون‌های کنتاکت و غیره و نمونه‌گیری پراکنده از رخنمون‌ها (۲۰ نمونه) برای مطالعات آزمایشگاهی.
۲. نمونه‌برداری کانی‌سنگین به تعداد ۱۰۰ نمونه آماده‌سازی و مطالعه نمونه‌ها با دقت کافی و لازم. آنالیز کلی نمونه‌ها در یک آزمایشگاه معترض، با دقت و صحت کافی. میزان تراکم نسبی ذرات طلا، شلیلت، سینابر و... در نمونه‌ها گزارش شود.
۳. نمونه‌گیری لیتوژئوشیمیائی به تعداد ۶۰ نمونه از زون‌های دگرسانی، کانی‌سازی و رگه-رگچه‌های مینرالیزه، زون‌های کنتاکت بین لیتولوژی‌ها، پهنه‌های برشی و... آنالیز کلی نمونه‌ها در یک آزمایشگاه معترض، نمونه‌گیری بصورت لقمه‌ای (Chip Sampling) در رخنمون‌ها و یا در صورت ضرورت با حفاری ترانشه‌های اکتشافی و نمونه‌گیری بصورت شیاری (Channel Sampling) انجام گیرد. وزن هر نمونه بین ۳ تا ۵ کیلوگرم باشد و حفاری ترانشه تا ۱۵۰ متر مکعب پیش‌بینی شود.
۴. نمونه‌های بند یک (۲۰ نمونه از لیتولوژی‌های مختلف) برای مطالعات سنگ شناسی، از نمونه‌های بند ۳، تعداد ۱۰ نمونه برای کانی‌شناسی XRD و تعداد ۱۰ نمونه برای کانه نگاری منظور گردد.
۵. جمع بندی، تلفیق، پردازش و تحلیل اطلاعات و تدوین گزارش پایانی، همراه با نقشه زمین‌شناسی معدنی و نقشه‌هایی که نمونه‌های کانی‌سنگین و لیتوژئوشیمیائی در آنها جانمایی شده باشند (Sample Location Maps).
۶. ارائه پیشنهاد و معرفی اهداف اکتشافی (Target Areas) همراه با شرح خدمات اکتشافی پیشنهادی.

## ۱-۹- فعالیت‌های انجام شده در اجرای پروژه

- در طول انجام پروژه در راستای اجرای بندی شرح خدمات موارد زیر انجام شده است؟
۱. نقشه توپوگرافی و زمین‌شناسی - معدنی محدوده با مقیاس ۱:۲۰,۰۰۰ و با استفاده از عکس‌های هوایی و اطلاعات تصاویر ماهواره‌ای تهیه شده است. در این عملیات سعی شده است تا با استفاده از تصاویر ماهواره‌ای، کنتاکت‌ها و ساختارهای تکتونیکی به

صورت دقیق‌تر مشخص شوند. همچنین از واحدهای زمین‌شناسی، زون‌های دگرسانی و کانی‌سازی شده نمونه‌گیری بعمل آمد، تا در مطالعات پترولوژیکی، پتروگرافی و مینرالوگرافی مورد استفاده قرار گیرند. در مجموع تعداد ۱۰۴ نمونه (۷۵ نمونه جهت ICP، ۹ نمونه جهت XRD، ۱ نمونه جهت XRF، ۱۰ نمونه جهت مطالعات مقاطع پولیش و ۹ نمونه جهت مطالعات مقاطع نازک) در راستای اجرای بندهای ۱ و ۳ قرارداد برداشت گردید. در جدول ۱-۱ تعداد و نوع آنالیز نمونه‌ها آمده است. وزن نمونه‌ها ۳ تا ۵ کیلوگرم بوده و حفاری ترانشه تا ۱۴۱ متر مکعب انجام گرفته است.

**جدول ۱-۱- لیست نمونه‌های سنگی گرفته شده از محدوده سامن و نوع آنالیز نمونه‌ها**

Sample ID	Method	Sample ID	Method	Sample ID	Method	Sample ID	Method
ZS-۵	Polish	ZT۲S-۱۰	XRD	ZSA-۱۳	ICP	ZT۲S-۹	ICP
ZS-۱۳	Polish	ZT۱S-۱۴	XRD	ZSA-۱۴	ICP	ZT۲S-۱۰	ICP
ZS-۱۵	Polish	ZT۱S-۱۵	XRD	ZSA-۱۷	ICP	ZT۳S-۱	ICP
ZS-۱۶	Polish	ZS-۴	ICP	ZSA-۱۹	ICP	ZT۲S-۱۱	ICP
ZSA-۱۲	polish	ZS-۶	ICP	ZSA-۲۰	ICP	ZT۳S-۲	ICP
ZSA-۱۵	polish	ZS-۱۰	ICP	ZT۱S-۱	ICP	ZT۲S-۱۲	ICP
ZSA-۱۸	polish	ZS-۱۱	ICP	ZT۱S-۲	ICP	ZT۳S-۳	ICP
ZSA-۲۱	polish	ZS-۱۴	ICP	ZT۱S-۳	ICP	ZT۳S-۴	ICP
ZT۱S-۱۶/۱	polish	ZS-۱۸	ICP	ZT۱S-۴	ICP	ZT۳S-۵	ICP
ZT۱S-۱۸	polish	ZS-۱۹	ICP	ZT۱S-۵	ICP	ZT۳S-۶	ICP
ZSA-۱۶	Thin Sec.	ZS-۲۰	ICP	ZT۱S-۶	ICP	ZT۳S-۷	ICP
ZS-۷	Thin Sec.	ZS-۲۱	ICP	ZT۱S-۷	ICP	ZT۳S-۸	ICP
ZS-۸	Thin Sec.	ZS-۲۱S	ICP	ZT۱S-۸	ICP	ZT۳S-۹	ICP
ZS-۹	Thin Sec.	ZS-۲۲	ICP	ZT۱S-۹	ICP	ZT۳S-۱۰	ICP
ZS-۱۷	Thin Sec.	ZS-۲۳	ICP	ZT۱S-۱۰	ICP	ZT۳S-۱۱	ICP
ZS-۲۴	Thin Sec.	ZSA-۱	ICP	ZT۱S-۱۱	ICP	ZT۳S-۱۲	ICP
ZS-۲۶	Thin Sec.	ZSA-۲	ICP	ZT۱S-۱۲	ICP	ZT۴S-۱	ICP
ZT۱S-۱۶	Thin Sec.	ZSA-۳	ICP	ZT۱S-۱۳	ICP	ZT۴S-۲	ICP
ZT۱S-۱۷	Thin Sec.	ZSA-۴	ICP	ZT۲S-۱	ICP	ZT۴S-۳	ICP
ZS-۱۲	XRF	ZSA-۵	ICP	ZT۲S-۲	ICP	ZT۴S-۴	ICP
ZS-۱۲	XRD	ZSA-۶	ICP	ZT۲S-۳	ICP	ZT۴S-۵	ICP
ZS-۲۵	XRD	ZSA-۷	ICP	ZT۲S-۴	ICP	ZT۴S-۶	ICP
ZT۲S-۱۳	XRD	ZSA-۸	ICP	ZT۲S-۵	ICP	ZT۴S-۷	ICP
ZT۲S-۱۶	XRD	ZSA-۹	ICP	ZT۲S-۶	ICP	ZT۴S-۸	ICP
ZT۲S-۱۳	XRD	ZSA-۱۰	ICP	ZT۲S-۷	ICP	ZT۴S-۹	ICP
ZT۲S-۱۴	XRD	ZSA-۱۱	ICP	ZT۲S-۸	ICP	ZT۴S-۱۰	ICP

۲. نمونهبرداری کانی سنگین در وسعتی برابر با ۵۶ کیلومتر مربع به تعداد ۱۰۰ نمونه (با تراکم تقریبی ۱/۸ نمونه در هر کیلومتر مربع) و با حجم هر نمونه ۱۰ لیتر از زیر الک ۱۶ مش انجام پذیرفت. آماده‌سازی و مطالعه نمونه‌ها توسط تکنسین‌ها و کارشناسان با تجربه انجام پذیرفت. در بخش سوم گزارش، اطلاعات بدست آمده از نمونه‌های کانی سنگین بهمراه بخش عمدات از سایر داده‌ها بررسی شده و نتیجه‌گیری نسبی از آنها حاصل گردیده است.
۳. نمونه‌های برداشت شده جهت آنالیز ICP در آزمایشگاه AMDEL کشور استرالیا برای طلا و ۴۳ عنصر همراه و نمونه‌های XRF و XRD در آزمایشگاه شرکت کانسaran بینالود آنالیز شده‌اند.
۴. در طول تهیه نقشه زمین‌شناسی و نمونه‌برداری‌های کانی‌های سنگین، کارشناسان زون‌های میزرازه را مورد پی‌جویی قرار داده و نمونه‌برداری‌های لازم بعمل آمد.
۵. با بررسی نتایج آنالیزها، داده‌پردازی‌ها و تلفیق اولیه اطلاعات نمونه‌های کانی سنگین و زمین‌شناسی، زون‌های آنومالی مشخص و اولویت‌بندی شدند. سپس کارشناسان جهت بررسی زون‌های امیدبخش، آنومالی‌های منطقه را بازدید کردند و تعدادی نمونه جهت مطالعات تکمیلی برداشت گردید.
۶. با جمع‌بندی و تلفیق نهایی اطلاعات، چند محدوده امیدبخش در منطقه مورد مطالعه معرفی شده‌اند و پیشنهادهای اکتشافی جهت مطالعات بعدی ارائه شده است.

## فصل دوم

زمین‌شناسی معدنی

معدود مورد مطالعه

## ۱-۲- واحدهای مختلف زمین‌شناسی و واحد زمین‌شناسی مولد طلا (IGU<sup>۱</sup>)

### مقدمه

در این مرحله از عملیات، ابتدا عکس‌های هوایی با مقیاس ۱:۲۰,۰۰۰ محدوده اکتشافی مورد نظر تهیه و سپس با استفاده از این عکس‌ها و بکارگیری متدهای فتوژئو لوثی ساختار کلی و مقدماتی نقشه زمین‌شناسی تهیه گردید. در مرحله پیمایش صحرایی که در چندین دوره انجام شد، نقشه زمین‌شناسی-معدنی محدوده با مقیاس ۱:۲۰,۰۰۰ تهیه شد. در تهیه نقشه زمین‌شناسی توجه خاص به زون‌های اسکارن، توده‌های نفوذی و حاشیه‌های دگرگونی آنها و همچنین شناسایی دقیق واحدهای سنگی، آلتراسیون، ارتباط واحدهای زمین‌شناسی با کانی‌سازی‌های موجود صورت گرفت. در حین تهیه نقشه زمین‌شناسی ۱۱ نمونه متفرقه جهت انجام آنالیز ICP-MS، مطالعات مینرالوگرافی، پتروگرافی و آنالیز XRD اخذ گردید. از ۲۳ نمونه متفرقه، ۱۱ نمونه جهت آنالیز ICP-MS، ۶ نمونه جهت مطالعات مینرالوگرافی و ۶ نمونه جهت مطالعات سنگ-شناسی در نظر گرفته شد.

نتایج حاصل از مطالعات آزمایشگاهی نمونه‌های فوق الذکر در تهیه نقشه زمین‌شناسی محدوده مورد استفاده قرار گرفت. شرح هر یک از نمونه‌های مورد نظر در مبحث نتایج مطالعات نمونه‌های متفرقه آمده است.

در زیر به تشریح خصوصیات واحدهای زمین‌شناسی موجود در محدوده نقشه (نقشه زمین‌شناسی-معدنی ضمیمه شماره ۵ است) از قدیم به جدید می‌پردازیم.

### ۱-۱-۲- شرح واحدهای زمین‌شناسی

#### ۱-۱-۱- واحد TRL آهک دگرگون شده

واحد TRL یک واحد آهک دگرگون شده و کریستالیزه می‌باشد. این واحد شامل آهک با رنگ‌های مختلف از خاکستری تیره و روشن تا سفید و متعلق به تریاس است که در سطح هوازده، رنگ سنگ، خاکستری روشن با لایه‌بندی ظریف و تناوب لایه‌های سفید و خاکستری نیز در سنگ مشاهده می‌شود. سطح تازه سنگ خاکستری روشن همراه با حفراتی است که به وسیله بلورهای کلسیت

پرشده‌اند. گاهی این کلستیها به صورت رگه و رگچه‌های ظریف به رنگ سفید در سنگ دیده می‌شوند. این آهک کریستالیزه متوسط تا نازک لایه است. لایه‌ها به صورت بسیار نازک اولیه و لامیناسیونهای ظریف تاحداکثر ضخامت ۵۰-۶۰ سانتیمتر نیز مشاهده می‌شوند. این واحد سنگ آهک بلورین به طور هم‌شیب با واحدهای شیستی و فیلیتی پوشیده شده است. این واحد با ضخامت ۱۰۰ متر در قسمتهايی از شمال غرب محدوده رخنمون دارد. در قسمتهاي مرکزی محدوده اکتشافی نیز این واحد با رخنمون نسبتاً وسیعی مشاهده می‌شود. در قسمت جنوب-جنوب غربی محدوده ضخامت این واحد بیشتر شده و رخنمون نسبتاً وسیعی را در آنجا مشاهده می‌کنیم. شکل ۱-۲ نمایی از این واحد را نشان می‌دهد.



شکل ۱-۲- نمایی از واحد آهک دگرگون شده (TRL) در شمال غرب محدوده (دید به طرف شمال غرب)

#### ۱-۱-۲- واحد TR SH-S (شیست و ماسه سنگ دگرگون شده)

واحد شیست و ماسه سنگ دگرگون شده در قسمتهايی از غرب و مرکز محدوده اکتشافی رخنمون دارد و شامل تناوبی از ماسه سنگ و شیستهای ظریف لایه می‌باشد (شکل ۲-۲). رگه‌های سیلیس با ضخامت حداقل ۱ متر در این واحد مشاهده می‌شود. رنگ سنگ در رخمنهای این واحد خاکستری تیره تا سیاه و در سطح تازه به رنگ خاکستری روشن می‌باشد. عمدۀ رخنمون این واحد

شیستهای ظریف لایه می‌باشند و ماسه سنگ‌ها به صورت میان لایه‌هایی با ضخامت حداً کثر ۲۰ سانتیمتر در آن مشاهده می‌شود.



شکل ۲-۲- نمایی از واحد شیست و ماسه سنگ دگرگون شده در نواحی مرکزی محدوده اکتشافی (دید به جنوب شرق)

### ۱-۱-۳- واحد Sk اسکارن

واحد اسکارن موجود در محدوده اکتشافی شامل قسمتهایی از سنگ آهکهای تریاس می‌باشد که به دلیل قرار گرفتن در مجاورت و یا داخل توده گرانودیوریتی به اسکارن تبدیل شده‌اند و کانیهای موجود در آنها شامل گارنت، اپیدوت، رگه‌های سیلیسی است که کانی‌سازی مس به صورت مالاکیت، آزوریت، کالکوپیریت، بورنیت نیز در این اسکارن مشاهده می‌شود (شکل ۲-۳). اسکارنهای موجود در محدوده اکتشافی در بخش شرقی، مرکزی و قسمتهایی از غرب محدوده وجود دارند. ضخامت این واحد حداً کثر به ۵۰ متر می‌رسد.

رونده عمومی اسکارن انگیره ۱۱۰ درجه و شیب عمومی آن ۵۰ درجه به طرف شمال می‌باشد. رخنمون آن طولی در حدود ۲۵۰ متر دارد که به صورت چند لکه پی در پی قابل تعقیب است و بخشهایی از آن به وسیله خاک بر جا و مرتع پوشیده شده است.

بافت نواری ظریفی در رخنمون آن مشاهده می‌شود. لایه‌های مختلفی از مرمرخاکستری تا

سيليس (شکل ۲-۴) به تناوب در زون اسکارن دیده می‌شود. عرض زون اسکارن حدود ۳۰-۲۵ متر و از طرف کمر پائین به مرمر و کمر بالا به گرانودیوریت تبدیل می‌شود. کانی‌سازی مس و آهن در ضخامت و طول محدودی قابل مشاهده است. برای تشخیص تغییرات لیتوژری و کانی‌سازی ۴ ترانشه اکتشافی در اسکارن شمال غرب روستای انجیره، عمود بر امتداد لایه‌بندی حفر و تعدادی نمونه از آنها گرفته شد. این نمونه‌ها وجود کانی‌هایی چون گارنت، کلسیت، پیریت و کانی‌های مس‌دار شامل کالکوپیریت، مالاکیت، بورنیت، کالکوسیت و کولین را تایید می‌کند. شرح و پروفیل ترانشه‌های حفر شده (ضمیمه ۶) در مبحث عملیات مهندسی اکتشاف آمده است.



شکل ۲-۳-بخش‌های سیلیسی و مینرالیزه واحد اسکارن (اسکارن انجیره)



شکل ۲-۴- بخش‌های سیلیسی و مینرالیزه واحد اسکارن- کانی‌سازی مس شامل مالاکیت، آزویریت و کالکوپیریت در این واحد دیده می‌شود (اسکارن انجیره).

#### ۲-۱-۱-۴- واحد $Jph$ فیلیت، اسلیت و شیست خاکستری

واحد  $Jph$  متشکل از فیلیت، اسلیت و شیست به رنگ خاکستری تیره و ماسه‌سنگ دگرگونه می‌باشد. رنگ ظاهری این سنگها خاکستری تیره تا سیاه و متعلق به ژوراسیک می‌باشد. این فیلیتها و اسلیتها از کوارتز، کانیهای گروه فیلوسیلیکاتها و فلدسپات تشکیل شده‌اند. ذرات ریز اپیدوت و تورمالین کانیهای فرعی این سنگها می‌باشند. در قسمتهایی از این واحد توف دگرگون شده و کانیهای کوارتز- فلدسپات، سریست، کلریت اجزاء سنگ را تشکیل می‌دهند. ضخامت این واحد زیاد و در برخی نقاط آن افق‌هایی از سنگ آهک و غیره دیده می‌شود. سنگهای موجود در این واحد گاهی ریزدانه بوده و کوارتر قسمت عمده آن را تشکیل می‌دهد. این واحد در جنوب شرق محدوده اکتشافی و در مجاورت واحد شیست‌های لکه‌دار و هورنفلس مشاهده می‌شود.

#### ۲-۱-۱-۵- واحد $S.sch$ شیست لکه‌دار

واحد  $S.sch$  یک شیست لکه‌دار می‌باشد که در قسمتهای شمال غرب و جنوب شرق محدوده اکتشافی مشاهده می‌شود، رخمنون سنگی در سطح هوازده این واحد به رنگ خاکستری و در سطح تازه، سیاهرنگ است. لایه بندی در این واحد بسیار ظریف بوده و چین خوردگی ظریفی را تحمل کرده‌اند.

بلورهای آندالوزیت در میان لامیناسیون سنگ دیده می‌شود. در این واحد سنگی رگه‌ها و یا نوارهای سیلیسی سفیدرنگ به صورت پراکنده و هم‌شیب با لایه‌بندی وجود دارد (شکل ۲-۵). کانیهای اکسید‌آهن نیز از کانیهای فرعی این واحد به شمار می‌آیند.



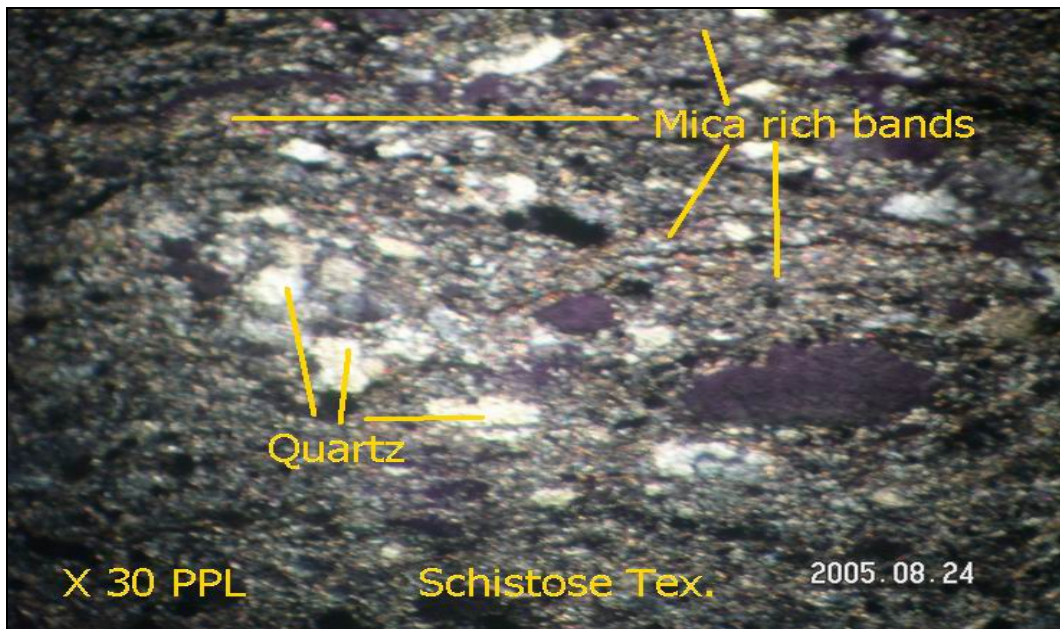
شکل ۲-۵- نمایی از واحد شیست لکه‌دار و رگه و نوارهای‌های سیلیسی آن در شمال غرب محدوده اکتشافی (دید به شمال)

#### ۱-۱-۶- واحد H هورنفلس

واحد هورنفلسی که در حاشیه توده نفوذی سامن قرار دارد. رنگ سطحی آن سیاه همراه با آغشتگی به اکسید‌آهن و در بعضی قسمتهای سطحی قرمزرنگ می‌باشد. سطح تازه سنگ خاکستری تیره است. اکسیدهای آهن در قسمت تازه شامل لیمونیت و هماتیت می‌باشد. بسیار متراکم و ضخیم‌لایه است. نمونه ZS-۸ از این واحد و از مختصات

جهت مطالعات سنگ‌شناسی گرفته شد. در مطالعه مقطع نازک، به ویژه گیهای دگرسانی و تبلور دوباره سنگ اشاره شده است. کانیهای موجود در سنگ شامل سریست، مسکوویت، کوارتز می‌باشد (شکل ۲-۶). بلورهای مسکوویت، سریست بسیار ریزو کانی‌های تشکیل‌دهنده اصلی سنگ می‌باشند که در جهت شیستوزیته سنگ جهت یافتنگی نشان می‌دهند. کوارتزهای سنگ درشت و در بعضی قسمتها ریزبلور و تبلور دوباره یافته، می‌باشند. بلورهای درشت

اغلب به صورت عدسی و چشمی در امتداد شیستوزیته سنگ جهت یافتنگی و کشیدگی دارند. بلورهای ریز و تجدید تبلور یافته سیلیس نیز به همراه بلورهای فیلوسیلیکات گسترش نسبتاً زیادی را نشان می-دهند. نوارهای باریک اکسید آهن در امتداد شیستوزیته قابل مشاهده است. کانیهای اوپاک به صورت بلورهای ریز تا متوسط بی‌شکل در امتداد شیستوزیته و یا پراکنده گسترش زیادی دارند.



شکل ۲-۶ - تصویر میکروسکوپی مقطع تهیه شده از نمونه ۸ ZS-8

#### ۱-۱-۷-۱-۲ - واحد gd گرانیتیوئیدی

واحد سنگی gd شامل توده ای گرانودیوریت، گرانیت و مونزونیت می‌باشد که در قسمتهای عمده‌ای از محدوده اکتشافی رخنمون دارد. روند عمومی آن شرقی-غربی است. همانطور که گفته شد این توده در قسمتهای مختلف، بسته به میزان کانیهای موجود، دارای ترکیب متنوعی است و در حقیقت یک مجموعه از سنگهای نفوذی را تشکیل می‌دهد. به طور کلی می‌توان ترکیبی از گرانیت، گرانودیوریت، مونزونیت تا دیوریت را در آن تشخیص داد. در قسمتهایی از شمال روستای انجیره این واحد در سطح هوازده به دلیل وجود اپیدوت سبزرنگ و در سطح تازه کمی سفید و صورتی دیده می-شود. کوارتز آن نسبتاً کم و در قسمتهایی از توده نیز سنگ بسیار شکننده است. در حاشیه رودخانه خانه‌آباد در شمال روستای انجیره آثار آلتراسیون آرژیلیک در این توده مشاهده می‌شود (شکل ۲-۷).

از این واحد و از مختصات ۳۷۹۰۱۴۱، E ۰۲۷۱۶۵۳ N نمونه شماره ۷ ZS-7 جهت مطالعات سنگ‌شناسی گرفته شد که در آن به بافت گرانولار سنگ اشاره شده است. کانیهای موجود در سنگ شامل، پلازیوکلاز شکل‌دار تا نیمه شکل‌دار با ترکیب الیگوکلاز-آلیت که شدیداً به کانیهای رسی

سریسیت- موسکوویت تجزیه شده است و برخی از شکستگیها به وسیله اکسید آهن پر شده است. کوارتزهای ریز تا متوسط دانه که معمولاً فاصله بین فلذسپاتها را پر کرده‌اند در سنگ مشاهده می‌شود. کانی بیوتیت به کلریت و اکسید آهن تبدیل شده و آمفیبول نیز به وسیله کلریت، کربنات کلسیم و اکسیدهای آهن جایگزین شده‌اند. تصویر میکروسکوپی سنگ در ضمیمه گزارش آمده است.



شكل ۲-۲- نمایی از واحد گرانودیوریت، گرانیت، مونزوئیت(gd) در شمال روستای انجیره،  
قسمتهایی از این واحد آلتراه شده است. (دید به جنوب غرب)

## ۲-۱-۲- واحد زمین‌شناسی مولد طلا

طلا در اسکارن‌ها و رگه‌های سیلیسی غنی‌شدگی نسبی نشان می‌دهد. اما این غنی‌شدگی‌ها در حد غنی‌شدگی کانساری مشخص نشده‌اند. شواهدی از قبیل تشکیل سنگ‌های دگرگونی، اسکارن‌ها و رگه‌های سیلیسی در اطراف یا درون توده گرانودیوریتی منطقه نشان می‌دهد که این پدیده‌ها در ارتباط با جایگزینی توده نفوذی است که بخش وسیعی از محدوده (حدود یک چهارم) را تشکیل می‌دهد. بنابراین تأثیر سیالات هیدروترمالی این توده بر سنگ‌های مجاور باعث ایجاد آلتراسیون و تشکیل زون متاسوماتیسم در سنگ آهک‌های تریاس و واحدهای شیل- ماسه‌سنگ ژوراسیک شده است. عمدۀ کانی‌زایی‌های طلا در رگه‌های سیلیسی اطراف یا درون توده نفوذی و اسکارن‌های موجود در سنگ آهک‌های تریاس رخ داده‌اند. اسکارن‌ها در دو محدوده کوچک مشاهده شده‌اند. اسکارن انجیره در غرب و اسکارن سراب سامن از مهمترین آنهاست و اسکارن‌های کوچکی نیز واقع در کنتاکت توده گرانودیوریتی در مرکز محدوده وجود دارند که از عناصر طلا و تنگستن غنی‌شدگی دارند. واحد هورنفلسی وسعت زیادی دارد و احتمالاً به عنوان پوششی نازک بر روی توده گرانودیوریتی واقع شده است. رگه‌های سیلیسی که در این واحد تشکیل شده‌اند دارای غنی‌شدگی طلا، نقره و بیسموت هستند. به نظر می‌رسد که این رگه‌ها در ارتباط با شکستگی‌های سقف توده گرانودیوریتی و جای گرفتن سیالات هیدروترمالی در واحدهای خرد شده، تشکیل شده باشند. همچنین رگه و نوارهای سیلیسی شیری رنگی در واحدهای دگرگونی شیست و متاستدستون در سراسر محدوده قابل شناسایی که بررسی‌ها نشان داده است که هیچ اثری از کانی‌زایی در این نوارها دیده نشده است.

## ۲-۲- عوامل کلیدی مؤثر در زایش طلا (CGF<sup>۳</sup>)

عواملی از قبیل جایگاه تکتونیکی، کنترل کننده‌های ساختاری، ماهیت و عمق جایگزینی توده نفوذی، عمق تشکیل کانسار در زمان کانی‌سازی، سنگ میزبان، کنترل کننده‌های عیار، آلتراسیون، سن کانی‌سازی، شرایط دما و فشار، از مهمترین عوامل تأثیرگذار بر نوع و شدت کانی‌سازی هستند. البته اطلاعات ما در زمینه عوامل مهمی همچون عمق توده، سن قطعی توده نفوذی و کانی‌سازی بسیار اندک می‌باشد. بررسیهای انجام گرفته در محدوده مورد مطالعه، نشان می‌دهد که حضور یک ساختار حلقوی و گسلهای شعاعی مرتبط با آن، باعث تشکیل زونهای شکستگی در منطقه شده و مکانهای

مناسبی را جهت کانی‌سازی در منطقه به وجود آورده است. به نظر می‌رسد این زونها بیشتر در مرزها و سقف توده نفوذی باعث تشکیل رگه‌های سیلیسی با محتوای کانی‌زایی مس، تنگستن و طلا شده‌اند. با توجه به اینکه کانی‌سازی طلا در اسکارنها و رگه‌های سیلیسی صورت گرفته است و همگی در رابطه فضایی با توده نفوذی تشکیل شده‌اند، بنابراین ماقماً گرانیتوئیدی منطقه به عنوان منشاء، برای سیالات هیدروترمالی پدید آورنده کانی‌زایی‌های مشاهده شده، مطرح می‌باشد.

به عقیده مجیدی‌فیض‌آبادی (۱۳۷۵)، این توده نفوذی یک توده تونالیتی - گرانودیوریتی با ویژگی‌های کالک آلکالن و پرآلومینه است و شواهد یک خاستگاه ذوب بخشی از سنگ‌های شیلی و آهکی را نشان می‌دهد. او همچنین بیان می‌کند که ورود ماقماً گرانیتوئیدی به چنین جبهه ذوب پوسته‌ای در کنار دلایل بافتی و ژئوشیمیایی، امکان پدیده اختلاط بین ماقماً حاصل از ذوب بخشی در یک مرز فرورانشی کرane پویای قاره‌ای با ماقماً فلزیک پوسته‌ای را مطرح می‌کند. گرانیت‌های روشن رنگ مسکویت و تورمالین دار با ویژگی‌های بارز خاستگاه آناتکسی مواد پوسته‌ای، آخرین گام پیدایشی گرانیت در این مجموعه را تشکیل می‌دهند.

جهت بررسی رابطه بین کانی‌سازی‌ها و گرانیتوئید منطقه ۱۶ نمونه از این توده در محل اسکارن انجیره، از ترانشه‌ها انتخاب گردید. علاوه بر این ۱۶ نمونه یک نمونه نیز از توده گرانیتوئیدی در مرکز منطقه (کوه چال‌موسی - نمونه شماره ۴ ZS-۴) انتخاب شده است. با توجه به عدم وسعت و شدت آلتراسیون در مناطق مذکور (انجیره و کوه چال‌موسی)، این نمونه‌ها نسبتاً آلتره نشده هستند. بنابراین از نتایج آنالیز ICP این نمونه‌ها جهت مطالعه و بررسی خصوصیات این توده نفوذی استفاده شده است و نتایج مطلوبی حاصل شده است (جدول ۱-۲). جهت مشخص کردن میزان تفریق در ماقماً نفوذی از نسبت Rb/Sr استفاده شد و نتایج نشان می‌دهد که این نسبت از  $0/038$  تا  $0/040$  با میانگین  $0/038$  تغییر می‌کند (جدول ۱-۲). همانطور که از نتایج برمری آید این ماقماً تفریق متوسط تا کمی را داشته است. تفریق در ماقما در چندین کمپلکس ماقماتیسم مولد طلا بررسی شده و از نتایج چنین برمری آید که کانی‌زایی طلا همراه با فازهایی از کمپلکس ماقماتیسم بوده که بیشترین تفریق را داشته‌اند Mc Coy (Mustrad et al. ۱۹۹۷)

نسبت Rb/Sr در گرانیت‌های مولد ذخایر طلا-بیسموت از  $0/1$  تا  $1$  در تغییر است (Baker et al. ۲۰۰۵). گرانیت‌های مولد ذخایر تنگستن دارای تفریق بیشتری نسبت به نوع مولد ذخایر طلا هستند و دارای نسبت Rb/Sr از  $0/1$  تا  $10$  بوده و شرایط اکسیداسیون متوسطی ( $Fe_2O_3/FeO$ ) از  $0/1$  تا  $2$  را دارند (Baker et al. ۲۰۰۵).

همچنین برای مقایسه این توده گرانیتوئیدی با انواع مشابه مولد کانی‌زایی طلا نسبت‌های K/Rb

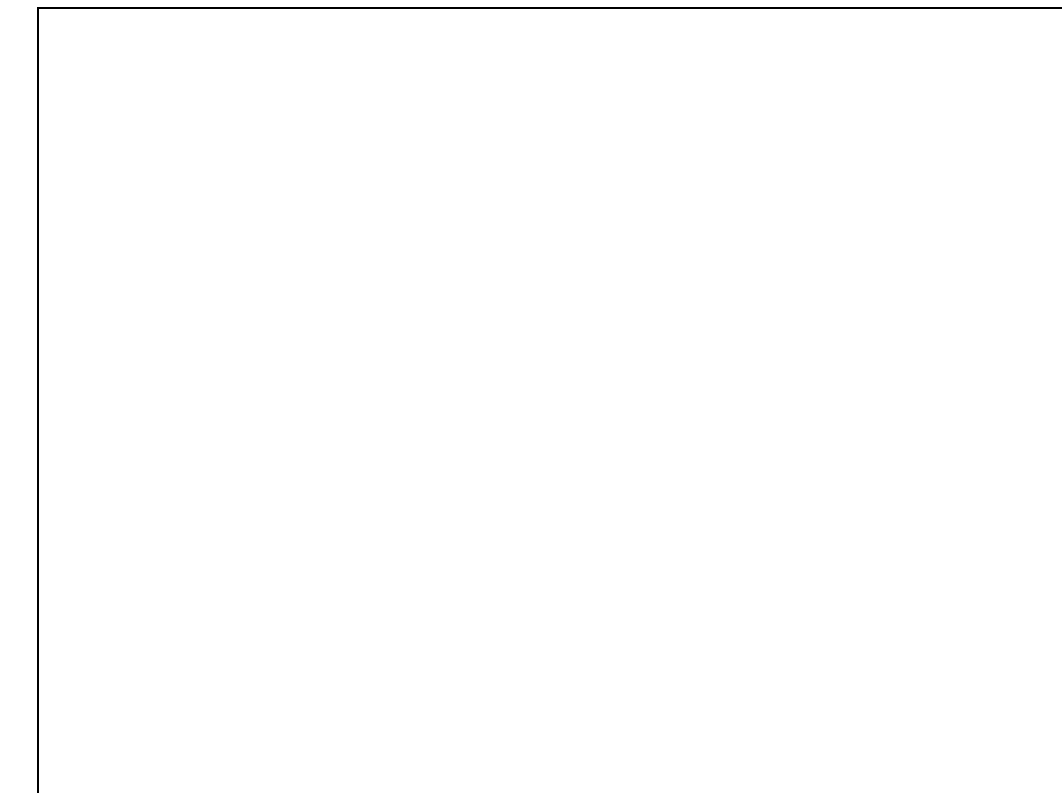
و  $\text{U}/\text{Th}$  محاسبه شده است (جدول ۱-۲). همانطور که مشاهده می‌شود، نسبت  $\text{K}/\text{Rb}$  در این توده گرانیتوئیدی از ۹۸ تا ۶۲۲ تغییر می‌کند و میانگین آن ۲۹۵ است. این در حالی است که در گرانیتوئیدهای میزبان ذخایر طلا، این مقدار معمولاً بیشتر از ۴۰۰ است (Baker et al. ۲۰۰۵). نسبت  $\text{U}/\text{Th}$  نیز از ۰/۲۵ تا ۱۰/۵ تغییر می‌کند و میانگین آن ۵/۶ می‌باشد. این مقدار نشاندهنده تفریق ماگمایی نسبتاً پایین است و شواهد پیشین را تایید می‌کند.

برای محاسبه درجه اکسیداسیون ماگما از نسبت  $\text{FeO}^{\text{t}}/\text{FeO}$  استفاده شد. نسبت  $\text{FeO}^{\text{t}}/\text{FeO}$  در نمونه‌های گرانیتی از ۰/۳۲ تا ۰/۷ با میانگین ۰/۸۴ است که قریب به اتفاق نمونه‌ها نشاندهنده ماگمای سری منیتی است. نسبت  $\text{FeO}^{\text{t}}/\text{FeO} > 0/5$ ، نشاندهنده ماگمای سری منیتی است (Ishihara, ۱۹۸۱) ماگماهای سری منیتی تمایل به غنی‌شدن گوگرد، کلر و فلزاتی که با آنها ترکیب می‌شوند، دارند (Ishihara ۱۹۸۱) و همانند فلزات کانساری (Sillitoe ۱۹۸۷) ممکن است به طور بخشی از آبزدایی بخش لیتوسفری فروزانده شده مشتق شده باشند. این مکانیسم مستلزم شرکت سولفاید و کلراید آب دریاست که توضیح دهنده مقادیر مثبت یون گوگرد و فوگاسیته نسبتاً بالای اکسیژن ماگماهای سری منیتی است (حسنی پاک ۱۳۷۸). این نکته تاییدی بر لزوم منشا گرفتن این توده گرانیتوئیدی از ذوب بخشی پوسته فروزانده اقیانوسی است که مقادیری از آب دریا (کلر و سولفیدار) در آن داخل شده است.

با توجه به خصوصیات ذکر شده از توده گرانیتوئیدی غرب سامن و نیز مقایسه آن با سایر گرانیت‌های مولد اینگونه ذخایر می‌توان نتیجه گرفت که این توده پتانسیل زایش فلزات طلا، تنگستن و حتی بیسموت را دارد. همانطوری که در نمونه‌های مینرالیزه برداشت شده از محدوده مورد مطالعه می‌توان دید، غنی‌شدن گی از هر سه نوع فلز دیده می‌شود. چنانچه مقادیر این غنی‌شدن گی‌ها به ترتیب برای طلا، بیسموت و تنگستن حداکثر به ۳۹۹ ppm، ۵۴۶ ppb و ۲۱۳۰ ppm رسیده‌اند. این عیارهای حداکثری در مورد طلا و بیسموت مربوط به رگه‌های سیلیسی و در مورد تنگستن مربوط به اسکارن‌ها هستند. با در نظر گرفتن تفریق نسبتاً کم این توده گرانیتوئیدی، نمی‌توان انتظار کانی‌زایی‌های چندان قابل ملاحظه‌ای را خصوصاً برای تنگستن داشت. این عناصر با افزایش تفریق ماگما در سیالات هیدرотرمالی غنی می‌شوند و در شرایط مناسب از قبیل زون‌های ضعیف شده و شکستگی‌ها به علت کاهش سریع فشار و دما و نیز در برخورد با سنگهای آهکی به علت تغییر (افزایش) PH نهشته می‌شوند.

از مهمترین پارامترهای مؤثر دیگر در نوع و حجم کانی‌زایی، فاصله کانی‌زایی از توده نفوذی است که طبیعتاً با افزایش این فاصله، کانی‌زایی‌ها از Au-Bi-W به سمت عناصر فلزات پایه تغییر

Intrusion hosted کانی‌زایی‌های رخداده در محدوده مورد مطالعه، در موقعیت‌های (رگه‌های سیلیسی) و Proximal (اسکارن‌ها) دیده شده‌اند. این رگه‌های سیلیسی در موقعیت‌های سقف توده و یا در درون مرزهای (Endocontact) آن دیده می‌شوند. به نظر می‌رسد بخش مهمی از این کانی‌زایی‌ها در کنتاکت بلافصل توده نفوذی گرانیتوئیدی با سنگ‌های دربرگیرنده تشکیل شده باشد. بطوریکه بخش‌های ترد و شکننده در مرزهای توده نفوذی مکان‌های مناسبی برای تبادلات سیال‌ها و نهشت ذخایر طلا و بیسموت بوده است. برخلاف این قسمت‌ها کانی‌زایی‌های اسکارنی بیشتر دارای غنی‌شدگی تنگستن هستند هر چند مقدار آن به آستانه اقتصادی نمی‌رسد. شواهد مطالعات کانی‌سنگین نشان داده که ذرات نسبتاً فراوانی از طلا در نمونه‌ها وجود دارد. لذا باید بخش‌هایی از کانی‌زایی‌های طلا در سقف یا مرز توده نفوذی فرسوده شده و طلای آزاد شده در رسوبات آبراهه‌ای وارد شده باشد. در شکل ۸-۲ مدل زمین‌شناسی و فرسایشی توده گرانیتوئیدی محدوده و سنگ‌های دربرگیرنده ارائه شده است. با توجه به این مدل، بیشتر کانی‌زایی‌ها در مجاورت مرز توده و توده‌های اسکارنی تشکیل شده و بخشی از کانسار در اثر فرسایش از بین رفته است.

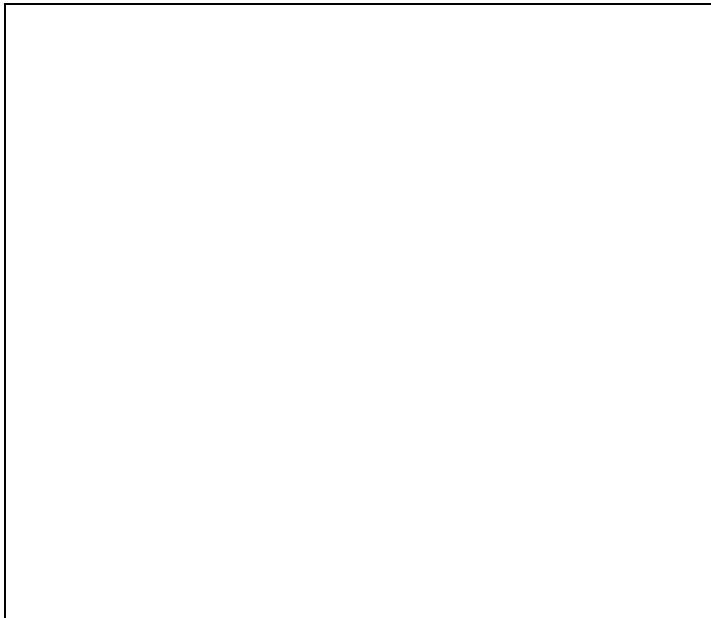


شکل ۸-۲ مدل زمین‌شناسی و فرسایشی توده گرانیتوئیدی غرب سامن و سنگ‌های دربرگیرنده قبل و بعد (a) و (b) از فرسایش

**جدول ۱-۲- بررسی تغییرات عناصر در توده گرانیتوئیدی سامن و محاسبه نسبت‌های کاربردی مورد استفاده، در بررسیهای پترولوزی و ژئوشیمیایی در منطقه**

Sample ID	Ti(%)	Fe(%)	Al(%)	Ca(%)	K(%)	Na(%)	Nb	U	Rb	Th	Y	Rb/Sr	K/Rb	Th/U	TiO <sub>2</sub> (%)	FeO <sup>r</sup> (%)	FeO(%)	FeO <sup>r</sup> /FeO
ZT <sup>2</sup> S-11	0,۲۰	۱,۸۵	۶,۳۱	۱۱,۵	۱,۷۲	۱,۶۹	۱۲,۸	۲,۳۶	۷۶,۲	۱۷,۸	۴,۳۷	۰,۳۸	۲۲۵,۷۲	۷,۵۴	۰,۲۴	۱,۷۴	۰,۹۰	۱,۹۲
ZS-۴	۰,۲۳	۲,۴۷	۸,۰۴	۳,۶۱	۲,۱	۱,۶۷	۱۳,۰	۳,۶۷	۹۹,۸	۲۶	۱۲,۷	۰,۳۸	۲۱۰,۴۲	۷,۰۸	۰,۲۷	۱,۷۷	۱,۷۶	۱,۰۱
ZT <sup>2</sup> S-۲	۰,۳۴	۲,۷۶	۸,۳	۲,۰۴	۲,۴	۲,۷۴	۱۸,۴	۲,۹	۹۰,۹	۱۹,۶	۶,۶۳	۰,۳۳	۲۶۴,۰۳	۶,۷۶	۰,۴۱	۱,۹۱	۲,۰۳	۰,۹۴
ZT <sup>2</sup> S-۱۰	۰,۳۷	۲,۶۷	۷,۸۳	۲,۰۳	۱,۷۶	۳,۸۷	۲۰,۳	۲,۴۷	۵۰,۲	۱۶,۰	۸,۰۳	۰,۱۴	۳۵۰,۶۰	۶,۶۸	۰,۴۴	۱,۹۴	۱,۸۷	۱,۰۴
ZT <sup>1</sup> S-۱۰	۰,۳۲	۲,۶	۸,۷۶	۲,۸۴	۲,۰۶	۲,۷	۱۸,۰	۳,۴۳	۷۰,۱	۲۲,۸	۱۱,۶	۰,۱۵	۲۹۳,۸۷	۶,۶۵	۰,۳۸	۱,۸۸	۱,۸۳	۱,۰۳
ZT <sup>1</sup> S-۱۳	۰,۳۰	۴,۲۲	۸,۷۰	۸,۰۶	۱,۱۹	۲,۱۲	۱۴,۶	۲,۶۳	۴۷,۹	۱۶,۹	۱۰,۹	۰,۱۷	۲۴۸,۴۳	۶,۴۳	۰,۳۶	۱,۸۶	۴,۱۶	۰,۴۰
ZT <sup>1</sup> S-۹	۰,۳۲	۲,۷۵	۸,۰۶	۲,۸۱	۲,۶۸	۲,۳	۱۷,۶	۳,۰۴	۸۴,۰	۱۹,۳	۱۱,۷	۰,۱۹	۳۱۷,۱۶	۶,۳۵	۰,۳۸	۱,۸۸	۲,۰۵	۰,۹۲
ZT <sup>2</sup> S-۱۱	۰,۳۹	۳,۰۳	۱۰,۳	۲,۸۲	۲,۶۵	۳,۰۲	۲۰,۵	۳,۲۵	۱۰,۳	۲۰,۴	۱۱,۴	۰,۲۲	۲۰۷,۲۸	۶,۲۸	۰,۴۶	۱,۹۶	۳,۰۸	۰,۶۴
ZT <sup>2</sup> S-۷	۰,۲۴	۲,۲۶	۰,۹۹	۷,۸۷	۱,۶۳	۲,۱۹	۱۳,۳	۲,۳۳	۴۴,۰	۱۴,۲	۱۰,۲	۰,۱۹	۳۶۶,۲۹	۶,۰۹	۰,۲۸	۱,۷۸	۱,۴۴	۱,۲۴
ZT <sup>2</sup> S-۱	۰,۳۵	۳,۱۳	۷,۶۱	۲,۴۱	۲,۳۲	۲,۰۸	۱۰,۶	۲,۴	۶۶,۱	۱۴,۶	۶,۳۹	۰,۲۲	۳۵۰,۹۸	۶,۰۸	۰,۴۲	۱,۹۲	۲,۰۵	۰,۷۰
ZT <sup>3</sup> S-۱	۰,۴۷	۳,۳۸	۹,۱۸	۴,۱۹	۱,۱۷	۴,۳۴	۱۶,۰	۳,۰۹	۲۹,۳	۱۷,۲	۱۰,۶	۰,۰۵	۳۹۹,۳۲	۰,۰۷	۰,۵۶	۲,۰۶	۲,۷۷	۰,۷۴
ZT <sup>1</sup> S-۱۲	۰,۳۷	۳,۱۸	۹,۶۰	۱,۲۳	۱,۸۲	۳,۶۹	۲۰,۸	۳,۳۱	۶۷,۰	۱۸,۳	۱۰,۸	۰,۲۰	۲۶۹,۶۳	۰,۰۳	۰,۴۰	۱,۹۰	۲,۶۰	۰,۷۰
ZT <sup>3</sup> S-۲	۰,۴۰	۳,۱۲	۵,۸۹	۳,۱۳	۱,۴۲	۳,۸۴	۲۱,۸	۱,۸۶	۲۲,۸	۹,۸۸	۹,۷۲	۰,۰۵	۶۲۲,۸۱	۰,۳۱	۰,۴۷	۱,۹۷	۲,۴۸	۰,۸۰
ZT <sup>1</sup> S-۱۱	۰,۳۲	۲,۶۶	۸,۰۱	۴,۹۰	۱,۷۶	۲,۹۳	۱۶,۸	۳,۹۱	۶۴,۷	۲۰,۷	۱۰,۴	۰,۱۹	۲۷۲,۰۲	۰,۲۹	۰,۳۹	۱,۸۹	۱,۹۱	۰,۹۹
ZT <sup>2</sup> S-۹	۰,۳۱	۲,۶۶	۶,۹۴	۳,۳۷	۲,۲۰	۲,۶۴	۱۶,۲	۳,۰۱	۷۱,۱	۱۴	۷,۸۷	۰,۱۹	۳۱۶,۶۶	۴,۶۰	۰,۳۷	۱,۸۷	۱,۹۳	۰,۹۷
ZT <sup>2</sup> S-۸	۰,۳۴	۲,۸۷	۰,۰۶	۲,۰۷	۲,۰۶	۲,۹۲	۲۰,۲	۲,۱	۳۰,۹	۹,۰۲	۶,۹۶	۰,۱۰	۵۷۳,۸۲	۴,۰۳	۰,۴۱	۱,۹۱	۲,۱۹	۰,۸۷

ZT۳S-۱۲	۰,۰۴	۱,۴۳	۱,۳۸	۳۵,۱	۰,۲۶۴	۰,۴۰۸	۲	۱,۶۷	۱۴,۱	۲,۸۲	۴,۲۷	۰,۰۳	۱۸۷,۲۳	۱,۶۹	۰,۰۴	۱,۵۴	۰,۵۰	۳,۱۰
AVERAGE	۰,۳۱	۲,۸۰	۷,۴۷	۵,۹۷	۱,۸۴	۲,۶۹	۱۶,۴۴	۲,۷۹	۶۱,۰۹	۱۶,۰۰	۹,۱۲	۰,۱۹	۳۲۰,۰۶	۰,۸۰	۰,۳۷	۱,۸۷	۲,۱۲	۱,۰۷



شکل ۹-۲- نمودار بررسی رابطه بین تفریق و اکسیداسیون در مآگماهای میزبان ذخایر وابسته به توده‌های نفوذی (blevin ۲۰۰۴). داده‌های حاصل از توده گرانیتوئیدی سامن با علائم لوزی بر روی آن پلات شده است و نشان می‌دهند که این گرانیتوئید در سری منیتی جای می‌گیرد و می‌تواند مولد کانی‌زایی طلا و تنگستن و حتی مس باشد.

نسبت‌های تفریق و اکسیداسیون نمونه‌های توده گرانیتوئیدی، در نمودار شکل ۹-۲ که توسط Blevin (۲۰۰۴) ارائه شده، قرار داده شده‌اند (علائم لوزی). با توجه به مطالعات Blevin and Chappel (۱۹۹۵) این نسبتها بیشتر با گرانیت‌های مولد ذخایر طلا و بیسموت مطابق هستند. با توجه به شکل ۹-۲ این توده گرانیتوئیدی در محدوده میزبان‌های مستعد کانی‌زایی‌های طلا، تنگستن و بیسموت وابسته به توده‌های نفوذی می‌باشد.

## ۳-۲- رویکردهای همراه و پدیده‌های قابل شناخت برای کانی‌سازی طلا (CRC<sup>۳</sup>)

موقعیت قرار گیری کانی‌زایی طلا و تنگستن در ارتباط نزدیک با توده نفوذی گرانیتوئیدی است. این توده در کمربند متاموفپلوتونیکی سنتنچ-سیرجان قرار گرفته است و به دنبال فعالیت‌های فورانشی حاشیه قاره‌ای تشکیل شده است. بنابراین، اولین پدیده قابل شناخت در ارتباط با کانی‌زایی‌های مشاهده شده می‌تواند قرار گیری منطقه در یک زون حاشیه قاره‌ای باشد. به دنبال

فروزانش پوسته اقیانوسی نئوتیس و ایجاد یک کمربند ماگماتیسم، توده‌های نفوذی که اکثراً ماهیت کالکوآلکالن دارند، به سمت بالا حرکت و در سطوح کم عمق نفوذ کرده‌اند. در صورتی که تفریق کافی در این توده‌های نفوذی رخ دهد و به سطوح کم عمق‌تر پوسته توده نزدیک شوند ممکن است پتانسل کانی‌زایی داشته باشند. (Newberry ۱۹۸۲) اظهار می‌کند که عمق تشکیل کانی‌زایی اسکارن تنگستن، ۵ الی ۱۵ کیلومتر بوده و علائمی دال بر فشارهای بالای ماگما به هنگام نفوذ، برش‌های نفوذی، دایک و درزه و شکاف، مشاهده نگردیده است. بنابراین با توجه به عمق نسبتاً زیاد جایگزینی توده نفوذی و عدم رخداد تفریق پیشرفته و ظهور محصولات اسیدی‌تر، نمی‌توان در مجاورت این توده‌ها انتظار پدیده‌های قابل شناختی مانند آنچه در ذخایر پورفیری یا ذخایر اپی‌ترمال مشاهده می‌شود را داشت. ضخامت این اسکارن‌ها بندرت ممکن است به بیش از ۱۰ متر برسد. لذا بخش‌های مجاور با مرز توده گرانیتوئیدی و یا بخش‌هایی از سقف توده که لایه‌های نازکی از واحدهای آهکی بر روی آن قرار گرفته‌اند، دارای بیشترین احتمال برای مشاهده کانی‌زایی هستند.

از مهمترین پدیده‌هایی که از نظر زمین‌شناسی در این منطقه رخ داده است می‌توان نفوذ توده گرانیتوئیدی و فرآیندهای دگرگونی و دگرسانی مرتبط با آن است، به طوریکه پدیده دگرگونی در بیشتر محدوده قابل مشاهده است و در مجاورت توده گرانیتوئیدی به واحدهای هورنفلسی متنه می‌شود. اما آلتراسیونهای رخ داده عمدتاً ضعیف بوده و وسعت کمی دارند. لذا در این تیپ از ذخایر نمی‌توان با بررسی و پی‌جوبی آلتراسیونها کانی‌زایی‌ها را در منطقه دنبال کرد.

با توجه به اینکه نفوذ این توده گرانیتوئیدی در واحدهای سنگ‌آهکی می‌تواند اسکارن ایجاد کند، می‌توان کانی‌زایی‌هایی از آهن، طلا، تنگستن و سایر فلزات پاراژنزی را در مرزهای این توده انتظار داشت. بنابراین توجه به این نکته می‌تواند به عنوان یک الگوی پی‌جوبی‌های اکتشافی باشد.

نوارهای سیلیسی فراوانی در واحدهای دگرگونی مشاهده شده است که عمدتاً دارای وسعت کم هستند و بیشتر در واحد هورنفلسی توسعه پیدا کرده‌اند. در بسیاری از این نوارهای سیلیسی، جهت برداشت سیلیس، آثار معدنکاری دیده می‌شود. اما مشاهدات صحرایی و نمونه‌های برداشت شده، هیچکدام نشانده‌نده کانی‌زایی نبوده‌اند.

## ۲-۴- کانسازندها (Ore Formation) و آثار کانی‌سازی (تیپ‌بندی آثار کانی‌زایی بر اساس همزادی کانی‌ها)

همه کانی‌زایی‌ها در ارتباط با رگه‌های سیلیسی و اسکارنهای منطقه مشاهده شده است. اسکارن انجیره در حدود ۲ کیلومتری شمال غرب روستای انجیره، اسکارن ایرینه سامن در جنوب غرب

روستای ایرینه سامن و اسکارن علیمراد در فاصله حدود ۳ کیلومتری شرق روستای علیمراد، در سنگهای آهکی تریاس از مهمترین آنهاست. از آنجا که این اسکارنها در کنタکت بلافصل یک توده نفوذی فلزیک و یا در نزدیکی آن واقع شده‌اند، مستعد کانی زایی طلا و تنگستن بوده‌اند و در زمرة تیپ اسکارن‌های طلا و تنگستن دار وابسته به توده‌های نفوذی قرار می‌گیرد. مطالعات کانی‌شناسی نشان‌دهنده حضور کانیهای کلسیت، گارنت (آندرادیت)، اپیدوت و سیلیس (ژاسپروثید) می‌باشد. عمدۀ کانه‌های مشاهده شده در مقاطع صیقلی کالکوپیریت، کالکوسیت و منیتیت بوده‌اند. گارنتهای همراه با اسکارن‌های طladار، از گارنت‌های مرتبط با بسیاری از تیپهای دیگر اسکارنی، آلومینیوم بیشتری دارند (Meinert ۱۹۸۸). مطالعات XRD مقادیر قابل توجهی آندرادیت را نشان داده‌اند و در هیچ نمونه‌ای گروسوولر یافت نشده است. این وضعیت می‌تواند حاکی از کم بودن مقادیر آلومینیوم در این اسکارن باشد.

در کانی زایی تنگستن و طلا اسکارن انجیره، عناصر Ag, Bi,Cu,Te همبستگی بالایی با طلا دارند (جدول ۲-۲). بیشترین همبستگی نیز تنگستن با Ag, Hg, Bi, Cu, Hg و به همراه عناصر As, Pb, Zn, Sb, Cr غنی‌شدگی نشان می‌دهند. میانگین نسبت Au/Ag در اسکارن انجیره محاسبه شده است و مقدار آن حدود ۰/۰۲ است. این در حالی است که در ذخایر مشابه در سراسر دنیا این مقدار به حدود ۱ می‌رسد (مقصودی ۱۳۸۴).

## جدول ۲-۲- ضرایب همبستگی بعضی عناصر با طلا در نمونه‌های مینرالیزه برداشت شده از اسکارن

انجیره

	Au	Hg	Ag	As	Bi	Cu	Mo	Pb	Sb	Zn	Sn	W	Te	Cd
Au	۱	۰,۵۴	۰,۸	۰,۶۱	۰,۷۱	۰,۸۱	۰,۲۸	۰,۵۶	۰,۴	۰,۷۷	۰,۵۱	۰,۵۸	۰,۷۸	۰,۰۵
W	۰,۵۸	۰,۹۸	۰,۷	۰,۴۸	۰,۷۶	۰,۷۳	۰,۶۸	۰,۳۷	۰,۵۲	۰,۴۵	۰,۶۹	۱	۰,۶۶	۰,۴۴

از نظر موقعیت مکانی این اسکارنها در بروون‌مرز (Exocontact) توده نفوذی گرانیت‌وئیدی واقع شده‌اند و با توجه به مطالعات ساختمانی و بازسازی‌های سقف توده (شکل ۸-۸) می‌توان چنین نتیجه گرفت که ضخامت چندان زیادی نداشته باشند. به طوریکه ارتفاعات سنگهای آهکی مجاور با توده‌های نفوذی، تحت تأثیر سیالات هیدرولیکی این توده قرار نگرفته‌اند. احتمالاً ضخامت این اسکارن‌ها کمتر از ۱۰۰ متر است.

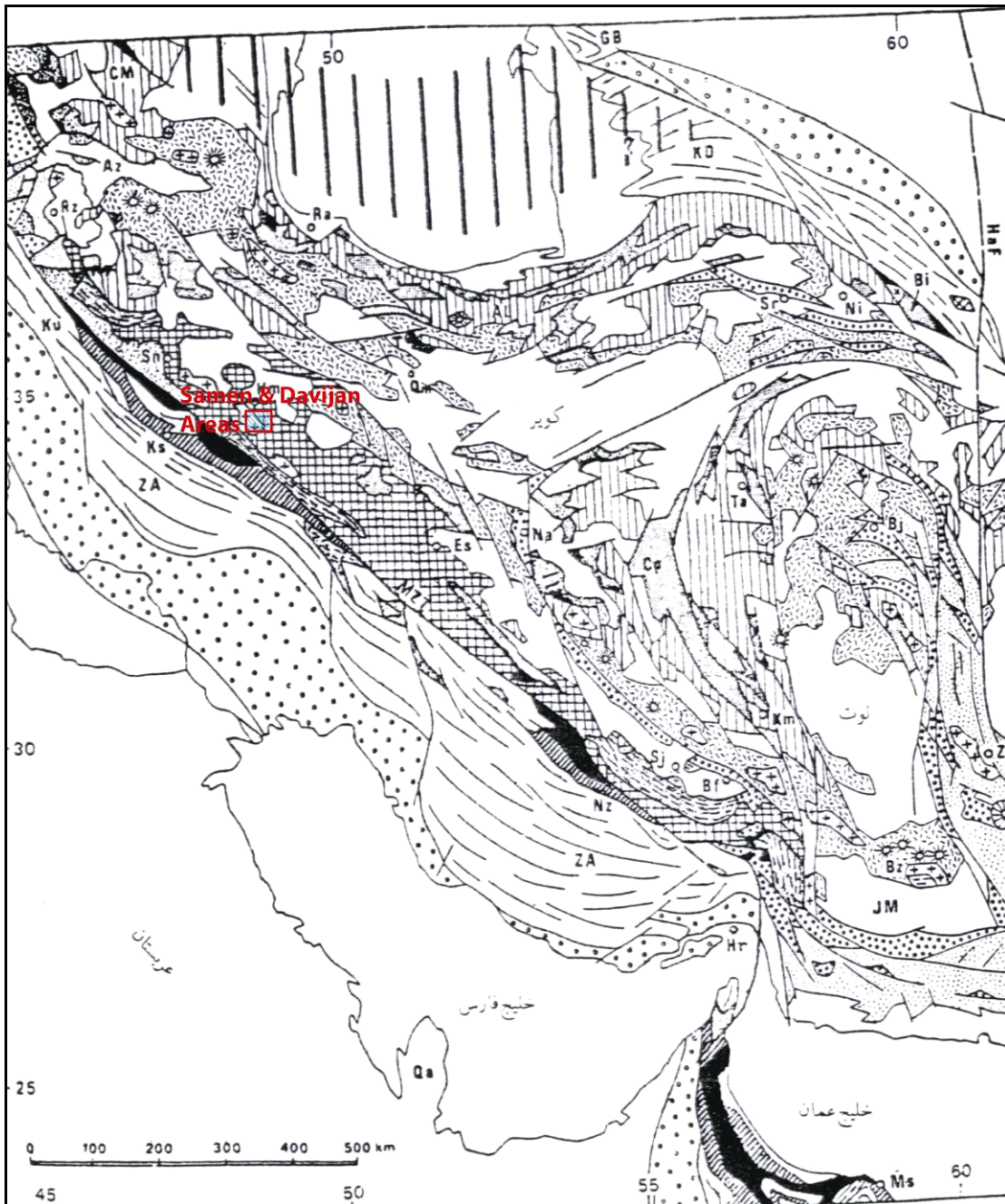
به نظر می‌رسد تنگستن در اسکارن انجیره به عنوان محصول اصلی باشد. در اسکارنهایی که محصول اصلی آنها طلا است، محتمل‌ترین کانه‌ها به ترتیب کالکوپیریت، پیریت، پیروتیت و آرسن‌پیریت است، در صورتیکه در انواعی که طلا محصول فرعی می‌باشد، منیتیت جای آرسن‌پیریت را می‌گیرد (مقصودی ۱۳۸۴). بنابراین عدم مشاهده آرسن‌پیریت و حضور منیتیت در این اسکارن

می‌تواند نشاندهنده کانی‌زایی طلا به صورت فرعی باشد.

دسته دوم از کانی‌زایی‌ها مربوط به رگه‌های سیلیسی می‌شود. رگه‌های سیلیسی که دارای کانی‌زایی هستند، عمدهاً در اسکارنها و آهکهای دگرسان شده مشاهده شده‌اند و یا در مواردی در ارتباط نزدیکی با توده گرانیتوئیدی مشاهده شده‌اند. اما دسته‌ای دیگر از واحدهای سیلیسی را می‌توان در منطقه تفکیک کرد که فاقد کانی‌زایی می‌باشند. رگه‌های اخیر مرتبط با پدیده دگرگونی بوده و معمولاً به صورت عدسی‌های سیلیسی با ضخامت چند سانتی‌متر تا چند متر و طول کمتر از ۱۰ متر، مشاهده می‌شوند. رگه‌های سیلیسی که در اسکارنها رخ داده‌اند در سراسر محدوده قابل شناسایی هستند و آثار کانی‌زایی مس و آهن در سطح آنها قابل مشاهده است. این رگه‌ها گاهی به صورت ژاسپروئید دیده می‌شوند. از آنجایی که ژاسپروئید معمولاً در سیستمهای اسکارن طladar وجود دارد، تغییرات نسبت برخی از عناصر در این نوع سنگ، می‌تواند به عنوان راهنمای اکتشافی به کار برد شود.

## ۲-۵- تکتونیک و زمین‌ساخت منطقه و ارتباط عوامل ساختاری با زایش طلا

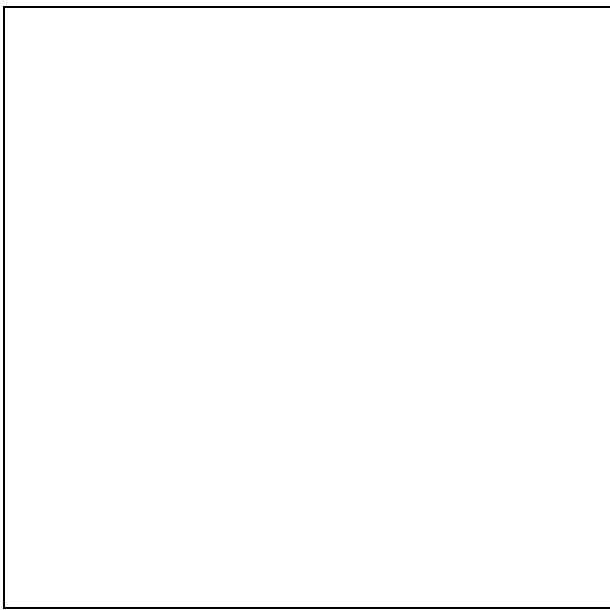
در سالهای اخیر مطالعات ساختمانی نشان داده‌اند که در طول جانشینی ماگما و توسعه رگه‌ها، محیط‌های ساختاری مشابهی وجود داشته است (Baker et al. ۲۰۰۵). Goldfarb et al. (۲۰۰۰) با بررسی محیط تکتونیکی چند ایالت پلوتونیک که ذخایر طلا را دربر گرفته‌اند، نتیجه گرفتند که محیط‌های کوهزایی فروزانشی و فشارشی مکان مناسبتری برای تشکیل این ذخایر هستند. با توجه به شکل ۱۰-۲ محدوده اکتشافی در واحدهای گرانیتی و دیوریتی مربوط به فاز کیمرین پسین و آلپی و رسوبات مزوژوئیک (که بیشتر دگرگونه هستند) واقع شده‌اند.



شکل ۱۰-۲ - تقسیمات زمین‌شناسی اشتولین (۱۹۷۷)

جهت بررسی جایگاه تکتونیکی، منشاء و چگونگی پیدایش این توده نفوذی داده‌های عناصر کمیاب حاصل از آنالیز ICP-MS نمونه‌های گرانیتوئیدی (۱۷ نمونه) بر روی نمودار Pearce (۱۹۸۴) قرار داده شد. نتایج نشان می‌دهد که گرانیت منطقه دارای خصوصیات گرانیتهای درون قاره‌ای یا WPG (Within Plate Granite) است که با توجه به قرارگیری این توده نفوذی در رسوبات پوسته قاره‌ای مزوژوئیک می‌توان آن را به فروزانش پوسته اقیانوسی نشوتنیس نسبت داد (شکل

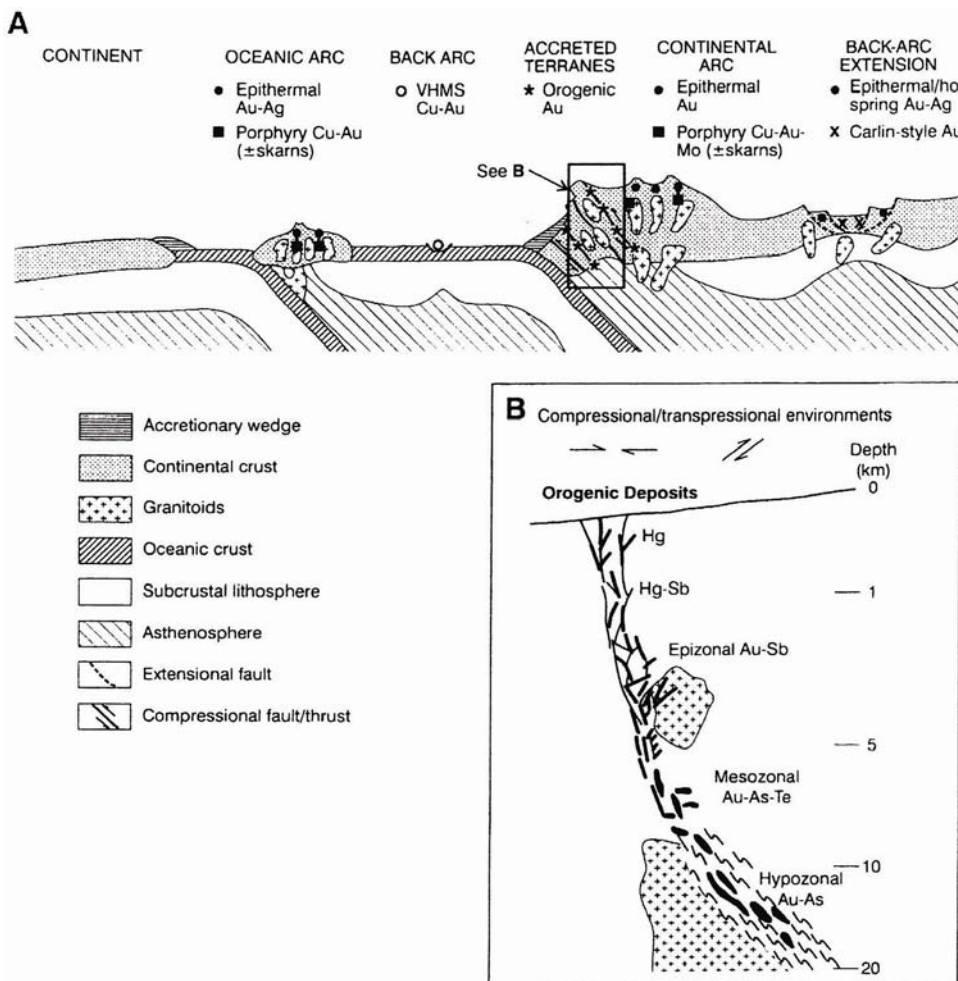
۱۱-۲). مطالعاتی که توسط (Flanigan et al. ۲۰۰۰) انجام شده است نشان می‌دهد که بیشتر ذخایر طلا و تنگستن مرتبط با توده‌های نفوذی در محیط گرانیت‌های قوس آتشفسانی تشکیل می‌شوند. بنابراین به نظر می‌رسد این توده گرانیتوئیدی از این امتیاز بی‌بهره است.



شکل ۱۱-۲ - نمودار تغییرات عناصر کمیاب (Pearce, ۱۹۸۴) از توده نفوذی منطقه که نشان‌دهنده گرانیتهای درون قاره‌ای (WPG) است.

بررسی دقیق صحرایی و نشانه‌های برگوارگی‌های نخستین و دومین در توده تونالیتی گرانیتوئیدی و نیز تشکیل بافت‌های ویژه در سنگهای دگرگونی و اثرات توسعه بخش‌های بشی در داخل توده، نشان می‌دهند که نفوذ توده آذرین، همزمان با دومین گام دگرگونی ناحیه‌ای در منطقه و به صورت جریان ماقمایی انجام یافته و ساز و کار گسل‌های راندگی، پی و پس از جایگزینی توده، عمل کرده است. به علاوه نفوذ گرانیت‌ها درون این بخش‌های بشی، در کنار یک ساز و کار راستالغز که خاص چنین کمربندهای کوهزایی فشارشی-انتقالی می‌باشد، ساز و کار ویژه‌ای به نام پمپ انبساطی راستالغز را برای بالا آمدن و جایگزینی آنها نشان می‌دهد (مجیدی‌فیض‌آبادی ۱۳۷۵).

شکل شماره ۱۲-۲ مدلی برای فروزانش پوسته اقیانوسی است که محل و چگونگی تشکیل ذخایر طلای وابسته به کوهزایی‌ها را نشان می‌دهد (Goldfarb et al. ۲۰۰۱). با توجه به این مدل به نظر می‌رسد که موقعیت و نوع کانی‌سازی طلا و تنگستن در اسکارنها و کانی‌سازی‌های وابسته به گرانیتوئیدهای منطقه، شباهت زیادی با محیط تشکیل ذخایر نسبتاً عمیق در زون‌های برخوردي (Accreted Terranes) دارند.

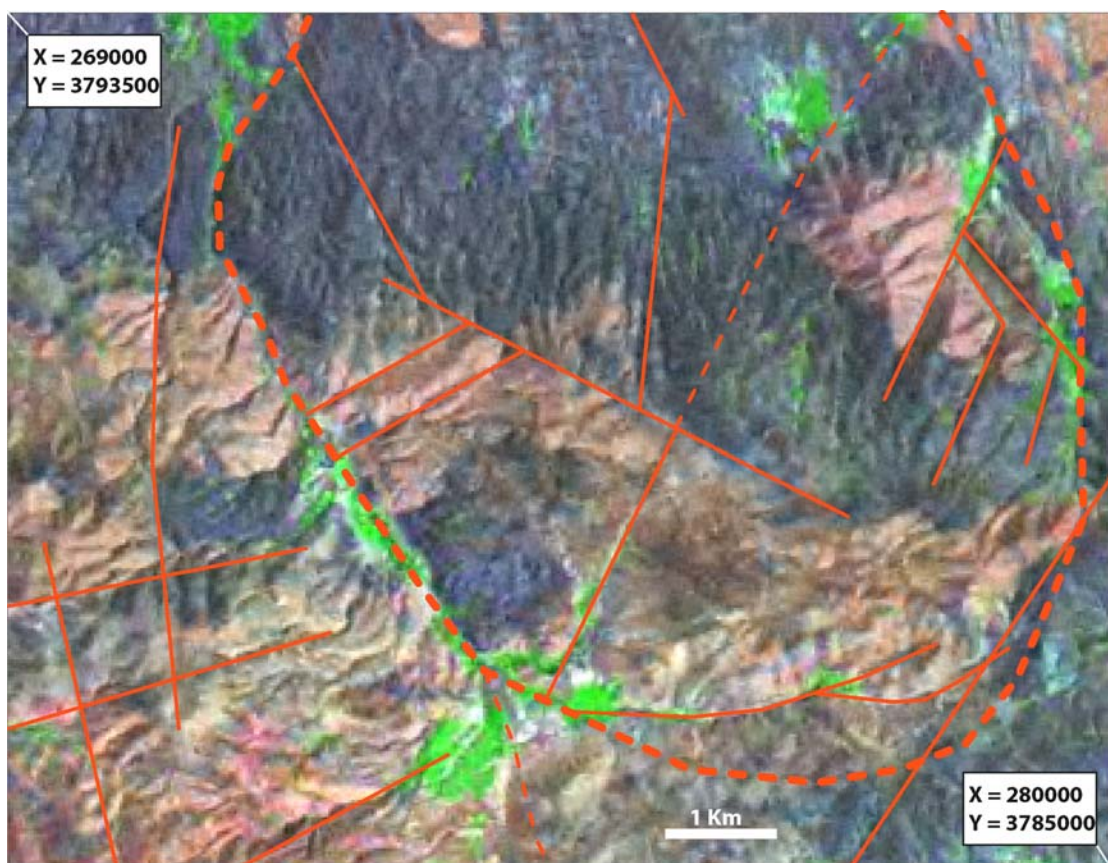


شكل ۱۲-۲- مدل ارائه شده توسط (Goldfarb et al. ۲۰۰۱) که محل و چگونگی تشکیل ذخایر طلای وابسته به کوهزایی‌ها را نشان می‌دهد.

با توجه به مدل فوق تشکیل این ذخایر به دنبال ذوب پوسته فروزانده و تشکیل ماگما رخ می‌دهند. بطوریکه با جانشینی ماگما در سطوح بالاتر و فرار سیالات به سمت زونهای شکننده و خردشده (Brittle) دما و فشار سریعاً کاهش یافته و تشکیل ذخایر طلا را داده است.

با توجه به نقشه زمین‌شناسی ۱/۲۰،۰۰۰ منطقه مورد مطالعه و با بررسی تصاویر ماهواره‌ای، یک ساختار حلقوی با قطر حدود ۱۰ کیلومتر (شکل ۱۳-۲) بیشتر محدوده را در برگرفته است و گسلهای شعاعی در ارتباط با این توده به خوبی توسعه پیدا کرده‌اند. محل تقاطع این گسل‌ها در مرکز محدوده در جاهایی که مرز توده گرانیتوئیدی را قطع کرده‌اند، مستعد کانی‌زایی بوده‌اند و بررسیهای صحرایی و نتایج مطالعات کانی‌سنگین و همچنین نمونه‌های مینرالیزه نشان داده است که کانی‌زایی‌ها انطباق خوبی با این مناطق داشته‌اند. یک گسل مهم در غرب روستای حسن کوسنج با امتداد تقریباً شمالی-جنوبی قرار گرفته است که آنومالیهای زیادی بر آن منطبق شده‌اند. این کانی‌زایی‌ها شامل طلا، تنگستان، سرب

و روی بوده که با نزدیک شدن به مرز توده گرانیتوئیدی شدت یافته‌اند. یک گسل مهم دیگر با روند NW-SE در مرکز محدوده قرار گرفته است که همراه با شاخه‌های فرعی خود بیشترین کانی‌زایی طلا را در بر داشته است.



شکل ۲-۱۳ تصویر ماهواره‌ای محدوده مطالعه که نشانده‌هنده یک ساختار حلقوی (خط چین ضخیم) و گسلهای شعاعی مرتبط با آن است.

## فصل سوم

اکتشافات ژئوشیمیایی با

استفاده از نمونه‌های

کانی سنگین

## پیشگفتار

در این بخش پردازش داده های بدست آمده از پروژه اکتشافات ژئوشیمیایی منطقه سامن با تکیه ویژه به اطلاعات کانی های سنگین که بخش اصلی پروژه را تشکیل میدهد انجام یافته است. مشاوران با اعتقاد کامل به توانی های نسبی روش کانی سنگین بویژه در اکتشافات طلا و تنگستن و ویژگی های انحصاری این روش در شناخت فاز کانی سازی و شناخت انحصاری بعضی از کانی ها، به نیمه کمی بودن اطلاعات آن و وابستگی بسیار زیاد به کارشناس متخصص و زبده در مطالعه کانی ها و بعضی دیگر از نواقص آن نیز آگاهی کامل دارند.

در این بخش با توجه به سرخط الگوی گزارش نویسی ارائه شده از سوی کارفرمای محترم ابتدا به متدولوژی و منطق انتخاب روش مطالعات کانی های سنگین پرداخته شده و در پی آن شبکه نمونه برداری و نحوه نمونه برداری کانی های سنگین شرح داده شده است. در ادامه، شیوه مطالعه نمونه های کانی سنگین، اطلاعات حاصله از آن و داده پردازی ویژه آن آورده شده است. بررسی دقیقتر بر روی کانی های اصلی منطقه از دیدگاه کانی سنگین (طلا و شیلت) و شرح نقشه های آنها فصل دیگری از این بخش را دربر گرفته است. بررسی داده های حاصل از حفر ترانشه ها و نمونه های پراکنده و جمع بندی اطلاعات در مناطق شش گانه و در پی آن مدل ژئوشیمیایی که کانی سازی و تعیین محدوده های امید بخش عناوین سایر فصول این بخش می باشد.

### ۳-۱- متدولوژی و منطق انتخاب آن

انتخاب محدوده های غرب سامن و جنوب شرق داویجان بر اساس نتایج مطالعات اکتشافات ژئوشیمیایی سیستماتیک برگه ملایر در مقیاس ۱:۱۰۰،۰۰۰ صورت گرفته است. روند طبیعی ادامه فعالیت های اکتشافی پس از مرحله ناحیه ای، مطالعات در مقیاس نیمه تفصیلی و عمده تا با تکیه بر مطالعات اکتشافات ژئوشیمیایی رسوب آبراهه ای و کانی های سنگین بصورت سیستماتیک و برداشت نمونه های مینرالیزه و آلتره بصورت انتخابی (Selective) است. روش های ژئوفیزیکی و حفر ترانشه می تواند به صورت کمکی و در مراحل بعدی انجام پذیرد. اما با توجه به اینکه هدف اکتشافی در مناطق غرب سامن و جنوب شرق داویجان به صورت از پیش تعریف شده و با هدف اکتشاف طلا و تنگستن مشخص گردیده بود، روش اکتشافی بر مبنای برداشت نمونه های کانی سنگین استوار گردید. با توجه به خصوصیات فیزیکی طلا و تنگستن (بصورت شیلت و ولفرامیت) بویژه وزن مخصوص و خاصیت بازتاب شیلت در مقابل اشعه ماورای بنفش، امکان شناسایی آنها در روش

کانی سنگین به خوبی فراهم گردیده و این روش می تواند در راستای تحقق اهداف فوق الذکر مؤثر واقع گردد. ذکر این نکته ضروری است که روش کانی های سنگین با تمام توانایی هایی که در شناخت این کانی ها دارد، هنوز بطور گسترده و به عنوان یک روش اصلی در اکتشافات مطرح نشده است. علت این امر هم نیمه کمی بودن اطلاعات آن و عدم امکان در پردازش متعارف داده ها و وابستگی بسیار شدید به نیروی انسانی متخصص است.

با توجه به موارد ذکر شده در سطحی برابر با ۵۶ کیلومتر مربع تعداد ۱۰۰ نمونه کانی سنگین برداشت شده است.

نمونه های سنگی به صورت انتخابی از برونزدهای محتمل جهت کانی سازی و دگرسانی نیز برداشت شده است. این نمونه ها با اهداف عیار سنگی، پتروگرافی، پترولولوژی، آنالیز XRD، آنالیز XRF، از رخنمون های سنگی (برجا و نابرجا) و ترانشه ها برداشت شده اند. شکل ۱-۳ موقعیت تمامی نمونه های برداشت شده در منطقه سامن را نشان می دهد. با توجه به انتخاب روش اکتشافی بر مبنای کانی های سنگین، ابتدا تعاریفی در زمینه کانی سنگین و تقسیم بندی های آنها همراه با ویژگی های انحصاری این کانی ها آورده شده است.

### ۱-۱-۳- تعریف کانی های سنگین

کانی های سنگین Heavy minerals به بخشی از رسوبات تخریبی از حوضه های رسوی (Sedimentary catchment) اطلاق می شود که وزن مخصوص آنها بیش از ۲/۹ گرم بر سانتیمتر مکعب باشد. این کانی ها از لحاظ ویژگی های فیزیکی دامنه گسترده ای را در میادین هوازدگی فیزیکی، مقاومت فرسایشی در اثر حمل و نقل، وزن مخصوص، خواص مغناطیسی، رنگ و ... نشان می دهند. آنها از دیدگاه ترکیب شیمیایی و نحوه واکنش در محیط های گوناگون نیز تنوع و تکثیر نشان می دهند. فاز تشکیل آنها (فاز های سیلیکاته، سولفیدی، اکسیده)، نحوه واکنش آنها در محیط های مختلف (محیط های اسیدی، خنثی، قلیایی)، میزان حلalیت آنها در آب، از جمله پارامترهایی است که در تجمع (تھ نشست) و یا پراکندگی آنها نقش به سزایی را ایفا می نمایند. کانی های سنگین با توجه به تعریف بالا، دامنه گسترده ای را نشان می دهند و با توجه به نیازها می توان آنها را در دسته بندی های ویژه ای قرار داد.

شكل ۳-۱- موقعیت نمونه های برداشت شده

### ۳-۱-۲- تقسیم‌بندی کانیهای سنگین

تقسیم‌بندی‌های گوناگونی از کانیهای سنگین توسط محققین و مولفین انجام شده و با توجه به کاربرد کانیهای سنگین در محیط‌های مختلف می‌توان آنها را در شاخه‌های گوناگون قرار داد، به طور مثال بررسی رسوبات ساحلی، تجمعات پلاسراهای رودخانه‌ای، بررسیهای اقتصادی در حوضه‌های محیط‌های مختلف زمین شناسی با استفاده از رسوبات آبراهه‌ای و ردیابی و شناسایی کانیهای ویژه که انحصاراً توسط این روش قابل پیگیری هستند در این محدوده قرار می‌گیرند. بطور کلی می‌توان تقسیم‌بندی زیر را برای کانیهای سنگین در نظر گرفت:

- ۱- کانیهای سنگینی که عموماً در نمونه‌ها دیده شده و فراوانی آنها به نسبت سایر کانیها بیشتر است از این گروه می‌توان به کانیهای زیرکن، روتیل، ایلمنیت، مگنتیت، هماتیت و لیمونیت اشاره کرد.
- ۲- کانیهای سنگینی که کمتر مشاهده شده اما ارزش اقتصادی بیشتری دارند. این کانیها شامل الماس، کانیهای گروه پلاتین، طلا، کروندم، کولومبیت، ولفرامیت و ... می‌باشند.
- ۳- کانیهای سنگینی که در فرآیند پی‌جوبی کمتر مورد توجه قرار دارند و شامل کانیهای تورمالین، گارنت، اشتارولیت، کیانیت، اسپینل، آندالوزیت، اپیدوت، دیوپسید، بیوتیت، هورنبلند و ... می‌باشند. وزن مخصوص این کانیها نسبت به سایر کانیهای سنگین کمتر است.
- ۴- سایر کانیهای سنگین که مقاومت یکسانی داشته اما کمتر دیده می‌شوند. از این گروه می‌توان به کانیهای اگزرنیت، اکتینولیت، بریل، کریستوپریل، انساتیت و غیره اشاره کرد.

### ۳-۱-۳- ویژگیهای انحصاری کانیهای سنگین

مزایای نسبی روش مطالعات نمونه‌های کانی سنگین بطور خلاصه عبارتند از:

- بررسی مستقیم و عینی کانیها و مشاهده گروه عمده کانیهای اقتصادی.
- قرار گرفتن قریب به اتفاق کانیهای ارزشمند اقتصادی در گروه کانیهای سنگین.
- شناخت فاز شکل گیری کانیها و بکار گیری این اطلاعات در زمینه مطالعات فنی و اقتصادی و برآورد چگونگی استحصال ماده معدنی. به طور مثال می‌توان با مطالعه کانیهای سنگین به شناخت فازهای سولفیدی کانیها (گالن، پیریت، اسفالریت و ...) فازهای اکسیدی (هماتیت، مگنتیت، کرومیت و ...) و فازهای عنصری (طلا، مس طبیعی، سرب طبیعی و ...) دست یافت، در صورتیکه در آنالیز عنصری در بسیاری از مواقع (به استثناء تجزیه جزئی Partial analysis) بسته به نوع حلال بکار گرفته شده تمامی عنصرهای عناصر موجود در فاز سیلیکاته که ممکن است در صنعت متالورژی قابل استحصال و بهره برداری نباشند نیز محاسبه می‌شود و این امر گاهاً ملاکهای تفسیر داده‌های ژئوشیمیایی را مورد تردید

قرار می دهد.

- شناخت انحصاری بعضی از کانیها که تنها توسط روش بررسی کانیهای سنگین مقدور می شود از آن جمله می توان به پی جویی یک نوع ویژه از مونازیت بنام رابدوфан اشاره کرد که توسط این روش مورد بررسی قرار گرفته است.
- کسب اطلاعات ارزشمند از شکل، اندازه و نحوه فرم هر کانی سنگین که معرف دوری و نزدیکی از منشاء کانی سازی، میزان فرسایش و ... است.
- پاراژنهای شناخته شده کانیهای سنگین حتی در صورت فقدان کانیهای ارزشمند تا حدود زیادی معرف پتانسیل اقتصادی منطقه فرادست نمونه هاست.
- کوتاه کردن سیکل یک پروژه اکتشافی و در پی آن صرفه جویی در هزینه و زمان.
- یافتن الگوی پراکندگی رسوبات و تعیین وضعیت لیتولوژی عمومی منطقه و خاستگاه بالقوه کانیهای ارزشمند.

البته ذکر این نکته لازم است که در کنار ویژگی های مثبت این روش، نیمه کمی بودن اطلاعات حاصله، عدم سهولت در روند مطالعات نمونه های تکراری و وابستگی بسیار زیاد به نیروی انسانی زبده (از مرحله نمونه برداری تا مرحله آماده سازی و مطالعه)، عدم سهولت در بکار گیری و روش های تست میکروسیمی و کنترل نه چندان آسان کیفیت مطالعات از جمله نکات منفی این روش به حساب می آید.

### ۳-۲- شبکه نمونه های برداشت شده برای کانی سنگین

نمونه برداری و مطالعه کانی های سنگین مراحل و فرایندهای گونا گونی را دربر دارد که در زیر به اختصار به آنها پرداخته می شود.

#### ۳-۲-۱- نحوه نمونه برداری

نمونه های کانی سنگین با رعایت دستورالعملهای خاص و در نظر گرفتن پارامترهای ویژه ای برداشت می شوند. این پارامترها شامل گسترش حوضه آبریز، پهنه ای آبراهه، شیب توپو گرافی، رژیم بارندگی، اجتناب از حواشی آبراهه ها و انتخاب مثاندرها و رسوبات با دانه بندی مختلف و ناهمگن می باشد. در آبراهه های با عرض بیش از ۳ متر نمونه های کانی سنگین در یک خط شکسته و در چندین نقطه از عرض آبراهه ها برداشت می شود. عمق برداشت نمونه بین ۳۰-۵۰ سانتیمتر است. در این پروژه، نمونه ها در آبراهه ها به حجم ۱۰ لیتر از زیر الک ۱۶ مش برداشت شده اند.

### ۲-۲-۳- شرح عملیات نمونه برداری کانی سنگین در منطقه

برای برداشت نمونه های کانی سنگین ابتدا نقشه های توپو گرافی ۱:۲۵،۰۰۰ سلطان آباد انجام محدوده جنوب غرب سامن (محدوده شرق داویجان) تهیه شد و سپس با توجه به نقشه زمین شناسی ۱:۱۰۰،۰۰۰ و نقشه ژئوفیزیک هوایی ۱:۲۵۰،۰۰۰ و همچنین با عنايت به مطالعات ژئوشیمیایی صورت گرفته قبلی در محدوده اکتشافی، موقعیت نمونه های کانی سنگین روی نقشه های توپو گرافی ۱:۲۵،۰۰۰ طراحی گردید. پس از هماهنگی با ناظر محترم طرح و تائید نقشه نمونه برداری توسط ایشان، مراحل زیر به ترتیب انجام گرفت:

- استخراج موقعیت نمونه ها با استفاده از امکانات نرم افزاری در سیستم مختصات UTM

- تجهیز گروه های کارشناسی نمونه برداری و اعزام آنها به منطقه

عملیات نمونه برداری در کوتاه ترین زمان ممکن با اعزام گروه های کارشناسی انجام گردید. مراحل عملیاتی پروژه با تمہیداتی در زمینه اسکان اکیپ ها، شناسایی اولیه منطقه و تهیه خودرو های صحرایی و لوازم مورد نیاز با نظارت مدیر عملیات صحرایی انجام گردید. کارشناسان نمونه بردار با توجه به موارد مکان یابی مناسب برای نمونه ها و اطمینان از اینکه نمونه برداشت شده حتی المقدور معرف نواحی بالادست باشد و با عنايت به نسبت عرض آبراهه ها و تعداد چاله ها، اقدام به برداشت نمونه به میزان ۱۰ لیتر از زیر الک ۱۶ مش نموده اند.

برای هر کدام از نمونه ها در محل نمونه گیری کارت مخصوص نمونه برداری (جدول ۱-۳) توسط زمین شناس مربوطه تکمیل گردید و شماره نمونه نیز با رنگ اسپری در محل نمونه نوشته شد. در منطقه سامن تعداد ۱۰۰ نمونه طراحی و برداشت گردید که موقعیت آنها در شکل ۱-۳ و مختصات آنها همراه با نتایج کمی شدن داده ها در بیوست ۴ ارائه شده است.

### ۳-۲-۳- آماده سازی نمونه های کانی سنگین

آماده سازی نمونه های کانی سنگین در دو مرحله در کمپ صحرائی و آزمایشگاه صورت می گیرد.

- آماده سازی در کمپ صحرائی شامل گل شویی در آب و لاوک شویی نمونه ها با هدف

حذف اجزاء سبک و تغییط کانی های سنگین انجام می شود.

- آماده سازی در آزمایشگاه شامل عملیات حجم سنگی، تقسیم کردن نمونه در صورت لزوم،

جدایش ثقلی با بروموفورم یا سایر محلول های سنگین، حجم سنگی بخش کنسانتره کانی های سنگین حاصله از جدایش ثقلی، جدایش مغناطیسی در دو مرحله و نهایتاً جدایش سه فرآکسیون مختلف AA

(کانیهای دارای خاصیت مغناطیسی شدید)، AV (کانیهای دارای خاصیت مغناطیسی متوسط) و NM (کانیهای فاقد خاصیت مغناطیسی) خواهد بود.

### ۳-۳-۱- شیوه مطالعه و نتایج حاصل از نمونه های کانی سنگین

در این بخش به نحوه مطالعه فرآکسیون های مختلف حاصل از آماده سازی نهایی نمونه ها، کمی کردن اطلاعات و پردازش آنها پرداخته خواهد شد.

### ۳-۳-۲- مطالعه نمونه های کانی سنگین

بخشهای سه گانه AA، AV و NM، با میکروسکوپ دو چشمی (بینوکولر) مطالعه می شوند. مبنای مطالعات، نظرات و تجربیات یک میزروژیست مجبوب است که در این زمینه تبحر داشته و به روش های کمکی (میکروشیمی، سختی سنجی، رنگ آمیزی و ...) آشنایی کامل داشته باشد. مطالعه تمامی فرآکسیون های نمونه و مشخص کردن ذرات مشاهده شده و تکمیل جدول مربوطه بر اساس میزان کانی های مطالعه شده در هر بخش منجر به تکمیل مطالعات کیفی در زمینه کانیهای سنگین می گردد. این جداول با استنادی مراحل کمی شدن داده ها را جهت ورود به مرحله داده پردازی و ترسیم نقشه های نمادین پشت سر گذارند.

### ۳-۳-۳- کمی کردن (Quantitative) داده های کانیهای سنگین

برای تبدیل داده های کیفی به کمی و در نتیجه امکان محاسبات آماری و پردازشها از فرمولی استفاده شده که توسط کارشناسان سابق بخش اکتشافات ژئوشیمیایی سازمان زمین شناسی (۱. تدين اسلامی - ف. آزم) برای اولین بار ارائه شد.

با استفاده از فرمول  $\text{ppm} = \frac{X \cdot Y \cdot B}{A \cdot C \cdot D} \cdot 1000$  اطلاعات نیمه کمی حاصل از مطالعات نمونه ها به اطلاعات کمی تبدیل می شوند. در این فرمول

$X$  = درصد کانی محاسبه شده در هر بخش از سه بخش مورد مطالعه

$Y$  = حجم نمونه پس از جدایش با محلول سنگین (بروموفورم)

$B$  = حجم نمونه پس از شستشو و تغییظ

$A$  = حجم نمونه برداشت شده (نمونه اولیه)

$C$  = حجم انتخابی برای جدایش با محلول سنگین

$D$  = وزن مخصوص کانی مطالعه شده

$D'$  = میانگین وزن مخصوص رسوبات می باشد.

**جدول ۱-۳- کارت مخصوص نمونه برداری کانی سنگین که توسط نمونه بردار، هنگام نمونه برداری  
تمکیل می شود.**

GENERAL DATA				
<b>Sample No</b>	Project Name:		Prospect Name:	
Coord.Sys.:	X(Easting):	Y(Northing):	Z(Altitude):	
	Date:	Sampler:	Page No.:	
<b>1)Weight(Kg):</b>				
<b>1/1)Mesh Size:</b>				
<b>2)Sieved:</b>	Not Seived <input type="checkbox"/>	Sieved Dry <input type="checkbox"/>	Sieved Water <input type="checkbox"/>	
<b>3)Moisture:</b>	Dry <input type="checkbox"/>	Damp <input type="checkbox"/>	Wet <input type="checkbox"/>	
<b>4)Colour:</b>	Black <input type="checkbox"/> Olive <input type="checkbox"/>	Grey <input type="checkbox"/> White <input type="checkbox"/>	Brown <input type="checkbox"/> Red <input type="checkbox"/>	Yellow <input type="checkbox"/> Purple <input type="checkbox"/>
<b>5)Unsieved Texture</b>	Bouldery <input type="checkbox"/>	Gravely <input type="checkbox"/>	Sandy <input type="checkbox"/> Clayey <input type="checkbox"/>	Silty <input type="checkbox"/>
<b>6)Terrain:</b>	Flat(>=0° & <=3°) <input type="checkbox"/> Moderate(>10° & <=30°) <input type="checkbox"/> Topographic Depression <input type="checkbox"/>	Gentle(>3° & <=10°) <input type="checkbox"/> Circular Feature <input type="checkbox"/> Topographic High <input type="checkbox"/>	Steep(>30°) <input type="checkbox"/> Linear Feature <input type="checkbox"/>	
<b>7)Mineralisation Present<sup>*</sup>:</b>	In Float <input type="checkbox"/>	In Outcrop <input type="checkbox"/>	In Float and Outcrop <input type="checkbox"/>	None Observed <input type="checkbox"/>
<b>8)Alteration Present<sup>**</sup>:</b>	In Float <input type="checkbox"/>	In Outcrop <input type="checkbox"/>	In Float and Outcrop <input type="checkbox"/>	None Observed <input type="checkbox"/>
<b>9)Outcrop Lithology:</b>	No Outcrop Observed <input type="checkbox"/>			
Sediments	Sandstone <input type="checkbox"/> Black Shale <input type="checkbox"/> Chert <input type="checkbox"/> Evaporites/Chemical Precipitate <input type="checkbox"/>	Conglomerate <input type="checkbox"/> Calcareous Sediment <input type="checkbox"/> Banded Iron Formation <input type="checkbox"/> Coal <input type="checkbox"/>	Siltstone/Shale <input type="checkbox"/> Limestone/Dolomite <input type="checkbox"/> Phosphates <input type="checkbox"/>	
Volcanics	Volcaniclastic <input type="checkbox"/> Basic Volcanics <input type="checkbox"/>	Acid Volcanics <input type="checkbox"/> Ultrabasic Volcanics <input type="checkbox"/>	Intermediate Volcanics <input type="checkbox"/> Kimberlite/Lamproite <input type="checkbox"/>	
Intrusive	Acid Intrusive <input type="checkbox"/> Ultrabasic Intrusive <input type="checkbox"/>	Intermediate Intrusive <input type="checkbox"/>	Basic Intrusive <input type="checkbox"/>	
Metamorphic	Meta-sediment - Siliclastic <input type="checkbox"/> Meta-igneous - Acid/Intermediate <input type="checkbox"/>	Meta-sediment - Calcareous <input type="checkbox"/> Meta-igneous - Basic/Ultrabasic <input type="checkbox"/>	Metasediment - Graphitic <input type="checkbox"/> Hornfels <input type="checkbox"/>	
Metosomatic	Exoskarn <input type="checkbox"/>	Endoskarn <input type="checkbox"/>		
<b>10)Float Lithology:</b>	No Float Observed <input type="checkbox"/>			
Sediments	Sandstone <input type="checkbox"/> Black Shale <input type="checkbox"/> Chert <input type="checkbox"/> Evaporites/Chemical Precipitates <input type="checkbox"/>	Conglomerate <input type="checkbox"/> Calcareous Sediment <input type="checkbox"/> Banded Iron Formation <input type="checkbox"/> Coal <input type="checkbox"/>	Siltstone/Shale <input type="checkbox"/> Limestone/Dolomite <input type="checkbox"/> Phosphates <input type="checkbox"/>	
Volcanics	Volcaniclastic <input type="checkbox"/> Basic Volcanics <input type="checkbox"/>	Acid Volcanics <input type="checkbox"/> Ultrabasic Volcanics <input type="checkbox"/>	Intermediate Volcanics <input type="checkbox"/> Kimberlite/Lamproite <input type="checkbox"/>	
Intrusive	Acid Intrusive <input type="checkbox"/> Ultrabasic Intrusive <input type="checkbox"/>	Intermediate Intrusive <input type="checkbox"/>	Basic Intrusive <input type="checkbox"/>	
Metamorphic	Meta-sediment - Siliclastic <input type="checkbox"/> Meta-igneous - Acid/Intermediate <input type="checkbox"/>	Meta-sediment - Calcareous <input type="checkbox"/> Meta-igneous - Basic/Ultrabasic <input type="checkbox"/>	Metasediment - Graphitic <input type="checkbox"/> Hornfels <input type="checkbox"/>	
Metosomatic	Exoskarn <input type="checkbox"/>	Endoskarn <input type="checkbox"/>		
<b>11)Contamination:</b>	None Observed <input type="checkbox"/> Agricultural <input type="checkbox"/>	Mining <input type="checkbox"/> Livestock <input type="checkbox"/>	Drilling <input type="checkbox"/>	
<b>12)Comments:</b>	<input type="checkbox"/> <input type="checkbox"/>			

بایستی به این نکته توجه داشت که وجود کانیهای با ارزش همچون طلا، نقره، پلاتین، سینابر و ... حتی در تعداد بسیار اندک می تواند مورد عنایت قرار گیرد. هر چند نتایج کمی کردن این کانیها شاید با بزرگ نمایی همراه باشد، اما در مورد کانیهای سنگ ساز و کانیهایی اقتصادی که از فراوانی نسبی بیشتری برخوردارند، محاسبه این فرمول نتایج منطقی و قابل قیاسی را در برخواهد داشت.

### ۳-۳-۳- پردازش داده های حاصل از مطالعات نمونه های کانی سنگین

داده های حاصل از مطالعات بخش های مختلف کانیهای سنگین (NM, AV, AA) در ابتدا با توجه به مبحث کمی کردن (سرفصل ۳-۲) بصورت داده هایی در قالب گرم در تن (ppm) درآمده و سپس با توجه به خصلت عددی بودن آنها پردازش های معمول (با توجه به محدودیت در داده های کانی سنگین) بر روی آنها اعمال می شود. نتایج مطالعات بخش های مختلف کانیهای سنگین (NM, AV, AA) و نتایج کمی آن در پیوست ۴ آورده شده است.

با توجه به اینکه جوامع عددی داده های کانیهای سنگین قادر سری داده های کامل می باشند و ممکن است بعضی از کانی ها تنها در موارد انگشت شماری از نمونه ها مشاهده شوند، لذا پردازش های آماری معمول، چندان مطلوب نبوده و تنها به جداول و نمودارهایی بسته می شود که خصلت بیان اطلاعات را در برداشته باشند، هر چند در مواردی که اطلاعات به حد کافی در دسترس بوده پردازش های معمول آماری صورت گرفته است. جدول پارامترهای آماری، هیستوگرام ها و همبستگی ها از جمله این موارد هستند.

### ۳-۳-۱- جدول پارامترهای آماری

عملده ترین پارامترهای آماری شامل میانگین، میانه، انحراف معیار، واریانس، چولگی و کشیدگی، میزان حداقل و حداکثر و مقادیر عددی شده کانیهای سنگین در جدول شماره ۳-۲ آورده شده است، توجه به تعداد نمونه ای که در آنها هر کانی یافت شده و مقایسه با کل نمونه ها معیاری مناسب جهت ناهمگن بودن سطح داده ها در مطالعات کانی سنگین است. با توجه به تعداد اندک نمونه های بعضی از کانیها، بسیاری از پارامترهای آماری مفهوم خود را از دست می دهند. در مورد طلا علاوه بر مقادیر عددی که تماماً به صورت pts (0.01 ppm) گزارش شده است، دو ستون تعداد ذرات و حجم ذرات نیز اضافه شده است. حجم ذرات با توجه به ابعاد هر ذره که در مطالعات کانی های سنگین گزارش شده بدست آمده است.

جدول ۲-۳- پaramترهای آماری نمونه های کانی سنگین منطقه سامن

از مطالب این جدول چنین بر می آید که کانیهای زیرکن و مگنتیت در همه نمونه‌ها مشاهده شده و کانی‌هایی مانند باریت، روتیل، پیریت اکسید، لیمونیت، هماتیت، گارنت، اسفن، آپاتیت، اپیدوت، آندالوزیت و کانیهای آلتره در قریب به اتفاق نمونه‌ها (حداقل ۸۷ نمونه و حداکثر ۹۹ نمونه) وجود داشته‌اند. کانیهای دیگری همچون شلیت، پیریت لیمونیت، پیرولوزیت، آناتاز و اولیژیست در غالب نمونه‌ها (حداقل ۶۲ نمونه و حداکثر ۸۰ نمونه) مشاهده شده‌اند. کانیهای مهمی همچون طلا، شلیت، نقره و سینابر نیز در تعدادی از نمونه‌ها مشاهده شده است. میزان فراوانی طلا در ۲۱ نمونه، شلیت در ۷۴ نمونه، نقره تنها در یک نمونه و سینابر در ۱۱ نمونه گزارش شده است. در صورتیکه کانی‌های دیگری همچون ایلمنیت، گالن، سروزیت، اسفالریت، فلوریت، مالاکیت، پولیت، اورپیمنت، کرونودوم، مس طبیعی و ولفینیت در تعداد کمتری از نمونه‌ها (حداقل ۲ و حداکثر ۱۷ نمونه) مشاهده شده است. بر این اساس، مسلم است که کانی‌سازی اصلی منطقه از دیدگاه نمونه‌های کانی‌سنگین، طلا و در پی آن شلیت بوده که شلیت در ۷۴ نمونه و به میزان حداکثر ۱۵۳ ppm گزارش شده است.

کانی‌های سنگین گروه کانی‌های مس، سرب، روی و جیوه در حد اندکی مشاهده شده و میزان حداکثر آنها در گالن به ۵/۶ در سروزیت، کالکوپیریت، مالاکیت، اورپیمنت، سرب طبیعی، مس طبیعی، کاسیتیریت، نقره و کوپریت به حد ۰/۰۱ گرم در تن می‌رسد که نشانی از کانی‌سازی ضعیف این گروه است. تنها مقدار حداکثر کانی‌پیرومورفیت در حد ۴/۹ ppm و در سینابر نیز حداکثر ۰/۹۶ ppm گزارش شده است.

میزان قابل توجه میانگین کانی گارنت (۵۰۲ ppm) و حضور نسبتاً فراوانی آندالوزیت نشانگر عملکرد نسبتاً وسیع دگرگونی در منطقه است.

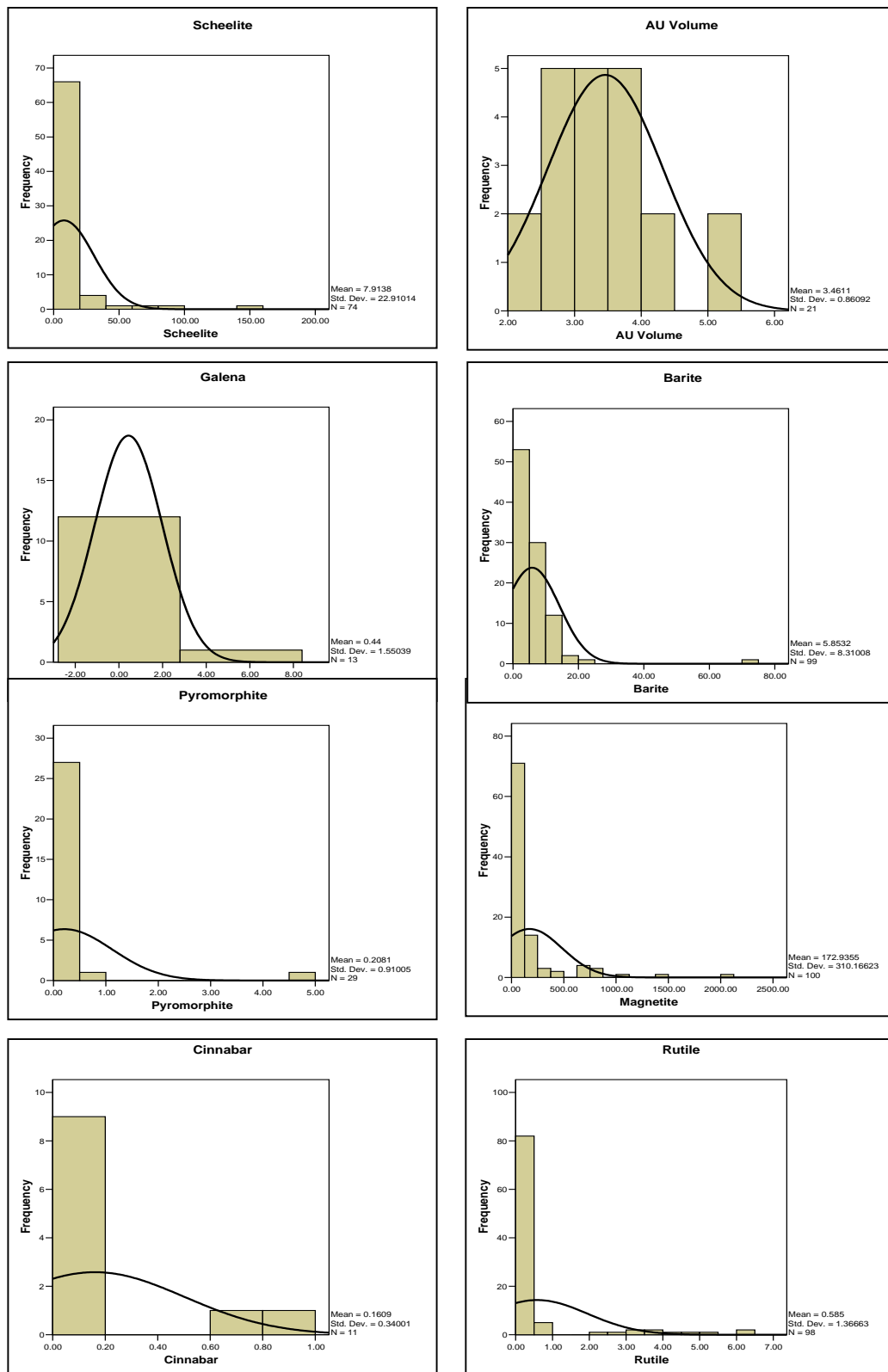
مقادیر حداکثر کانی‌هایی چون گارنت، پیریت اکسید، اولیژیست، آندالوزیت، لیمونیت، شلیت، تعداد ذرات طلا جالب توجه بوده و تاثیر این مقادیر بر محاسبه میانگین بخوبی مشخص است. اختلاف میانگین و میانه خود گواهی بر این امر است.

### ۳-۳-۲- ترسیم هیستوگرامها و شرح آنها

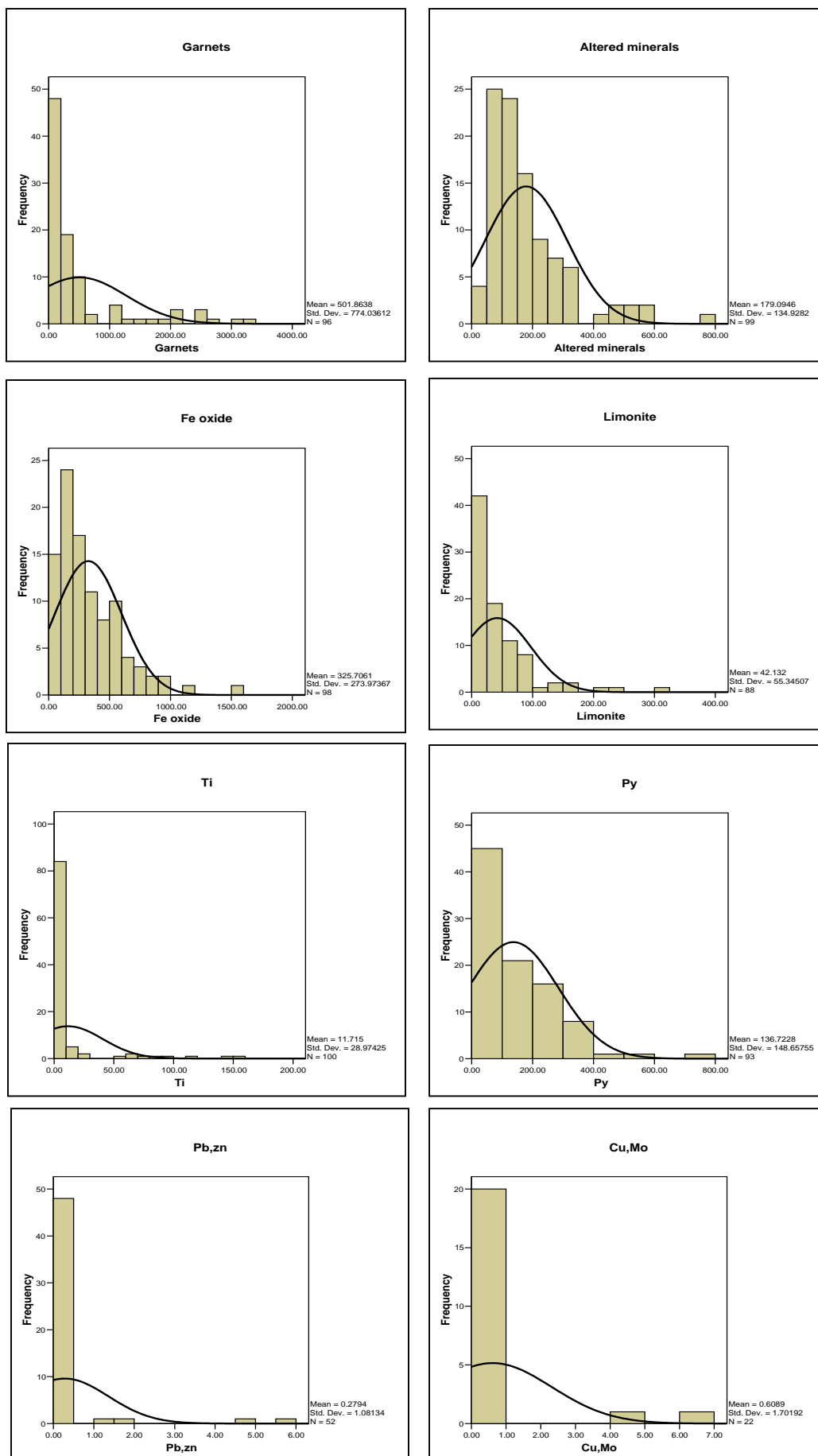
هیستوگرام کانیهای سنگین محدوده سامن مختص به نمایش تعدادی از کانی‌های سنگین شده است که فراوانی آنها قابل ارائه در نمودار باشد.

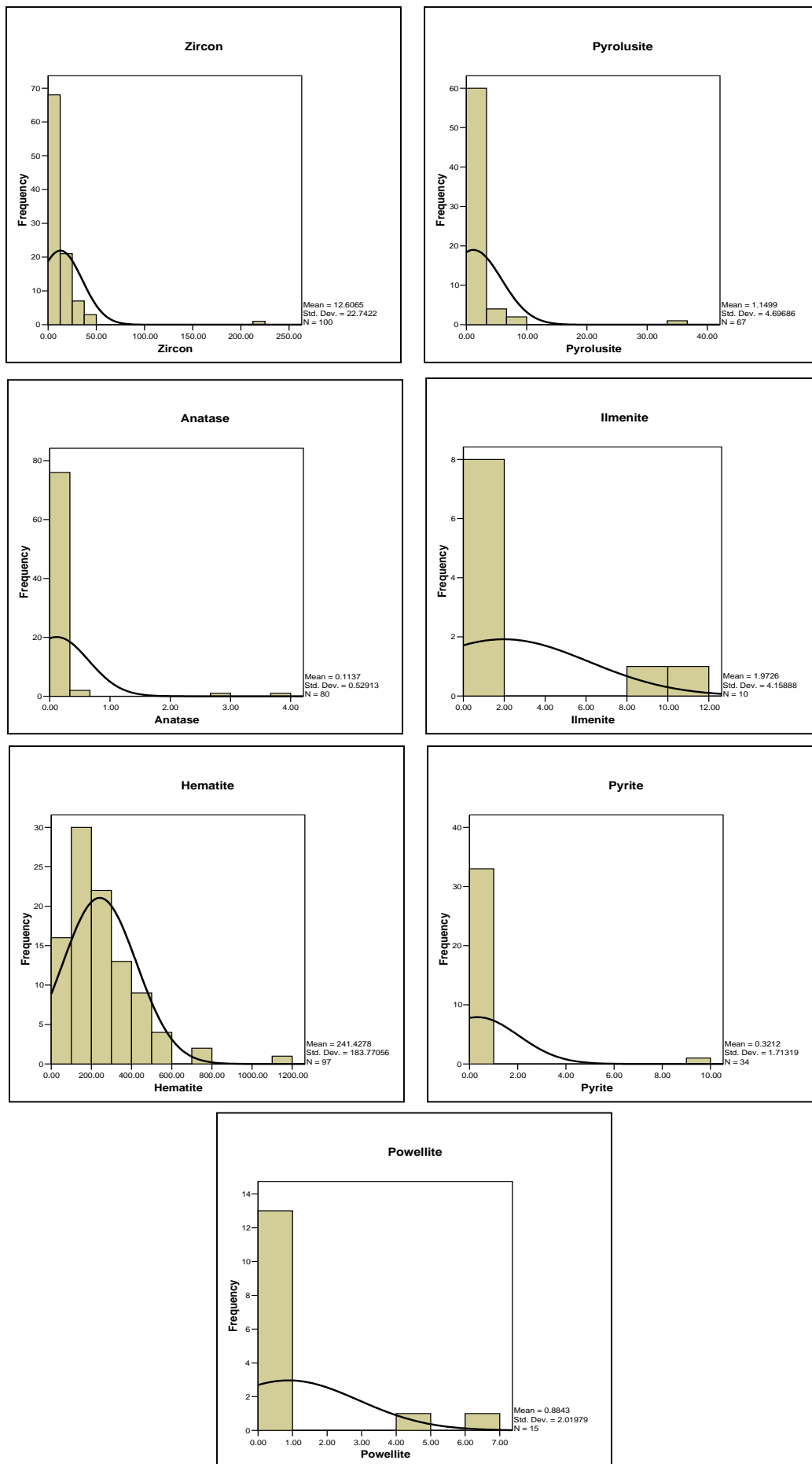
هیستوگرام اکثر کانیها مشخصه یک توزیع با چولگی مثبت و تابع L شکل می‌باشد. این امر ناشی از مشاهدات با درصدهای بالای کانیها در تعداد کمی از نمونه‌ها می‌باشد و تا حدودی امیدوار

کننده است. بایستی به این مسئله توجه داشت که وجود ۲۱ نمونه حاوی طلا و ۷۴ نمونه حاوی اثراتی از زایش تنگستن (بصورت کانیهای شلیت) نشانه های امیدوار کننده ای از پتانسیل بالای کانی سازی طلا و تنگستن در محدوده می باشد. شکل شماره ۳-۲ برخی از هیستو گرام های کانیهای سنگین را نمایش می دهد. لازم به ذکر است هیستو گرام های با عنوان Pb, Zn نشانده نده مجموع مقادیر کانی های سرب و روی دار می باشند. همین وضعیت برای، Py (شکل های متفاوت کانی پیریت)، Cu, Mo (کانی های مس دار)، Ti (کانی های تیتان دار) و Fe Oxide (مجموعه اکسید های آهن III)، اعمال شده است.



شكل ۳-۲- هيستوگرام تعدادی از کانی های مطالعه شده در کانی سنگین





در مورد طلا با توجه به اینکه مقادیر طلا در تمامی نمونه های طلدار بصورت (۰/۰۱) pts گزارش شده و همراه با آن ابعاد ذرات طلا نیز پیوست گردیده، برای اعمال تمایز در نمونه های طلدار اقدام به محاسبه حجم ذرات طلا گردید که در هیستو گرام نیز از این ویژگی استفاده شده است.

### ۳-۳-۳- بررسی ضرایب همبستگی

روابط دو عنصر (متغیر) و نحوه ارتباط آنها از طریق محاسبه ضرایب همبستگی قابل بررسی می باشد. ضرایب همبستگی دارای دامنه تغییراتی بین  $-1$  و  $+1$  بوده، بطوریکه عدد  $-1$ - نمایانگر همبستگی کامل و منفی (ناهمسو)، عدد صفر معرف عدم همبستگی بین دو عنصر (متغیر) و عدد  $+1$  نشانگر همبستگی مثبت (همسو) کامل و  $100\%$  بین دو متغیر می باشد. این محاسبات در نرم افزار SPSS و بر مبنای ضرایب همبستگی Spearman انجام شده که تا حد ممکن وابستگی محاسبات را به نوع تابع توزیع کاهش می دهد.

مفهوم ضرایب همبستگی و وابستگی شدید آن به تعداد نمونه و تعداد مشاهدات هر کانی سنگین در مجموعه نمونه ها، از جمله عوامل تأثیرگذار بر محاسبه و تفسیر نتایج ضرایب همبستگی در داده های کانی سنگین است. بنابراین نظر کارشناسی به این مبحث بایستی با علم و آگاهی به تفاوت های تأثیرگذار در مبحث همبستگی در نمونه های ژئوشیمی و کانی سنگین همراه باشد. شاید یکی از مهمترین تفاوت ها، اهمیت همبستگی ها حتی در درجه اعتبار (Significant Level)  $95\%$  باشد.

با توجه به مطالب فوق الذکر هنوز هم در بسیاری از محاسبات دو متغیره، ضرایب همبستگی به عنوان یکی از اصول شناخته شده بکار می رود و بسیاری از کارشناسان دامنه پاراژنتیک عناصر و کانی ها را بر اساس ضرایب همبستگی آنها می سنجند. چندی پیش از آن، برای اعتبار ضرایب همبستگی، حدی تعریف شده  $(\pm 0,5)$  قرار می دادند. بعقیده بعضی از صاحب نظران برای یافتن ضرایب همبستگی معتبر بایستی از جوامع نرمال استفاده کرده و لذا به نرمال کردن داده ها با استفاده از نرم افزار های گوناگون می پرداختند.

همزمان با پیشرفت نرم افزار های آماری و امکان محاسبات اتوماتیک حد اعتبار (Significant Level)، دیگر مبنای اعتبار از  $(\pm 0,5)$  تغییر کرد و بر اساس تعداد نمونه ای که مبنای سنجش ضرایب همبستگی بود حد اعتبار ممکن بود بسیار پایینتر یا بالاتر قرار گیرد. در مورد کانی سنگین با توجه به قلت کانی های سنگین مهم مشاهده شده در نمونه ها، حد معنی دار بودن و معتبر بودن این ضرایب بسیار بالاتر از  $\pm 0,5$  قرار می گیرد.

بنظر می رسد همیشه دامنه همبستگی ها معرف واقعیات پاراژنتیکی عناصر و کانی ها نباشد

دلایل این امر به شرح زیر می باشد:

- ۱- در مجموعه داده ها وجود تنها یک نمونه خارج از رده (Outlier) می تواند به صورت مشهودی ضریب همبستگی را تغییر دهد، در صورتی که همبستگی واقعی شاید به مراتب کمتر و یا بیشتر از مقداری باشد که نرم افزار گزارش کرده است.
- ۲- به تجربه ثابت شده که در مطالعات ناحیه ای و نیمه تفصیلی و حتی در بعضی اوقات در مطالعات تفصیلی، همبستگی های یک جامعه معرف دو یا چند زیر خانواده می باشند که در هم ادغام شده و بعضاً نتایج همبستگی ضعیفی را نشان می دهند. اما اگر زیر خانواده ها که متأثر از عواملی همچون زمین شناسی، آلتراسیون، میزرا لیزاسیون و ... می باشند، شناسایی شده و از هم جدا شوند، ضریب همبستگی به دست آمده اعتبار بیشتری خواهد یافت. این امر در مورد کانی های سنگین منوط به کانی های سنگینی است که در غالب نمونه ها یافت می شوند.
- ۳- ضریب همبستگی متأثر از تعداد نمونه ای است که محاسبات بر مبنای آن واقع شده، در تعداد اندک نمونه، بعضاً ضرایب همبستگی معتبری بدست نخواهد آمد. در مورد کانی سنگین و محاسبه ضریب همبستگی این امر مصدق می یابد.

علیرغم مطالب مذکور محاسبه ضریب همبستگی در سری داده ها امری اجتناب ناپذیر است. محاسبه ضریب همبستگی از راه های گوناگون امکان پذیر است که حساسیت بعضی از آنها به نرمال بودن تابع توزیع، مانع کارایی آنها در سایر توابع توزیع می شود. انتخاب بهینه روش محاسباتی ضریب همبستگی آن است که به نوع تابع توزیع وابستگی چندانی نداشته باشد. با توجه به مراتب بالا در محاسبه ضرایب همبستگی، از توابع ضریب همبستگی رتبه ای اسپیرمن استفاده شده است (جدول ۳-۳).

جدول ۳-۳- ضرایب همبستگی بعضی کانیهای انتخابی در منطقه سامن

بر اساس ضرایب همبستگی بیشترین ضریب همبستگی مثبت را زیرکن با باریت (۰/۸۹۵) و در پی آن ایلمنیت با اولیژیست (۰/۸۷۴) نشان داده‌اند که هر دو در سطح اعتبار ۹۹٪ گزارش شده است. علاوه بر آن ضریب همبستگی مثبت شلیت با گارنت به مقدار ۰/۵۳۹ با درجه اعتبار ۹۹٪ نشان داده شده و مهمترین ضریب همبستگی منفی را نیز شلیت با پیریت اکسید به مقدار ۰/۴۸۱ - با درجه اعتبار ۹۹٪ دربردارد.

با این وضع و با وجود همبستگی منفی پیریت اکسید، هماتیت و لیمونیت با شلیت می‌توان نتیجه‌گیری کرد که کانی‌سازی تنگستن در منطقه می‌تواند بیشتر در مناطقی رخ دهد که اثراتی از اکسیدهای آهن و پیریت نباشد، همچنانکه در همبستگی طلا نیز مشاهده می‌کنیم، گروه کانی‌های پیریت تقریباً قادر همبستگی با طلا می‌باشد.

با توجه به این نکته که مقادیر طلای مشاهده شده در نمونه‌های کانی‌سنگین مطالعه شده از منطقه سامن هیچگاه بیشتر از حد pts نبوده است و با علم به اینکه طلا به هر مقدار و اندازه که باشد معمولاً از حد pts فراتر نمی‌رود بنابراین مقدار ثابت ppm ۰/۰۱ برای همه ۲۱ نمونه طladار در نظر گرفته شده است. به علت ثابت بودن این عدد برای همه نمونه‌ها نمی‌توان از آن برای محاسبه ضریب همبستگی استفاده کرد. لذا از مقادیر محاسبه شده حجم ذرات طلای مشاهده شده، جهت پردازش ضریب همبستگی استفاده شد.

طلا هر چند در سطح اعتبار ۹۹ و ۹۵٪ با هیچکدام از کانی‌های دیگر همبستگی نشان نداده است اما بطور نسبی بیشترین همبستگی را با مجموعه Zn, Pb, ۰,۴۲۲ و پس از آن با گالن ۰,۳۹۳ و در پی آن با مگنتیت ۰,۳۸۳ نشان داده است. همبستگی طلا با شلیت در ردیف پنجم با مقدار ۰,۲۴۴ می‌باشد. این همبستگی‌ها هر چند ضعیف بوده اما تا حدودی راهگشا هستند. همبستگی طلا با گروه پیریت در رده سیزدهم واقع شده و با پیریت اکسید همبستگی منفی و ضعیف ۰,۰۴۶- را نشان می‌دهد.

بیشترین همبستگی مگنتیت با گروه تیتان (۰,۶۶۲) و با درجه اعتبار ۹۹٪ بوده که بیانگر وجود کانی‌های تیتانومگنتیت نیز می‌باشد.

بیشترین همبستگی گالن با کانی‌های هم گروه خود (Pb, Zn) با مقدار ۰,۴۸ و در پی آن با هماتیت می‌باشد، البته این ضرایب هیچکدام حتی در سطح ۹۵٪ نیز اعتبار ندارند. در ردیف سوم گالن با طلا (۰,۳۹۳)، در ردیف چهارم با شلیت همبستگی نشان داده است (۰,۳۱۵). بیشترین همبستگی منفی گالن با کانی‌های گروه Cu, Mo با مقدار ۰,۳۹۵ می‌باشد. بدلیل فراوانی اندک گالن در نمونه‌ها از این کانی نمی‌توان بعنوان راهنمای اکتشافی سود جست.

تنگستن در ۷۴ نمونه مشاهده شده است ولی مقادیر حدود ۶۵ نمونه در حد PTS گزارش شده است که چندان جالب به نظر نمی رسد. بیشترین همبستگی شلیت با گارنت (۰,۵۳۹) و در پی آن با آندالوزیت (۰,۴۹۲) میباشد. این دو ضریب در حد ۹۹٪ دارای اعتبار میباشند. شلیت با لیمونیت ضریب همبستگی منفی (-۰,۲۵۹) و با اعتبار ۹۵٪ نشان داده است. سایر همبستگی‌های این کانی اعتباری کمتر از ۹۵٪ دارند. این نتایج همراهی شلیت را با فرایند دگرگونی و دگرسانی تائید می‌کند.

پیروولوزیت نیز در ۶۷ نمونه گزارش شده که ۵۹ نمونه آن در حد PTS بوده و حداقل مقدار آن ۳۰ ppm بوده است. آنومالی‌هایی از این کانی در شمال غربی و در مرکز محدوده می‌توان مشاهده کرد که به نظر می‌رسد در ارتباط با کانی‌زایی‌های حاشیه توود نفوذی گرانیتوئیدی بوده است.

کانی‌های سربدار در ۴۵ نمونه مشاهده شده‌اند و لی تنها در ۲ نمونه (ZSH-۴۸, ZSH-۲۴) به بیشتر از ۵ ppm می‌رسند که این مقدار به هیچ وجه نشان از کانی‌زایی نیست.

### ۳-۴- تعیین و تفکیک نمونه‌های ردیاب کانه‌سازی

با توجه به هدف اصلی اکتشافات در این مرحله که همانا پی‌جویی کانی‌سازی طلا و تنگستن بوده، طلا با فراوانی ۱ تا ۷ ذره در ۲۱ نمونه برداشت شده یافت شده است. این نمونه‌ها بیش از ۲۰٪ از نمونه‌های برداشت شده است و ارزش اکتشافی منطقه را از دیدگاه این عنصر ارزشمند به مراتب بالا می‌برد. در جدول ۳-۴ مشخصات نمونه‌های طladار و تعداد ذرات آن‌ها نشان داده شده است. مجموعاً تعداد ۴۵ ذره طلا در این نمونه‌ها یافت شده است. در این جدول همچنین سایر مشخصات نمونه‌های طladار به تفکیک ذرات مشاهده شده، ابعاد ذرات، گردشگی و شکل آنها نیز آورده شده است. میانگین طول ذرات طلا ۲۹۸ میکرون است که نشان‌دهنده درشت بودن ذرات و نزدیکی به منشاء کانی‌سازی است. دو ذره بالای ۱۰۰۰ میکرون و چهار ذره بین ۱۰۰۰-۵۰۰ میکرون شاهدی بر این امر می‌باشند. حداقل طول ذرات مشاهده شده ۱۰۰ میکرون است. آنچه که جالب توجه است این است که درشت ترین ذرات در نمونه‌هایی یافت شده که بیشترین تعداد ذرات را نیز در برداشته‌اند.

### ۳-۴-۱- وضعیت طلا و شلیت در نمونه‌ها و همراهی سایر کانی‌های ارزشمند با آنها

از پهنه رسوبات آبرهه‌ای منطقه سامن ۱۰۰ نمونه کانی سنگین برداشت شده که به شرح مختصری از کانی‌های مهم آنها برداخته می‌شود.

**طلا:** در ۲۱ نمونه اثراتی از طلا در حد ۱ تا ۷ ذره مشاهده شده است که مقادیر حداقل کانی‌های هماتیت، آناتاز، اسفن، پیریت لیمونیت، پیروولوزیت و پیرومورفیت در میان نمونه‌های طladar یافت

شده، اما این به معنای همراهی این کانیها در کل نمونه‌های طladار نیست. درین نمونه‌های حاوی بیشترین پیریت، تنها سه نمونه طladار دیده می‌شود.

در مورد شئیت این همراهی بیشتر محسوس شده چنانچه در بین ۲۱ نمونه‌ای که بیشترین مقدار شئیت را نشان داده‌اند ۸ نمونه طلدار مشاهده شده که در میان آنها نمونه‌هایی بچشم میخورد که بیشترین مقدار طلا را داشته‌اند.

همراهی نمونه‌های طلدار با اکسیدهای آهن در سه مورد، با گارنت‌ها در ۸ مورد، با باریت در ۵ مورد، با کانیهای گروه سرب و روی در ۷ مورد (هر چند مقادیر قابل توجهی از کانیهای سرب و روی مشاهده نشده است) و با کانیهای گروه مس و مولیبدن در ۹ مورد (کانیهایی مس و مولیبدن نیز حضور جالب توجهی در کانیهای سنگین نشان نداده‌اند) مشاهده شده است.

از ۱۱ نمونه‌ای که سینابر در آنها ثبت شده، طلا نیز در حد ۱ تا ۴ ذره در ۶ نمونه مشاهده شده است.

**شلیت:** در ۷۴ نمونه آثار شلیت از حداقل ( $1\text{ ppm pts}$ ) تا حداکثر  $153\text{ ppm}$  مشاهده شده است. بنظر میرسد، شلیت بیشترین همراهی را با کانیهای گارنت و آندالوزیت نشان داده است.

**کاسیتیریت:** در ۱۰ نمونه آثار کاسیتیریت بصورت *pts* مشاهده شده است بطوریکه در نیمی از این تعداد نمونه ذره طلا و در تمام نمونه‌ها شیلیت مشهود می‌باشد.

از این نمونه ذره طلا و در هر دو نمونه شیلت نیز گزارش شده است.

**سرب و روی:** کانیهایی گروه سرب و روی شامل گالن، سروزیت، اسفالریت، پیرومورفیت، میمیتیت، و انادنیت، لیتاژ و سرب طبیعی حضور چندانی از لحاظ عیاری در نمونه‌ها نداشته‌اند. بیشترین عیار حاصله در آنها ۵،۹ ppm بوده و از تعداد ۵۲ نمونه‌ای که در آنها، یک یا مجموعه‌ای از کانی‌های سرب و روی دیده شده بخش عمده‌ای (۳۳ نمونه) فقط در حد اثرات پراکنده (pts) گزارش شده است.

**کانی‌ای مس و مولیبدن:** این کانیها بصورت کالکوپیریت، مالاکیت، مس طبیعی، و لفنت، پولیت و کوپریت مشاهده شده‌اند. مجموعاً در ۲۲ نمونه شواهدی از یک یا چند کانی ذکر شده ثبت شده است که مقادیر عیاری آن چندان جالب توجه نیست (از حد ۰،۰۱ تا ۶۱۱ ppm)

### **جدول ۳-۴- مشخصات ذرات طلا در نمونه‌های طلا دار و تعداد ذرات**

Row	Sample No.	Distribution	Gold grain size ( $\mu\text{m}$ )			Roundness	Shape	Grain(s) Volume ( $\text{mm}^3$ )
			L	W	T			

۱	ZSH.۱۴(۱)	۲	۲۰۰	۱۲۵	۷۵	Subroundded	Lumpy	۱,۰۰۲۰
	ZSH.۱۴(۲)		۱۲۵	۱۰۰	۵۰	Subroundded	Lumpy	
۲	ZSH.۱۵(۱)	۲	۵۰۰	۳۰۰	۱۰۰	Roundded	Lumpy	۱,۰۰۲۹
	ZSH.۱۵(۲)		۳۲۵	۲۰۰	۱۰۰	Subroundded	Lumpy	
۳	ZSH.۱۶	۱	۱۲۵	۱۰۰	۳۰	Angular	Platy	۱,۰۰۰۳۸
۴	ZSH.۱۸(۱)	۳	۲۰۰	۱۷۵	۷۵	Spongy	Lumpy	۱,۰۰۴۰
	ZSH.۱۸(۲)		۱۷۵	۱۰۰	۵۰	Subangular	Lumpy	
	ZSH.۱۸(۳)		۱۰۰	۷۵	۵۰	Subangular	Lumpy	
۵	ZSH.۲۱	۱	۱۲۵	۷۵	۳۰	Angular	Lumpy	۱,۰۰۰۲۸
۶	ZSH.۲۴(۱)	۳	۳۰۰	۲۰۰	۳۰	Subroundded	Platy	۱,۰۰۱۸۱۸
	ZSH.۲۴(۲)		۴۰۰	۳۷۵	۱۰۰	Subangular	Lumpy	
	ZSH.۲۴(۳)		۳۷۵	۱۰۰	۵۰	Subroundded	Lumpy	
۷	ZSH.۲۹	۱	۱۲۵	۱۲۵	۵۰	Spongy	Angular	۱,۰۰۰۷۸
۸	ZSH.۳۱	۱	۲۰۰	۷۵	۱۰	Roundded	Platy	۱,۰۰۰۲۳
۹	ZSH.۳۶	۱	۳۰۰	۱۰۰	۵۰	Subroundded	Lumpy	۱,۰۰۰۱۰
۱۰	ZSH.۴۱(۱)	۴	۲۰۰	۱۰۰	۱۰	Angular	Platy	۱,۰۰۶۱۳
	ZSH.۴۱(۲)		۳۷۵	۲۰۰	۵۰	Subangular	Lumpy	
	ZSH.۴۱(۳)		۱۰۰	۱۰۰	۵۰	Subroundded	Lumpy	
	ZSH.۴۱(۴)		۱۰۰	۵۰	۲۵	Subroundded	Lumpy	
۱۱	ZSH.۴۲(۱)	۲	۲۰۰	۲۰۰	۷۵	Roundded	Lumpy	۱,۰۰۴۰
	ZSH.۴۲(۲)		۲۰۰	۱۲۵	۳۰	Subangular	Platy	
۱۲	ZSH.۴۳(۱)	۲	۲۰۰	۲۰۰	۱۰۰	Subroundded	Lumpy	۱,۰۰۰۴۰
	ZSH.۴۳(۲)		۱۰۰	۱۰۰	۳۰	Angular	Lumpy	
۱۳	ZSH.۴۶	۱	۲۰۰	۱۰۰	۷۵	Subroundded	Lumpy	۱,۰۰۰۲۵
۱۴	ZSH.۴۸(۱)	۳	۱۰۰	۱۲۵	۳۰	Subangular	Lumpy	۱,۰۰۰۳۴
	ZSH.۴۸(۲)		۵۰۰	۱۰۰	۵۰	Angular	Dendrity	
	ZSH.۴۸(۳)		۱۰۰	۱۰۰	۲۵	Subroundded	Platy	
۱۵	ZSH.۶	۱	۲۰۰	۷۵	۳۰	Angular	Lumpy	۱,۰۰۰۴۰
۱۶	ZSH.۶۳(۱)	۴	۱۲۵	۱۰۰	۳۰	Angular	Lumpy	۱,۲۳۹۱
	ZSH.۶۳(۲)		۲۰۰	۱۰۰	۵۰	Roundded	Lumpy	
	ZSH.۶۳(۳)		۱۷۰	۷۰	۲۰	Angular	Spongy	
	ZSH.۶۳(۴)		۱۰۰	۷۵	۳۰	Subangular	Lumpy	
۱۷	ZSH.۶۶(۱)	۵	۳۰۰	۲۰۰	۷۵	Subroundded	Lumpy	۱,۲۹۱۴۴
	ZSH.۶۶(۲)		۳۷۵	۳۵۰	۲۰	Roundded	Lumpy	
	ZSH.۶۶(۳)		۵۰۰	۳۰۰	۱۷۵	Roundded	Lumpy	
	ZSH.۶۶(۴)		۸۰۰	۳۷۵	۲۲۵	Roundded	Lumpy	
	ZSH.۶۶(۵)		۱۰۰۰	۵۰۰	۲۰	Roundded	Lumpy	

	ZSH.٦٦(٦)		٢٥٠	١٧٥	٧٥	Subroundded	Lumpy	
	ZSH.٦٦(٧)		٤٥٠	٣٥٠	١٧٥	Roundded	Lumpy	
١٨	ZSH.٧٠(١)	٢	١٥٠	١٢٥	٣٠	Subroundded	Lumpy	٠,٠٠١١٦
	ZSH.٧٠(٢)		١٥٠	١٠٠	٤٠	Angular	Lumpy	
١٩	ZSH.٧٧(١)	٢	١٥٠	١٠٠	١٥	Subangular	Platy	٠,٠٠٨٨
	ZSH.٧٧(٢)		١٧٥	١٢٥	٣٠	Subangular	Lumpy	
٢٠	ZSH.٨٥	١	٢٥٠	١٥٠	٥٠	Roundded	Lumpy	٠,٠٠١٨٨
٢١	ZSH.٩٤	١	١٥٠	١٠٠	٣٠	Subroundded	Lumpy	٠,٠٠٠٤٥

### ۳-۴-۲- بررسی فراوانی سایر کانی های ارزشمند در نمونه های طلدار

با توجه به اینکه ۲۱ نمونه (بیش از ۲۰٪ نمونه ها) حاوی ذرات طلا گزارش شده، همین تعداد نمونه در کانی های دیگر به صورت مرتب شده (Descending sort) انتخاب شده و مقدار حد اکثر (Max.) هر کانی نیز مشخص گردیده است. با این شرایط، میزان همراهی ۲۰٪ بالای کانی های دیگر با نمونه های طلدار بررسی می گردد.

- همراهی سایر کانی های ارزشمند در ۲۰٪ بالا از حداقل ۱۴٪ (۳ نمونه از ۲۱ نمونه) تا حد اکثر ۴۸٪ (۱۰ نمونه از ۲۱ نمونه) مشخص شده است.
- حداقل همراهی با طلا (۱۴٪) در کانی های اکسید آهن (Fe Oxide)، اولیثیست و پیریت اکسید دیده شده است.
- حد اکثر همراهی با طلا (۴۸٪) در آناتاز دیده شده است.
- در کانی های مگنتیت و شلیت ۳۸٪ همراهی (۸ نمونه از ۲۱ نمونه) مشاهده شده و در کانی های لیمونیت، گارنت و پوولیت این حد به ۳۳ درصد رسیده است.

مقادیر پیریت چندان بالا نبوده، تنها در یک نمونه ppm ۱۰ و در سایر نمونه ها مقادیر اندکی (در حد ۰,۰۱ تا ۰,۰۶ ppm) ثبت شده است. تعداد نمونه های حاوی پیریت نیز ۳۴ نمونه بوده که از میان اینها ۸ نمونه طلدار یافت شده است.

مقادیر پیریت اکسید قابل توجه بوده و حد اکثر مقدار آن ppm ۷۹۸ با میانگین ۱۳۱,۴ و میانه ۱۰۰ ppm می باشد.

مقادیر پیریت لیمونیت در حد بین پیریت و پیریت اکسید در حد بین pts تا ۱۶۲ ppm شده ولی تنها تعداد اندکی از نمونه ها حاوی پیریت لیمونیت بیش از ۵۰ ppm می باشند (۴ نمونه). همراهی کانی های حاوی پیریت با کانی های طلدار چندان قابل توجه نیست و بین ۱۴٪

(پيريت اكسيد) تا ٪۲۹ (پيريت ليمونيت) در نوسان است.

همراهی کانی هایی همچون کانی های گروه مس و مولیبدن و کانی های گروه سرب و روی به علت اندک بودن مقادیر اين کانی ها در نمونه ها ييانگر عدم کانی سازی اين گروه از کانی ها و عدم اهمیت آنها در همراهی با طلاست.

### ۳-۵-۱- تهیه نقشه پراکندگی کانی های سنگین هدف یاب و همزاد آنها و شرح آنها

نقشه های پراکندگی طلا و شیلیت بعنوان دو کانی سنگین اصلی ترسیم شده و با توجه به حوضه های فرادست آنها شرح داده شده است. از سایر کانیها، مجموعه دو گروه کانی های سنگین نسبتاً ارزشمند در قالب دو نقشه دیگر بصورت نمادین (Symbol map) شرح داده می شود.

#### ۳-۵-۱-۱- شرح نقشه کانی سنگین طلا(شکل ۳-۳)

طلا در ۲۱ نمونه (از مجموع ۱۰۰ نمونه برداشت شده) در حد ۱ تا ۷ ذره مشاهده شده است. با توجه به اهمیت این عنصر، نمایش نقشه آن بصورت حوضه های طلا دار در شکل ۳-۳ ارائه شده است. بازه های تعریف شده در حوضه های طلا دار به ترتیب شامل حوضه های با یک ذره طلا، حوضه های با دو ذره، حوضه های با ۳ ذره و بیشتر در نظر گرفته شده است. از لحاظ فراوانی ذرات طلا در نمونه ها موارد زیر قابل توجه هستند.

- تمامی نمونه های حاوی سه ذره و بیشتر در منطقه مرکزی - شمالی قرار دارند. این منطقه از شرق به روستای حسن کوسج، از جنوب به سر شاخه های شمالی رودخانه فصلی کالجان و شمال شرق رودخانه فصلی خانه آباد و از غرب به آبراهه های شرق رودخانه خانه آباد محصور شده است (شکل ۳-۳). در این منطقه ۲۲ نمونه کانی سنگین (۲۲٪ از نمونه ها) برداشت شده که در ۱۲ نمونه از آنها طلا (یک ذره تا ۷ ذره) دیده شده است. به عبارت دیگر ۵۷ درصد نمونه های طلا دار در این منطقه دیده شده و تمامی نمونه های ۳ ذره و بیشتر نیز در میان نمونه های این منطقه مشاهده شده است.

- همین منطقه با گسترش جانبی از شرق و غرب نیز حاوی بیشترین مقادیر تنگستن می باشد. تفاوت فاحش در حوضه های طلا دار و شیلیت دار در نمونه های سرچشم می باشد. در این منطقه تقریباً نمونه های برداشت شده از حوضه های گرانیتی مقادیر کمتر از شیلیت رانشان داده یا فاقد شیلیت می باشند.

- غالباً نمونه های این منطقه شواهدی از سرب، روی و مس را نشان داده اند. بیشترین مقدار سرب و روی در نمونه های این منطقه مشاهده شده است. آثار نسبتاً فراوانی از گارنت در نمونه هایی که از هورنفلس ها و شیست ها سرچشم می گرفته اند دیده شده است. علاوه بر آن شواهدی از سینابر، کاسیتیریت، کانی های مس، مولیبدن، اورپیمنت و بیشترین مقدار هماتیت و اسفن، نیز در نمونه های این منطقه دیده شده است.

شكل ۳-۳- حوضه های طلدار بر روی نقشه زمین شناسی

- هورنفلسها بخش عمده بروند این منطقه و گرانیت‌ها کمتر از ۲۰٪ سطح آن را در جنوب در بر دارند. از ۶ نمونه حاوی سه ذره و بیشتر، ۲ نمونه تقریباً بطور کامل از این گرانیتها سرچشمه گرفته اند و سر شاخه یک نمونه دیگر نیز در این واحد گسترش دارد. از سه نمونه دیگر دو نمونه هیچگونه ارتباطی با گرانیتها ندارد و حدود ۳۰٪ سطح تحت پوشش نمونه دیگر از گرانیت گذر کرده است.
- از آبراهه‌هایی که در بروند گرانیتی واقع در جنوبشرق محدوده گسترش دارند، دو نمونه برداشت شده که هر دوی آنها حاوی ۲ ذره طلا بوده اند بنابراین اهمیت این بروند نیز قابل توجه می‌نماید.
- در بروند توده گرانیتی غرب منطقه (توده گرانیتی انجیره) ۶ نمونه بطور مستقیم ( فقط از خود توده) و ۳ نمونه بطور غیر مستقیم (از توده نفوذی و سایر واحدها) برداشت شده که تنها در یک نمونه از آنها یک ذره طلا دیده شده است.
- از توده گرانیتی سراب سامن (شمالشرق منطقه) نسبت به بقیه مناطق نمونه کمتری برداشت شده و علت آن هم افزایش سطح منطقه با هدف تهیه نقشه زمین شناسی بوده است.

### ۳-۵-۲- شرح نقشه کانی سنگین شلیت (شکل ۴-۳)

تنگستن در نمونه‌های کانی سنگین بصورت مشاهده شده است. در ۷۴ نمونه شواهدی از این کانی (از حداقل ۱۰۰ ppm تا حداقل ۱۵۳ ppm) ثبت شده است. نقشه‌های حوضه‌های حاوی شلیت (شکل ۴-۳) در سه بازه مختلف به شرح زیر ترسیم شده است:

بازه اول از ۰-۱۰ گرم در تن

بازه دوم از ۱۰-۱۰۰ گرم در تن

بازه سوم از ۱۰۰-۱۵۳ گرم در تن

در این بازه نمونه‌های حاوی ۱۰-۵۰ ppm به تعداد هفت (۷ نمونه) و نمونه‌های حاوی ۵۰-۸۰ ppm به تعداد دو (۲ نمونه) و نمونه‌های بین ۸۰-۱۰۰ ppm به تعداد یک (۱ نمونه) و نمونه‌های بیش از ۱۰۰ ppm به تعداد یک (۱ نمونه) می‌باشند.

در این نقشه موارد زیر مشاهده شده است.

نیمه شمالی منطقه به گونه چشمگیری غنی تر از نیمه جنوبی است در این میان منطقه مرکزی - شمالی (معرفی شده در شرح نقشه طلا) با گسترش به شرق و غرب حاوی بیشترین مقادیر تنگستن نیز می‌باشد. در بخش شمالغرب منطقه ۵ نمونه حاوی شلیت مشخص شده است که یکی از آنها در بازه سوم قرار گرفته است.

شكل ۳-۴- حوضه های شلیت دار روی نقشه زمین شناسی

در نیمه جنوبی منطقه تقریبا هیچگونه هماهنگی و انطباقی بین حوضه های طلا دار و شلیت دار مشاهده نشده است. این در حالی است که در نیمه شمالی منطقه همبستگی نمونه های حاوی طلا و شلیت بمراتب بیشتر بوده است.

در شمالغرب و در شرق رودخانه فصلی خانه آباد محدوده ای مشاهده شده که بطور مجتمع و در ۱۰ نمونه حاوی شلیت (عموما در بازه سوم) بوده است. این منطقه تقریبا هیچگونه ارتباطی با توده های نفوذی گرانیتی ندارد.

### ۳-۵-۳- شرح نقشه سایر کانیهای سنگین ارزشمند

#### گروه ۱ (سرب و روی- مس و مولیبدن- سینابر- اورپیمنت- نقره) (شکل ۳-۵)

کانیهایی گروه سرب و روی شامل گالن، سروزیت، اسفالریت، پیرومورفیت، میمتیت، و انادنیت، لیتاژ و سرب طبیعی حضور چندانی از لحاظ عیاری در نمونه ها نداشته اند. بیشترین عیار مجموعه این کانیها  $5,9\text{ ppm}$  متعلق به نمونه ۲۴ ZSH بوده که این مقدار، در بردارنده عیار گالن (PbS) به مقدار  $5,7\text{ ppm}$  به همراه مقادیر اندکی سروزیت، پیرومورفیت و سرب طبیعی می باشد. نمونه بعدی از نظر فراوانی مقدار، نمونه ۴۸ ZSH بوده که عیار آن به طور اعم متأثر از مقدار پیرومورفیت  $\text{Cl}_{(\text{اع})}(\text{PO}_{\text{اع}}\text{Sb}_{\text{اع}})$  به میزان  $4,9\text{ ppm}$  و گالن در حد pts میباشد که بطور مجموع  $4,91\text{ ppm}$  گزارش شده است.

این دونمونه در منطقه مرکزی - شمالی قرار دارند. این منطقه از لحاظ در برداشت مناطق مستعد در زمینه طلا و تنگستن در شرح نقشه های این دو عنصر معرفی شده بود. از تعداد ۵۲ نمونه ای که در آنها، یک یا مجموعه ای از کانی های سرب و روی دیده شده بخش عمده ای (۳۳ نمونه) فقط در حد اثرات پراکنده (pts) گزارش شده است.

کانیهایی مس و مولیبدن بصورت کالکوپیریت، مالاکیت، مس طبیعی، و لفنت، پولیت و کوپریت مشاهده شده اند. مجموعاً در ۲۲ نمونه شواهدی از یک یا چند کانی ذکر شده ثبت شده است. مقادیر عیاری در این نمونه ها چندان جالب توجه نیست (از حد  $0,01\text{ ppm}$  تا  $6,81\text{ ppm}$ )، حداکثر مقدار مس و مولیبدن متعلق به نمونه ۱۰۳ ZSH میباشد به طوریکه اعم این مقدار، متعلق به پاولیت به میزان  $6,8\text{ ppm}$  و در حد pts و لفنت میباشد. از کانیهای گروه مس و مولیبدن تنها کانی پولیت  $\text{CaMoO}_4$  که یک کانی ایزومورف با شلیت است در حد مقادیر عددی گزارش شده است. این کانی بعنوان یک کانی سنگین فرعی از مولیبدن شناخته شده است. از سایر کانیهای نامبرده مقادیر اندکی در حد  $(0,01\text{ ppm})$  یافت شده است.

شكل ۳-۵- حوضه های گروه ۱(سرب و روی- مس و مولیبدن- سینابر - اورپیمنت- نقره) بر روی  
نقشه زمین شناسی

نمونه ۱۰۳ ZSH در منتهی الیه شمالغرب منطقه در لیتولوژی شیستی و شمالغرب دره پل واقع شده است. اکثر نمونه های محصور در این لیتولوژی دارای مقادیر سرب و روی میباشند. سینابر در ۱۱ نمونه گزارش شده است که حداکثر مقادیر سینابر نیز در دونمونه ۱۰ ZSH و ZSH.۳۶ به ترتیب با مقادیر ۰,۹۶ و ۰,۷۲ میلی گرم در تن دیده میشود، این نمونه ها در جنوب منطقه در شرق قلعه علیمرادخان برداشت شده اند و لیتولوژی حوضه های فرادست آنها مرمر بوده است، بقیه مقادیر سینابر در حد pts میباشد. در اکثر نمونه هایی که سینابر دیده شده است، سرب و روی نیز گزارش شده است.

اورپیمنت نیز در دو نمونه و در حد pts دیده شده است. این دو نمونه با کدهای ZSH.۳۹،۶۳ در منطقه مرکزی - شمالی قرار دارند.

نقره (Silver) تنها در نمونه ۲۰ ZSH و در حد pts دیده میشود. در فرادست این نمونه لیتولوژی (gd) گرانیت، (TR<sup>L</sup>) مرمر و (H) هورنفلس مشهود میباشد. در این نمونه سرب و روی نیز گزارش شده است. اما از طلا اثری در این نمونه دیده نشده است. بطور کلی میتوان گفت که با توجه به عدم امیدواری به کانی سازی سرب و روی و مس و مولیبدن از دیدگاه نمونه های کانی سنگین، موقعیت نمونه های حاوی این کانیها بیشتر در منطقه مرکزی - شمالی و در واحد های هورنفلس، شیست و گرانیت بوده است. همراهی سینابر و اورپیمنت با نمونه های طلا دار در اکثر موارد باعث افزایش میزان اعتبار نمونه ها شده است.

**گروه ۲ (پیریت - پیریت اکسید - پیریت لیمونیت - کاسیتیریت - گارنت - آندالوزیت)** (شکل ۳-۶)

پیریت در ۳۴ نمونه مشاهده شده است، بطوریکه حداکثر مقدار پیریت را تنها نمونه ZSH.۴۵ به میزان ۱۰ گرم در تن نشان داده است. پیریت در نمونه ۵۱ ZSH نیز به میزان ۶,۶ گرم در تن گزارش شده و بقیه مقادیر تماما در حد pts می باشد.

این دو نمونه در شمال سلطان آباد انوچ، در لیتولوژی مرمری (TR<sup>L</sup>) واقع شده است، همراهی پیریت با پیریت اکسید، الیزیست، گارنت، ایلمنیت، باریت و کربنات کلسیم در این دو نمونه مشهود می باشد. اما در این دو نمونه نشانی از طلا یافت نشده است.

مقادیر پیریت اکسید در ۹۳ نمونه، گزارش شده است. در ۲۰٪ از این نمونه ها پیریت اکسید در حد pts ثبت شده است. حداکثر مقدار پیریت اکسید در نمونه ۸۹ ZSH به میزان ۷۹۸ گرم در تن گزارش شده است. در فرادست این نمونه دو لیتولوژی مرمری (TR<sup>L</sup>) و گرانیتی (gd) رخمنون دارد. پیریت لیمونیت نیز در ۶۲ نمونه مشاهده شده بطوریکه حداکثر مقدار آن متعلق به نمونه

(ZSH.۳۶) ppm واقع در شرق قلعه علیمراد خان میباشد. رخنمون فرادست این نمونه را شیست، مرمر و رسوبات آلوویوم تشکیل داده اند. در ۸۸٪ از نمونه ها پیریت لیمونیت، در حد pts ثبت شده است. این سه کانی که تحت عنوان مجموعه پیریت تقسیم بندی شده اند بعنوان ردیاب اکتشافی و از نظر همراهی کانیهای دیگر حائز اهمیت می باشند. تهی شدگی نسبی منطقه مرکزی - شمالی (منطقه معرفی شده در نقشه کانی سنگین طلا و شلیت) از کانیهای گروه پیریت و تمرکز نسبی آنها در بخش جنوبی نشان از عدم همراهی این گروه از کانیها با طلا و شلیت دارد.

کاسیتیریت ( $\text{SnO}_2$ ) نیز در ۱۰ نمونه در حد pts گزارش شده است. در تمامی این ۱۰ نمونه آثار شلیت دیده شده و همراهی چهار نمونه حاوی شلیت بیش از ۱۰ ppm (با ذرازه سوم) - ردیفهای اول، دوم، هفتم و دهم (با عیارهای ۲/۱۵۳، ۷، ۲۵/۸۳، ۴/۱۴ و ۴/۲۵ گرم در تن) - نشان از همراهی کانی سازی قلع و تنگستن است اما همانگونه که اشاره شد مقادیر کاسیتیریت تنها در حد pts گزارش شده است. گارنت نیز در ۹۶ نمونه گزارش شده است بطوریکه حداکثر مقدار آن در نمونه (ZSH.۶۹) ۳۳۶۰ ppm دیده شده است. از کل نمونه های در بر دارنده گارنت ۱۰ نمونه بصورت pts گزارش شده اند. تمرکز گارنت و همچنین آندالوزیت در واحدهای شیست (شمالغرب) و هورنفلس (شمال) مشاهده شده است. آندالوزیت ( $\text{Al}_2\text{SiO}_5$ ) در ۹۰ نمونه گزارش شده است. حداکثر مقدار آن در نمونه (ZSH.۲۲) ۳۵۸.۴ ppm دیده شده است، فرادست این نمونه را هورنفلسها در بر گرفته اند. قابل ذکر است ۲۳٪ از نمونه های در بردارنده آندالوزیت دارای مقادیر pts میباشند.

شكل ۳-۶- حوضه های گروه ۲۵۰ (پيريت-اكسيد-پيريت ليمونيت-کاسيتريت-گارنت-آندالوزيت) بر روی نقشه زمین شناسی

### ۳-۶-۲- معرفی مناطق امیدبخش و شرح آنومالی های موجود

مناطق امیدبخش با توجه به تعداد ذرات طلا و نقش تنگستن (شلیت) در همراهی یا عدم همراهی با طلا معرفی شده است.

### ۳-۶-۱- مناطق امیدبخش از دیدگاه کانی سازی طلا

برای بررسی مفهومی از نقش احتمالی لیتولوژی در کانی سازی طلا حوضه های نمونه هایی که در آنها شواهدی از کانی سازی طلا یافت شده در سه بازه متفاوت بین ۳ تا ۷ ذره، ۲ ذره و یک ذره بر روی نقشه زمین شناسی مشخص گردیده است. (شکل ۳-۳).

همانگونه که از متن این نقشه بر می آید، عمدۀ ترین شواهد کانی سازی طلا (نمونه های حاوی ۳ تا ۷ ذره) در مرکز و شمال منطقه به صورت یک حلقه (Ring) ناقص دیده شده است. این حلقه U شکل در اطراف واحد مرمر (TR<sup>L</sup>) و درون توده نفوذی گرانیتی، گرانودیوریتی در جنوب و غرب و واحد هورنفلسی در شرق، شمالغرب و شمال قرار دارد. نکته حائز اهمیت آبراهه ای است که از آن نمونه ZSH-۶۶ (۷ ذره طلا) برداشت شده، سرشاخه های این آبراهه در واحد های نفوذی قرار گرفته و بخش عمدۀ آن از واحد های هورنفلسی گذر می کند. در فرودست، این آبراهه از واحد های شیست گذر کرده که در آنجا نمونه ZSH-۷۰ برداشت شده است. در این نمونه نیز دو ذره طلا مشاهده شده است. در انتهای این آبراهه و در مرز شمالی محدوده نمونه ZSH-۸۵ از همین آبراهه نیز حاوی یک ذره طلا بوده است. منطقه بنده مشخصی از کاهش ذرات طلا در طول این آبراهه که روندی جنوبشرق- شمالغرب تا جنوب- شمال دارد حاکی از دور شدن از منشأ کانی سازی است. اما اینکه بتوان منشأ کانی سازی را به یکی از این واحدها منتبه کرد مسئله ای است که در این سطح از اطلاعات نمی توان به قضاوت منطقی در مورد آن دست زد.

در جنوب- جنوب غرب همین منطقه آبراهه ای با روند غربی- شرقی در جریان است که در سرشاخه آن نمونه ZSH-۴۸ با سه ذره و در فرودست آن نمونه ZSH-۶۳ با چهار ذره طلا برداشت شده است. به نظر می رسد احتمال افزونتر شدن ذرات طلا در نمونه اخیر ناشی از سرشاخه شمالی این آبراهه است که از آن نمونه ای برداشت نشده است. سرشاخه جنوبی علاوه بر گذر از واحد های نفوذی از مرمر (TR<sup>L</sup>) و رگه های سیلیسی نیز گذر کرده است.

در مرکز این حلقه ناقص نیز در یک آبراهه با روند جنوبی- شمالی دو نمونه متوالی به ترتیب در فرادست، نمونه ZSH-۴۱ (با ۴ ذره) و در فرودست آن نمونه ZSH-۴۳ (با دو ذره طلا) برداشت شده است. از آبراهه مجاور آن نمونه ای به شماره ZSH-۴۲ برداشت شده که در آن نیز دو ذره طلا دیده

شده است. عمدۀ گذر این آبراهه‌ها از هورنفلس‌هاست و فقط یکی از سرشاخه‌های جنوبی از واحد  $(TR^L)$  گذشته است.

آنچه که به عنوان نتیجه گیری از توزیع مکانی نمونه‌های حاوی ۳ ذره یا بیشتر بدست می‌آید، نقشی فراتر از لیتوولوژی در امر کانی‌سازی است. دلیل عمدۀ این مسئله عدم حضور کانی‌سازی در نمونه‌هایی است که در لیتوولوژی‌های مشابه برداشت شده است.

### ۳-۲-۶- مناطق امیدبخش از دیدگاه کانی‌سازی تنگستن (شیلت)

تنگستن در نمونه‌های کانی‌سنگین بصورت کانی‌شیلت یافت شده که آثار آن در ۷۴ نمونه در حدود عیاری  $10,01$  ppm تا  $153$  ppm ثبت شده است. حوضه‌هایی که در آنها شیلت در سه کلاس  $1-0,01$  ppm،  $1-10$  ppm و  $>10$  ppm مشاهده شده در شکل ۳-۴ مشخص شده است، در این شکل نتایجی را می‌توان بصورت زیر خلاصه نمود:

- بخش عمدۀ ای از نمونه‌های پرعیار ( $>10$  ppm) حاوی شیلت هیچگونه ارتباطی را از لحاظ نقشه زمین‌شناسی با توده‌های گرانیتی نشان نمی‌دهند و تنها نمونه ZSH-۲۴ از میان ۱۱ نمونه پرعیار با گرانیتها مرتبط شده است.

- از ۱۰ نمونه کلاس دوم ( $1-10$  ppm) سر شاخه‌های سه نمونه در گرانیتها گسترش داشته است.  
 - از ۱۵ نمونه کلاس سوم ( $0,01-1$  ppm) ۹ نمونه را می‌توان به نحوی با گرانیتها در ارتباط دانست.

- نزدیکترین نمونه‌ها با اسکارن انجیره و نمونه‌های گرانیت غربی منطقه از لحاظ شیلت عمدتاً در کلاس سوم قرار دارد.

- نمونه‌های که بیش از  $20$  ppm تنگستن داشته‌اند عمدتاً از آبراهه‌هایی برداشت شده که سنگ بالادست آنها از شیست‌ها (S.Sch) و هورنفلس‌ها (H) تشکیل شده‌اند.

- در ۲۱ نمونه‌ای که شیلت آنها بیش از  $1$  ppm بوده ۸ نمونه طلدار دیده شده که نمونه‌های با ۷ ذره، ۴ ذره و دو نمونه ۳ ذره‌ای در میان این نمونه‌ها هستند.

- در بخش شمال- مرکز (محدوده بین حسن کوسنج و رودخانه فصلی خانه آباد) و گرانیت غربی منطقه (انجیره) انطباق جالب توجهی از کانی‌سازی طلا و تنگستن دیده شده است.

### ۳-۲-۷- ارزیابی پتانسیل‌های کانه‌زایی بر پایه سایر اطلاعات ژئوشیمیایی

آنچه که در فصول پیشین به تفصیل ارائه شد اطلاعات حاصله از نمونه‌های کانی‌سنگین بوده که بخش عمدۀ بررسی‌های اکتشافی را شامل شده بود. اما لازم است در نیل به هدف ارزیابی پتانسیل‌های

کانه‌زایی موجود در منطقه بررسی های انجام شده در سایر محیط ها نیز ارائه شود تا بتوان در پایان به یک نتیجه گیری کلی دست یافت.

علاوه بر نمونه های کانی سنگین، نمونه های برداشت شده از ترانشه های حفر شده در منطقه اسکارن انجیره (بعنوان اصلی ترین محیط نمونه برداری سنگی) و نمونه های سنگی پراکنده (نمونه های بر جا و نابر جا Float) نیز حاوی اطلاعات و نتایجی بوده اند که در بخش های آینده به آنها خواهیم پرداخت. شکل ۱-۳ موقعیت نمونه ها را نشان می دهد.

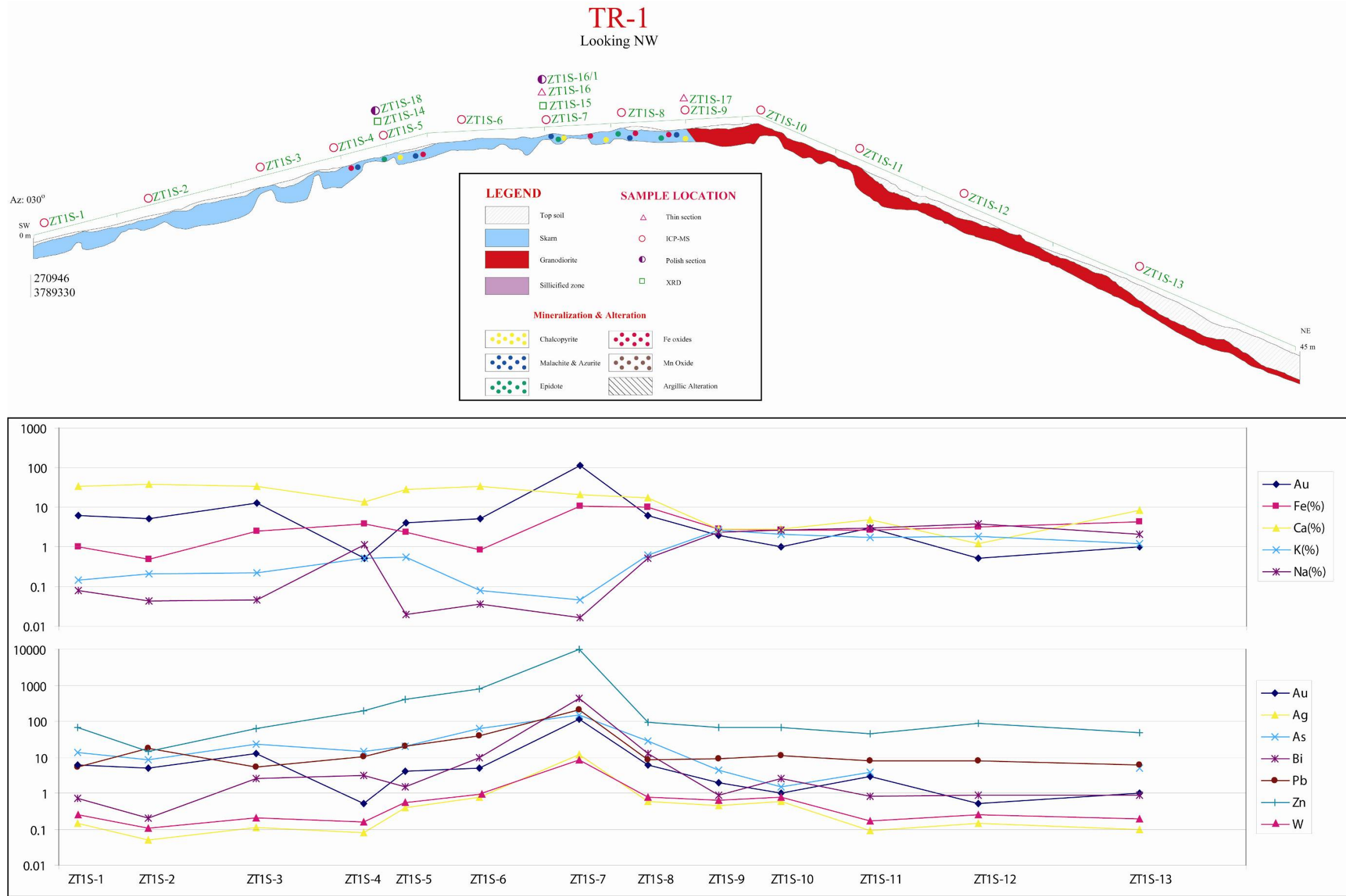
### ۱-۷-۳- بررسی داده های بدست آمده از ترانشه ها

تعداد ۴ ترانشه در شمال غرب روستای انجیره و در محدوده زون اسکارن انجیره حفر شده اند که شرح جزئیات واحد ها، موقعیت ترانشه ها و پروفیل آنها در بخش زمین شناسی گزارش حاضر آمده است. از ترانشه ها مجموعاً ۴۷ نمونه برداشت شده که طبقه بندی آنها شامل ۱۶ نمونه در گرانودیوریت ها، ۶ نمونه در گرانودیوریت های آلتره و ۲۵ نمونه در اسکارن ها می باشد. پروفیل لیتولوژی - آلتراسیون ترانشه ها همراه با نمودار های خطی نحوه توزیع عیار عنصر در بازه های نمونه برداری در اشکال ۳-۷ تا ۱۰-۳ آمده است.

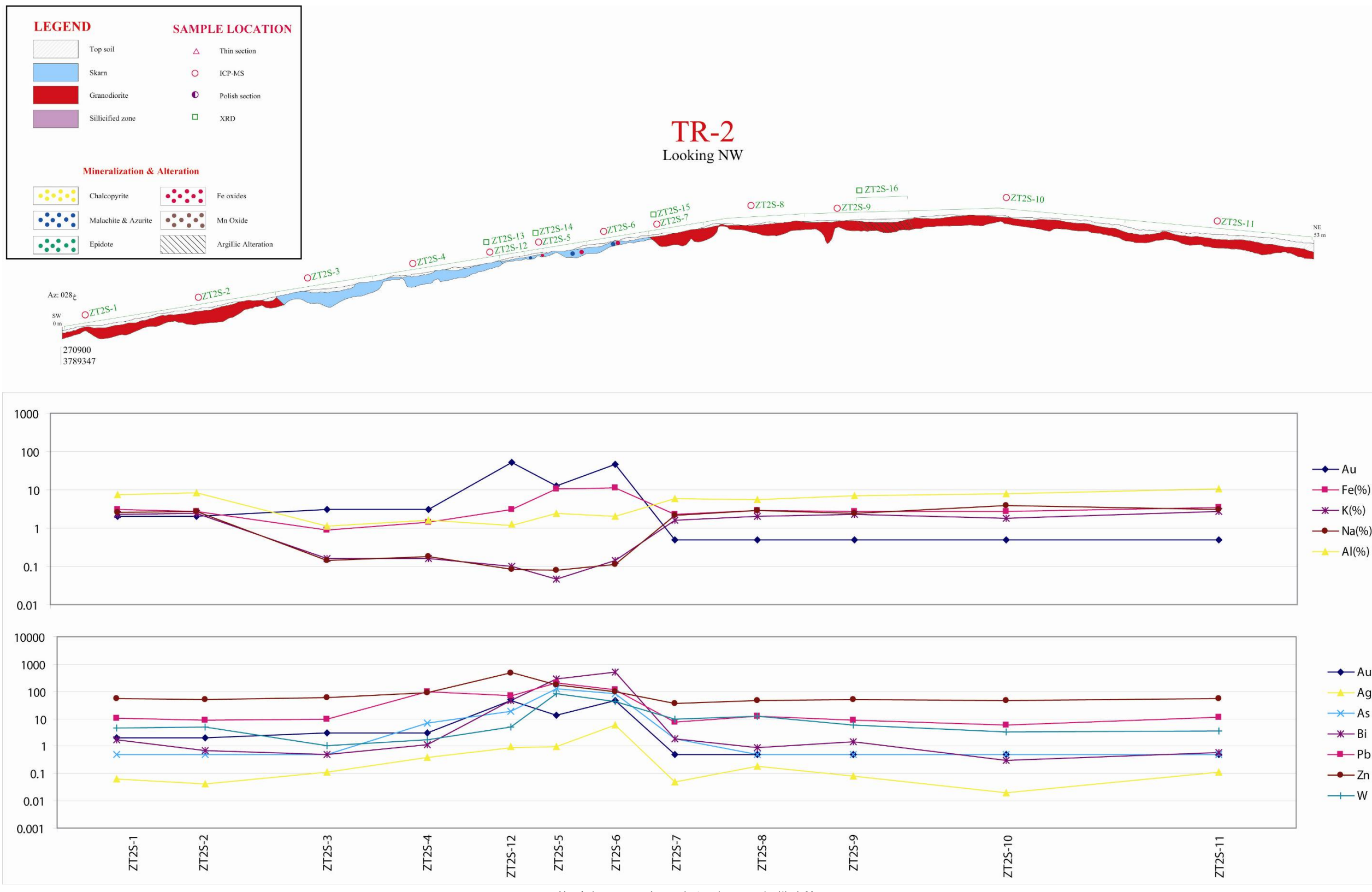
#### الف- ترانشه شماره ۱ (TR-۱)

در این ترانشه که در طول ۴۵ متر حفر شده جمعاً ۱۹ نمونه برداشت شده که ۱۳ نمونه از آن آنالیز شیمیائی شده است. حداکثر عیار طلا با  $115 \text{ ppb}$  در نمونه ZT1S-۷ مشخص شده است. روند نسبی و هماهنگ در تغییرات عیاری بین طلا، نقره، ارسنیک، سرب و روی و رفتار معکوس الکالیها (K و Na) با عناصر گروه اول در نمودارها بخوبی مشخص است. (شکل ۷-۳)

غمی شدگی نسبی طلا و سایر عناصر پایه در اسکارنها بخوبی مشخص است و کاهش عیار آنها در گرانودیوریت ها و عدم تغییرات عیاری در این واحد از دیگر مشخصه های این نمودارهاست. این کاهش عیار از نمونه بلا فصل و مرزی بین اسکارنها و واحد های نفوذی (نمونه ZT1S-۹) شروع می شود. ذکر این نکته ضروری است که عیار طلا و تنگستن در این ترانشه به هیچ وجه در شاخصه غمی - سازی در حد کانسارت نمودار نشده است.

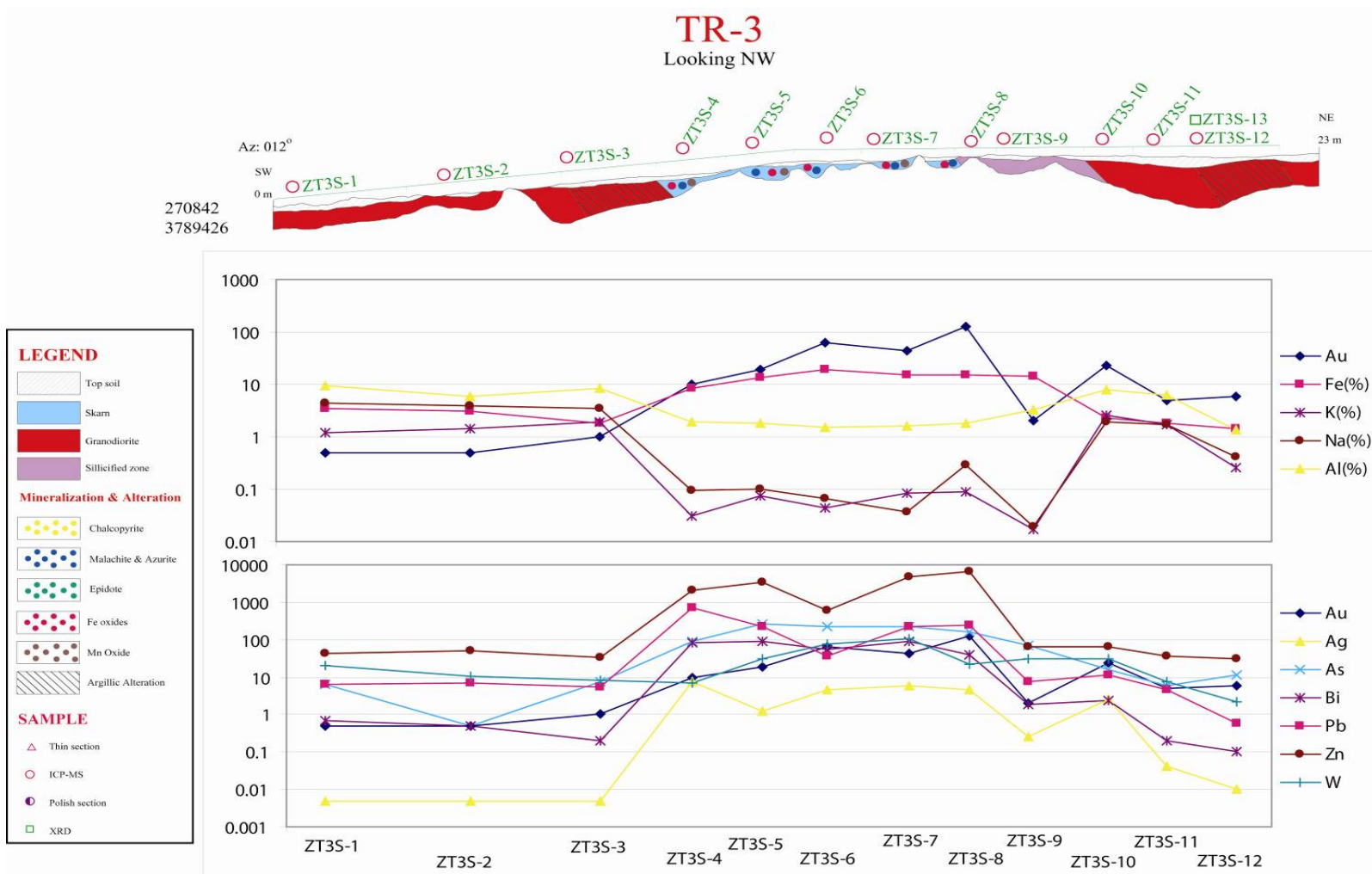


شکل ۳-۷- نمودار خطی عناصر در تراشه ۱



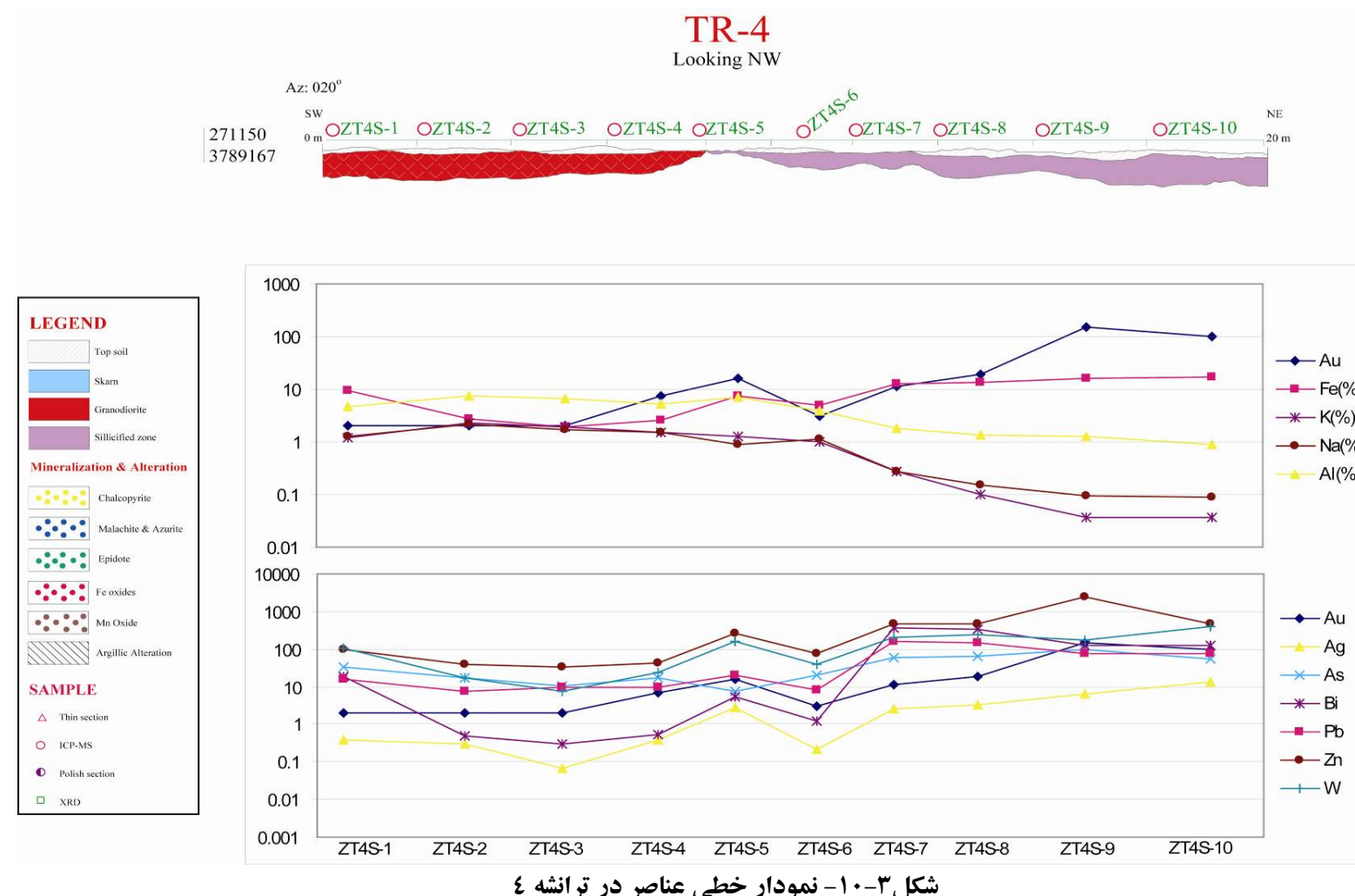
شکل ۳-۸- نمودار خطی عناصر در تراشه ۲

اکتشافات مقدماتی طلا و تنگستن غرب سامن  
 «اکتشافات ژئوشیمیایی با استفاده از نمونه های  
 کانی سنگین»



شکل ۳-۹- نمودار خطی عناصر در تراشه ۳

اکتشافات مقدماتی طلا و تنگستن غرب سامن  
 «اکتشافات ژئوشیمیایی با استفاده از نمونه های  
 کانی سنگین»



شکل ۱۰-۳ - نمودار خطی عناصر در ترانشه ۴

## ب- ترانشه شماره ۲ (TR-۲)

این ترانشه بطول ۵۳ متر در زون اسکارن انجیره حفر شده و ۱۲ نمونه از مجموعه نمونه های برداشت شده آن، جهت آنالیز ICP ارسال گردیده است. عیار طلا و تنگستن نشانی از کانی سازی اقتصادی را در برابرند و بیشترین عیار این دو عنصر به ترتیب برابر با ۵۲ ppb و ۸۳ ppm می باشد. روند همراهی در کاهش و افزایش عیارها نسبت به طلا در شکل ۳-۸ نشان داده شده است. مشخص است که همانند ترانشه شماره ۱ غنی شدگی اندکی از عناصر، در واحد اسکارنی رخ داده که شواهدی از کانی سازی مس همراه با اکسید آهن را نشان داده است. در این نمونه ها عناصر سدیم و پتاسیم روند معکوس داشته و افت واضحی داشته اند، یکسان بودن عیار در گرانودیوریتها از دیگر مشخصه های این ترانشه است. مس تنها عنصری است که عیار آن در اسکارنها غنی شدگی نشان می دهد.

## ج- ترانشه شماره ۳ (TR-۳)

ترانشه شماره ۳ نیز در محدوده اسکارن انجیره و به طول ۲۳ متر حفر شده که ۱۲ نمونه از آن برای آنالیز ICP در نظر گرفته شده است. مقادیر جالب توجهی از طلا و تنگستن در این نمونه ها نیز مشاهده نشده است (حداکثر طلا ۱۲۴ ppb و حداکثر تنگستن ۱۰۴ ppm). همانند ترانشه های ۱ و ۲ رفتار بسیاری از عناصر به استثناء K و Na تقریباً با عنصر طلا یکنواخت می باشد. نمونه های نسبتاً پر عیاری از واحد اسکارنی برداشت شده اند که در آنها کانی سازی مس، اکسید آهن و اکسید منگنز مشاهده شده است. در گرانودیوریتها که در دو سوی دیاگرام قرار دارند هیچگونه آثاری از شواهد کانی سازی ثبت نشده است. (شکل ۹-۳)

## د- ترانشه شماره ۴ (TR-۴)

این ترانشه با امتداد N۲۰E و بطول ۲۰ متر حفر شده است، ۱۰ نمونه از واحد های مختلف و با بازه های نسبتاً هماهنگ در طول ترانشه برداشت شده است. نمودار خطی این ترانشه که در کنار پروفیل آن رسم شده افزایش نسبی مقدار طلا را در واحد اسکارنی نشان می دهد، اما این افزایش در حد اندکی است و نمی تواند معرف کانی سازی اقتصادی طلا باشد زیرا بیشترین مقدار طلا و تنگستن مشاهده شده در این ترانشه به ترتیب برابر با ۱۴۹ ppb و ۳۹۹ ppm می باشد. تغییرات عیار عناصر نسبت به عیار طلا، مشابه با ترانشه های قبلی است. عیار مس در نمونه ZT۴S-۱۰ در حدود ۲,۱۶٪ است و مس تنها عنصری است که در حد کانی سازی در این ترانشه

مشخص شده است.(شکل ۱۰-۳)

### ۲-۷-۳- بررسی Split box plots در ترانشهای

این بررسی در مجموعه نمونه های ترانشهای (۴۷ نمونه) انجام شده و هدف آن بررسی تأثیر لیتولوژی بر تمرکز یا پراکندگی عیار در عناصر مختلف می باشد. با این هدف شکل ۱۱-۳ ترسیم شده است. در این ۴ نمودار واحدهای لیتولوژی سه گانه (گرانودیوریت با ۱۶ نمونه، گرانودیوریت آلتنه با ۶ نمونه و اسکارن با ۲۵ نمونه) در محور X و عیار در محور Y بصورت مقیاس لگاریتمی قرار گرفته است. نمودارهای جعبه ای (Box plot) معرف چارکهای اول تا چهارم، میانه (Median) (بصورت نوار مشکی در جعبه های رنگی) و نمونه های خارج از رد (Outlier) بصورت علام O یا X می باشند.

از بررسی این باکس پلاتها مشخص است که پارامترهای آماری معرفی شده در بالا به نحو بارزی در اسکارنها خود را از سایر لیتولوژیها بالاتر نشان میدهند، این تمرکز به حدی است که میانه طلا در اسکارنها از چارک سوم این عنصر در گرانیتوئید آلتنه (GDA) و از حداکثر عیار طلا در واحد گرانیتوئید (GD) بطور مشخصی بالاتر است. همین امر در عناصر دیگر منجمله جیوه، نقره، مس، سرب، روی، ارسنیک، بیسموت و قلع و تا حدودی تنگستن نیز مشاهده شده است. در مورد آنتیموان و مولیبدن میانه ها در واحدهای اسکارنی و گرانودیوریت آلتنه به یکدیگر نزدیکتر شده است. جدایش واضح جامعه اسکارنی در مورد بسیاری از عناصر اصلی نشان دهنده تمرکز (غنی شدگی) نسبی عیاری (نه به معنی کانی سازی اقتصادی) در واحد اسکارنی است.

میانه بسیاری از عناصر در اسکارنها بالاتر از سایر واحدهای است و تنها میانه عنصر آنتیموان در گرانودیوریت های آلتنه اندکی از اسکارنها بالاتر است. در این بررسی و با مشاهده عیار طلا و تنگستن نمی توان نشانی از کانی سازی اقتصادی در آنها بدست آورد. (ماکزیمم این دو عنصر که در واحد اسکارنی ثبت شده است به ترتیب  $149 \text{ ppb}$  و  $399 \text{ ppm}$  و میانگین این دو عنصر در همین واحد به ترتیب برابر با  $33,3 \text{ ppb}$  و  $82,9 \text{ ppm}$  می باشد).

در شکل ۱۲-۳ نمودار خطی میانگین عیار عناصر در ترانشهای و در رده بندی لیتولوژی نشان داده شده است.

اکتشافات مقدماتی طلا و تنگستن غرب

سامن

«اکتشافات ژئوشیمیایی با استفاده  
از نمونه های کانی سنگین»



شکل ۳-۱۱- باکس پلات نمایش تاثیر لیتولوژی بر تمکز یا پراکندگی عیار در عناصر مختلف

اکتشافات مقدماتی طلا و تنگستن غرب

سامن

«اکتشافات ژئوشیمیایی با استفاده

از نمونه های کانی سنگین»



شکل ۱۲-۳- نمودار خطی میانگین عیار در لیتولوژی های مختلف در توانشه ها

### ۳-۷-۳- نمونه های پراکنده سنگی برداشت شده از واحدهای مختلف

با هدف مطالعات مختلف اعم از مطالعات پتروگرافی، آلتراسیون و عیارسنجدی مجموعاً تعداد ۴۴ نمونه به صورت پراکنده برداشت و از میان آنها ۲۷ نمونه جهت آنالیز شیمیائی با روش ICP-MS به آزمایشگاه Amdel ارسال گردیده است. در بررسی شرح نمونه های برداشتی که در حین عملیات صحراوی توسط کارشناسان مسئول یادداشت شده بود، تقسیم‌بندی هایی بشرح زیر را می‌توان در این نمونه ها اعمال کرد، هر چند این امر با توجه به بعضی از موارد نمی‌تواند بطور قطعی در نظر گرفته شود.

**الف: نمونه های برداشت شده از رگه های سیلیسی (۹ نمونه) با کد (Silica V) Silica Vein**

**ب: نمونه های برداشت شده از اسکارنها (۵ نمونه با کد SK)**

**ج: نمونه های برداشت شده از گرانودیوریت های فاقد کانی سازی (۲ نمونه با کد GD)**

**د: نمونه های برداشت شده از گرانودیوریت های کانی سازی شده (۲ نمونه با کد Min.GD)**

**ه. نمونه های متفرقه دیگر شامل نمونه های برداشت شده از آهک های سیلیسی (۱ نمونه)، دایک دیابازی (۱ نمونه)، نمونه های نابر جا (۵ نمونه) و نمونه های رخنمونه های اکسید آهن (۲ نمونه).**  
 به استثنای نمونه های متفرقه سنگی (ردیف ه) سایر نمونه ها مورد بررسی قرار گرفته اند. البته ذکر این نکته ضروری است که با توجه به تعداد اندک نمونه ها در این بررسی ها ابتدا میانگین نمونه های رده های مختلف (الف تا د) و سپس بررسی باکس پلاتهای آنها در دستور کار قرار گرفته است. هر چند تعداد کم نمونه ها، اعتبار این بررسی ها را نیز بسیار کاهش می دهد. در بررسی نمودار خطی تغییرات میانگین در این رده بندی مشخص شده که عیار میانگین بطور نسبی در واحد گرانودیوریت مینرالیزه نسبت به سایر واحدها بالاتر است (شکل ۳-۱۳). این امر با توجه به حضور کانی سازی قابل رویت در این واحد دور از انتظار هم نبود، اما بایستی به این مطلب اشاره کرد که با توجه به شرح زمین شناسی نمونه های پراکنده تنها دو نمونه (یکی در منطقه اسکارن انجیره با کد ZS-۱۰ و دیگری در آبراهه های یال شمالی کوه حرتوسیا با کد ZSA-۴) از این واحد شناسایی و برداشت شده است. لازم به ذکر است که میانگین عیار طلا در رگه های سیلیسی با عیار ۹۰ ppb بالاتر از واحد گرانودیوریت کانی سازی شده با عیار ۱۳۰ ppb قرار گرفته است. این میزان عیار طلا نمی تواند شواهدی از کانی سازی اقتصادی طلا را نشان دهد. همچنین عیار متوسط عنصر سرب نیز بطور نسبی در واحد اسکارنی بالاتر است (۱۹۲ گرم در تن در مقابل ۸۵ گرم در تن). این مقدار عیار نیز نشانی از کانی سازی سرب را در بر ندارد.

اکتشافات مقدماتی طلا و تنگستن غرب

سامن

«اکتشافات ژئوشیمیایی با استفاده

از نمونه های کانی سنگین»



شکل ۱۳-۳ - نمودار خطی میانگین عیار در لیتولوژی های مختلف در نمونه های سنگی

با توجه به گرایش نمونه برداران به نمونه های کانی سازی شده، شواهد کانی سازی مس، روی، آنتیموان، بیسموت و تا حدودی نقره در حد و اندازه شواهد کانی سازی مشخص گردیده است که این عناصر همگی در واحد گرانو دیوریت مینرالیزه و در حد آنومالی مشخص شده اند. اثرات کانی سازی تنگستن به هیچ وجه در این واحد ها دیده نشده است (میانگین این عنصر در واحد اسکارنی با میزان ۴۶ ppm). کاهش چشمگیر میانگین بسیاری از عناصر در نمونه های گرانو دیوریت مسئله دیگری است که بایستی به آن توجه گردد. این امر در بررسی ترانشه ها نیز به اثبات رسیده بود.

در مرحله بعد با کس پلات نمونه های پراکنده مورد ارزیابی قرار می گیرد. مقدار میانه عناصر Sb، Sn، Pb، Zn، Cu، Bi، As، Ag، Au است، اما حداکثر مقدار طلا، مس، تنگستن و بیسموت در رگه های سیلیسی دیده شده است. تعداد اندک نمونه ها در واحد گرانو دیوریت های مینرالیزه (۲ نمونه) بایستی مد نظر باشد. شکل ۱۴-۳ نمودارهای با کس پلات نمونه های سنگی پراکنده را نشان می دهد.

### ۳-۷-۴- رگه های سیلیسی و نقش آنها در تمرکز کانی سازی ها

بر اساس شرح نمونه برداری کارشناسان در حین عملیات نمونه برداری و تهیه نقشه زمین شناسی رگه های سیلیسی متعددی در سطح منطقه شناسایی شده و موقعیت آنها در نقشه مشخص گردیده و بعضی نمونه برداری شده اند. شواهدی از رگه های سیلیسی و سینه کارهای معدنی سیلیس در بخش شرقی منطقه و شواهدی از رگه های سیلیسی در بخش های شمال شرقی و شمالی و مرکزی و شمال قلعه علی مرادخان دیده و ثبت شده است. ۹ نمونه که در شرح آنها به رگه های سیلیسی و پدیده سیلیسی شدن اشاره شده بود انتخاب و مبنای بررسی عیارها در شاخه رگه های سیلیسی قرار گرفت. سه نمونه از این ۹ نمونه در منطقه اسکارن انجیره و بقیه بطور پراکنده از شواهد سیلیسی دیگر در سطح منطقه برداشت شده است.

در نمودارهای خطی که بر اساس عیار ردیف شده طلا ترسیم شده است (شکل ۳-۱۵) همراهی نسبی عیاری و روند نسبتاً مشابه در عناصر مس، روی، سرب و مولیبدن دیده می شود. با توجه به حداکثر مقادیر طلا (ZSA-۲۰ ppb) و حداکثر مقدار تنگستن (۲۰۸ ppm در نمونه ZS-۱۹) در این نمونه ها باز هم نشان چندانی از کانی سازی معنی دار و ارزشمند بدست نیامد. نمونه حاوی بیشترین مقدار طلا در اصل کمترین مقدار تنگستن را نشان داده و همراهی چندانی در مسیر کاهش یا افزایش عیار بین طلا و تنگستن مشاهده نشده است. در نمودار بعد بهترین همراهی را عنصر نقره و پس از آن تا حدودی ارسنیک و جیوه نشان داده است. مقادیر بالای عناصری چون بیسموت،

اکتشافات مقدماتی طلا و تنگستن غرب

سامن

«اکتشافات ژئوشیمیایی با استفاده

از نمونه های کانی سنگین»



مس، ارسنیک، روی، نقره و آنتیموان جالب توجه بوده است.

اکتشافات مقدماتی طلا و تنگستن غرب

سامن

«اکتشافات ژئوشیمیایی با استفاده

از نمونه های کانی سنگین»



شکل ۳-۱۴- نمودارهای باکس پلات نمونه های سنگی پراکنده

اکتشافات مقدماتی طلا و تنگستن غرب

سامن

«اکتشافات ژئوشیمیایی با استفاده

از نمونه های کانی سنگین»



### شکل ۳-۱۵- نمودارهای خطی بر اساس عیار ردیف شده طلا در رگه های سیلیسی

### ۳-۸-۳- جمع‌بندی تمام اطلاعات در محدوده سامن

فراگیرترین داده‌های اکتشافی از نتایج مطالعات نمونه‌های کانی سنگین بدست آمده است، این روش با توجه به توزیع مکانی مناسب و ویژگیهای درخور در راستای اکتشاف کانیهای سنگین بویژه عنصر طلا کاربرد زیادی دارد. اما با توجه به نیمه کمی بودن نتایج آن، تلفیق همزمان آن با نمونه‌های ژئوشیمیایی می‌توانست کارآیی آنرا به مراتب افزایش دهد که متأسفانه در این پژوهه برداشت نمونه‌های ژئوشیمی بنا به موارد منعکس شده در شرح خدمات در اولویت اکتشافی قرار نگرفته بود. در نقشه نمونه‌برداری (شکل ۱-۳) مشخص شده که علاوه بر برداشت ۱۰۰ نمونه کانی سنگین تعدادی نمونه سنگی عمده‌تاً مینرالیزه (۲۷ عدد) و تعدادی نمونه برای تهیه مقطع صیقلی (نمونه ۹) نیز برداشت شده است. در این بخش سعی شده اطلاعات حاصله از نمونه‌های سنگی (مقاطع صیقلی و نمونه‌های مینرالیزه) با اطلاعات کانیهای سنگین مقایسه شده و علل انطباق با عدم انطباق نتایج را پی‌جویی نمائیم.

بدیهی است که بررسی مذکور در مناطقی انجام می‌شود که مجموعه این اطلاعات را در برداشته باشد. به عبارت دیگر در مناطقی که علاوه بر اطلاعات کانیهای سنگین، اطلاعات ارزشمند دیگری نیز از محیط سنگی (نمونه‌های مینرالیزه و نمونه‌های صیقلی) در دسترس باشد این بررسی و مقایسه جنبه عملی بخود می‌گیرد. در شش منطقه از سطح محدوده سامن شرایط مذکور تا حدودی مهیا بوده که در زیر به شرح آنها پرداخته خواهد شد. محدوده این مناطق در شکل ۳-۱۶ مشخص شده است. قابل ذکر است که مقادیر فلزات پایه به شدت در این مناطق متغیر نشان داده‌اند. هرچند مقادیر این فلزات (Base metals) نقش چندانی در راهنمای اکتشافی و مشخصه‌های ژنتیکی در برندارد (Blevin ۲۰۰۵).

### ۳-۸-۳- منطقه اول: شمالغرب کوه حرتوسیا

در این منطقه در آبراهه نمونه ZSH-۶۶ ۷ ذره طلا دیده شده است. در ادامه این آبراهه بسمت شمال در آبراهه ZSH-۷۰ ۲ ذره، و در فرو دست آن در ZSH-۸۵ یک ذره طلا دیده شده است. در بررسی و کنترل این منطقه در فرا دست نمونه ZSH-۶۶ که از واحدهای هورنفلسی و گرانودیوریتی سرچشمۀ گرفته تعداد ۴ نمونه سنگی جهت آنالیز ICP برداشت گردیده است. طلا در این چهار نمونه از حداقل ۰,۵ ppm تا حداکثر ۱۱۸ ppm و تنگستن از حداقل ۱۰<sup>۳</sup> ppm تا حداکثر ۱۸۹ ppm عیارسنگی شده است که نشانی از کانی‌سازی اقتصادی را در برندارد. بر عکس، شواهد ناهنجاری عناصر مس، نقره و تا حدودی ارسنیک، بیسموت و آنتیموان یافت شده است. در جدول ۳-

۵ محدوده های عیاری عناصر مهم (طلا، تنگستن، سرب، روی و مس و مولیبدن) در محیط های سنگی و محیط نمونه برداری کانی های سنگین و نمونه های مقاطع صیقلی (در صورت برداشت و تهیه) در این منطقه بررسی گردیده است. در این محدوده نمونه ای برای تهیه مقطع صیقلی برداشت نشده است.

### جدول ۳-۵- دامنه تغییرات کانی ها / عناصر در آنالیز ICP و مطالعه کانی سنگین در محدوده شماره ۱

Media Element/Mineral	H.M.C	Rock Samples- ICP (Partly Mineralized)	Comments
Au/Gold	۰,۰۱-۰,۰۱ ppm (۱-۷ gold grains)	۰,۵-۱۱۸ ppb	H.M.C.Rank: ۱ Rock sample Rank: v
W/Scheelite	۶,۶-۱۶,۲ ppm	۱۰۳-۱۸۹ ppm	H.M.C.Rank: ۹ Rock Sample Rank: ۶
Pb, Zn	Pb	۰,۰-۰,۰۲ ppm	
	Zn	۰,۰-۰,۰۲ ppm	
Cu, Mo	Cu	۰,۰-۰,۰۱ ppm	
	Mo	۰,۰-۰,۰۱ ppm	
No. of samples	۳	۴	

عدم تشخیص مناسب کانی های مس، سرب و روی در نمونه های کانی های سنگین می تواند ناشی از دلایل زیر باشد:

الف: عدم تغذیه مناسب حوضه با توجه به رخنمون اندک کانی سازی.

ب: فاصله زیاد نمونه های کانی سنگین تا منشاء.

ج: آماده سازی نامناسب کانی های سنگین در حین لاوک شویی (لاوک بزرگ و کوچک).

### ۳-۸-۲- منطقه دوم: شمال شرق کوه حرتوسیا

در این منطقه در آبراهه نمونه ZSH-۲۴ سه ذره طلا و حدود ۱۴,۴ ppm شلیت در نمونه های کانی های سنگین دیده شده است. در ادامه این آبراهه بسمت شمال نمونه ZSH-۲۲ نیز برداشت شده که هر چند ذره طلا در آن دیده نشده اما مقدار ۹,۶ ppm شلیت، این نمونه را در رده دوم اهمیت از لحاظ تنگستن قرار می دهد.

در فرادست این نمونه ها دو نمونه سنگی (ZSA-۱۰ و ZSA-۹) برداشت و برای آنالیز ICP ارسال گردیده است. مقایسه نتایج آن در جدول ۳-۶ ارائه شده است.

اکتشافات مقدماتی طلا و تنگستن غرب

سامن

«اکتشافات ژئوشیمیایی با استفاده  
از نمونه های کانی سنگین»



شکل ۱۶-۳- موقعیت محدوده های شش منطقه حاوی بیشترین داده اکتشافی از سطح محدوده سامن

### جدول ۳-۶- دامنه تغییرات کانی ها / عناصر در آنالیز ICP و مطالعه کانی سنگین در محدوده شماره ۲

Media Element/Mineral	H.M.C	Rock Samples- ICP (Partly Mineralized)	Comments
Au/Gold	٠,٠١ - ٠,٠١ ppm (٠ - ٣ gold grains)	٠,٥ - ٨٢ ppb	H.M.C.Rank: ٥ Rock sample Rank: ١١
W/Scheelite	٩,٦ - ١٤,٤ ppm	٠,٣ - ٩,٦ ppm	H.M.C.Rank: ١٠ Rock Sample Rank: ٦
Pb,Zn	Pb	٠,٠ - ٠,٠١ ppm	٤,٩ - ٢٩,٦ ppm
	Zn		٨٥,٨ - ١٨١ ppm
Cu,Mo	Cu	٠,٠ - ٠,٠١ ppm	٣٢,٧ - ٦٥٠٠ ppm
	Mo		٠,٣ - ٢ ppm
No. of samples	٢	٢	

### ۳-۸-۳- منطقه سوم: شمالشرق قلعه علیمراد خان جنوب چشمه نظر

در این منطقه در دو آبراهه که با روند شرقی- غربی در واحدهای گرانودیوریتی و شیست گسترده شده‌اند ۴ نمونه کانی سنگین برداشت شده است. در پی آن دو نمونه سنگی (ZSA-۲۰) و (ZSA-۲۱) از فرادست آبراهه ZSH-۱۴ برداشت شده است. در دو نمونه از نمونه‌های کانی سنگین (ZSH-۱۴، ۱۵) هر کدام دو ذره طلا مشاهده شده و شیلیت در این نمونه‌ها از حد بسیار اندک ۰,۰۱ تا ۰,۰۶ گرم در تن ثبت شده است.

مقادیر اندکی از کانیهای سرب و روی (در حد pts) در این نمونه یافت شده و اثراتی از کانیهای مس نیز ثبت نشده است. بیشترین مقدار طلایی که در نمونه‌های سنگی یافت شده به میزان ۵۴۶ ppb در نمونه ZSA-۲۰ ثبت شده که از فرادست نمونه‌های کانی سنگین و از برو نزد رگه‌های سیلیسی برداشت شده است. در این نمونه حدود ۱,۴٪ مس، ۹۶۷ ppm آنتیموان، حدود ۱۰ ppm نقره و ۸۶۰ گرم در تن ارسنیک نیز عیار سنجی شده است. اما میزان تنگستن آن کمتر از ۱ ppm گزارش شده است.

از این رگه یک نمونه مقطع صیقلی نیز تهیه شده که در آن حدود ۵۰٪ حجمی کالکوپیریت مشاهده شده و همراه با آن، پیریت و هیدروکسید آهن و کوولین نیز دیده شده است. جدول ۳-۷ ویژگیهای این منطقه را نشان می‌دهد. انطباق نتایج کانی سنگین و نمونه‌های مینرالیزه در ثبت طلا، سرب و روی و عدم وجود تنگستن (یا شواهد بسیار ضعیف از آن) قابل توجه است. اما عدم یافتن کانیهایی از

مس در نمونه های کانی سنگین به احتمال زیاد می تواند ناشی از آماده سازی نمونه ها باشد.

### جدول ۳-۷- دامنه تغییرات کانی ها / عناصر در آنالیز ICP و مطالعه کانی سنگین در محدوده شماره ۳

Media Element /Mineral	H.M.C	Rock Samples- ICP (Partly Mineralized)	Polish Section	Comments
Au/Gold	.,.,.,.,. ppm (., - ₂ gold grains)	₅₄₆ ppb	-	H.M.C.Rank: ₇₈ Rock sample Rank: ₁
W/Scheelite	.,.,.,.,. ppm	.,₁ ppm	-	-
Pb, Zn	Pb Zn	.,.,.,.,. ppm	₁₆,₅ ppm ₁₉,₃ ppm	-
Cu, Mo	Cu Mo	-	₁₄₃₀₀ ppm ₃,₁ ppm	Chp(₅₀%) Py-Cov
No. of samples	₄	₁	₁	-

Chp= Chalcopyrite, Py =Pyrite, Cov =Covellite

### ۳-۸-۴- منطقه چهارم: شرق قلعه علیمراد خان- جنوب محدوده مورد مطالعه

این منطقه وسیعترین منطقه ای است که با این هدف مورد بررسی قرار می گیرد. در این منطقه چهار نمونه کانی سنگین و در پی آن ۵ نمونه سنگی برای آنالیز ICP و همچنین سه نمونه برای مقطع صیقلی برداشت شده است.

بخش عمده ای از منطقه را شیست، آهک و متاسنیدستون می پوشاند، در جنوب آن نیز برونزدهای فیلیت، اسلیت و شیست مشاهده شده است. در دو نمونه از نمونه های کانی سنگین هر کدام یک ذره طلا یافت شده و اثرات ضعیفی از شلیت (در سه نمونه در حد PtS نیز مشاهده شده است).

نمونه های سنگی این منطقه نشانی از طلا و تنگستن در برنداشته و کانی سازی دیگری را نیز معرفی نکرده اند. در نمونه های مقطع صیقلی نیز عمدتاً شواهدی از هیدروکسیدهای آهن، منیتیت و اکسید منگنز یافت شده و در یکی از آنها پیریت نیز مشاهده شده است. جدول ۳-۸-۳ ویژگی های این نمونه ها را نشان می دهد.

### جدول ۳-۸-۳- دامنه تغییرات عناصر/کانی ها در آنالیز ICP و مطالعه کانی سنگین در محدوده شماره ۴

Media Element /Mineral	H.M.C	Rock Samples- ICP (Partly Mineralized)	Comments
Au/Gold	.,.,., ppm (1 gold grain)	.5-8 ppb	H.M.C.Rank: ۱۳
W/Scheelite	.,.1 - .,.1 ppm	.1-1 ppm	-
Pb, Zn	Pb ----- Zn	.,.1 - .,.2 ppm	3,2-96,8 ppm 9,7-896 ppm
Cu, Mo	Cu ----- Mo	.,. - .,.1 ppm	12,4-285 ppm .,8-7,5 ppm
No. of samples	4	0	-

### ۳-۸-۵- منطقه پنجم: اسکارن انجیره

در منطقه اسکارن انجیره عمده‌ترین فعالیت اکتشافی، حفر ترانشه‌ها و نمونه‌برداری از آنها بوده که در مبحث مریبوطه به تفصیل به آن پرداخته شد. هدف عمده در این مرحله، بررسی نمونه (نمونه‌های) کانی سنگین و نمونه‌های سنگی است.

از سرشاخه‌هایی که بطور مستقیم از اسکارن‌ها گذر کرده‌اند نمونه کانی سنگین ZRT-۹۳ برداشت شده است. سرشاخه‌هایی که از شمال، اسکارن‌ها را قطع می‌کنند به آبراهه بزرگی می‌پیوندند که در خروجی آن (که فاصله نسبتاً زیادی را هم با بروزند اسکارن‌ها دارد) یک نمونه کانی سنگی (ZSA-۷۹) برداشت شده است. نمونه‌های سنگی به تعداد ۵ عدد با آنالیز ICP و نمونه‌های مقطع صیقلی به تعداد ۴ عدد، مجموعه اطلاعات دیگری هستند که در این منطقه جمع‌آوری شده‌اند.

نمونه کانی سنگین ZRT-۹۳ تنها حاوی مقادیر اندکی در حد (PtS) از مالاکیت، کرونودوم و پیرولوزیت و شلیت و مقادیر نسبتاً جالب توجهی از پیریت اکسید است و نمونه کانی سنگین ZSA-۷۹، شواهد اندکی را از شلیت (0,18 ppm) نشان داده ولی اثری از طلا و سایر کانیهای ارزشمند در آن یافت نشده است. در نمونه‌های میزالیزه (5 نمونه) طلا در حد ۱۱۴ ppb و تنگستن نیز از حداقل ۲,7 ppm تا حد اکثر ۲۰,8 ppm عیارسنگی شده است که فاصله زیادی را تاحد عیارهای اقتصادی نشان می‌دهند، اما مقادیر عناصر دیگر منجمله As, Ag, Zn, Cu, Bi در حد قابل توجهی گزارش شده‌اند.

در نمونه های مقاطع صیقلی (۴ نمونه) شواهد کانی سازی مس، هیدرو اکسیدهای آهن، پیریت و در مقادیر مختلف ثبت شده است. جدول ۹-۳ مشخصه نمونه های این منطقه را نشان میدهد.

جدول ۹-۳- دامنه تغییرات کانی ها / عناصر در آنالیز ICP و مطالعه کانی سنگین در محدوده شماره ۵

Media Element /Mineral	H.M.C	Rock Samples- ICP (Partly Mineralized)	Polish Section	Comments
Au/Gold	-	۲۶-۱۴۴ ppb	-	Rock Sample Rank: ۴
W/Scheelite	۰,۰۱-۰,۱۸ ppm	۲,۷-۲۰۸ ppm	-	-
Pb, Zn	Pb	۴۷,۹-۶۷۹ ppm	-	Pb Rock Sample Rank:۱
	Zn	۶۱۸-۹۵۹ ppm		Zn Rock Sample Rank:۱
Cu, Mo	Cu	۳۴۳۰-۱۳۴۰۰ ppm	Chp-Bo-Cov	Cu Rock Sample Rank:۴
	Mo	۰,۰۱ ppm	۱,۳-۱۵,۶ ppm	Mo Rock Sample Rank:۷
No. of samples	۲	۵	۴	-

Chp= Chalcopyrite, Bo =Bornite, Cov =Covellite

عيار بسیار بالای عناصر سرب، روی و مس در نمونه های مینرالیزه این منطقه، ویژگی اسکارن انجیره را بیان می کند، اما بر اساس این اطلاعات این اسکارن طلدار نبوده و مقادیر تنگستن آن نیز در حد کانساری غنی شدگی نشان نداده است.

### ۳-۸-۶- منطقه ششم: منطقه شمال سراب سامن- شمالشرق محدوده مورد مطالعه

این منطقه جزء مناطق گسترش یافته جهت تهیه نقشه زمین شناسی منظور شده و تعریفی برای برداشت نمونه های کانی سنگین در آن صورت نگرفته است، بنابراین از این منطقه اطلاعاتی از نمونه های کانی سنگین در دسترس نیست.

در بررسی و پیمایش کارشناسان در این منطقه سه نمونه مینرالیزه جهت آنالیز ICP (ZS-۲۰ و ZS-۲۱ و ZS-۲۲) برداشت شده است. نمونه اول از یک اسکارن و نمونه های دوم و سوم از رگه های سیلیسی برداشت شده است. آنچه که باعث انتخاب این محدوده گردید مقدار نسبتاً بالای طلا در نمونه ZS-۲۱ (در مقایسه با سایر نمونه های سنگی) بوده که عیار آن در نمونه های سنگی در ردیف دوم قرار گرفته است. در همین نمونه ۷,۹۸٪ مس نیز عیار سنگی شده است که بیشترین مقدار مس در نمونه های سنگی است، نقره در این رگه سیلیسی نسبتاً قابل توجه بوده است (۸,۶۶ppm) اما اثری از تنگستن در نمونه های مذکور دیده نشده است.

### ۳-۹- تعیین محدوده های مستعد (اولویت بندی) کانه زایی بر پایه معیارهای ژئوشیمیایی

با جمع بندی کلیه اطلاعات اعم از نتایج کانی های سنگین، نمونه های ترانشه ها، نمونه های پراکنده و تاثیر لیتولوژی بر تمرکز کانی سازی، مناطق مستعد در محدوده پروژه بشرح زیر معرفی می شوند.

(شکل ۳-۱۷)

#### ۱) منطقه مرکز- شمال

این منطقه که عمدتاً همپوشانی های محدوده های ناهنجار کانی سنگین طلا ( بصورت خط ممتد ) و شیلت بصورت خط چین را در بر گرفته وسعتی در حدود ۱۴/۵ کیلومتر مربع را در بردارد. بخش مرکزی آن عمدتاً توسط هر دو کانی ارزشمند و بخش هایی از شرق، غرب و جنوب تنها توسط یکی از این دو کانی معرفی شده است.

در این منطقه طلا در ۱۲ نمونه (از ۲ ذره تا ۷ ذره) و شیلت در ۱۶ نمونه در مقادیر (۱-۱۵۳ppm) یافت شده است. از سایر کانی های سنگین می توان کانی های گروه مس، سرب، روی و همچنین بیشترین مقادیر هماتیت، پیرولوزیت، باریت و زیرکن و مقادیر قابل توجهی از گارنت و مگنتیت را نام برد. اورپیمنت، سینابر، کاسیتیریت و پیریت اکسید از سایر کانی های ارزشمندی است که در این منطقه در تعداد اندکی از نمونه ها مشاهده شده اند.

بخشی از نمونه های مینرالیزه (۱۲ نمونه) در این منطقه برداشت شده که از میان آنها می توان به عیارهای ۱,۶۷٪ مس، ۱۲٪ روی، ۰,۱۰ ppm ارسنیک، ۱۱۵,۰ ppm آنتیموان، ۲۲۷ ppm بیسموت، ۵۳ ppm نقره و ۱۱۸ ppb طلا اشاره کرد.

یک نمونه مقطع صیقلی در این منطقه (ZS-۱۳) حدود ۲٪ کالکوپیریت را در مقطع نشان داده

است. بخش عمده ای از لیتولوژی این منطقه را هورنفلس ها پوشانده اند. در شمالغرب محدوده هایی از شیست و در جنوب رخنمونهایی از توده گرانیتی، گرانودیوریتی، مرمر و متاسندرستون مشاهده شده است.

## II) منطقه شمالشرق قلعه علیمراد خان

این محدوده بطور کامل در توده نفوذی واقع شده و سه کانی سنگین که هر کدام از آنها حاوی دو ذره طلا بوده اند عامل اصلی انتخاب این منطقه بوده است. علاوه بر آن یک نمونه مینرالیزه (نمونه ZSA-۲۰) با مقدار  $Sb=967\text{ppm}$ ,  $Cu=1,4\%$ ,  $As=869\text{ppm}$ ,  $Au=546\text{ppb}$  و یک نمونه مینرالیزه که برای مقطع صیقلی انتخاب شده (نمونه ZSA-۲۱) با مقدار ۵۰٪ کالکوپیریت در مقطع و مقادیری از پیریت، کوولین و اکسیدهای آهن از جمله عوامل دیگر در انتخاب این منطقه بوده اند. مساحت تقریبی این منطقه  $1/9$  کیلومتر مربع است. دو برونزد کوچک از اسکارن در شرق منطقه مشخص شده اند.

## III) اسکارن انجیره

شرح کامل تراشه های حفر شده در منطقه اسکارن انجیره در سر فصل ۱-۷-۳ آمده، همچنین این منطقه بعنوان یکی از مناطق حاوی مجموعه ای از اطلاعات در سر فصل ۳-۸-۶ نیز معرفی شده است. در اینجا محدوده اسکارن انجیره با توجه به وجود دو نمونه طلدار با گسترش به سمت شمالغرب و جنوب شرق انتخاب شده است. نمونه های مینرالیزه برداشت شده از این منطقه (۵ نمونه) مقادیری از طلا (حداکثر  $144\text{ppb}$ ), نقیره (حداکثر  $53\text{ppm}$ ), ارسنیک (حداکثر  $635\text{ppm}$ ), بیسموت (حداکثر  $2130\text{ppm}$ ), تنگستن (حداکثر  $208\text{ppm}$ ), مس (حداکثر  $1,34\%$ ) و ... را نشان داده اند. در این محدوده چهار مقطع صیقلی نیز تهیه و مطالعه شده که در آنها کالکوپیریت تا حداکثر ۲٪ به همراه مقادیر کمتری از بورنیت و کوولین همراه با پیریت، مالاکیت و مگنتیت مشاهده شده است. نمونه های کانی سنگین در این منطقه شواهد جالبی از شیلت را نشان نداده اند. سطح این منطقه برابر با  $1/8$  کیلومتر مربع است که در مرکز از اسکارن و در شمالغرب از واحد های نفوذی گرانیتی گرانودیوریتی و در جنوب شرق از شیست تشکیل شده است.

اکتشافات مقدماتی طلا و تنگستن غرب

سامن

«اکتشافات ژئوشیمیایی با استفاده  
از نمونه های کانی سنگین»



### شکل ۱۷-۳ - مناطق مستعد کانی‌زایی در محدوده پروژه

#### IV) منطقه شرق علیرا درخان

لیتولوژی این محدوده را عمدتا مرمر<sup>L</sup> (TR<sup>L</sup>) در بخش غربی و شیست در بخش شرقی تشکیل داده است، در این منطقه ۴ نمونه کانی سنگین برداشت شده که در دونمونه در هر کدام یک ذره طلا یافت شده است. حداکثر مقدار پیریت لیمونیت در یکی از این دو نمونه یافت شده است. اثراتی از کاسیتریت، کرندوم و پیریت اکسید نیز در نمونه ها یافت شده است. بیشترین مقدار سینابر نیز در این منطقه مشاهده و ثبت شده است. وسعت این محدوده در حدود ۲/۵ کیلومتر مربع می باشد.

در این منطقه ۵ نمونه سنگی جهت آنالیز ICP و سه نمونه جهت تهیه مقطع صیقلی نیز برداشت شده است اما در آنهانشانی از کانی سازی طلا و تنگستن مشاهده نشده است.

#### V) منطقه شمال سراب سامن

حوضه انتخابی در این منطقه بصورت کامل در توده نفوذی سراب سامن دارد. هر چند اطلاعاتی از محیط کانیهای سنگین آن بعلت عدم نمونه برداری در دست نیست اما سه نمونه مینرالیزه برداشت شده از اسکارن ها و رگه های سیلیسی شواهد امیدوار کننده ای را نشان داده اند. مقدار مس (۷,۹۸٪) و طلا (۸,۶۶ ppm) ZS-۲۱ و میزان نسبتا جالب توجه نقره (۵۲۳ ppb) باعث گزینش این منطقه شده است.

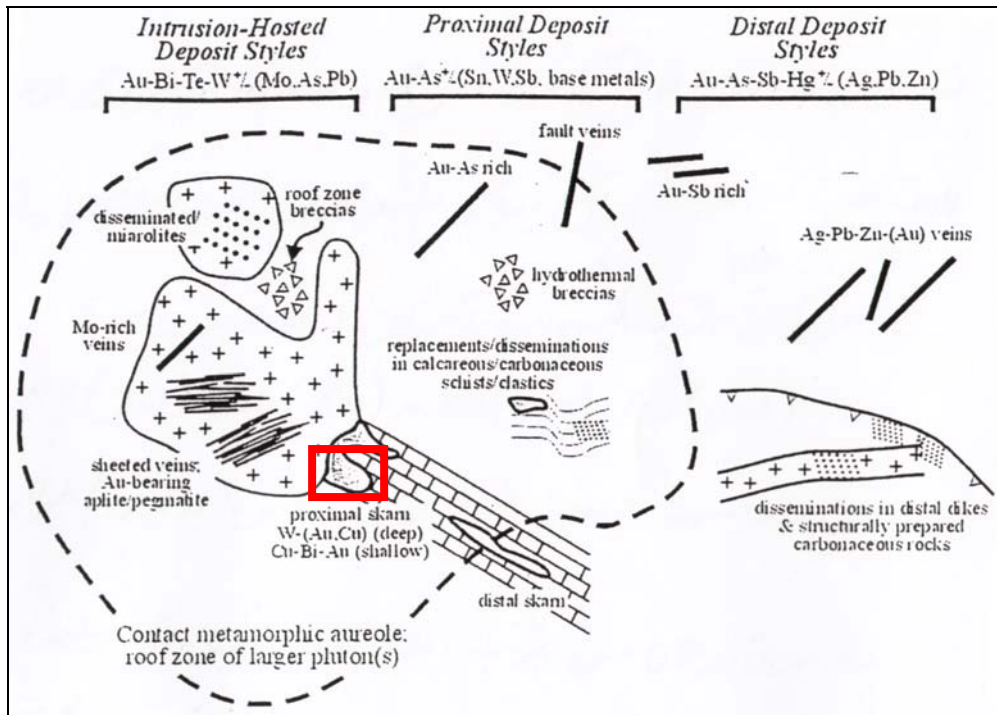
### ۳-۱۰-۳- مدل ژئوشیمیایی کانی سازی طلا در منطقه

بحث و بررسی نهشته های طلای وابسته به گرانیت ها (Granite-related gold deposit) که در ایالت های فلز زائی قلع و تنگستن قرار دارند در دهه اخیر در مرکز مباحث صاحب نظران قرار گرفته است. مقایسه فیما بین این نهشته ها و ذخایر طلای مرتبط با کوه هزایی (Orogenic Au deposit) بویژه در چگونگی تفریق آنها بخش عمده ای از این مباحث را شامل شده است (T. Baker et al. ۲۰۰۵). اطلاعاتی که منجر به شناخت بیشتر و تعیین خاستگاه و ژئو این نهشته ها و نهایتاً تعریف مدل ژئوشیمیایی آنها بر اساس الگوهای شناخته شده در سرتاسر دنیا شده شامل موارد زیر می باشد.

- سن توده های نفوذی و فعالیتهای هیدروترمالی
- شناخت عمق جایگیری و گسترش جانبی کانی سازی در ارتباط با توده نفوذی با استفاده از روابط عناصر در محاسبات آماری.
- تکیه بر مطالعات ایزو توپی، عناصر Trace و آنالیز های چند عنصری برای مدل سازی متالوژنی
- بررسیهای ساختاری (Structural) ناحیه ای در راستای شناخت نحوه جایگیری توده ها و رگه های معدنی.
- مدل زمین شناسی و اکتشافی نهشته های مرتبط با توده نفوذی در شکل ۳-۱۸ و بر اساس مطالعات زیادی به انجام رسیده است. (Mc Coy et al. ۱۹۹۷, Thompson et al. ۱۹۹۹, Hart et al. ۲۰۰۰, Lang et al ۲۰۰۰, Newberry ۲۰۰۰)
- ویژگی اصلی این مدل تغییرات عمیقی و جانبی محیط کانی سازی است که متأثر از نوع نهشته، مجموعه فلزی موجود در هر نهشته و ترکیب سیالات هیدروترمال می باشد (Long JR., Baker T ۲۰۰۱).

اساس پروره اکتشافی اخیر بر مبنای اکتشافات ژئوشیمیایی با تکیه بر برداشت و مطالعه کانیهای سنگین نهاده شده و برداشت نمونه های مینرالیزه که بطور پراکنده انجام شده در اصل بعنوان فاز فرعی پروره شناخته شده است. در حین بررسیها و مطالعات در فصل سوم مجموعه تمام داده ها بکار گرفته شد تا بتوان به نتایجی همچون معرفی مناطق امید بخش رسید. اما مشخص است که از نتایج کانیهای سنگین در زمینه تخمين مدل ژئوشیمیایی نمی توان سود برد و بنابراین از نمونه های مینرالیزه و پراکنده ای که در منطقه برداشت شده برای این منظور (شناخت نسبی در مورد مدل ژئوشیمیایی کانی سازی) استفاده شده است.

برای اینکه موقعیت کانی سازی های مشخص شده در منطقه سامن بر اساس شکل ۱۸-۳ تعریف شود ابتدا لازم است به مسئله همراهی عناصر ارزشمند در نمونه های مینرالیزه پرداخته شود.



شکل ۱۸-۳ مدل شماتیک اکتشافی و زمین شناسی برای نهشته های طلا وابسته به توده های نفوذی

### ۱۰-۱-۱- همراهی عناصر ارزشمند در نمونه های مینرالیزه

همانگونه که ذکر شد مجموعه عناصر فلزی ارزشمند در هر نهشته یکی از ویژگیهای حیاتی در شناخت مدل تغیرات عمقی و جانبی کانی سازی است. لذا برای نتیجه گیری بهتر از همراهی عناصر ارزشمند در نمونه های سنگی جدول ۱۰-۳ تهیه شده است. در این جدول که نتایج آنالیز بخشی از نمونه های سنگی آورده شده است نتایج بر مبنای عنصر طلا ردیف (Sort Descending) شده است. تعداد ۱۰ نمونه از ردیفهای بالا با رنگ قرمز مشخص شده و بیشترین مقدار هر عنصر بصورت ضخیم (Bold) نمایش داده شده است. از این جدول نتایج زیر قابل ارائه خواهد بود. (عدد درون پرانتز تعداد نمونه ها در ردیف ۱۰ تایی و حرف M مشخصه میزان ماکریزم آن عنصر است).

جدول ۳-۱۰- نتایج آنالیز نمونه های مینرالیزه (ردیف شده بر حسب مقادیر طلا<sup>(\*)</sup>)

Row	SampleID	Lithology	Au(ppb)	Hg	Ag	As	Bi	Cu	Mo	Pb	Sb	Zn	Sn	W
۱	ZSA-۲۰	Silica Vein	۵۶	۰,۲	۹,۹۴	۸۷۹	۰,۸	۱۴۳۰	۳,۱	۱۶,۵	۹۷۷	۱۹,۳	۰,۲	۰,۱
۲	ZS-۲۱	Silica Vein	۵۲۳	۰,۰۳	۸,۶۶	۷۸۰	۱۸۸	۷۹۸۰	۳۶,۶	۴۱۶	۶۱,۳	۱۷۴	۱۰,۹	۲۰,۳
۳	ZT۴S-۹	SK-Tr	۱۶۹	۱,۰۸	۶,۶۳	۹۶,۶	۱۲۸	۲۶۲۰	۰,۲	۷۹	۴,۳	۲۶۰	۸,۰	۱۷۷
۴	ZS-۶	SK	۱۴۴	۰,۶۶	۵۲,۹	۶۳۵	۱۱۴	۱۲۳۰	۱,۹	۷۷۹	۲۸۴	۷۳۸۰	۳,۷	۷,۹
۵	ZT۲S-۸	SK-Tr	۱۲۴	۰,۲۷	۶,۰۹	۱۰۹	۳۹,۸	۱۴۰۰	۳,۱	۲۳۴	۷,۲	۶۸۲۰	۲۱,۴	۲۱,۲
۶	ZSA-۵	SK	۱۱۸	۱,۳۴	۵۳,۱	۲۷,۵	۱۲۴	۱۰۰۰	۱۹,۰	۱۷,۰	۹,۳	۵۰,۳	۳,۲	۱۸۹
۷	ZT۱S-۷	SK-Tr	۱۱۰	۲,۰۶	۱۱,۶	۱۰۳	۴۷۲	۳۰۳۰	۹,۳	۲۱۰	۳۶۸	۹۸۰	۷	۲۹۳
۸	ZSA-۴	Min.Gd	۱۰۱	۰,۲۷	۶۹,۱	۱۱۰	۲۲۷	۱۶۷۰	۲۱,۹	۱۲۲	۲۱۰	۱۲۰	۲,۹	۲,۱
۹	ZT۴S-۱۰	SK-Tr	۹۹	۳,۶۳	۱۳,۰	۵۳,۹	۱۲۴	۲۱۶۰	۱۶,۶	۷۶,۴	۱۶,۸	۴۸۲	۶,۴	۳۹۹
۱۰	ZS-۱۰	Min.Gd	۷۹	۰,۱۹	۲۲,۳	۱۹۰	۱۱۱	۹۴۲۰	۱,۳	۴۷,۹	۳۶۸	۹۰۹۰	۶,۳	۳۶,۸
۱۱	ZT۲S-۶	SK-Tr	۶۴	۱,۰۱	۴,۶۷	۲۳۰	۵۶,۳	۱۱۱۰	۷,۱	۳۶,۶	۱۰	۶۰۸	۱۹,۲	۷۸,۴
۱۲	ZT۲S-۱۲	SK-Tr	۵۲	۰,۱۰	۰,۹۷	۱۸,۴	۴۷,۱	۶۹۴	۱,۰	۶۷,۶	۱۶,۰	۴۸۲	۱,۱	۴,۹
۱۳	ZT۲S-۶	SK-Tr	۴۶	۰,۶۱	۶,۰۵	۸۰,۸	۰۳۴	۲۲۱۰	۲,۲	۱۱۶	۰,۶	۹۹,۱	۰,۱	۴۴,۰
۱۴	ZT۲S-۷	SK-Tr	۴۴	۱,۲	۵,۹۳	۲۲۰	۸۹,۹	۷۳۴۰	۴,۷	۲۱۶	۸,۱	۴۷۰	۱۲,۱	۱۰,۴
۱۵	ZS-۱۴	SK	۴۳	۰,۰۲	۹,۷۰	۳۶,۶	۳,۰	۹۰۱۰	۱,۰	۱۰	۰,۹	۴۱۳	۱۰,۳	۲
۱۶	ZS-۱۹	Silica Vein	۳۷	۱,۰۹	۹,۷۷	۴۰,۲	۲۰۷	۳۴۳۰	۱۰,۶	۸۴,۱	۰,۶	۱۶۰	۶,۰	۲۰,۸
۱۷	ZS-۱۸	Silica Vein	۲۶	۰,۴۳	۱,۲۴	۲۹۴	۲۹,۹	۱۳۴۰	۶,۱	۳۸,۷	۸,۴	۳۴۰	۱۲	۶۱,۹
۱۸	ZS-۱۱	Silica Vein	۲۶	۰,۱۸	۱۰	۱۲,۹	۲۱۳۰	۳۰۶۰	۶,۲	۳۰۳	۱۶,۱	۶۱۸	۲,۰	۲,۷
۱۹	ZT۴S-۸	SK-Tr	۱۹	۲,۲۹	۳,۱۷	۶۶,۷	۳۳۷	۱۲۲۰	۱۳	۱۴۴	۱۱,۱	۴۷۰	۶	۲۲۴
۲۰	ZT۲S-۵	SK-Tr	۱۹	۰,۳۹	۱,۷۷	۲۰۷	۹۳,۲	۲۷۱۰	۲,۳	۲۱۶	۱۲,۱	۳۴۱۰	۸,۱	۳۰,۰
۲۱	ZSA-۶	SK	۱۷	۰,۲۴	۰,۷۳	۵۷,۶	۱۶,۹	۲۰۴۰	۲,۸	۲۳۴	۹,۱	۳۰۰	۰,۹	۱۷,۴
۲۲	ZT۴S-۵	SK-Tr	۱۶	۱,۴	۲,۸۲	۷,۴	۰,۵	۲۱۳۰	۳۷۸	۲۰,۴	۱۷,۶	۲۰۰	۶,۲	۱۶۳
۲۳	ZT۲S-۵	SK-Tr	۱۳	۰,۶۶	۰,۹۶	۱۲۴	۲۹۰	۱۱۸۰	۴,۰	۲۰۰	۱۳,۰	۱۶۹	۶,۹	۸۳
۲۴	ZT۱S-۳	SK-Tr	۱۳	۰,۱۰	۰,۱۱	۲۳,۶	۲,۰	۳۱,۳	۶,۲	۰,۳	۷,۳	۶۴,۰	۰,۰	۳,۱
۲۵	ZT۴S-۷	SK-Tr	۱۱	۱,۹۳	۲,۶۳	۶۰,۷	۳۶۱	۱۱۱۰	۰,۸	۱۶۴	۱۷,۶	۴۸۳	۶,۷	۱۹۹
۲۶	ZT۲S-۴	SK-Tr	۱۰	۰,۴۴	۷,۳۷	۹۰,۲	۸۲,۹	۳۲۰	۲,۲	۲۸۹	۶,۲	۲۰۰	۱,۴	۷,۹
۲۷	ZS-۲۲	Silica Vein	۷	۰,۱۳	۰,۰۷	۶۳۳	۰,۹	۳۶۹	۰,۲	۸۹,۳	۲۶,۳	۱۸۷	۱,۴	۱
۲۸	ZT۱S-۸	SK-Tr	۶	۱,۳۴	۰,۵۷	۲۸,۸	۱۲,۶	۲۲۴	۱۳,۱	۸,۷	۴,۷	۹۰,۷	۱۱,۶	۱۸۷
۲۹	ZT۱S-۱	SK-Tr	۶	۰,۰۲	۰,۱۴	۱۳,۹	۰,۷	۲۷,۱	۰,۸	۰,۳	۲,۴	۷۷,۹	۰,۴	۱,۷
۳۰	ZT۱S-۶	SK-Tr	۵	۰,۰۲	۰,۷۰	۶۳,۱	۹,۹	۱۷۷	۰,۹	۳۸,۶	۱۰,۳	۷۹۷	۰,۷	۰,۸
۳۱	ZT۱S-۲	SK-Tr	۵	۰,۰۲	۰,۰۵	۸,۶	۰,۲	۱۹,۹	۰,۴	۱۷,۱	۱,۱	۱۴,۶	۰,۳	۰,۷
۳۲	ZT۱S-۵	SK-Tr	۴	۰,۰۲	۰,۳۸	۱۹,۷	۱,۰	۹۰,۶	۳,۱	۲۰,۱	۳,۴	۳۹۷	۰,۵	۲,۶
۳۳	ZT۴S-۶	SK-Tr	۳	۰,۶۶	۰,۲۱	۲۱	۱,۲	۱۱۰	۲,۰	۸,۲	۳,۳	۷۹	۳,۱	۳۹,۴
۳۴	ZT۲S-۴	SK-Tr	۳	۰,۱۰	۰,۴	۶,۷	۱,۱	۸۳	۰,۷	۹۴,۴	۳,۴	۹۰,۶	۰,۷	۱,۷
۳۵	ZT۲S-۳	SK-Tr	۳	۰,۰۲	۰,۱۱	۰,۲۰	۰,۰	۸۶,۹	۰,۰	۹,۴	۱,۴	۶۱,۴	۰,۶	۱
۳۶	ZT۲S-۹	SK-Tr	۲	۰,۶۱	۰,۲۰	۶۷,۰	۱,۸	۷۳۲	۲,۸	۷,۷	۳,۸	۶۰,۶	۱۳,۷	۳۱,۹
۳۷	ZSA-۱۱	Silica Vein	۲	۰,۱	۰,۱	۰,۰	۰,۶	۲۲,۶	۰,۸	۳,۲	۱,۷	۹,۷	۱,۱	۰,۳
۳۸	ZS-۲۰	SK	۱	۰,۲۱	۰,۲۴	۲۹,۶	۱,۳	۱۱۰	۲,۹	۱۲,۶	۷۰,۷	۸۶,۲	۹,۴	۱۲,۹
۳۹	ZSA-۸	Silica Vein	۱	۰,۰۵	۰,۰۷	۲,۰	۰,۲	۲,۹	۱,۱	۰,۲	۰,۷	۲,۶	۰,۳	۰,۷
۴۰	ZSA-۲	Silica Vein	۱	۰,۰۲	۰,۷	۳,۱	۰,۳	۱۱,۱	۱,۱	۱,۹	۳	۳,۷	۰,۴	۰,۵
۴۱	ZT۱S-۴	SK-Tr	۰,۰	۰,۱۸	۰,۰۸	۱۴,۶	۳,۱	۲۳,۸	۳۰,۳	۱۰,۶	۲۱,۶	۱۸۹	۱,۲	۰

اکتشافات مقدماتی طلا و تنگستن غرب

سامن

«اکتشافات ژئوشیمیایی با استفاده  
از غونه های کانی سنگین»



\* Red numbers are upper 10% and bold one is maximum value

Min.Gd: Mineralized Granodiorite

SK: Skarn

SK-Tr: Skarn in Trench

همراهی مقادیر بالای طلا به ترتیب با عناصر مس، نقره، آنتیموان، روی و ارسنیک است.



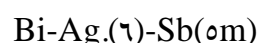
طلا با عناصر بیسموت بطور ضعیف (در ۴ نمونه) و با تنگستن (در ۴ نمونه) همراهی دارد.

همراهی مقادیر بالای مس به ترتیب با عناصر طلا، ارسنیک و نقره مشخص شده است.



میزان مس در نمونه ZS-۲۱ با حدود ۸٪ قابل توجه است. ده نمونه حاوی بیشترین مقادیر مس تقریباً همگی بالای ۱٪ مس دارند.

- همراهی مقادیر بالای بیسموت به ترتیب با مقادیر نقره و آنتیموان ثبت شده است.



- و بالاخره همراهی مقادیر بالای تنگستن با جیوه و مولیبدن مشخص شده است.



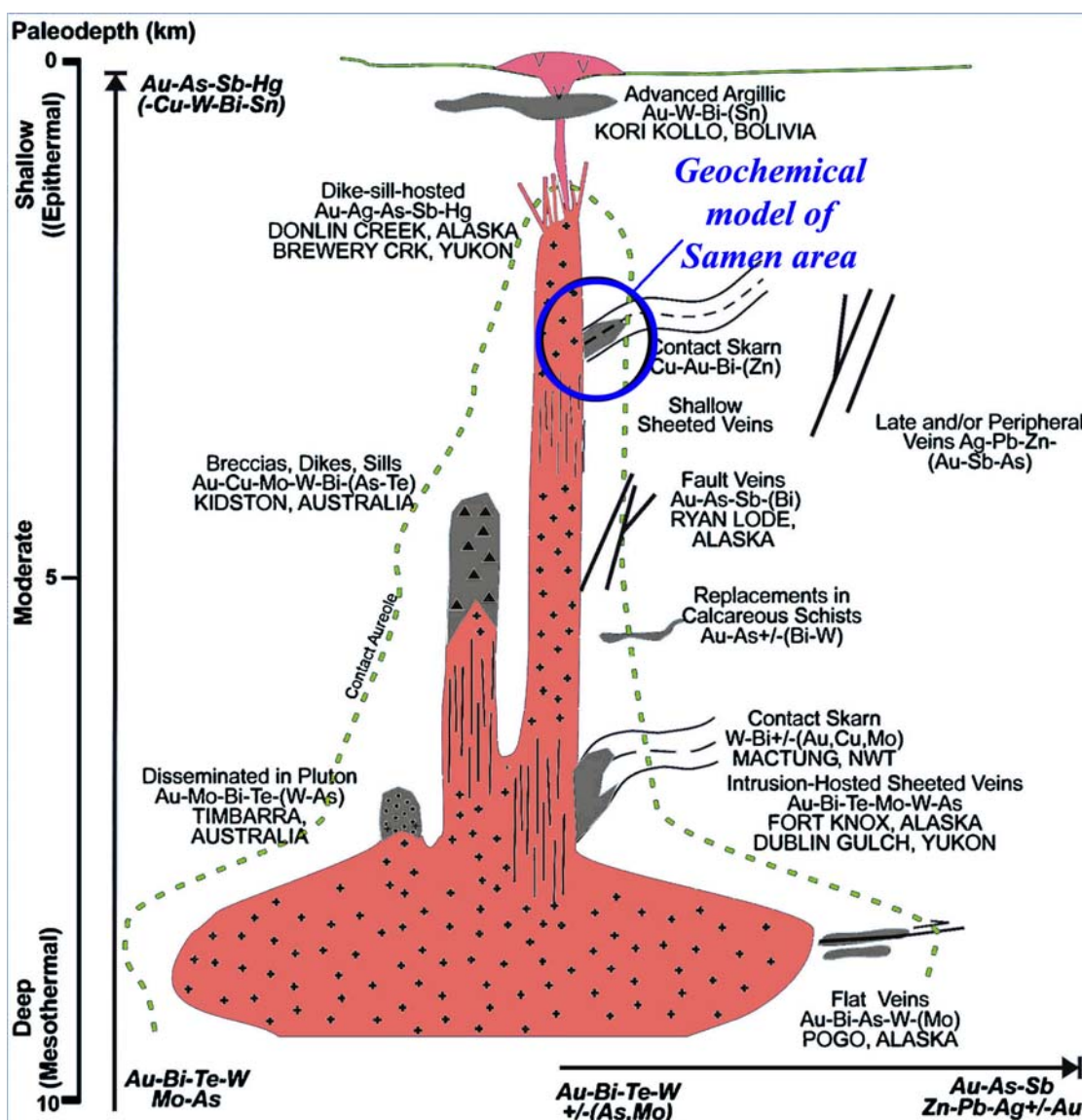
اگر بتوان به نتایج آنالیز جیوه اعتماد کرد، این عنصر بطور کامل با تنگستن همراهی داشته است. همانگونه که مشخص است عیار طلا در نمونه های رگه های سیلیسی (ZSA-۲۰، ZSA-۲۱) تقریباً بیش از ۳ برابر نمونه های ردیف بعد که متعلق به ترانشه اسکارن انجیره می باشد ثبت شده است.

با توجه به نتایج بدست آمده در مباحث قبلی (بویژه سرفصلهای ۷-۳ و ۲-۷-۳ و ۳-۷-۴) محیط اسکارنی و رگه های سیلیسی بعنوان محیط های مناسب کانی سازی شناخته شده و مجموعه اطلاعات جدول ۱۰-۳ نیز همین مسئله را با بر دیگر تائید می کند. حال با توجه به عیار بسیار بالای عناصر مس و روی و عیار نسبتاً بالای طلا و با توجه به اینکه عمدۀ کانی سازی ها در رگه های سیلیسی و محیط اسکارنی بدست آمده و با عنایت به شکل ۱۸-۳ می توان کانی سازی منطقه سامن را از نوع کانی سازی Proximal skarn و در اعمق کم (با مجموعه عناصر Cu-Bi-Au) شناسایی کرد. این نوع نهشته ها در کنタکت توده های نفوذی و یا در فاصله اندکی از آنها و در محدوده هاله دگرگونی (Metamorphic aureole) قرار دارند.

نهشته های رایج این نوع کانی سازی شامل اسکارنهای  $\text{Cu-Bi-Au} \pm \text{W}$ ,  $\text{Cu} \pm \text{Au}$  می باشد که می تواند در برگیرنده مقادیر کم یا زیادی از سولفیدها بصورت جایگزینی (Replacement) در سنگهای آهکی باشد. این نهشته ها می توانند حاوی قلع و برش ها و دیاتریم (Diatreme)-دودکش آتشفسانی) غنی از مس همچنین رگه ها و نهشته های پراکنده (disseminated deposits) و در سنگ میزان متاسدیمنتی باشند (Lang and Baker ۲۰۰۱).

در منطقه مورد مطالعه، کانی سازی تنها در اسکارن‌ها و رگه‌های سیلیس درون آنها (و یا درون توده نفوذی) بصورت Cu-Bi-Au-Zn (Ag, As, Sb) شکل گرفته است. با توجه به گسترش اندک اسکارن‌ها و فرسایش بخش عمداتی از آنها شاید عیار بالای مس بتواند تا حدودی جبران گسترش اندک کانی سازی را بنماید.

شکل ۱۹-۳ می‌تواند همین مدل را در بعد عمقی به نمایش گذارد. در این شکل نحوه توزیع کانسارهای مرتبط با توده نفوذی و کانی سازی‌های احتمالی در هر نوع به نمایش گذارده شده است.



شکل ۱۹-۳ - مدل عمقی و جانبی نهشته‌های مرتبط با توده‌های نفوذی

(Baker ۲۰۰۳, Modified from Lang et al., ۱۹۹۹)

فصل چهارم

عملیات مونتاژی

اکشن!

#### ۴-۱- حجم و نوع عملیات

عملیات اکتشافی که می‌بایست در محدوده اکتشافی غرب سامن انجام پذیرد، براساس شرح خدمات قرارداد این پروژه به شرح زیر می‌باشد.

- تهیه نقشه توپوگرافی زمین‌شناسی - معدنی در مقیاس ۱:۲۰,۰۰۰ با استفاده از عکسهای هوایی و اطلاعات تصاویر ماهواره‌ای و تفکیک و برداشت واحدهای لیتولوژی، زونهای دگرسانی و کانی - سازی شده، ساختار تکتونیکی (زونهای برشی، گسله و شکستگیهای اصلی) و زونهای کنتاكت، نمونه - گیری پراکنده از رخنمونها (۲۰ نمونه برای مطالعات آزمایشگاهی).
- نمونه گیری لیتوژئوشیمیائی به تعداد ۶۰ نمونه از زونهای دگرسانی، کانی‌سازی و رگه - رگچه‌های مینرالیزه، .. و آنالیز نمونه‌ها در آزمایشگاه معتبر، نمونه گیری به صورت لقمه‌ای (Chip Sampling) از رخنمونها و یا در صورت ضرورت با حفاری ترانشه‌های اکتشافی و نمونه گیری به صورت شیاری (Channel Sampling) انجام گیرد. وزن هر نمونه بین ۳ تا ۵ کیلوگرم باشد حفاری ترانشه تا ۱۵۰ متر مکعب پیش‌بینی می‌شود.
- آنالیزهای سنگ‌شناسی، کانی‌شناسی XRD و کانه‌نگاری نمونه‌ها در زیر به نحوه و حجم اجرای شرح خدمات انجام شده اشاره می‌شود:

برای تهیه نقشه زمین‌شناسی - معدنی سامن با مقیاس ۱:۲۰,۰۰۰ ابتدا عکسهای هوایی محدوده اکتشافی تهیه شده و بر روی آن عملیات تهیه نقشه انجام شد. در حین تهیه نقشه ۱:۲۰,۰۰۰ و بازدید از منطقه اکتشافی و همفکری با ناظر ارشد طرح، به نظر رسید که تهیه نقشه زمین‌شناسی از حاشیه شرقی محدوده تعیین شده قبلی، در وسعت ۲۱ کیلومتر مربع و نمونه‌برداری از زون اسکارن در مناطق ایرینه سامن و سراب سامن ضروری است. لذا محدوده تهیه نقشه از ۵۶ کیلومتر مربع به ۷۷ کیلومتر مربع افزایش یافت.

نمونه‌برداری لازم از محدوده نیز شامل نمونه‌های لیتوژئوشیمیائی، نمونه گیری به صورت لقمه‌ای و شیاری (در ترانشه‌ها) در نظر گرفته شد که بسته به ضرورت و نیازهای اکتشافی نمونه‌هایی برای مطالعات ICP-MS ، XRD XRF ، مقطع نازک و صیقلی از محدوده اکتشافی سامن تهیه شد. نمونه‌ها در مجموع ۱۰۴ عدد می‌باشد (به شرح جدول ۱-۴) اخذ شدند.

#### جدول ۴-۱- تعداد و نوع نمونه‌های اخذ شده از محدوده اکتشافی سامن

ردیف	نوع آنالیز	محل نمونه برداری	تعداد
۱	XRD	ترانشه + پراکنده	۹
۲	XRF	ترانشه + پراکنده	۱
۳	ICP-MS	ترانشه + پراکنده + چک آنومالی	۷۵
۴	پولیش	ترانشه + پراکنده + چک آنومالی	۱۰
۵	نازک	ترانشه + پراکنده + چک آنومالی	۹
		مجموع	۱۰۴

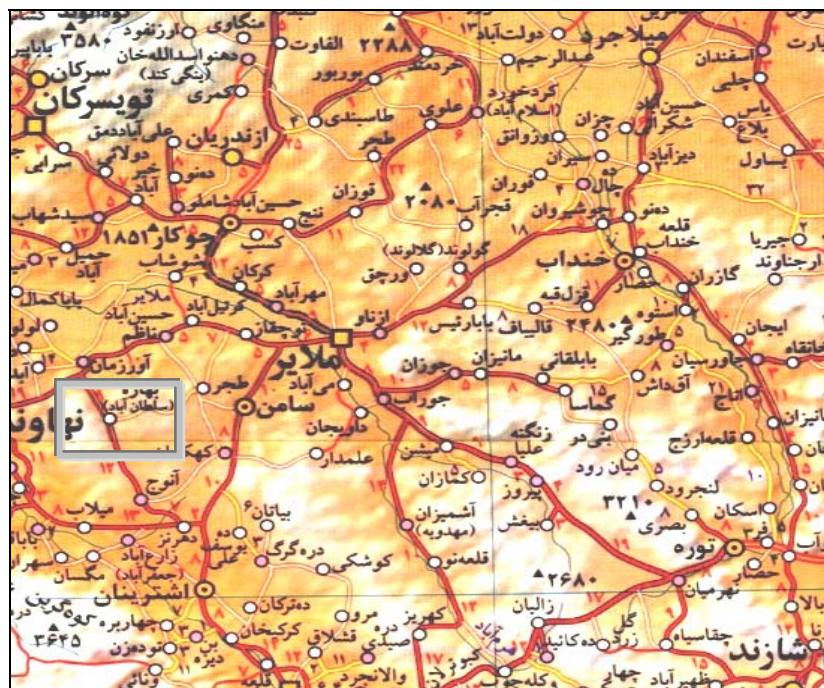
در این نمونه برداری‌ها توجه ویژه به زونهای دگرسانی که البته در محدوده اکتشافی بسیار محدود است، صورت گرفت. از کانی‌سازی‌ها و رگه و رگچه‌های کانی‌ساز، واحدهای سنگی و زون‌های اسکارن در غرب، مرکز و شرق و شمال‌شرق محدوده نیز نمونه‌برداری‌های متعددی صورت گرفت. زون اسکارن انجیره در غرب محدوده اکتشافی به دلیل اهمیت زیاد و وجود کانی‌سازی مس در آن مورد توجه خاص قرار گرفته و ۴ رشته ترانشه اکتشافی در آن حفر گردید. که شرح ترانشه‌ها و شرح نمونه‌های مربوط به آنها در ابتدای این فصل آمده است. پس از برداشت نمونه‌ها، این نمونه‌ها جهت مطالعات مورد نظر به آزمایشگاه زرآزمای ارسال شد و دیگر نمونه‌هایی که برای مطالعات ICP-MS اخذ شده بودند به آزمایشگاه Amdel استرالیا ارسال شدند و سپس از نتایج بدست آمده در فصول مربوطه استفاده شد.

#### ۴-۲- مکان عملیات

محدوده اکتشافی سامن مابین طولهای جغرافیایی E۲۶۹۸۰۰ و E۲۷۹۸۰۰ و عرضهای جغرافیایی N۳۷۸۰۰۰ و N۳۷۹۲۵۰۰ قرار گرفته است. از این محدوده ۷۷ کیلومتر مربعی نقشه زمین‌شناسی با مقیاس ۱:۲۰,۰۰۰ تهیه شد. همچنین در حدود ۱/۵ کیلومتری شمال غرب روستای انجیره و در زون اسکارن انجیره ۴ رشته ترانشه اکتشافی حفر شدند که مختصات ابتدا و انتهای ترانشه‌ها به شرح زیر می‌باشد. موقعیت جغرافیایی و راههای دسترسی به محدوده اکتشافی در شکل ۴-۱ آمده است.

#### جدول ۴-۲- مختصات ابتدا و انتهای ترانشه‌های اکتشافی محدوده سامن

ردیف	شماره تراشه	مخصصات ابتدای تراشه	مخصصات انتهای تراشه	طول (متر)
۱	TR۱	E۲۷۰۹۴۶ N۳۷۸۹۳۲۰	E۲۷۰۹۷۳ N۳۷۸۹۳۶۴	۴۵
۲	TR۲	E۲۷۰۹۰۰ N۳۷۸۹۳۴۷	E۲۷۰۹۳۳ N۳۷۸۹۳۸۷	۵۳
۳	TR۳	E۲۷۰۸۴۲ N۳۷۸۹۴۲۶	E۲۷۰۸۴۲ N۳۷۸۹۴۲۶	۲۳
۴	TR۴	E۲۷۱۱۵۰ N۳۷۸۹۱۶۷	E۲۷۱۱۵۷ N۳۷۸۹۱۸۵	۲۰



شکل ۱-۴- موقعیت جغرافیایی و راههای دسترسی به محدوده اکتشافی

#### ۴-۳- مستندات تهیه شده از عملیات مهندسی اکتشاف

##### ۴-۳-۱- نقشه زمین‌شناسی - معدنی ۱/۰۰۰، ۲۰ محدوده اکتشافی

نقشه زمین‌شناسی - معدنی ۱:۲۰۰۰ منطقه جنوب شرق سامن در وسعتی در حدود ۷۷ کیلومتر مربع تهیه شد. در تهیه نقشه زمین‌شناسی توجه خاص به زونهای اسکارن، توده‌های نفوذی و حاشیه‌های دگرگونی آنها و همچنین شناسایی دقیق واحدهای سنگی، آلتراسیون، ارتباط واحدهای زمین‌شناسی با کانی‌سازی‌های موجود صورت گرفت. واحدهای مختلف زمین‌شناسی مشاهده شده در محدوده اکتشافی شامل:

- واحد آهک دگرگون شده (TRL)

- واحد شیست و ماسه‌سنگ دگرگون شده (TR SH-S)

- واحد فیلیت، اسلیت و شیست خاکستری (Jph)

- واحد اسکارن (Sk)

- واحد شیست لکه‌دار (S.sch)

- واحد هورنفلس (H)

- واحد گرانیتوئیدی (gd)

خصوصیات واحدهای زمین‌شناسی موجود در محدوده نقشه در فصل دوم به تفصیل بیان شده است. در اینجا فقط به عناوین واحدهای مشاهده شده در محدوده اکتشافی اشاره شد. در حین تهیه نقشه تعدادی نمونه متفرقه جهت انجام آنالیزیه روش ICP-MS، مطالعات مینرالوگرافی، پتروگرافی و آنالیز XRD اخذ گردید. نتایج حاصل از مطالعات آزمایشگاهی نمونه‌های فوق الذکر در تهیه نقشه زمین‌شناسی محدوده مورد استفاده قرار گرفت. همچنین شرح مختصری بر هر کدام از نمونه‌ها در صفحات بعدی بیان شده است.

#### ۴-۲-۳- محدوده‌های اسکارن انجیره، ایرینه سامن، سراب سامن

##### ۴-۲-۳-۱/ اسکارن انجیره

اسکارن انجیره در مختصات E ۲۷۰۹۵۹ N و در حدود ۲ کیلومتری شمال غرب روستای انجیره قرار دارد. امتداد عمومی رخنمون آن در کنタکت با گرانیتوئید ۱۱۰ درجه و شیب عمومی آن نزدیک به ۷۰ درجه به سمت شمال می‌باشد. رخنمون آن حدود ۲۵۰ متر طول و عرض زون اسکارن در حدود ۲۰-۲۵ متر و از طرف کمرپائین به مرمر و از طرف کمر بالا به گرانیتوئید تبدیل می‌شود. بصورت چند لکه پی در پی قابل تعقیب است که قسمتهایی از آن توسط خاک بر جا و مرتع پوشیده شده است. این اسکارن با تنوع کانی‌های شاخص آن یعنی گارنت سبز، اپیدوت، کانی‌های اکسیدی و سولفور مس و آهن (سیدریت قهوه‌ای) مشخص می‌شود. بافت نواری ظریف و نازک در رخنمون آن دیده می‌شود. لایه‌های مختلف اسکارن از مرمر خاکستری تا سیلیس به تناوب در زون اسکارن انجیره دیده می‌شوند. کانی‌سازی مس و آهن در ضخامت و طول محدودی در اسکارن انجیره قابل مشاهده است (ضخامت نزدیک به ۴ و طول چند ده متر). کانی‌های تنگستن، قلع و طلادر آن وجود نماینده نمودار دارد. نماینده ZS-۱۷، ZS-۱۶، ZS-۱۵، ZS-۱۲، ZS-۱۱، ZS-۱۰، ZS-۶، ZS-۵ برای تهیه مقطع نازک، مقطع صیقلی و همچنین برای تعیین مقادیر عناصر مختلف مس، قلع، طلا و تنگستن گرفته شد. برای تشخیص تغییرات لیتلولژی و کانی‌سازی در عرض زون اسکارن، چهار ترانشه TR-۱، TR-۲، TR-۳، TR-۴ جمعاً به طول ۱۴۱ متر عمود بر امتداد لایه بندی در زون اسکارن

انجیره حفر شد تا تغییرات لیتولوژی و کانی‌سازی را در عرض زون اسکارن بتوان مطالعه نمود. همچنین با حفر این ترانشه‌ها دست رسانی به سنگ تازه برای برداشت نمونه‌های غیر هوازده نیز میسر گردید. برداشت پروفیل ترانشه‌ها و نمونه گیری‌های مربوطه در ضمیمه ۶ نشان داده شده است. با توجه به گسترش محدود کانی‌سازی چه در طول و چه در ستون استراتیگرافی در زون کنتاکت، بنظر می‌رسد که در محل این رخنمون ذخیره قابل توجهی وجود ندارد. از طرف دیگر در همین نقطه اطلاعات مربوط به کانی‌سازی و تجمع کانی‌شناسی نه از نظر اقتصادی بلکه از نظر تشخیص ماهیت ژنتیکی این رخنمون و رخنمونهای احتمالی دیگر دارای اهمیت است. نتایج مطالعات نمونه دستی و نمونه میکروسکوپی محدوده اسکارن انجیره در ضمیمه ۱ گزارش آمده است.

#### ۴-۲-۳-۱- اسکارن ایرینه سامن

اسکارن ایرینه سامن در مختصات N ۳۷۹۱۵۸۹ E ۲۷۸۵۳۴ و در جنوب غرب روستای ایرینه سامن رخنمون دارد. در این محدوده آهکهای تریاس در مجاورت با توده نفوذی اسکارن شده‌اند. طول رخنمون آنها حدود ۲۰۰ متر و عرض آن متغیر ۲۰ تا ۵۰ متر به صورت پیچ‌هایی در امتداد N۵۵W می‌باشد. در این اسکارن کانی‌سازی قابل مشاهده کربناتهای مس اکسیدهای آهن، کوارتز، اپیدوت می‌باشد. کانی‌سازی موجود غالباً در داخل لایه سیلیس قهوه‌ای تا سیاه زون اسکارن مشاهده می‌شود. اپیدوت نیز به وفور در حاشیه سیلیس قهوه‌ای یافت شده، در قسمتهایی هم به صورت رگه‌هایی به عرض ۲ سانتی‌متر مشاهده می‌شود. از این سیلیس قهوه‌ای یک نمونه ZS-۲۱ اخذ گردید که این نمونه برای اطمینان حاصل کردن به نتیجه آن یک بار دیگر نیز با شماره ZS-۲۱S جهت آنالیز به روش ICP-MS به آزمایشگاه ارسال شد.. که نتایج طلا و تنگستن در این نمونه‌ها به ترتیب (در نمونه ZS-۲۱) ۲۱، ۲۰/۳ ppm و ppb ۵۲۳ و (در نمونه ZS-۲۱S) ۴۰/۳ ppm و میزان عیار مس نیز در آن ۶/۲ درصد می‌باشد. (در نمونه ZS-۲۱) ۷/۹۸ درصد می‌باشد.

#### ۴-۲-۳-۲- اسکارن سراب سامن

اسکارن سراب سامن در حدود ۲ کیلومتری جنوب روستای سراب سامن و در مختصات E ۲۷۹۶۸۰ و N ۳۷۸۸۶۵ قرار دارد. این اسکارن بسیار کوچک بوده امتداد عمومی آن N ۶۵W می‌باشد. در این اسکارن آهکهای تریاس در مجاورت با توده نفوذی کریستالیزه و سیلیسی شده‌اند. کانی‌سازی کربناتهای مس و اکسیدهای آهن در سیلیسها آن که عمدتاً قهوه‌ای رنگ هستند، مشاهده می‌شود. اپیدوت نیز در آن مشاهده می‌شود در قسمتهایی از این پیچ‌های اسکارنی نیز توده نفوذی گرانیتوئیدی

همراه با کانی های اپیدوت، گارنت مشاهده می شود. از این اسکارن یک نمونه ZS-۲۵ جهت مطالعات XRD برداشت شد که در آن کانی های فاز اصلی شامل هورنبلند، کوارتز و کانی های فاز فرعی اپیدوت، کلسیت، آلیت و ارتوکلاز گزارش شده است.

#### ۴-۳-۳- ساختمان های زمین شناسی

منطقه مورد مطالعه در محدوده پهنه ساختاری سنتنج- سیرجان واقع شده است. وجود مسئله دگرگونی ناحیه ای، تکتونیک فعال که سبب ایجاد راندگیهای متعدد شده و نفوذ توده های نفوذی، باعث ایجاد سیستمهای گسله متعددی که عمدتاً ساختار حلقوی را از خود نشان می دهند، شده است. گسله ها و شکستگیهای موجود در محدوده اکتشافی غرب سامن دارای ۳ روند اصلی می باشند. در این محدوده روند گسله ها عمدتاً شمال شرق- جنوب غرب است. گسل بزرگ خانه آباد در امتداد رودخانه فعلی خانه آباد مشاهده می شود که روند تقریباً شمال غرب- جنوب شرق دارد. یک روند شرقی- غربی نیز در محدوده روستای قلعه علی مراد به طرف شرق مشاهده می شود که در ادامه گسل خانه آباد بوده و روندی شرقی- غربی گرفته است. یک سیستم راندگی نیز در جنوب شرق محدوده اکتشافی در کنタکت واحد های ژوراسیک و تریاس مشاهده می شود. در زیر به شرح مختصری از گسلهای اصلی عملکرد و اتباط آنها با کانه زایی می پردازیم:

##### - گسل خانه آباد

گسل خانه آباد با روند عمومی شمال غرب- جنوب شرق در غرب محدوده اکتشافی مشاهده می شود. عملکرد این گسل باعث ایجاد رودخانه خانه آباد شده است. این گسل یک گسل امتداد لغزراست گرد می باشد که باعث جابجایی واحد های تریاس و توده نفوذی گرانودیوریتی شده است. در قسمتهايی از حاشیه اين گسل در شمال و شمال غرب روستای انجيره، آلتراسیون آرژیلیک توده گرانودیوریتی را تحت تأثیر قرارداده است. به نظر می رسد که روند این گسل در حوالی روستای سلطان آباد انسوچ تغییر کرده و روند شرقی- غربی به خود گرفته است. این عملکرد گسل با توجه به مشاهدات و بررسی بروی عکس های ماهواره ای موجود از محدوده اکتشافی، قابل توجه می باشد.

##### - گسل سراب سامن

گسل سراب سامن از شمال روستای سراب سامن شروع شده و با روندی شمال شرق- جنوب غرب از جنوب محدوده اکتشافی خارج می شود این گسل واحد های تریاس، ژوراسیک و توده های نفوذی گرانودیوریتی را قطع می کند.

### - گسل غرب حسن کوسج -

گسل غرب حسن کوسج از حدود ۱/۵ کیلومتری غرب روستای حسن کوسج شروع شده و با روندی شمالی جنوبی حدود ۳ کیلومتر به طرف جنوب ادامه دارد. این گسل واحدهای تریاس و توده نفوذی گرانیتوئیدی را قطع می‌کند و چند گسل فرعی با روند شمال غرب-جنوب شرق نیز در انتهای جنوبی در حاشیه این گسل مشاهده می‌شوند. در چند نمونه کانی سنگین که از آبراهه ایجاد شده توسط این گسل گرفته شده ذره‌های طلا و تنگستان مشاهده شده است که نقش این گسل را در ایجاد کانی‌سازی در محدوده نمایان می‌کند.

### - گسل راندگی شرق قلعه علیمراد -

این گسل راندگی با شیب کم در حدود ۳ کیلومتری شرق روستای قلعه علیمراد قرار دارد. عملکرد این گسل کم شیب باعث رانده شدن واحدهای آهکی و واحد شیل و ماسه سنگ دگرگونه تریاس روی واحد فیلیت و واحد شیستهای لکه‌دار ژوراسیک در جنوب شرق محدوده اکتشافی می‌شود.

#### ۴-۳-۴- ترانشه‌های حفر شده در زون اسکارن انجیره محدوده اکتشافی جنوب غرب سامن و شرح آنها

در محدوده اکتشافی غرب سامن و در شمال غرب روستای انجیره بر روی زون اسکارن انجیره ۴ ترانشه اکتشافی عمود بر امتداد لایه‌بندی حفر گردید. هدف از حفر این ترانشه‌ها تشخیص دقیق تغییرات لیتولوژی و کانی‌سازی در عرض زون اسکارن و همچنین رسیدن به سنگ تازه و غیرهوازده برای نمونه‌برداری جهت مطالعات سنگ‌شناصی - کانی‌شناصی و آنالیز شیمیائی به روش ICP-MS می‌باشد. همانطور که گفته شد در این محدوده ۴ ترانشه حفر شد، TR۱ به طول ۴۵ متر TR۲ ۵۳ متر، TR۳ ۲۳ متر و TR۴ ۲۰ متر که در مجموع در این محدوده ۱۴۱ متر ترانشه حفر شده است. پروفیل ترانشه‌های حفر شده در ضمیمه شماره ۶ آمده است. در زیر به شرح مختصری درباره هر یک از ترانشه‌ها می‌پردازیم:

##### - ترانشه TR۱ -

ترانشه TR۱ با امتداد N۳۰ E و به طول ۴۵ متر در زون اسکارن انجیره حفر گردید. مختصات ابتدا و انتهای این ترانشه در سیستم UTM به ترتیب ۲۷۰۹۷۳ E - ۳۷۸۹۳۶۴ N و ۲۷۰۹۴۶ E - ۳۷۸۹۳۳۰ N می‌باشد.

واحدهای لیتولوژی که در این ترانشه مشاهده می‌شوند به ترتیب از ابتدای ترانشه شامل واحد آهک کریستالیزه، واحد اسکارن همراه با کانی‌سازی مس شامل کالکوپیریت، کالکوسیت، مالاکیت، آزوریت، اکسیدهای آهن و واحد گرانیتوئید می‌باشد. از این ترانشه جمعاً ۱۹ نمونه جهت مطالعات سنگ‌شناصی - کانی‌شناصی و آنالیز شیمیائی به روش ICP-MS گرفته شده که ۳ نمونه آن از واحد آهک کریستالیزه (ماربل)، ۱۰ نمونه از زون اسکارن و ۶ نمونه نیز از توده نفوذی اخذ شدند.

تعداد ۱۳ نمونه به شماره‌های ZT1S-۱ تا ZT1S-۱۳ از این ترانشه جهت مطالعات آنالیز شیمیائی به روش ICP-MS گرفته شد. بیشترین میزان طلا در نمونه ZT1S-۷ با ۱۱۵ ppb گزارش شده که در این نمونه میزان تنگستن نیز ۲۹۳ ppm می‌باشد. میزان عیار عنصر مس در این نمونه ۰/۳٪ می‌باشد. متوسط عیار عناصر در کل نمونه‌های این ترانشه شامل طلا ۱۲/۳۸ ppb، مس ۶۵۲/۳۵۴ ppm و تنگستن ۴۰/۹۷۶ ppm می‌باشد. نتایج حاصل از آنالیز به روش ICP-MS برای نمونه‌های ترانشه ۱ در جدول ۴-۳-۴ آمده است.

جدول ۴-۳-۴ نتایج آنالیز نمونه‌های ترانشه ۱

	Au	Cr	Mn	Ba	Ti	Fe	Hg	Ag	As
--	----	----	----	----	----	----	----	----	----

UNITS	ppb	ppm								
ZT1S-1	۶	۱۱۶	۱۹۶	۳۲,۷	۱۱۴۰	۹۸۱۰	۰	۰,۱۴	۱۳,۹	
ZT1S-۲	۵	۱۲۰	۲۰۴	۷۶,۶	۶۰۰	۴۹۰۰	۰	۰,۰۵	۸,۶	
ZT1S-۳	۱۳	۱۰۸	۱۱۰	۱۲۶	۷۳۸	۲۴۲۰۰	۰,۱۰	۰,۱۱	۲۳,۴	
ZT1S-۴	۰	۶۱	۴۷۸۰	۱۹۰	۴۲۷۰	۳۷۰۰۰	۰,۱۸	۰,۰۸	۱۴,۴	
ZT1S-۵	۴	۹۶	۰۹۰	۲۳۴	۸۸۵	۲۳۹۰۰	۰	۰,۳۸	۱۹,۷	
ZT1S-۶	۵	۱۱۸	۱۰۶۰	۲۳,۲	۱۳۵۰	۸۴۹۰	۰	۰,۷۵	۶۳,۱	
ZT1S-۷	۱۱۰	۱۲۷	۷۶۲۰	۳۰,۹	۲۷۵۰	۱۰۰۰۰	۲,۰۴	۱۱,۶	۱۰۳	
ZT1S-۸	۶	۹۰	۳۰۱۰	۱۳۱	۲۳۶۰	۹۹۷۰۰	۱,۳۴	۰,۰۷	۲۸,۸	
ZT1S-۹	۲	۱۷	۸۴۳	۵۰۸	۳۱۵۰	۲۷۵۰۰	۰,۵	۰,۴۴	۴,۳	
ZT1S-۱۰	۱	۱۸	۱۰۳۰	۰۷۵	۳۲۱۰	۲۶۰۰۰	۰,۴۲	۰,۰۹	۱,۰	
ZT1S-۱۱	۳	۲۴	۶۱۱	۴۲۳	۲۲۲۰	۲۶۶۰۰	۰,۲۱	۰,۰۹	۳,۸	
ZT1S-۱۲	۰	۱۲	۶۵۴	۴۶۶	۳۷۲۰	۳۱۸۰۰	۰,۱۳	۰,۱۴	۰	
ZT1S-۱۳	۱	۳۰	۲۹۱۰	۳۰۴	۳۰۴۰	۴۲۲۰۰	۰,۲۵	۰,۱	۴,۹	

UNITS	Bi	Co	Cu	Mo	Ni	Pb	Sb	Zn	Sn	W
ppm										
ZT1S-۱	۰,۷	۳,۲	۳۷,۱	۰,۸	۲۰	۰,۳	۲,۴	۶۷,۹	۰,۴	۱,۷
ZT1S-۲	۰,۲	۱,۸	۱۹,۹	۰,۴	۱۴	۱۷,۱	۱,۱	۱۴,۶	۰,۳	۰,۷
ZT1S-۳	۲,۰	۰,۲	۳۱,۳	۴,۲	۱۰	۰,۳	۷,۳	۶۴,۰	۰,۰	۳,۱
ZT1S-۴	۲,۱	۱۰,۴	۲۳,۸	۳۰,۳	۱۹	۱۰,۶	۲۱,۶	۱۸۹	۱,۲	۰
ZT1S-۵	۱,۵	۷,۷	۹۵,۴	۳,۱	۱۶	۲۰,۱	۳,۴	۳۹۷	۰,۰	۲,۴
ZT1S-۶	۹,۹	۰,۷	۱۷۷	۰,۹	۲۱	۳۸,۶	۱۰,۳	۷۹۷	۰,۷	۰,۸
ZT1S-۷	۴۲۲	۳۸	۳۰۳۰	۹,۳	۲۹	۲۱۰	۳۶,۸	۹۸۰	۷	۲۹۳
ZT1S-۸	۱۲,۶	۸	۲۲۴	۱۳,۱	۲۳	۸,۷	۴,۷	۹۰,۷	۱۱,۶	۱۴۷
ZT1S-۹	۰,۹	۹,۴	۲۰۲	۲,۰	۱۲	۸,۹	۲,۳	۶۰,۴	۱,۴	۱۸,۳
ZT1S-۱۰	۲,۰	۷,۹	۲۴۰	۶,۱	۱۴	۱۱,۳	۴,۲	۷۸,۱	۲,۶	۳۰,۲
ZT1S-۱۱	۰,۸	۸,۷	۸۱	۲,۹	۱۰	۸	۳,۶	۴۰,۱	۱,۷	۸
ZT1S-۱۲	۰,۹	۱۰,۶	۱۷۵	۱,۴	۱۲	۸	۳,۱	۸۷,۶	۱,۰	۰,۳
ZT1S-۱۳	۰,۹	۹,۶	۱۱۹	۲	۱۴	۶,۱	۳,۷	۴۹,۳	۲,۰	۱۲,۲

## TR۲ - ترانشه

ترانشه TR۲ با امتداد N۲۵E و به طول ۵۳ متر در زون اسکارن انجیره حفر گردید. مختصات ابتدا و انتهای ترانشه در سیستم UTM به ترتیب N ۳۷۸۹۳۸۷, E ۲۷۰۹۳۳, N ۳۷۸۹۳۴۷ می باشد. واحدهای لیتولوژی که در این ترانشه مشاهده می شوند به ترتیب از ابتدای ترانشه شامل رخمنوئی از توده نفوذی گرانیتوئیدی، واحد آهک کریستالیزه (ماربل) و واحد اسکارن که در آن کانی سازی کربناتهای مس و اکسیدهای آهن مشاهده می شود، می باشد. ادامه ترانشه نیز در توده

نفوذی حفر شده آثار آلتراسیون آرژیلیک در توده نفوذی مشاهده می‌شود. از این ترانشه ۱۶ نمونه جهت مطالعات سنگ‌شناسی، کانی‌شناسی و آنالیز شیمیائی به روش ICP-MS گرفته شد. ۹ عدد از نمونه‌ها از واحد گرانوڈیوریت، ۲ نمونه از واحد آهک کریستالیزه و ۵ نمونه از واحد اسکارن اخذ گردیدند.

بیشترین میزان طلا در این ترانشه در نمونه ZT2S-۶ (ppb ۴۶) و بیشترین عیار تنگستن نیز مربوط به همین نمونه (ppm ۴۴/۵) و همچنین بالاترین عیار مس نیز در این نمونه (٪ ۰/۲۲) گزارش شده است. متوسط عیار عنصر طلا در نمونه‌های ترانشه دو، ۱۰ ppb، متوسط عیار مس در این نمونه‌ها ۳۹۰ ppm و متوسط عیار تنگستن ۱۴/۹۵ ppm می‌باشد. نتایج حاصل از آنالیز نمونه‌های ترانشه ۲ به روش ICP-MS در جدول ۴-۴ آمده است.

جدول ۴-۴- نتایج آنالیز نمونه‌های ترانشه ۲

	Au	Cr	Mn	Ba	Ti	Fe	Hg	Ag	As
UNITS	ppb	ppm							
ZT2S-۱	۲	۲۰	۵۲۶	۵۱۱	۳۴۷۰	۳۱۳۰۰	۰,۰۷	۰,۰۶	۰
ZT2S-۲	۲	۱۹	۴۳۴	۴۹۰	۳۴۴۰	۲۷۶۰۰	۰,۱۳	۰,۰۴	۰
ZT2S-۳	۳	۱۲۶	۲۹۴	۲۸,۱	۱۰۵۰	۸۶۷۰	۰	۰,۱۱	۰
ZT2S-۴	۳	۱۲۹	۵۸۲	۲۲,۳	۱۰۵۰	۱۴۲۰۰	۰,۱۵	۰,۴	۶,۷
ZT2S-۵	۱۳	۱۲۳	۴۳۹۰	۷۷,۹	۲۷۸۰	۱۰۰۰۰	۰,۶۶	۰,۹۶	۱۲۴
ZT2S-۶	۴۶	۹۳	۴۰۷۰	۵۳,۴	۱۴۱۰	۱۱۱۰۰	۰,۴۱	۶,۰۵	۸۰,۸
ZT2S-۷	۰	۳۱	۷۹۸	۳۶۴	۲۳۷۰	۲۲۶۰۰	۰,۱۴	۰,۰۵	۱,۹
ZT2S-۸	۰	۱۶	۶۴۱	۵۱۶	۳۴۴۰	۲۸۷۰۰	۰,۱	۰,۱۸	۰
ZT2S-۹	۰	۱۸	۵۹۹	۵۷۹	۳۱۰۰	۲۶۶۰۰	۰,۱۲	۰,۰۸	۰
ZT2S-۱۰	۰	۱۷	۵۷۴	۳۷۳	۳۷۰۰	۲۶۷۰۰	۰,۰۵	۰,۰۲	۰
ZT2S-۱۱	۰	۲۱	۷۱۲	۶۴۷	۳۸۸۰	۳۵۳۰۰	۰,۰۸	۰,۱۱	۰
ZT2S-۱۲	۰۲	۱۲۶	۳۳۱۰	۵۴,۳	۱۴۰۰	۳۰۴۰۰	۰,۱۰	۰,۹۷	۱۸,۴

	Bi	Co	Cu	Mo	Ni	Pb	Sb	Zn	Sn	W
UNITS	ppm									
ZT2S-۱	۱,۷	۱۳,۳	۸۴,۴	۱,۲	۱۰	۱۰,۱	۰,۱	۵۴,۶	۱,۳	۴,۷
ZT2S-۲	۰,۷	۹,۱	۱۰۱	۱,۰	۱۰	۹,۱	۰,۱	۵۱,۴	۱,۷	۰
ZT2S-۳	۰,۵	۳	۸۴,۹	۰,۵	۱۷	۹,۴	۱,۴	۶۱,۴	۰,۶	۱
ZT2S-۴	۱,۱	۴,۹	۸۳	۰,۷	۲۰	۹۴,۴	۳,۴	۹۰,۶	۰,۷	۱,۷
ZT2S-۵	۲۹۵	۷,۱	۱۱۸۰	۴,۵	۲۴	۲۰۰	۱۳,۰	۱۶۹	۶,۹	۸۳
ZT2S-۶	۵۲۴	۷,۶	۲۲۱۰	۲,۲	۲۸	۱۱۶	۰,۶	۹۹,۱	۰,۱	۴۴,۰

ZT <sup>2</sup> S-۷	۱,۹	۷,۴	۳۷,۶	۱,۲	۱۱	۷,۷	۰,۹	۳۷,۲	۱,۵	۹,۶
ZT <sup>2</sup> S-۸	۰,۹	۱۰,۱	۸۷	۱,۳	۱۱	۱۲	۳,۱	۴۶,۴	۱,۷	۱۲,۱
ZT <sup>2</sup> S-۹	۱,۵	۷,۵	۴۰,۱	۱,۱	۹	۹,۱	۲,۶	۵۲	۱,۴	۶
ZT <sup>2</sup> S-۱۰	۰,۳	۹,۵	۲۸,۲	۰,۹	۱۲	۵,۸	۲	۴۷,۷	۱,۸	۳,۴
ZT <sup>2</sup> S-۱۱	۰,۶	۱۱,۱	۴۸,۵	۱,۱	۱۳	۱۱,۱	۱,۶	۵۶,۸	۱,۶	۳,۵
ZT <sup>2</sup> S-۱۲	۴۷,۱	۹,۲	۶۹۴	۱,۰	۱۷	۶۷,۶	۱۴,۰	۴۸۲	۱,۱	۴,۹

### - ترانشه TR<sup>۳</sup> -

ترانشه TR<sup>۳</sup> با امتداد N۱۲E و طول ۲۳ متر در زون اسکارن انجیره حفر شده است. مختصات ابتدا و انتهای ترانشه در سیستم UTM به ترتیب:

E ۲۷۰۸۴۲, N ۳۷۸۹۴۲۶ و E ۲۷۰۸۴۲, N ۳۷۸۹۴۲۶

این ترانشه رخمنون دارند به ترتیب از ابتدای ترانشه شامل واحد گرانودیوریتی، واحد اسکارن همراه با کانی‌سازی کربناتهای مس، اکسیدهای آهن و منگنز و اپیدوت و مجدداً توده نفوذی همراه با آلتراسیون آرژیلیک می‌باشد. از این ترانشه ۱۳ نمونه جهت مطالعات سنگ‌شناسی، کانی‌شناسی و آنالیز شیمیائی به روش ICP-MS گرفته شد. که ۷ نمونه آن از واحد گرانودیوریت و ۶ نمونه نیاز و واحد اسکارن اخذ شدند.

از ۱۲ نمونه‌ی این ترانشه که برای مطالعات ICP-MS گرفته شد، بیشترین عیار طلا مربوط به نمونه ۸ ZT<sup>3</sup>S-۸ (ppb)، بیشترین عیار مس ۱۱٪ و مربوط به نمونه ۶ همچنین بیشترین عیار تنگستن ۷۸/۴ ppm و مربوط به همان نمونه ZT<sup>3</sup>S-۶ می‌باشد. متوسط عیار طلا در نمونه‌های این ترانشه ۲۴/۸۳۳ ppb، متوسط عیار مس ۳۰٪ و متوسط عیار تنگستن ۴۰/۲۹ ppm می‌باشد.. نتایج حاصل از آنالیز به روش ICP-MS برای نمونه‌های ترانشه ۳ در جدول ۴-۵ آمده است.

جدول ۴-۵- نتایج آفالیز نمونه‌های ترانشه ۳

	Au	Cr	Mn	Ba	Ti	Fe	Hg	Ag	As
UNITS	ppb	ppm							
ZT۲S-۱	.	۲۱	۰۷۱	۳۰۶	۴۶۸۰	۳۳۸۰۰	۰,۲۲	.	۶,۴
ZT۲S-۲	.	۲۲	۴۸۹	۳۲۶	۳۹۶۰	۳۱۲۰۰	۰,۲۴	.	.
ZT۲S-۳	۱	۲۶	۴۰۶	۴۶۷	۳۳۲۰	۱۸۵۰۰	۰,۲	.	۷,۳
ZT۲S-۴	۱۰	۱۱۲	۰۸۹۰	۱۹,۹	۱۲۲۰	۸۲۱۰۰	۰,۴۴	۷,۳۷	۹۰,۲
ZT۲S-۵	۱۹	۱۲۶	۴۸۰۰	۵۱,۹	۱۵۴۰	۱۳۵۰۰۰	۰,۳۹	۱,۲۷	۲۰۷
ZT۲S-۶	۶۴	۱۱۵	۴۴۹۰	۱۱۴	۱۴۰	۱۸۷۰۰۰	۱,۰۱	۴,۶۷	۲۳۰
ZT۲S-۷	۴۴	۱۰۹	۴۷۹۰	۸۶,۸	۱۲۳۰	۱۴۷۰۰۰	۱,۲	۰,۹۳	۲۲۰
ZT۲S-۸	۱۲۴	۱۰۲	۴۹۲۰	۱۹,۹	۱۴۶۰	۱۰۰۰۰	۰,۲۷	۴,۰۹	۱۰۹
ZT۲S-۹	۲	۱۱۲	۴۲۱۰	۱۰,۴	۲۰۷۰	۱۳۹۰۰۰	۰,۴۱	۰,۲۵	۶۷,۵
ZT۲S-۱۰	۲۳	۲۰	۹۷۴	۰۹۷	۳۰۲۰	۲۲۸۰۰	۰,۳۷	۲,۰	۱۶,۱
ZT۲S-۱۱	۰	۴۰	۴۰۸	۴۱۰	۱۹۸۰	۱۸۵۰۰	۰,۱۶	۰,۰۴	۶
ZT۲S-۱۲	۶	۱۰۶	۰۳۸	۱۲۳	۳۶۵	۱۴۳۰۰	۰,۰۸	۰,۰۱	۱۱

	Bi	Co	Cu	Mo	Ni	Pb	Sb	Zn	Sn	W
UNITS	ppm									
ZT۲S-۱	۰,۷	۱۰,۴	۵۲,۳	۱,۲	۹	۶,۶	۲,۸	۴۴,۱	۱,۹	۲۰,۲
ZT۲S-۲	۰,۵	۱۱,۳	۲۳,۲	۱,۱	۱۳	۷,۱	۴,۷	۰۲	۲	۱۰,۵
ZT۲S-۳	۰,۲	۶,۳	۱۸,۷	۱,۴	۹	۰,۲	۷,۳	۳۴,۲	۱,۸	۸,۵
ZT۲S-۴	۸۲,۹	۳۵	۲۲۵	۲,۲	۲۰	۶۸۹	۶,۲	۲۰۲۰	۱,۴	۶,۹
ZT۲S-۵	۹۳,۲	۵۱,۱	۲۷۱۰	۲,۳	۲۸	۲۱۶	۱۲,۱	۳۴۱۰	۸,۱	۳۰,۵
ZT۲S-۶	۰۶,۳	۳۳	۱۱۱۰۰	۷,۱	۴۴	۳۶,۶	۱۰	۶۰۸	۱۹,۲	۷۸,۴
ZT۲S-۷	۸۹,۹	۸۸,۸	۷۳۴۰	۴,۷	۲۷	۲۱۶	۸,۱	۴۷۵۰	۱۲,۱	۱۰۴
ZT۲S-۸	۳۹,۸	۷۵,۸	۱۴۰۰۰	۳,۱	۳۹	۲۳۴	۷,۲	۶۸۲۰	۲۱,۴	۲۱,۲
ZT۲S-۹	۱,۸	۶,۳	۷۳۲	۲,۸	۱۹	۷,۷	۳,۸	۶۰,۶	۱۳,۷	۳۱,۹
ZT۲S-۱۰	۲,۳	۷,۶	۰	۰	۸	۱۱,۴	۰۳,۲	۶۳,۲	۳,۳	۳۰,۸
ZT۲S-۱۱	۰,۲	۰,۷	۲۶,۶	۲,۳	۸	۴,۶	۶,۶	۳۰,۷	۱,۲	۷,۸
ZT۲S-۱۲	۰	۴,۴	۱۷,۴	۱,۵	۱۲	۰,۶	۲,۹	۲۹,۵	۰,۳	۲,۲

ترانشه ۴-

ترانشه ۴ با امتداد N۲۰E و به طول ۲۰ متر در زون اسکارن انجیزه حفر گردید. مختصات

ابتدا و انتهای این ترانشه در سیستم UTM به ترتیب:

E ۲۷۱۱۵۷, N ۳۷۸۹۱۸۵- E ۲۷۱۱۰, N ۳۷۸۹۱۶۷ می‌باشد. واحدهای لیتولوژی که در این

ترانشه مشاهده می‌شوند به ترتیب از ابتدای ترانشه شامل واحد گرانودیوریتی که به شدت آلتره شده و واحد اسکارن همراه با کانی‌سازی مالاکیت و آزوریت، کالکوپیریت، اپیدوت، اکسیدهای آهن و

منگنز می‌باشد. از این ترانشه جمعاً ۱۰ نمونه جهت آنالیز به روش ICP-MS گرفته شد. در ۱۰ نمونه آنالیز شده بیشترین عیار طلا مربوط به نمونه ZT۴S-۹ با ۱۴۹ ppb و بیشترین عیار مس و تنگستن مربوط به نمونه شماره ZT۴S-۱۰ و به ترتیب با عیار ۳۹۹ ppm و ۲/۱۶٪ ppm می‌باشند. متوسط عیار طلا در ۱۰ نمونه ترانشه TR۴ (ppb ۳۱/۲) و متوسط عیار مس (٪ ۰/۳) و متوسط عیار تنگستن ۱۳۷/۲۳ ppm می‌باشد. نتایج آنالیز به روش ICP-MS نمونه‌های این ترانشه به شرح جدول ۴-۶ می‌باشد.

#### جدول ۴-۶- نتایج آنالیز نمونه‌های ترانشه ۴

	Au	Cr	Mn	Ba	Ti	Fe	Hg	Ag	As
UNITS	ppb	ppm							
ZT۴S-۱	۲	۶۰	۳۵۶۰	۳۱۰	۱۸۳۰	۹۴۴۰۰	۱,۰۶	۰,۴	۳۳,۹
ZT۴S-۲	۲	۲۹	۶۴۲	۶۰۳	۲۰۲۰	۲۸۱۰۰	۰,۲	۰,۳	۱۷,۱
ZT۴S-۳	۲	۴۳	۴۷۰	۴۷۹	۲۲۱۰	۱۸۸۰۰	۰	۰,۰۷	۱۰,۱
ZT۴S-۴	۹	۵۲	۱۸۹۰	۵۲۲	۲۴۱۰	۳۰۹۰۰	۰,۳۲	۰,۴۸	۲۲,۹
ZT۴S-۵	۱۶	۴۲	۴۹۶۰	۵۳۲	۲۵۸۰	۷۳۸۰۰	۱,۴	۲,۸۲	۷,۴
ZT۴S-۶	۳	۷۶	۱۶۵۰	۲۹۲	۱۴۴۰	۰۰۰۰۰	۰,۴۶	۰,۲۱	۲۱
ZT۴S-۷	۱۱	۹۳	۶۳۳۰	۱۳۹	۱۱۰	۱۲۷۰۰۰	۱,۹۳	۲,۶۳	۶۰,۷
ZT۴S-۸	۱۹	۱۱۰	۷۷۴۰	۱۲۳	۱۹۳۰	۱۳۰۰۰	۲,۲۹	۳,۱۷	۶۶,۷
ZT۴S-۹	۱۴۹	۱۱۱	۸۹۰۰	۷۰,۳	۱۰۹۰	۱۶۰۰۰	۱,۰۸	۶,۴۳	۹۶,۶
ZT۴S-۱۰	۹۹	۱۱۲	۶۸۶۰	۴۱,۷	۱۲۳۰	۱۷۳۰۰	۳,۴۳	۱۳,۵	۵۳,۹

	Bi	Co	Cu	Mo	Ni	Pb	Sb	Zn	Sn	W
UNITS										
ZT۴S-۱	۱۸	۷,۲	۳۴۶	۹,۳	۱۲	۱۶	۳,۹	۹۹,۸	۴,۴	۱۰۶
ZT۴S-۲	۰,۵	۱۱	۱۵۰	۲,۶	۱۰	۷,۳	۱۱,۳	۳۹	۱,۶	۱۶,۶
ZT۴S-۳	۰,۳	۶,۶	۹۸,۶	۱,۹	۱۱	۹,۴	۶,۵	۳۳	۱,۴	۷,۵
ZT۴S-۴	۰,۷	۱۳,۳	۸۲۲	۲۱,۱	۱۳	۱۱,۹	۱۳	۵۶,۷	۲,۷	۳۰,۸
ZT۴S-۵	۰,۵	۱۸,۴	۲۱۳۰	۳۷,۸	۱۲	۲۰,۴	۱۷,۶	۲۰۰	۶,۲	۱۶۳
ZT۴S-۶	۱,۲	۵,۱	۱۱۵	۲,۵	۱۴	۸,۲	۳,۳	۷۹	۳,۱	۳۹,۴
ZT۴S-۷	۳۶۱	۵,۹	۱۱۱۰	۰,۸	۱۷	۱۶۴	۱۷,۶	۴۸۳	۶,۷	۱۹۹
ZT۴S-۸	۳۳۷	۹,۳	۱۲۲۰	۱۳	۲۲	۱۴۴	۱۱,۱	۴۷۵	۶	۲۳۴
ZT۴S-۹	۱۲۸	۱۸,۱	۲۶۲۰	۰,۲	۳۰	۷۹	۴,۳	۲۴۰	۸,۰	۱۷۷
ZT۴S-۱۰	۱۲۴	۲۹,۶	۲۱۶۰	۱۶,۶	۱۴	۷۶,۴	۱۶,۸	۴۸۲	۶,۴	۳۹۹

#### ۴-۳-۵- نمونه‌های پراکنده برداشت شده از محدوده اکتشافی غرب سامن و نتایج مطالعه آنها

برای تکمیل مشاهدات صحرایی و شناسایی دقیق واحدهای سنگی، آلتراسیون و کانی‌سازی موجود در محدوده اکتشافی و تعبیر و تفسیر مشاهدات صحرایی در حین تهیه نقشه زمین‌شناسی /۱۰۰۰

۱:۲۰ محدوده اکتشافی سامن تعداد ۲۳ نمونه جهت مطالعات کانی‌شناسی- سنگ‌شناسی و ICP-MS به صورت پراکنده از قسمتهای مختلف محدوده اکتشافی اخذ شد. از این نمونه‌ها ۱۱ نمونه جهت مطالعات ICP-MS، ۶ نمونه جهت مطالعات کانی‌شناسی و ۶ نمونه جهت مطالعات سنگ‌شناسی گرفته شد. موقعیت کلیه نمونه‌های گرفته شده و نوع مطالعه آنها بر روی نقشه ۳-۱- مشخص شده است. در زیر به شرح مختصری از هر کدام از نمونه‌ها و نتایج حاصل از مطالعات آزمایشگاهی آنها می‌پردازیم:

#### - نمونه ۴ ZS-۴

نمونه ۴ ZS-۴ از مختصات ۳۷۸۹۴۴۵ E و ۲۷۳۴۴۴ N جهت آنالیزه روش ICP-MS و از ۵۰ متری شرق نمونه ZSH-۴۸ از توده گرانودیوریتی اخذ شد. در این قسمت خردشده‌گی و شکستگی‌های در سنگ دیده می‌شود. رگه و رگچه‌های اکسید‌آهن به صورت استوک ورک و در شکستگی‌ها، رگچه‌های سیلیسی به قطر حدود ۱ میلیمتر دیده می‌شوند. توده غنی از اکسید‌آهن بوده و کانی‌های اسکارن نیز در آنها وجود دارد. در جدول شماره ۴-۷ نتایج حاصل از آنالیز این نمونه به روش ICP-MS آورده شده است. در این نمونه طلا گزارش نشده است و عیار تنگستن نیز در آن بسیار ناچیز است. حضور عناصر کمیاب در نمونه نشان می‌دهد که اکسیدهای آهن محصول آلتراسیون سوپرژن سولفیدها هستند.

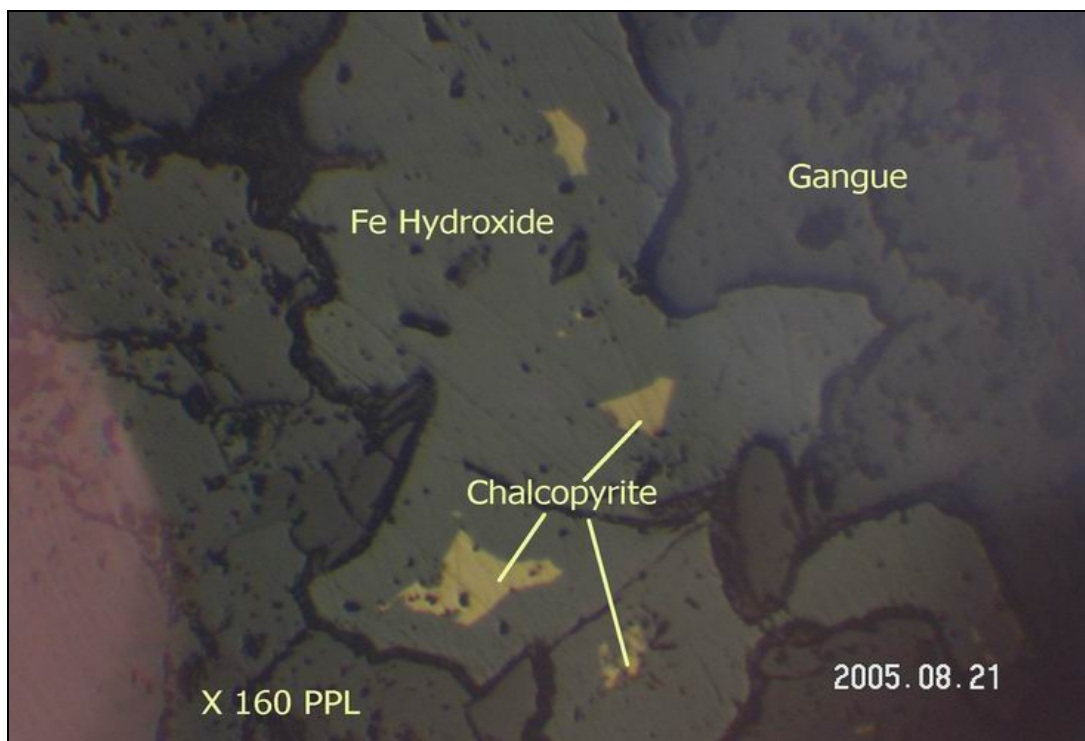
#### جدول ۴-۷ نتایج آنالیز شیمیایی نمونه ۴ ZS-۴

	Au	Cr	Mn	Ba	Ti	Fe	Hg	Ag	As	Bi	Co	Cu	Mo	Ni	Pb	Sb	Zn	Sn	W
UNITS	ppb																		
ZS-۴	۰	۹	۴۳۲	۵۸۱	۲۲۵۰	۲۴۷۰۰	۰,۶۳	۱,۸۳	۳,۴	۰	۷,۵	۱۰,۵	۱	۸	۲۲۰	۱۶,۴	۳۴,۹	۱,۲	۳,۲

#### - نمونه‌های ZS-۵ و ZS-۶

این دو نمونه از مختصات ۳۷۸۹۳۶۰ E و ۲۷۰۹۹۰ N و از آهکهای سیاهرنگ زون اسکارن انجیره اخذ شده‌اند. کاملاً کریستالیزه شده و دارای میان لایه‌های چرتی می‌باشد. نمونه ۵ ZS-۵ جهت مطالعه مقطع صیقلی و نمونه ۶ ZS-۶ جهت آنالیزه روش ICP-MS برداشت شده است. کانی‌سازی در این قسمت بصورت نواری و چین خورده است. بخشی از رخمنون کربناتی که ارگانیک و برای کانی‌سازی مستعد بوده است، شاید از اساس بصورت ژله‌ای کربناتی - سیلیسی رسوب کرده است. این آهک کاملاً کریستالیزه و سطح هوازده آن سیاهرنگ است. میان لایه‌های چرتی در قسمتهایی از سنگ دیده می‌شوند. در صورتی که در مرمرهای مناطق دیگر میان لایه‌های چرتی وجود ندارند. کانی‌سازی سیلیس به صورت خودشکل و رگه‌های سیلیسی با عرض حدود ۳۰ سانتیمتر، همچنین اکسیدهای آهن

به وفور در شکستگیها دیده می‌شود. در شرق این نمونه زون اسکارن انجیره رخمنون دارد و در آن کانیهای مس (مالاکیت، آزوریت و کالکوپیریت)، اپیدوت، کلسیت و سیلیس به صورت سطحی و یا پرشدگی در شکستگیها سنگ دیده می‌شوند. نتیجه حاصل از مطالعه مقطع صیقلی نمونه ZS-5 حاکی است که قطعات کالکوپیریت به ابعاد ۱۰۰ تا ۵۰۰ میکرون سنگ در اثر آلتراسیون از اطراف توسط هیدروکسید آهن جانشین شده‌اند (شکل ۴-۲). فراوانی پیریت در آن حدود ۱٪ است. مalaکیت و اکسیدهای آهن نیز در مقطع مشاهده می‌شود.



شکل ۴-۲- تصویر میکروسکوپی نمونه ZS-5

درنتیجه حاصل از آنالیز شیمیایی نمونه ZS-6، میزان طلا ۱۴۴ ppb، تنگستن ۷/۹ ppm و مس ۱/۲۳ درصد گزارش شده است که کانی‌سازی طلا، تنگستن و مس را به خوبی در این زون به اثبات می‌رساند. در جدول شماره ۴-۸ نتایج حاصل از آنالیز این نمونه به روش ICP-MS آورد شده است.

جدول ۴-۸ نتایج آنالیز شیمیایی نمونه ZS-6

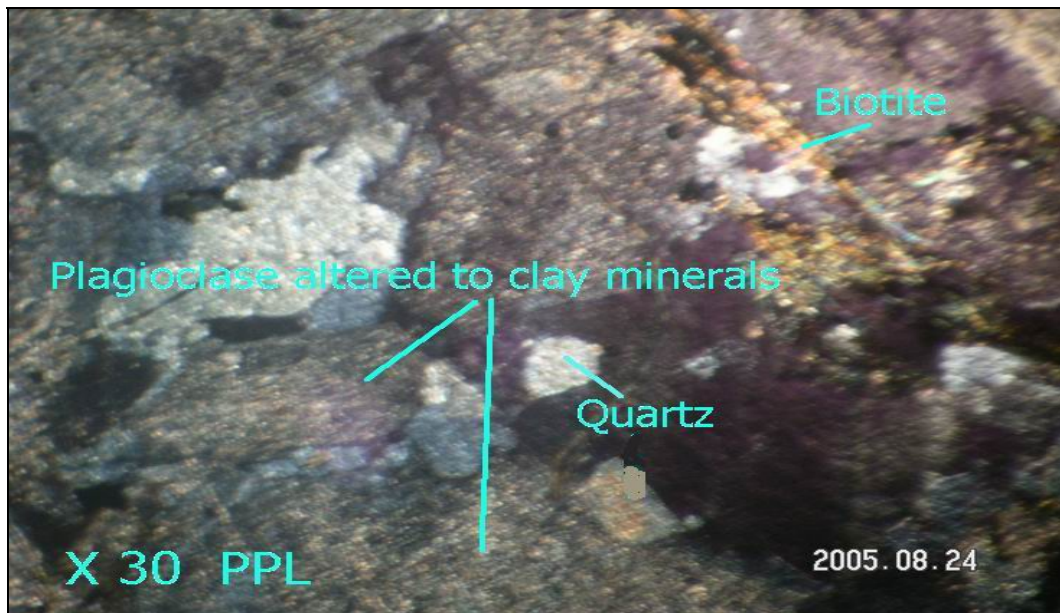
UNITS	Au	Cr	Mn	Ba	Ti	Fe	Hg	Ag	As	Bi	Co	Cu	Mo	Ni	Pb	Sb	Zn	Sn	W
	ppb	ppm																	
ZS-6	۱۴۴	۵۳	۳۸۹۰	۲۲,۹	۲۴۰	۷۲۲۰	۰,۶۶	۵۲,۹	۶۳۵	۱۱۴۰	۴۲,۷	۱۲۳۰	۱,۹	۶۸	۶۷۹	۲۸۴	۷۳۸۰	۳,۷	۷,۹

- نمونه ZS-7

نمونه ZS-7 از مختصات ۳۷۹۰۱۴۱ N و ۲۷۱۶۵۳ E جهت تهیه مقطع نازک و مطالعات

سنگ‌شناسی از حدود ۱/۵ کیلومتری شمال روستای انجیره از کناره جاده آورزمان گرفته شد. این سنگ یک گرانیتوئیدی است که در مشاهدات نمونه دستی، سطح هوازده آن سبزرنگ و در سطح تازه، کمی سفید و صورتی می‌باشد. کوارتز آن نسبتاً کم است. رنگ سبز نمونه مربوط به حضور آمفیبول، کلریت، بیوتیت کلریتی شده و اپیدوت است.

در نتایج حاصل از مطالعات مقطع نازک این نمونه، کانیهای موجود در سنگ پلازیو کلازها که تجزیه نسبتاً وسیعی به کانیهای رسی پیدا کرده و کانیهای کوارتز، بیوتیت، آمفیبول دگرسان شده همچنین کانیهای فرعی آپاتیت، اسفن و کانیهای ثانوی رسی، سریسیت، کلریت، کربنات کلسیم و اکسیدهای آهن و سیلیس نیز گزارش شده است (تصویر ۴-۳). نام سنگ با توجه به مطالعه صورت گرفته گرانیتوئیدی دگرسان شده عنوان شده است. نتیجه مطالعه سنگ‌شناسی نمونه فوق الذکر به صورت کامل در ضمیمه ۱ آمده است.



شکل ۴-۳ - تصویر میکروسکوپی نمونه ۷

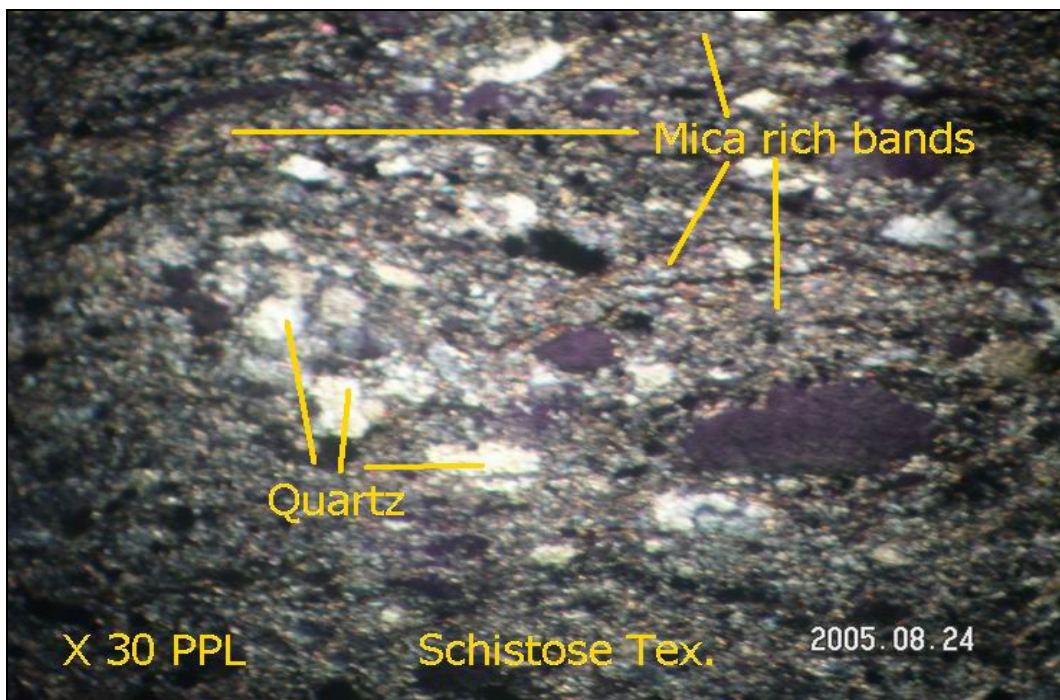
- نمونه ZS-۱ -

این نمونه از مختصات ۲۷۵۴۵۳ E ۳۷۸۸۶۴۲ N جهت تهیه مقطع نازک و از یک واحد ماسه سنگ سیاه‌رنگ هورنفلسی شده، گرفته شد. ضخامت لایه‌ها در این واحد زیاد است. رنگ ظاهری سنگ سیاه و بعضی قسمتها به دلیل آغشته‌گی به اکسید آهن، تقریباً قرمزرنگ است. سطح تازه سنگ خاکستری تیره همراه با اکسیدهای آهن (لیمونیت، هماتیت) می‌باشد.

نتایج حاصل از مطالعه مقطع نازک تهیه شده از آن حاکی است که این سنگ دگرسان شده و تجدید تبلور یافته است. کانیهای آن شامل سریسیت-مسکوویت، دو نوع کوارتز، یکی درشت بلور

که اغلب به صورت عدسی و چشم‌هایی در امتداد شیستوزیته سنگ جهت یافته‌گشته دارند و ریزبلور می‌باشند (تصویر ۴-۴). در واقع، سنگ بافت گرانو-لپیدوبلاستیک دارد. شاید از اساس یک شیل ماسهای یا گریواک بوده است.

رگه‌های باریک اکسیدآهن در جهت شیستوزیته و رگه‌های سیلیس در جهات مختلف در سنگ مشاهده می‌شود. این سنگ یک سنگ دگرگونی و حاوی کانیهای فیلوسیلیکات، کوارتز و اوپاک گزارش شده است. نتیجه مطالعه سنگ‌شناسی نمونه به صورت کامل در ضمیمه ۱ گزارش آمده است.



شکل ۴-۴ - تصویر میکروسکوپی نمونه ZS-۸

- نمونه ۹ -

مختصات نمونه ۹ ZS-۹ E ۲۷۴۶۳۵ و N ۳۷۸۹۲۵۲ می‌باشد. این نمونه جهت تهیه مقطع نازک و از ۲ کیلومتری شرق روستای انجیره از مجاورت واحد مرمر گرفته شد. سنگ بسیار شکننده و به رنگ ظاهری، خاکستری روشن و در سطح تازه بیشتر سبز خیلی روشن می‌باشد. دندانهای منگنز در آن بسیار زیاد است و در تمام سطوح شکستگی سنگ می‌توان آن را مشاهده نمود. نتایج حاصل از مطالعه مقطع نازک سنگ حاکی است که این سنگ تجدید تبلور یافته، تکتونیزه شده و بافت گرانولار دارد. کانیهای آن شامل پلازیوکلاز بلورهای با ترکیب الیگوکلاز، نیمه شکل دار با حواشی خورده شده و برخی از بلورهای آن تجزیه وسیع به کانیهای رسی، سریسیت، اپیدوت نشان می‌دهد. بلورهای بی‌شکل آلکالی فلدسپات با کانیهای رسی، کوارتز بی‌شکل تجدید تبلور یافته، آمفیبول در سنگ مشاهده می‌شود (تصویر ۴-۵). کانیهای ثانویه سنگ، کانیهای رسی، سریسیت، اپیدوت، سیلیس، اکسیدآهن و

کانیهای فرعی آن اسفن، کانیهای اوپاک می‌باشد. این سنگ یک کوارتزمنزودیوریت است که به شدت آلتره و دگر ریخته شده است. نتیجه مطالعه سنگ‌شناسی نمونه به صورت کامل در ضمیمه ۱ گزارش آمده است.



شکل ۴-۵- تصویر میکروسکوپی نمونه ZS-۹

#### - نمونه ZS-۱۰ -

نمونه ZS-۱۰ از مختصات E ۲۷۰۹۵۹ و N ۳۷۸۹۳۴ جهت آنالیز به روش ICP-MS اخذ شد. نمونه مذکور از داخل واحد اسکارن و از زون سیلیسی کانی‌سازی شده، گرفته شده در سطح و متن آن مالاکیت دیده می‌شود. کانی کالکوپیریت با جلای فلزی داخل سنگ دیده می‌شود. وزن مخصوص نمونه کمی بیشتر از حالت طبیعی است.

نتایج مطالعات ICP-MS نمونه فوق نشان می‌دهد که طلای آن ppb ۷۹ و تنگستن ۳۶/۸ ppm می‌باشد. در جدول شماره ۴-۹ نتایج حاصل از آنالیز این نمونه به روش ICP-MS آورده است.

#### جدول ۹-۴- نتایج آنالیز شیمیابی نمونه ZS-۱۰

	Au	Cr	Mn	Ba	Ti	Fe	Hg	Ag	As	Bi	Co	Cu	Mo	Ni	Pb	Sb	Zn	Sn	W
UNITS	ppb	ppm																	
ZS-10	۷۹	۲۰	۲۰۰	۷,۵	۰,۰	۱۶۵۰۰	۰,۱۹	۲۲,۳	۱۹۰	۱۱۱۰	۲۰,۸	۹۴۲۰	۱,۳	۲۰	۴۷,۹	۳۶,۸	۹۰۹۰	۶,۳	۳۶,۸

-نمونه ۱۱ ZS-

نمونه ۱۱ ZS از مختصات N ۳۷۸۹۳۴۱ E ۲۷۰۹۵۹ جهت آنالیز به روش ICP-MS برداشت شد. این نمونه از یک رگه سیلیسی قهوه‌ای داخل واحد اسکارن گرفته شده است. اکسیدهای آهن به وفور در سنگ دیده می‌شود. در متن سنگ نیز مالاکیت دیده می‌شود.

نتایج ICP-MS نمونه فوق نشان می‌دهد که طلای آن ۲۶ ppm و عیار مس در آن ۰/۳۵٪ می‌باشد. در جدول شماره ۴-۱۰ نتایج حاصل از آنالیز این نمونه به روش ICP-MS آورده شده است.

#### جدول ۴-۱۰- نتایج آنالیز شیمیایی نمونه ۱۱ ZS

	Au	Cr	Mn	Ba	Ti	Fe	Hg	Ag	As	Bi	Co	Cu	Mo	Ni	Pb	Sb	Zn	Sn	W
UNITS	ppb																		
ZS-۱۱	۲۶	۵۳	۶۱۷	۵۴,۴	۱۰,۰	۶۱۳۰	۰,۱۸	۱۵	۱۲,۹	۲۱۳۰	۲۰,۶	۳۵۶۰	۴,۲	۱۵	۳۵۴	۱۶,۱	۶۱۸	۲,۵	۲,۷

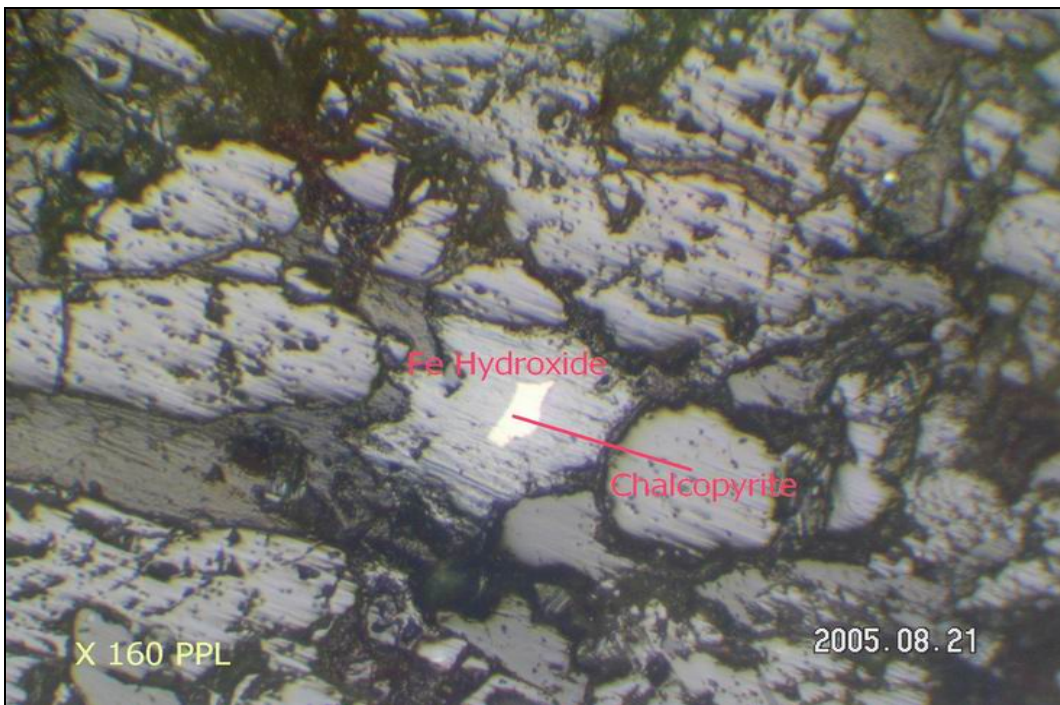
-نمونه ۱۲ ZS-

نمونه ۱۲ ZS از مختصات N ۳۷۸۹۳۴۲ E ۲۷۰۹۵۹ جهت مطالعه کانی‌شناسی به روش XRD از واحد اسکارن انجیره گرفته شد. نتیجه مطالعه این نمونه حاکی است که کانی فاز اصلی در این نمونه گارنت آندرادیت و کانی فاز فرعی آن کوارتز می‌باشد. نتیجه حاصل از مطالعه XRD این نمونه در ضمیمه ۳ گزارش آمده است.

-نمونه‌های ZS-۱۳ و ZS-۱۴-

نمونه‌های ZS-۱۳ و ZS-۱۴ از مختصات N ۳۷۸۹۰۸۹ E ۲۷۵۳۹۸ جهت تهیه و مطالعه مقطع صیقلی و آنالیز به روش ICP-MS برداشت شده است. این نمونه‌ها از اسکارن علیمراد در فاصله حدود ۳ کیلومتری شرق روستای علیمراد گرفته شدند. مرمرهای مجاورت توده نفوذی تحت تأثیر توده قرار گرفته در آن کانیهای مالاکیت و کالکوپیریت دیده می‌شود.

در نمونه ZS-۱۳ کالکوپیریت داخل فضاهای خالی استقرار یافته است (تصویر ۶-۴). در اثر آلتراسیون گاه تا حدود ۷۰٪ سطح کالکوپیریت توسط هیدرواکسید آهن جانشین شده است. نتیجه حاصل از مطالعه مقطع صیقلی نمونه فوق در ضمیمه ۱ به صورت کامل گزارش آمده است.



شکل ۴-۶ - تصویر میکروسکوپی نمونه ZS-۱۳

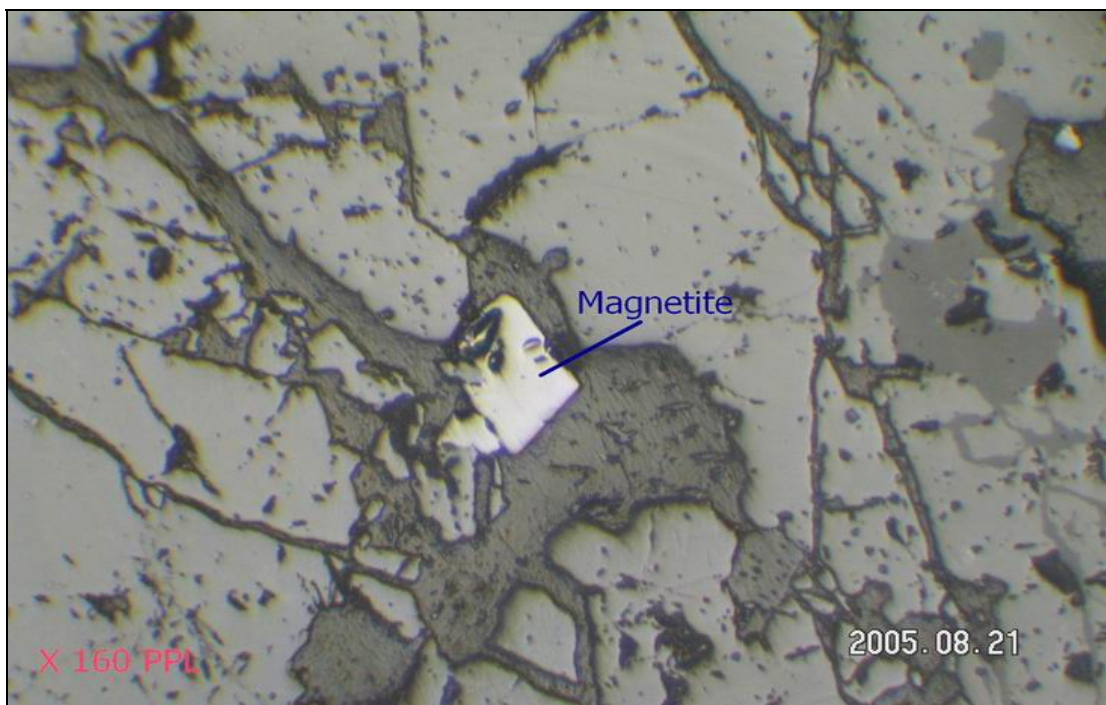
نمونه ZS-۱۴ جهت آنالیز به روش ICP-MS گرفته شد. به خصوصیات سنگ در بالا اشاره شد. در این نمونه عیار طلا ۴۳ppb، تنگستن بسیار ناچیز ۲ppm و مس ۹۵٪ گزارش شده است. در جدول شماره ۱۱-۴ نتایج حاصل از آنالیز این نمونه به روش ICP-MS آورده شده است.

#### جدول ۴-۱۱ - نتایج آنالیز شیمیایی نمونه ZS-۱۴

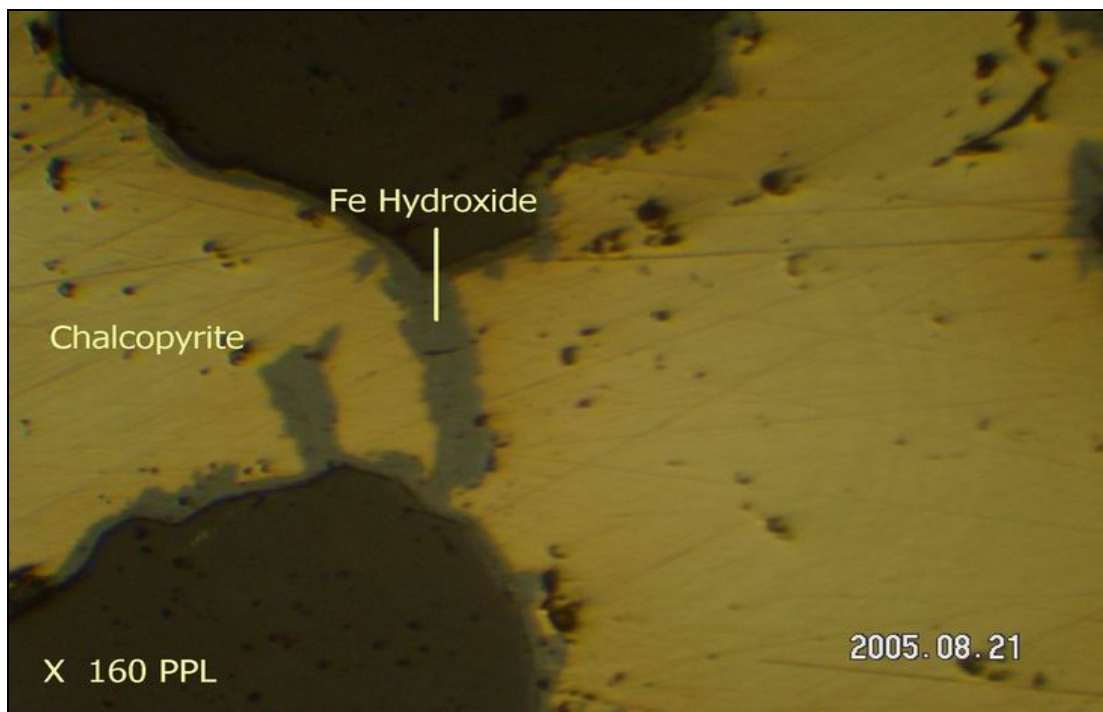
	Au	Cr	Mn	Ba	Ti	Fe	Hg	Ag	As	Bi	Co	Cu	Mo	Ni	Pb	Sb	Zn	Sn	W
UNITS	ppb																		
ZS-۱۴	۴۳	۳۷	۲۱۷۰	۰,۶	۳۱۹۰	۱۰,۸۰۰	۰	۹,۲۵	۳۶,۴	۲,۵	۱۴,۱	۹۰۱۰	۱,۰	۴۰	۱۵	۰,۹	۴۱۳	۱۰,۳	۲

- نمونه ZS-۱۵ -

نمونه ZS-۱۵ از مختصات E ۲۷۰۹۵۰ و N ۳۷۸۹۳۰ و از اسکارن انجیره جهت مطالعه مقطع صیقلی گرفته شد. در مشاهدات صحرایی، کانیهای کالکوپیریت، کالکوسیت و کوولین در سنگ مشاهده شده است. نتیجه حاصل از مطالعه مقطع صیقلی این نمونه حاکی است که منیتیت و کالکوپیریت در این نمونه وجود دارند (تصاویر ۴-۷ و ۴-۸). فراوانی منیتیت ۲٪ و فراوانی کالکوپیریت شامل ۳ لکه است که به صورت ثانویه و در شکستگیها ایجاد شده‌اند. نتیجه حاصل از مطالعه مقطع صیقلی این نمونه به صورت کامل در ضمیمه ۱ گزارش آمده است.



شکل ۷-۴ - تصویر میکروسکوپی نمونه ZS-۱۵

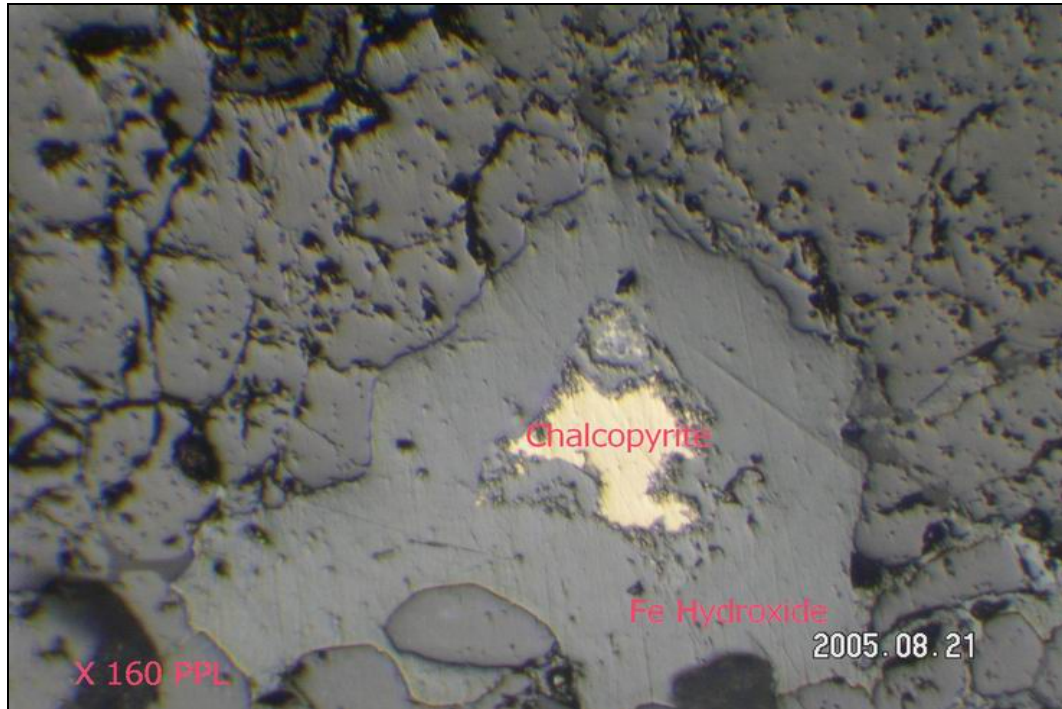


شکل ۸-۴ - تصویر میکروسکوپی نمونه ZS-۱۵

#### - نمونه ZS-۱۶ -

نمونه ZS-۱۶ از زون اسکارن انجیره و از مختصات  $37^{\circ}8'9''\text{E}$  و  $27^{\circ}0'9''\text{N}$  جهت مطالعه مقطع صیقلی گرفته شد. در این نمونه پس از مطالعه مقطع صیقلی آن، کانیهای کالکوبیریت و بیریت

گزارش شده است. فراوانی کالکوپیریت ۲٪ و فراوانی پیریت بسیار کم است (تصاویر ۴-۶). پیریت‌ها آلتله شده و هیدروواکسیدهای آهن جانشین آن شده‌اند. مالاکیت و هیدروواکسیدهای آهن به صورت ثانویه در سنگ در سطح گانگها و در داخل فضاهای خالی و شکستگیها وارد شده‌اند. نتیجه حاصل از مطالعه مقطع صیقلی این نمونه در ضمیمه ۱ گزارش آمده است.

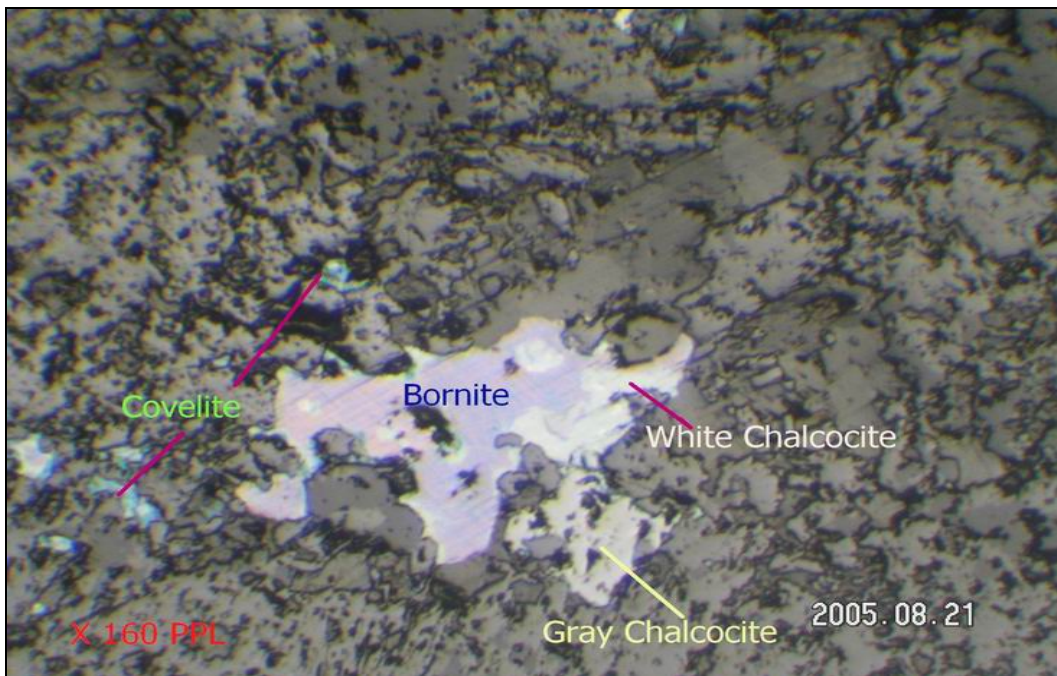


شکل ۹-۴ - تصویر میکروسکپی نمونه ZS-۱۶

- نمونه ZS-۱۷ -

نمونه ZS-۱۷ جهت تهیه مقطع صیقلی از زون اسکارن انجیره و از مختصات ۲۷۰۹۵۰ E و ۳۷۸۹۳۰ N گرفته شد. در نمونه دستی آن کانی‌سازی مس در متن سنگ به صورت دانه پراکنده دیده می‌شد.

نتیجه مطالعه مقطع صیقلی این نمونه حاکی است در این سنگ کانیهای کالکوپیریت، بورنیت، کوولین وجود دارند. عیار کانیهای مس در سنگ حدود ۳٪ می‌باشد. بورنیت و کالکوپیریت اکثراً بهمراه هم دیده می‌شوند. مجموعه‌های بورنیتی، کالکوپیریتی گاه تحت تأثیر آلتراسیون قرار گرفته و کوولین در بعضی قسمتهای آنها در حال جانشینی است (تصاویر ۴-۱۰). نتیجه حاصل از مطالعه مقطع صیقلی این نمونه در ضمیمه ۱ گزارش آمده است.



شکل ۴-۱۰- تصویر میکروسکوپی نمونه ZS-۱۷

#### -نمونه ZS-۱۸-

نمونه ZS-۱۸ از مختصات ۳۷۸۹۶ N و ۲۷۰۸۳۶ E و از غرب اسکارن انجیره گرفته شد. سنگ به شدت سیلیسی شده است این در واقع از لایه سیلیسی اسکارن انجیره اخذ شده است. در نمونه دستی این نمونه کانی‌سازی مالاکیت، آزوریت، کالکوسیت و منگنز دیده می‌شود. نتیجه حاصل از مطالعه ICP-MS نمونه فوق حاکی است که عیار طلا در این نمونه ۲۶ ppm و تنگستن ۶۱/۹ ppm میزان مس ۱/۳۴٪ می‌باشد. در جدول شماره ۴-۱۲ نتایج حاصل از آنالیز این نمونه به روش ICP-MS آورده شده است.

#### جدول ۴-۱۲- آنالیز شیمیایی نمونه ZS-۱۸

UNITS	Au	Cr	Mn	Ba	Ti	Fe	Hg	Ag	As	Bi	Co	Cu	Mo	Ni	Pb	Sb	Zn	Sn	W
	ppb																		
ZS-۱۸	۲۶	۱۰.۹	۳۵۴۰	۴.۵	۱۰۰	۱۶۹۰۰	۰.۶۳	۱.۲۴	۲۹۴	۲۹.۹	۳۵.۸	۱۳۴۰۰	۶.۱	۲۱	۳۸.۷	۸.۴	۳۴۰۰	۱۲	۶۱.۹

#### -نمونه ZS-۱۹-

نمونه ZS-۱۹ از مختصات ۳۷۸۹۱۷۸ N و ۲۷۱۱۵۵ E و از کنتاکت متامورفیسم در جنوب شرقی اسکارن جهت آنالیز به روش ICP-MS گرفته شده، سنگ به شدت سیلیسی است. این نمونه نیز در واقع از لایه سیلیسی زون اسکارن انجیره و از حاشیه توده نفوذی اخذ گردیده، کانی‌سازی مالاکیت، منگنز، اپیدوت در سنگ مشاهده می‌شود. نتایج حاصل از مطالعه این نمونه حاکی است که طلا در آن ۳۹ ppm، تنگستن ۲۰.۸ ppm و عیار مس نیز ۰.۳۴٪ می‌باشد. در جدول شماره ۴-۱۳ نتایج حاصل از

آنالیز این نمونه به روش ICP-MS آورده شده است.

#### جدول ۴-۱۳- آنالیز شیمیایی نمونه ZS-۱۹

	Au	Cr	Mn	Ba	Ti	Fe	Hg	Ag	As	Bi	Co	Cu	Mo	Ni	Pb	Sb	Zn	Sn	W
UNITS	ppb																	ppm	
ZS-۱۹	۳۷	۷۳	۱۵۴۰۰	۱۶۴	۱۲۵۰	۱۱۸۰۰۰	۱,۰۹	۹,۷۷	۴۰,۲	۳۰۷	۲۳,۷	۳۴۳۰	۱۵,۶	۲۰	۸۴,۱	۵,۶	۱۶۰۰	۶,۵	۲۰۸

#### - نمونه ZS-۲۰

نمونه ZS-۲۰ از مختصات E ۲۷۸۵۳۴ و N ۳۷۹۱۵۸۹ و از اسکارن غرب روستای ایرانه سامن گرفته شد. طلا در آن بسیار ناچیز ۱ ppm، تنگستن ۱۲/۹ ppb و عیار عنصر مس نیز ۱۱۰ ppm می باشد که بسیار ناچیز هستند.

در جدول شماره ۴-۱۴ نتایج حاصل از آنالیز این نمونه به روش ICP-MS آورده شده است.

#### جدول ۴-۱۴- آنالیز شیمیایی نمونه ZS-۲۰

	Au	Cr	Mn	Ba	Ti	Fe	Hg	Ag	As	Bi	Co	Cu	Mo	Ni	Pb	Sb	Zn	Sn	W
UNITS	ppb																	ppm	
ZS-۲۰	۱	۷۳	۶۵۸	۷۶۹	۸۱۳۰	۲۶۸۰۰	۰,۲۱	۰,۲۴	۲۹,۶	۱,۳	۱۱,۱	۱۱۰	۲,۹	۱۲	۱۲,۶	۷۰,۷	۸۶,۲	۹,۴	۱۲,۹

#### - نمونه ZS-۲۱

نمونه ZS-۲۱ از مختصات E ۲۷۸۵۳۴ و N ۳۷۹۱۵۸۹ و از اسکارن غرب روستای ایرینه سامن گرفته شد. این نمونه از سیلیس‌های قهوه‌ای که به صورت قلوه‌هایی در داخل واحد آهک کریستالیزه قرار دارد اخذ شد. میزان طلا در این نمونه به نسبت سایر نمونه‌ها بالاترین و تنگستن ۲۰/۳ ppm و عیار مس این نمونه ۷/۹۸٪ می باشد. این نمونه برای اطمینان از نتیجه، یک بار دیگر نیز با شماره ZS-۲۱۵ ICP-MS به آزمایشگاه ارسال شد. در این نمونه طلا ۵۵۰ ppb، تنگستن ۴۰/۳ ppm و میزان عیار مس نیز ۶/۲ درصد می باشد. که بالاترین عیار مس در نمونه‌های محدوده سامن می باشد. این نمونه شاهد خوبی بر وجود کانی‌سازی، همراه با سیلیس‌هایی است که در زون اسکارن مشاهده می شود. در جدول شماره ۴-۱۵ نتایج حاصل از آنالیز این نمونه به روش ICP-MS آورده شده است.

#### جدول ۱۵-۴ - آنالیز شیمیایی نمونه ZS-۲۱

UNITS	Au	Cr	Mn	Ba	Ti	Fe	Hg	Ag	As	Bi	Co	Cu	Mo	Ni	Pb	Sb	Zn	Sn	W
ppb	ppm																		
ZS-۲۱	۵۲۳	۱۰۶	۱۹۶۰	۱۸,۴	۵۹	۱۸۲۰۰	۰,۵۳	۸,۶۶	۷۸۵	۱۸۸	۳۲,۳	۷۹۸۰۰	۳۴,۴	۲۴	۴۱۶	۶۱,۳	۱۷۴	۱۰,۹	۲۰,۳
ZS-۲۱S	۰۰۰	۱۰۱	۲۰۳۰	۱۷,۹	۶۳	۱۸۹۰۰	۰,۹۰	۷	۶۰۰	۱۷۲	۲۹,۶	۶۲۰۰	۲۷,۲	۲۲	۰۷۹	۱۰۴	۱۴۱	۱۲,۹	۴۰,۳

#### - نمونه ZS-۲۲ -

نمونه ZS-۲۲ از مختصات E۲۷۹۱۸۵ و N۳۷۹۱۱۷ از اسکارن جنوب روستای سراب سامن جهت مطالعه ICP-MS گرفته شد. سیلیس‌های قهوه‌ای رنگ در این اسکارن مشاهده می‌شود. اکسیدهای آهن (هماتیتی و لیمونیتی) در سنگ فراوانند. عیار طلا در این نمونه ۷ ppb، تنگستن آن بسیار ناچیز و ۱ ppm و عیار مس در این نمونه ۳۶۹ ppm می‌باشد. در جدول شماره ۱۶-۴ نتایج حاصل از آنالیز این نمونه به روش ICP-MS آورده شده است.

#### جدول ۱۶-۴ - آنالیز شیمیایی نمونه ZS-۲۲

UNITS	Au	Cr	Mn	Ba	Ti	Fe	Hg	Ag	As	Bi	Co	Cu	Mo	Ni	Pb	Sb	Zn	Sn	W
ppb	ppm																		
ZS-۲۲	۷	۷۶	۱۲۴۰	۶۶,۱	۳۰۱	۶۰۰۰	۰,۱۳	۰,۰۷	۶۳	۰,۹	۲,۳	۳۶۹	۵,۲	۱۴	۸۹,۳	۲۴,۳	۱۸۷	۱,۴	۱

#### - نمونه ZS-۲۳ -

نمونه ZS-۲۳ از مختصات E۲۷۹۶۸۰ و N۳۷۸۸۶۵۰ از اسکارن جنوب سراب سامن جهت آنالیز به روش ICP-MS گرفته شد. در این نمونه که از گرانیتوئید گرفته شده، عیار طلا بسیار ناچیز و ۱ ppm و عیار تنگستن ۳۱/۹ ppm و عیار مس نیز ۳۷۹ ppm گزارش شده است. در جدول شماره ۱۷-۴ نتایج حاصل از آنالیز این نمونه به روش ICP-MS آورده شده است.

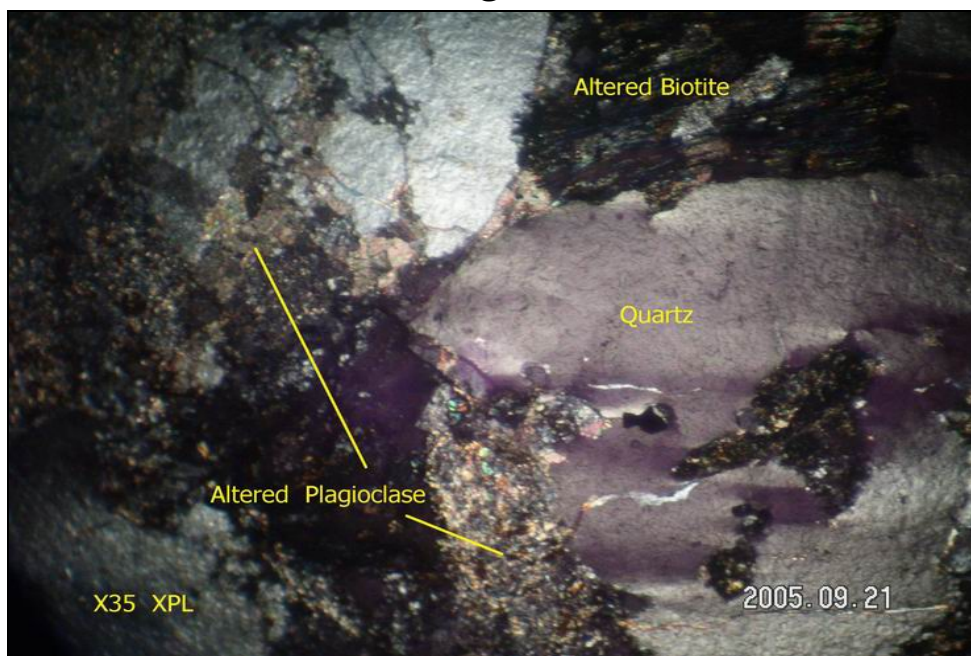
#### جدول ۱۷-۴ - آنالیز شیمیایی نمونه ZS-۲۳

UNITS	Au	Cr	Mn	Ba	Ti	Fe	Hg	Ag	As	Bi	Co	Cu	Mo	Ni	Pb	Sb	Zn	Sn	W
ppb	ppm																		
ZS-۲۳	۱	۷۹	۲۵۷۰	۱۶۷	۶۵۳۰	۸۶۸۰۰	۰,۳۱	۰,۲۱	۳۲,۵	۱	۱۹,۸	۳۷۹	۴۰,۲	۴۱	۱۱,۷	۲۶,۴	۹۴,۶	۱۰,۵	۳۱,۹

#### - نمونه ZS-۲۴ -

نمونه ZS-۲۴ از مختصات E۲۷۹۶۸۰ و N۳۷۸۸۶۵۰ از اسکارن جنوب روستای سراب سامن جهت مطالعه مقطع نازک گرفته شد. این سنگ یک گرانیتوئید می‌باشد. نتیجه حاصل از مطالعه این سنگ حاکی است کانیهای موجود در این سنگ شامل کوارتز بی‌شکل با اندازه‌های مختلف که حدود ۲۰٪ حجم سنگ را تشکیل می‌دهد، پلاژیوکلاز به صورت بلورهای درشت توسط کانیهای ثانوی مثل

سریسیت، اکسید آهن، کربنات کلسیم و.... جایگزین شده است، فلدوپاتهای آلکالن به کانیهای رسی، بیوتیت به کلریت، کربنات کلسیم و اکسید آهن تجزیه شده اند. با توجه به مطالعات انجام شده نام سنگ گرانو دیوریت تجزیه شده می باشد. نتیجه مطالعه مقطع نازک این نمونه در ضمیمه ۱ گزارش آمده است.



شکل ۴-۱۱- تصویر میکروسکوپی نمونه ZS-۲۴

#### - نمونه ZS-۲۵ -

نمونه ZS-۲۵ از مختصات ۳۷۸۸۳۹۴ N و ۲۷۹۴۵۳ E و از اسکارن سراب سامن جهت مطالعات XRD گرفته شد. نتیجه حاصل از مطالعه XRD این نمونه حاکی است که کانیهای فاز اصلی این نمونه هورنبلند و کوارتز و کانیهای فاز فرعی آن اپیدوت، کلسیت، آلبیت و ارتوکلاز می باشد. نتیجه مطالعه XRD این نمونه در ضمیمه ۳ گزارش آمده است.

جدول ۴-۱۸- نمونه‌های متفرقه محدوده غرب سامن

W	Au	نوع مطالعه	شرح	محصصات نمونه		شماره نمونه	ردیف
				X	Y		
۳,۲	۰	ICP	این نمونه از گرانودیوریت که دارای رگه و رگچه‌های آهن بصورت استوک ورک می‌باشد، برداشت شده است. در شکستگی‌ها رگچه‌های سیلیسی به قطر یک میلیمتر واکسید آهن در توده به وفور مشاهده می‌شود.	۲۷۳۴۴۴	۳۷۸۹۴۴۵	ZS-۴	۱
		Polish	این نمونه از آهکهای سیاهرنگ که کاملاً کریستالیزه شده و دارای میان لایه‌های چرتی می‌باشد، گرفته شد. سیلیس بتصورت خودشکل و رگه‌ای با عرض حدود ۳۰ سانتی متر در منطقه دیده می‌شود. اکسیدهای آهن بوفور در شکستگی‌ها مشاهده می‌شوند. در شرق این نمونه زون اسکارنی حاوی مالاکیت، آزوریت، کالکوسبیت، اپیدوت، کلسیت، و سیلیس پر شده در شکستگی‌ها دیده می‌شود.	۲۷۰۹۹۰	۳۷۸۹۳۶۰	ZS-۵	۲
۷,۹	۱۴۴	ICP	این نمونه از بتصورت خودشکل و رگه‌ای با عرض حدود ۳۰ سانتی متر در منطقه دیده می‌شود. اکسیدهای آهن بوفور در شکستگی‌ها مشاهده می‌شوند. در شرق این نمونه زون اسکارنی حاوی مالاکیت، آزوریت، کالکوسبیت، اپیدوت، کلسیت، و سیلیس پر شده در شکستگی‌ها دیده می‌شود.			ZS-۶	۳
		Thin Sec.	این نمونه از توده گرانودیوریتی که در سطح هوازده و سبز رنگ است، گرفته شد. در سطح تازه رنگ سنگ کمی سفید و صورتی است. بلورهای صورتیرنگ در آن مشاهده می‌شود. کوارتز به نسبت کم است.	۲۷۱۶۵۳	۳۷۹۰۱۴۱	ZS-۷	۴
		Thin Sec.	این نمونه از ماسه سنگ سیاه رنگ هورنفاسی برداشت شده است. ظاهری سیاه متمایل به قرمز (بدلیل وجود اکسیدهای آهن) و در سطح غیر هوازده سنگ خاکستری تیره همراه با لیمونیت و گوتیت می‌باشد.	۲۷۵۴۵۳	۳۷۸۸۶۴۲	ZS-۸	۵
		Thin Sec.	این نمونه از گرانودیوریت در مجاورت مرمر گرفته شد. بسیار شکننده و به رنگ خاکستری روشن می‌باشد. سطح تازه آن سبز کم رنگ بوده و دندریتهای منگنز در تمام سطوح شکستگی قابل مشاهده است.	۲۷۴۶۳۵	۳۷۸۹۲۵۲	ZS-۹	۶
۳۶,۸	۷۹	ICP	این نمونه از واحد اسکارن و از گرانودیوریت برداشت شده است. در سطح و متن آن مالاکیت مشاهده می‌شود.	۲۷۰۹۰۹	۳۷۸۹۳۴۱	ZS-۱۰	۷
۲,۷	۲۶	ICP	این نمونه از یک رگه سیلیسی ژاپسبروئید داخل اسکارن گرفته شده است. اکسیدهای آهن بوفور همراه با مالاکیت در متن سنگ دیده می‌شود.	۲۷۰۹۰۹	۳۷۸۹۳۴۱	ZS-۱۱	۸
		XRD	این نمونه از واحد اسکارن برداشت شده است.	۲۷۰۹۰۹	۳۷۸۹۳۴۲	ZS-۱۲	۹
		Polish	این نمونه از اسکارن علیمداد برداشت شد. در مجاورت توده نفوذی، مرمرها دارای کانی‌سازی می‌باشند. در این نمونه مالاکیت و کالکوپیریت دیده می‌شود.	۲۷۵۳۹۸	۳۷۸۹۰۸۹	ZS-۱۳	۱۰

ادامه جدول ۱۸-۴

W	Au	نوع مطالعه	شرح	مختصات نمونه		شماره نمونه	ردیف
				X	Y		
۲	۴۳	ICP				ZS-۱۴	۱۱
		Polish	از آهک اسکارنی شده و از مجاورت توده نفوذی برداشت شده است. کانی های کالکوپیریت، کالکوسیت و گوتیت در آن دیده می شوند.	۲۷۰۹۰۹	۳۷۸۹۳۴۱	ZS-۱۵	۱۲
		Polish	این نمونه از سنگ آهک کریستالیزه که دارای کانی سازی مس بصورت دیستمینیت در متن سنگ می باشد، برداشت شده است.	۲۷۰۹۰۹	۳۷۸۹۳۴۱	ZS-۱۶	۱۳
		Thin Sec.		۲۷۰۹۰۹	۳۷۸۹۳۴۱	ZS-۱۷	۱۴
۶۱,۹	۲۶	ICP	این نمونه از کنکات توده نفوذی زون اسکارن انجیره این نمونه گرفته شده بشدت سیلیسی شده است و کانی سازی مس(مالاکیت-آزوریت-کالکوپیریت) منگر همچنین اپیدوت در سنگ دیده می شود.	۲۷۰۸۳۶	۳۷۸۹۴۱۸	ZS-۱۸	۱۵
۲۰۸	۳۷	ICP	این نمونه از کنکات متامورفیسم در حاشیه توده نفوذی گرفته شد. سنگ بشدت سیلیسی است و کانی سازی مالاکیت و منگنز در سنگ دیده می شود.	۲۷۱۱۰۵	۳۷۸۹۱۷۸	ZS-۱۹	۱۶
۱۲,۹	۱	ICP	این نمونه از آهک کریستالیزه غرب روستای ابرینه سامن گرفته شد. اکسیدهای آهن و قلوه های سیلیسی در این آهک مشاهده می شود.	۲۷۸۵۳۴	۳۷۹۱۰۸۹	ZS-۲۰	۱۷
۴۰,۳	۵۵۰	ICP	این نمونه از سیلیس قهوه ای و سیاه رنگ در زون اسکارن همراه با کانی سازی مس.			ZS-۲۱	۱۸
۱	۷	ICP	این نمونه از سیلیسها قهوه ای همراه با اکسیدهای آهن و کانی سازی مس	۲۷۹۱۸۵	۳۷۹۱۱۱۷	ZS-۲۲	۱۹
۳۱,۹	۱	ICP	این نمونه از توده نفوذی گرانودیوریتی در جنوب سراب سامن گرفته شد. اپیدوت در سنگ دیده می شود.	۲۷۹۶۸۰	۳۷۸۸۶۵۰	ZS-۲۳	۲۰
		Thin Sec.	این نمونه از توده نفوذی گرانودیوریتی در جنوب سراب سامن گرفته شد. اپیدوت در سنگ دیده می شود.	۲۷۹۶۸۰	۳۷۸۸۶۵۰	ZS-۲۴	۲۱
		XRD	این نمونه از کانی سازی اپیدوت، کوارتز در توده نفوذی جنوب غرب سامن گرفته شد.	۲۷۹۴۰۳	۳۷۸۸۳۹۴	ZS-۲۵	۲۲
		Thin Sec.	این نمونه از کانی سازی اپیدوت، کوارتز در توده نفوذی جنوب غرب سامن گرفته شد.			ZS-۲۶	۲۳

## فصل پنجم

شما (تلفیق اطلاعات و

(تسبیحه گیری) و

پیشنهادها

## ۱-۱- نتایج

با توجه به اطلاعات موجود و عملیات اکتشافی صورت گرفته در منطقه سامن و تلفیق اطلاعات زمین‌شناسی، کانی سنگین و سنگ اهم نتایج زیر ارائه می‌گردد:

۱. محدوده مورد اکتشاف به وسعت ۷۷ کیلومتر مربع واقع در کمربند ماگماتیسم سنتندج

سیرجان بوده و از روند عمومی ساختاری این زون پیروی می‌نماید. با توجه به نقشه

۱:۲۰،۰۰۰ تهیه شده در نیمه شمالی محدوده، توده‌های گرانیتوئیدی به صورت ۵ زون

بیرون‌زده مستقل از یکدیگر گسترش دارند که از نظر سنی جوانتر از سنگهای تریاس-

ژوراسیک می‌باشد، لذا واحدهای سنگی قدیمتر را سخت تحت تأثیر قرار داده و در

کنتاکت خود با شیستهای تریاس و هورنفلس‌های ژوراسیک باریکه‌هایی از اسکارن را

ایجاد کرده‌اند.

۲. تزریق توده گرانیتوئیدی در واحدهای سنگی تریاس ژوراسیک احتمالاً موتور حرارتی

ایجاد کننده پدیده دگرگونی، اسکارن‌زائی و تشکیل رگه‌های سیلیسی در حاشیه و در

داخل واحدهای قدیمتر و همچنین تزریق رگه‌های سیلیسی متعلق به فازهای تأخیری در

متن توده آذرین است و در نتیجه کانی‌سازی‌های احتمالی منطقه در رابطه با پدیده‌های

فوق می‌توانند باشند.

۳. مطالعات صورت گرفته روی ۱۰۰ نمونه کانی سنگین که با اهداف کنترل کانی‌سازی و

پتانسیل بالای کانی‌سازی طلا و دیگر کانی‌های همراه است، به طوریکه بیش از ۲۰

درصد نمونه‌های مذکور محتوی ذرات طلا (بین ۱ تا ۷ ذره) است، درشتی ذرات

طلای مشاهده شده بین ۱۰۰ تا ۱۷۰۰ میکرون می‌باشد. درشتی برخی از ذرات،

نzdیک بودن نمونه به منبع کانی‌سازی را تأیید می‌نماید.

۴. با توجه به تمرکز نمونه‌های کانی سنگین محتوی طلای آزاد که اکثرًا در واحدهای

هورنفلس ژوراسیک گسترش دارد، احتمال به وجود آمدن پدیده کانی‌سازی طلا در

واحدهای مذکور به مراتب بیشتر از کانی‌سازی در خود توده گرانیتوئیدی است. (نقشه

شماره ۳-۳).

۵. حضور کانی‌های هم‌خانواده طلا، چون شلیت که در بیش از ۷۴٪ نمونه کانی سنگین (۷۴٪

از کل نمونه‌ها) عیاری بین ۰/۰۱ تا ۱۵۳ گرم درتن دارند. مقایسه نقشه‌های ۳-۳ و ۳-۴

انطباق جامع و گستردگی طلا و شلیت، به ویژه در نیمه شمالی و در محدوده سنگ‌های

هورنفلس را نشان می‌دهد (نمونه‌های ZSH-۶۳ و ZSH-۶۶ بیشترین عیار طلا را

دارند. نمونه شماره \_\_\_\_\_ د).

ZSH-۶۸ بیشترین تمرکز شلیت به مقدار ۱۵۳ گرم در تن واقع در محدوده سنگهای شیست لکه دار (Spotted Schist) می باشد. ناگفته نماند که نمونه های واقع در محدوده گرانیتوئید، محتوی مقادیر قابل توجهی شلیت بوده است که احتمالاً دارای منشاء اولیه و همراه با تشکیل رگه های آپلیتی به وجود آمده اند.

۶. همراهی کانیهای اورپیمنت (As<sub>2</sub>S<sub>3</sub>) و سینابر (HgS) با طلا به ویژه در بخش نیمه شمالی محدوده اکتشاف کانی سازی طلا را تأیید می نماید.

۷. کانی کاسیتیریت (SnO<sub>2</sub>) در ۱۰ درصد نمونه های اخذ شده مشاهده گردیده است و همبستگی شدیدی با کانیهای شلیت دارند که نشان دهنده منشاء کانی سازی یکسانی هستند.

۸. علاوه بر کانیهای فوق الذکر نیمه شمالی محدوده مورد مطالعه کانیهایی چون پیریت، کالکوپیریت، ملاکیت، مس طبیعی، کوپریت و همچنین کانی پولولیت (Ca MoO<sub>4</sub>) که کانی مولیبدن دار ایزومرف با شلیت است و همچنین کانیهای گالن، اسفالریت، همی مورفیت در حد مقادیر کم (چند ذره pts) در اکثر نمونه های کانی سنگین مشاهده گردیده که تماماً نشان از حضور پدیده کانی سازی به ویژه در سنگهای دگرگونی و حاشیه توده گرانیتوئیدی دارند.

۹. نتایج حاصل از ۲۷ نمونه چکشی (Chip Sample) که از رگه های سیلیسی و واحدهای مختلف سنگی برداشت و مورد تجزیه ICP فرار گرفته اند، نشان می هد که واحد سنگی گرانودیوریتی مینرالیزه رگه های سیلیسی و واحد اسکارنی دارای میانگین بیشتری برای برخی عناصر به ویژه طلا، مس، ارسنیک، بیسموت و روی می باشند. لازم به ذکر است که عیار عناصر فوق الذکر در نمونه های مربوط به رگه های سیلیسی بالاترین مقدار را نشان می هند. (حداکثر عیار طلا ۵۴۶ ppb و میانگین ۱۴۹ ppb).

۱۰. در محدوده زون اسکارن انجیره واقع در شرق محدوده اکتشافی تعداد ۴ ترانشه به متراز ۱۴۱ متر حفر گردیده که جمعاً ۴۷ نمونه از واحدهای مختلف از دیواره ترانشه برداشت گردیده است. از مجموع نمونه ها ۱۶ نمونه متعلق به سنگهای گرانودیوریتی ۶ نمونه گرانودیوریت آلتره و ۲۵ نمونه از زون اسکارنی واقع در در دیواره ترانشه می باشند. تجزیه نمونه و بررسیهای انجام شده نشان می دهد که عیار عناصر طلا، آهن، نقره، ارسنیک، سرب و روی در محدوده واحدهای اسکارنی افزایش چشمگیری دارند. در صورتیکه در محدوده سنگهای گرانودیوریتی مقادیر عناصر فوق به طور ناگهانی و

همسو کاهش می یابند، لذا اگرچه حداکثر عیار طلا در دیواره ترانشه به ۱۴۹ و مقدار تنگستن به ۳۹۹ گرم در تن می رسد که از نقطه نظر اقتصادی چندان قابل اهمیت نیست، ولی از نقطه نظر حضور پدیده کانی سازی در زون های اسکارنی حائز اهمیت بوده و در صورتی که تعداد ترانشه ها و نمونه ها افزایش یابد، امکان دستیابی به زون های اقتصادی چندان بعید نمی باشد.

۱۱. مطالعه مقاطع صیقلی نشان دهنده حضور کانی های کالکوپیریت، بورنیت، کالکوسیت، کوولیت، اکسید آهن، مگنتیت، پیریت که درشتی برخی از کانی های گروه مس تا بیش از ۲۰۰ میکرون و حدود ۳٪ مجموع کانیها را تشکیل می دهند. فراوانی پیریت حدود ۱٪ و مگنتیت ۲٪ می باشد.

۱۲. با عنایت به تعداد کم نمونه های چکشی (۲۷ عدد) و عدم برداشت نمونه های ژئوشیمیایی (شرح خدمات فاقد برداشت نمونه های ژئوشیمیایی است) که سبب به وجود آمدن خلا اکتشافی گردیده است و مقیاس اکتشاف ۱:۲۰،۰۰۰ صورت گرفته و کمبودهای دیگر که در فصول گزارش اشاره شده است، در مجموع نتایج حاصل حضور کانی سازی طلا و دیگر عناصر همراه را تأیید می نماید و در نهایت ۳ محدوده اولویت دار اکتشافی جهت ادامه اکتشاف، تعیین و پیشنهاد گردیده است.

با توجه به نقشه زمین شناسی منطقه، در جدول ۱-۵ ارتباط نمونه های کانی سنگین حاوی طلا با واحد های نفوذی (گرانیت، گرانودیوریت) بررسی شده است.

از مطالب جدول ۱-۵ چنین بر می آید که تعداد ۱۱ نمونه حاوی طلا تقریبا هیچگونه ارتباطی با توده نفوذی ندارند و تنها دو نمونه حاوی طلا ارتباط کاملی را با توده نفوذی نشان داده اند. به احتمال قریب به یقین طلای این نمونه ها نیز از واحد هایی دیگر همچون رگه های سیلیسی تامین شده است. بنابراین بایستی به محیط های اسکارنی در حاشیه توده ها، رگه های سیلیسی و یا Sheeted veins در درون توده نفوذی و رگه هایی در فاصله های نسبتاً زیاد از توده Peripheral veins توجه ویژه ای نمود.

جدول ۱-۵- ارتباط نمونه‌های کانی سنگین حاوی طلا با رخمنوهای گرانیتی

ردیف	محیط نمونه برداری کانی سنگین			ارتباط حوضه طلا دار با رخمنون توده گرانیتی			نمونه‌های سنگ برداشت شده از حوضه		توضیحات
	شماره نمونه	تعداد ذره طلا	عیار شلیت (ppm)	ارتباط کامل	عدم ارتباط	ارتباط نسبی (%)	تعداد	بیشترین مقدار طلا (ppb)	
۱	ZSH-۶۶	۷	۶,۶			۳۰	۷	۱۱۸	بخشن عمده حوضه از درون هورنفلسها میگذرد، نمونه‌های سنگی (میترالیزه) در کنتاکت با توده و در نزدیکی نمونه کانی سنگین گرفته شده است.
۲	ZSH-۴۱	۴	۴,۸		✓		۱	۱	آبراهه عمده از هورنفلسها و مرمر میگذرد، نمونه میترالیزه از یک رگه سیلیسی برداشت شده است.
۳	ZSH-۶۳	۴	۰,۰۱			۷۰	۱	۰,۵	
۴	ZSH-۲۴	۳	۱۶,۴			۴۰	۲	۸۲	نمونه‌های میترالیزه بصورت نمونه‌های نابرجا (Float) برداشت شده است.
۵	ZSH-۴۸	۳	۰,۰۱			۷۰	۱	۰,۵	نمونه سنگی با حوضه ZSH-۶۳ یکسان است.
۶	ZSH-۱۸	۳	۲۶,۴		✓		....	....	
۷	ZSH-۱۴	۲	۰,۰۱	✓			۱	۵۴۶	بیشترین مقدار طلا در تمام نمونه‌های سنگی (Silica Vein)
۸	ZSH-۱۵	۲	۰,۰۱	✓			....	....	
۹	ZSH-۴۲	۲	۷۵,۶		✓		....	....	
۱۰	ZSH-۴۳	۲	۲۴		✓		....	....	
۱۱	ZSH-۷۰	۲	۱۶,۲			۱۰	....	....	
۱۲	ZSH-۷۷	۲	۰,۰۱		✓		....	....	
۱۳	ZSH-۱۶	۱	....		✓		....	....	بیشترین مقدار پیرولوژیت در کانیهای سنگین
۱۴	ZSH-۲۱(۲)	۱	۰,۶۶		✓		....	....	
۱۵	ZSH-۲۹	۱	۰,۰۱		✓		....	....	
۱۶	ZSH-۳۱	۱	۰,۰۱		✓		۱	۸	
۱۷	ZSH-۳۶	۱	۰,۰۱		✓		۲	۰,۵	بالاترین مقادیر پیریت اکسید و سینابر در این حوضه مشخص شده است.
۱۸	ZSH-۴۶	۱	۰,۰۱		✓		....	....	
۱۹	ZSH-۶	۱	۰,۴۵			۶۰	....	....	
۲۰	ZSH-۸۵	۱	۹,۶			۰	....	....	
۲۱	ZSH-۹۴	۱	۰,۷۸			۸۰	....	....	

نمونه‌های برداشت شده از ۴ ترانشه حفر شده در منطقه اسکارن انجیره نشان از تمرکز نسبی (نه به معنای کانی‌سازی اقتصادی) عناصر طلا، مس، سرب، روی، ارسنیک، بیسموت، آنتیموان، قلع، تنگستان و مولیبدن در واحد اسکارنی دارد. مقادیر ماکزیمم و میانگین طلا به ترتیب ۱۶۹ و ۵۲ گرم در تن و همین مقادیر در مورد تنگستان به ترتیب ۳۹۹ و ۵۲ گرم در تن بوده است.

در مرحله اول وهمچنین در مرحله کنترل ناهنجاری تعدادی نمونه سنگی (عمدتاً مینرالیزه) برداشت گردیده از میان آنها ۲۷ نمونه آنالیز شده که نمونه‌های مرتبط با رگه‌های سیلیسی و اسکارنها غنی شدگی متمایزی را نشان داده اند.

نمونه‌هایی که بیشترین مقدار طلا را داشته (۵۴۶ و ۵۲۳ میلی گرم در تن) از نمونه‌های رگه‌های سیلیسی بوده اند.

برای شناخت بیشتر از نحوه هماهنگی و انطباق در نمونه‌های کانی‌سنگی و نمونه‌های مینرالیزه و آگاهی در زمینه اشکالات موجود در ارتباط با تلفیق اطلاعات در این دو محیط جدول ۲-۵ تنظیم شده است.

در این جدول نتایج آنالیز ۱۱ نمونه مینرالیزه که بیشترین مقادیر طلا، مس و تاحدودی نقره، روی، آنتیموان و ارسنیک را داشته اند همراه با نمونه‌های کانی‌سنگی مرتبط با آنها نشان داده شده است. نتیجه بررسی این جدول به شرح زیر است:

- از حوضه‌های آبریز اصلی در توده سراب سامن (شمال شرق منطقه) نمونه کانی‌سنگی برداشت نشده بنابراین از وضعیت کانی‌سنگی حوضه ZS-۲۱ اطلاعی در دست نیست، این نمونه در ردیف دوم نمونه‌های مینرالیزه طلا دار ثبت شده است.
- بیشترین مقدار طلا در نمونه ZSA-۲۰ عیار سنگی شده است. در این نمونه علاوه بر بیش از ۵۴ گرم در تن طلا حدود ۱٪ نقره و مقادیر قابل توجه ارسنیک و آنتیموان یافت شده است. نمونه کانی‌سنگی این حوضه (نمونه ZSH-۱۴) در خروجی آبراهه و در فاصله‌ای حدود ۴۲۰ متری فروdest نمونه ZSA-۲۰ برداشت شده است. در این نمونه دو ذره طلا (با اندازه‌های ۱۲۵ و ۲۰۰ میکرون) یافت شده اما نشانی از کانیهای سنگی مس و ارسنیک (اورپیمنت، رالگار) بدست نیامده است.
- بیشترین ذرات طلا در کانی‌سنگی (۷ ذره) در خروجی آبراهه ای برداشت شده که از فراز آن و در فاصله‌ای حدود ۱ کیلومتر دو نمونه مینرالیزه برداشت شده که یکی از آنها اسکارن و دیگری گرانودیوریت مینرالیزه گزارش شده است.
- در نمونه‌های مینرالیزه مقادیر طلا در حد ۱۰۱ تا ۱۱۸ ppb ثبت شده است در صورتیکه منشا نمونه کانی‌سنگی که در آن ۷ ذره طلا (با ابعادی از حداقل ۳۰۰ تا حداقل ۱۰۰۰ میکرون) یافت شده

بایستی عیاری بیش از نمونه‌های مذکور داشته باشد.

- اما همین نمونه‌های مینرالیزه حاوی بیشترین مقدار نقره ( $53,1 \text{ ppm}$ )، ارسنیک ( $1150 \text{ ppm}$ )، آنتیموان ( $2100 \text{ ppm}$ ) و مقادیر قابل توجهی از مس ( $1/7 \text{ درصد}$ ) می‌باشند. در صورتیکه در نمونه کانی‌سنگین خروجی آن تنها مقدار جزئی از کانیهای مس ( $\text{PTS} = 1,01 \text{ ppm}$ ) دیده شده و نشانی از کانیهای ارسنیک (اورپیمنت و رالگار) مشاهده نشده است.
- نزدیکترین نمونه کانی‌سنگین به نمونه‌های مینرالیزه و ترانشه‌های منطقه اسکارن انجیره نمونه ZSH-۹۳ می‌باشد که به استثنای مقدار نسبتاً قابل توجهی از پیریت اکسید ( $332,5 \text{ ppm}$ ) و مقدار جزئی از کانیهای مس (مالاکیت در حد PTS و شلیت (PTS) نشان دیگری از کانی‌سازی را در بر نداشته است. در صورتیکه در نمونه‌های سطحی و نمونه‌های ترانشه این منطقه بیشترین مقادیر تنگستن ( $399 \text{ ppm}$ )، روی ( $980 \text{ ppm}$ ), جیوه ( $3,43 \text{ ppm}$ ) و مقادیر قابل توجهی از مس (از حداقل  $2,60$  تا حداً کثر  $2,16 \text{ درصد}$ ), نقره ( $1,052,9 \text{ ppm}$ ), ارسنیک و بیسموت عیار سنجدی شده است.

محدوده‌هایی که بیشترین مجموعه اطلاعات (نمونه‌های کانی‌سنگین – نمونه‌های مینرالیزه – مقاطع صیقلی) را در بر داشته اند در قالب ۶ محدوده بررسی شده و انطباق یا عدم انطباق نتایج در محیط‌های مختلف مورد بررسی قرار گرفته است. تقریباً در تمام مناطق، عدم انطباق بین عیار مس، سرب و روی با کانیهای سنگین همین عناصر در نمونه‌های کانی‌سنگین مشاهده شده است. اما شواهد کانی‌سازی به نحو بارزی در نمونه‌های صیقلی گزارش شده است. لازم به ذکر است که نشانی از طلا در نمونه‌های صیقلی دیده نشده است.

در سایر مطالعات محرز شده است که کانی‌سازی طلا و تا حدودی تنگستن در ارتباط با جایگیری توده نفوذی در سنگهای میزان کربناته و ماسه سنگی است. غنی شدگی نسبی طلا در واحدهای اسکارنی ترانشه‌ها و رگه‌های سیلیسی و اسکارنهای پراکنده در سطح منطقه دلیلی بر این مدعاست بنابراین اثرات سیالات هیدرоторمالی ناشی از توده نفوذی در کانی‌سازی در این واحدها مشخص شده است. زونهای شکستگی نسبتاً گسترده‌ای که بشکل یک ساختار حلقوی و گسلهای شعاعی بخش اعظمی از منطقه را تحت تاثیر قرار داده نیز میتواند معبری برای گذر سیالات هیدرоторمالی و مکان مناسبی برای کانی‌سازی باشد.

جدول ۲-۵- مقایسه نتایج آنالیز ICP برخی نمونه‌های میزابزه با نمونه‌های متناظر کانی سنگین

Row	SampID	Lithology	Au(ppb)	Hg	Ag	As	Bi	Cu	Mo	Pb	Sb	Zn	Sn	W
۱	ZSA-۲۰	Silica Vein	۵۴۶	۰,۲	۹,۹۴	۸۶۹	۰,۸	۱۴۳۰۰	۳,۱	۱۶,۵	۹۶۷	۱۹,۳	۰,۲	۰,۱
۲	ZS-۲۱	Silica Vein	۵۲۳	۰,۰۳	۸,۷۶	۷۸۰	۱۸۸	۷۹۸۰۰	۳۶,۴	۴۱۶	۶۱,۳	۱۷۴	۱۰,۹	۲۰,۳
۶	ZSA-۵	SK	۱۱۸	۱,۳۴	۵۳,۱	۲۷,۵	۱۲۴	۱۰۰۰	۱۹,۵	۱۷,۰	۹,۳	۵۰,۳	۳,۲	۱۸۹
۸	ZSA-۴	Min.Gd	۱۰۱	۰,۲۷	۴۹,۱	۱۱۰	۲۲۷	۱۶۷۰۰	۲۱,۹	۱۲۲	۲۱۰۰	۱۲۰۰	۲,۹	۲,۱
۳	ZT۴S-۹	SK-Tr	۱۴۹	۱,۰۸	۶,۴۳	۹۶,۶	۱۲۸	۲۶۲۰	۰,۲	۷۹	۶,۳	۲۴۰۰	۸,۰	۱۷۷
۴	ZS-۶	SK	۱۴۴	۰,۶۶	۵۲,۹	۶۳۰	۱۱۴۰	۱۲۳۰۰	۱,۹	۷۷۹	۲۸۴	۷۳۸۰	۳,۷	۷,۹
۰	ZT۴S-۸	SK-Tr	۱۲۴	۰,۲۷	۴,۰۹	۱۰۹	۳۹,۸	۱۴۰۰۰	۳,۱	۲۳۴	۷,۲	۷۸۲۰	۲۱,۴	۲۱,۲
۷	ZT۱S-۷	SK-Tr	۱۱۰	۲,۰۴	۱۱,۶	۱۰۳	۴۲۲	۳۰۳۰	۹,۳	۲۱۰	۳۶,۸	۹۸۰۰	۷	۲۹۳
۹	ZT۴S-۱۰	SK-Tr	۹۹	۳,۴۳	۱۳,۰	۵۳,۹	۱۲۴	۲۱۶۰۰	۱۶,۶	۷۶,۴	۱۶,۸	۴۸۲	۶,۴	۳۹۹
۱۰	ZS-۱۰	Min.Gd	۷۹	۰,۱۹	۲۲,۳	۱۹۰	۱۱۱۰	۹۴۲۰	۱,۳	۴۷,۹	۳۶,۸	۹۰۹۰	۶,۳	۳۶,۸
۱۱	ZT۴S-۶	SK-Tr	۶۴	۱,۰۱	۴,۶۷	۲۳۰	۵۶,۳	۱۱۱۰۰	۷,۱	۳۶,۶	۱۰	۶۰,۸	۱۹,۲	۷۸,۴

Row	SampID	HMC Related	Gold grain(s)	Scheelite	Fe...oxide	Ti. Minerals	Garnets	Andalusite	Py(Total)	Pb,Zn Min.	Cu,Mo Min.	Cinnabar	Orpiment	Corundum
۱	ZSA-۲۰	ZSH.۱۴	۲۰ دره	۰,۰۱	۱۱۹,۱۹۲	۷,۰۱۰	۲۲۸	...	۱۷۱,۰۲	۰,۰۱	...	۰,۰۱	...	...
۲	ZS-۲۱	...	...	...	...	...	...	...	...	...	...	...	...	...
۶	ZSA-۵	ZSH.۶۱	۷ دره	۷,۲	۱۱۷,۴۷۸	۸۴,۷۲	۱۱۷۰,۴	۴۰,۷۲	۱۰,۴۵	۰,۰۲	۰,۰۱	...	...	...
۸	ZSA-۴		۷ دره	۰,۰۱	۱۱۷,۴۷۸	۸۴,۷۲	۱۱۷۰,۴	۴۰,۷۲	۱۰,۴۵	۰,۰۲	۰,۰۱	...	...	...
۳	ZT۴S-۹	ZSH.۱۲	...	...	...	...	...	...	...	...	...	...	...	...
۴	ZS-۶		...	...	...	...	...	...	...	...	...	...	...	...
۵	ZT۴S-۸		...	...	...	...	...	...	...	...	...	...	...	...
۷	ZT۱S-۷		...	...	...	...	...	...	...	...	...	...	...	...
۹	ZT۴S-۱۰		...	...	...	...	...	...	...	...	...	...	...	...
۱۰	ZS-۱۰		...	...	...	...	...	...	...	...	...	...	...	...
۱۱	ZT۴S-۶		...	...	...	...	...	...	...	...	...	...	...	...

از نتایج آنالیز ICP ۱۷ نمونه غیر آلتره در بررسیهای تفریق ماگمایی، شناخت نسبی گرانیتهای مولد کانی‌سازی، درجه اکسیداسیون ماگما، رابطه بین تفریق و اکسیداسیون در ماگماهای میزان ذخایر کانساری و نهایتا جایگاه تکتونیکی و تشکیل توده‌های نفوذی استفاده شده است. نتایج بدست آمده بصورت خلاصه در زیر آمده است:

- ✓ تفریق در توده گرانیتوئیدی سامن در حد متوسط تا کم صورت گرفته است.
- ✓ توده گرانیتوئیدی سامن در سری مگنتیتی قرار گرفته است. (بر اساس محاسبه درجه اکسیداسیون ماگما و محاسبه رابطه بین تفریق و اکسیداسیون ماگما)
- ✓ توده نفوذی سامن میتواند تاحدودی مولد ذخایر طلا - بیسموت باشد (بیسموت در رگه‌های سیلیسی انجیره تا حداکثر  $2130 \text{ ppm}$  عیار داشته است) اما میزان حداکثر عیار طلا تنها در دو نمونه (دو رگه سیلیسی در شرق و شمال شرق منطقه) اند کی بیش از  $0,5 \text{ ppm}$  گزارش شده است.
- ✓ نسبت  $\text{Au}/\text{Ag}$  در اسکارن انجیره در حدود  $0,02$  می باشد، در حالیکه این نسبت در ذخایر مشابه در دنیا به حدود ۱ میرسد.

با توجه به مطالب مذکور نمیتوان انتظار کانی سازی اقتصادی از تنگستن را داشت زیرا تنگستن در محیط کانی سنگین و نمونه‌های مینرالیزه غنی شدگی چندانی نشان نداده است. اما همپوشانی بخش عمده‌ای از ناهنجاریهای کانی سنگین شنلیت و طلا جای امیدواری دارد. در مورد طلا با توجه به تفریق اندک توده نفوذی، کانی سازی طلا در مناطق ناهنجاری در حد اقتصادی نبوده اما نمونه‌های کانی سنگین و اندازه ذرات طلا در آنها و تعداد نمونه‌های طلا دار که بیش از ۲۰٪ نمونه‌های کانی سنگین بوده اند روزنه امید دیگری را در پیش رو قرار داده اند.

## ۵-۲-۵- پیشنهادات

### ۵-۱-۲-۵- محدوده‌های پیشنهادی جهت ادامه اکتشاف با اهداف طلا و تنگستن

۵-۱-۱- محدوده کوه حرتوسیا با اولویت اول به وسعت ۹ کیلومترمربع عیار نمونه‌های مینرالیزه با حداکثر عیار  $1/67$  درصد مس،  $0/12$  درصد روی،  $1150$  گرم درتن ارسنیک،  $2100$  گرم در تن آنتیموان،  $227$  گرم درتن بیسموت،  $53$  گرم درتن نقره و  $118$  ppb طلا، بعلاوه  $12$  نمونه کانی سنگین محتوی  $2$  تا  $7$  ذره طلا و شنلیت در  $16$  نمونه در اولویت اول اکتشافات  $1:5000$  قرار دارد.

۵-۱-۲-۱- محدوده شمال شرق قلعه علیمرادخان با اولویت دوم به وسعت ۵ کیلومترمربع مقدار طلا در نمونه مینرالیزه بالاترین عیار  $546$  و  $523$  ppb، ارسنیک  $869$  گرم درتن، مس  $1/4$  درصد و آنتیموان  $967$  گرم درتن است.

۱-۲-۳-۴- محدوده اسکارنی شمال غرب روستای انجیره با اولویت سوم به وسعت ۶ کیلومترمربع حداقل عیار طلا ppb ۱۴۴، آرسنیک ۶۳۵ گرم درتن، ییسموت ۲۱۳۰ گرم درتن، تنگستان ۲۰۸ گرم درتن و مس ۱/۳۴ درصد در نمونه های مینرالیزه است. در نمونه های مقاطع صیقلی مقدار کالکوپیریت به ۲ درصد نیز رسیده است.

اکتشافات مقدماتی طلا و  
تنگستان غرب سامن  
«نتایج و پیشنهاد ها»



شکل ۱-۵- محدوده معرفی شده جهت فعالیت‌های اکتشافی بعدی، بر روی نقشه زمین‌شناسی و  
ژئوشیمی

## ۲-۲-۵- شرح خدمات پیشنهادی

با توجه به ساختمان زمین‌شناسی مشابه و نتایج حاصل از اکتشافات صورت گرفته شرح خدمات برای مناطق اولویت دار یکسان می‌باشد. لذا شرح خدمات پیشنهادی برای هر کیلومترمربع ارائه می‌گردد:

- ۱- تهیه نقشه زمین‌شناسی-معدنی ۱:۵۰۰۰ شامل تفکیک واحدهای سنگی، زونهای آلتراسیون، ساختمان زمین‌شناسی، ارائه رگه‌ها و زونهای کانی‌سازی وغیره. برداشت نمونه‌های چکشی از رگه‌های سیلیسی و برشی، اسکارن وغیره به تعداد ۱۰ عدد در هر کیلومترمربع با اهداف تجزیه عناصر، مطالعات سنگ‌شناسی، مقاطع صیقلی، XRD وغیره.
  - ۲- مطالعه ژئوشیمیایی شامل:
    - برداشت ۱۰ تا ۱۵ نمونه از رسوبات آبراهه‌ای. تعداد کل نمونه‌ها در محدوده با اولویت اول (۹ کیلومترمربع)، ۱۰۰ الی ۱۵۰ عدد و در محدوده دوم و سوم (هر کدام ۵ و ۴ کیلومترمربع) جمعاً ۵۰ الی ۷۵ عدد می‌باشد.
    - برداشت ۵ نمونه کانی سنگین در هر کیلومتر مربع
    - مطالعه نمونه‌های مینرالیزه به روش‌های XRD و آنالیز ICP.
    - تلفیق نتایج حاصل از مطالعات زمین‌شناسی، کانی سنگین و ژئوشیمیایی و تهیه نقشه‌های آنومالی
    - کنترل زونهای پتانسیل دار و برداشت نمونه‌های چکشی و کانی سنگین از زونهای پتانسیل دار
    - تعیین نقاط مناسب حفر ترانشه به متراث مناسب
    - حفر ترانشه و برداشت نمونه از دیواره ترانشه‌ها
    - تلفیق کلیه اطلاعات و تهیه گزارش پایانی
- شرح خدمات فوق کلی و پیشنهادی است و هرگونه تغییرات در شرح خدمات بستگی به مساحت محدوده اکتشاف، بودجه مصوب و نظر کارفرما دارد. اما براساس مطالعات انجام شده و داده‌های حاصل انجام مطالعات اکتشافی در پهنه اولویت اول به وسعت ۱۵ کیلومترمربع، تأکید و توصیه می‌شود.

## منابع

برزگر، محمود، راهنمای جامع ۱۰ SPSS  
بونیک، ولنگانگ، واکاوی کانی‌های سنگین، ترجمه فریدون مهرابی، ۱۳۷۸، انتشارات دانشگاه شیراز.  
حسنی پاک، علی اصغر، (۱۳۷۸)، اکتشافات ذخایر طلا، دانشگاه تهران. ص ۶۷-۹۳.  
درویشزاده، علی، ۱۳۷۰، زمین‌شناسی ایران، موسسه انتشاراتی امیرکبیر، ص ۱۹۶-۱۹۷.  
کاوشگران (۱۳۸۳)، گزارش اکتشافات ژئوشیمیایی برگه یکصدهزار ملامبر.  
مصطفوی، عباس، ۱۳۸۴، کانسارها و نشانه‌های معدنی طلا در ایران، مؤسسه پژوهشی آرین زمین، ص ۵۳-۵۴.

Baker T, Pollard PJ, Mustard R, Mark G & Graham JL. ۲۰۰۵. A comparison of granite-related tin, tungsten and Gold-bismuth deposits: implications for exploration. SEG Newsletter ۶۱(April): ۵-۱۷.

Blevin, P.L., ۲۰۰۵. Intrusion related gold deposits, Online paper.

Blevin PL. ۲۰۰۴. Redox and compositional parameters for interpreting the granitoid metallogeny of eastern Australia: implications for Gold-rich ore systems. Resource Geology ۵۴(۳): ۲۴۱-۲۵۲.

Flanigan Brian, Freeman Curt, Newberry Rainer, McCoy Dan, Hart Craig, (۲۰۰۰) Exploration models for mid and Late Cretaceous intrusion-related Gold deposits in Alaska and the Yukon Territory, Canada; in Geology and Ore Deposits ۲۰۰۰: The Great Basin and beyond proceedings volume II, pages ۵۹۱-۶۱۴.

Goldfarb, R.J., Hart, C.J.R., Miller, L., Miller, M., Farmer, L. and Groves, D.I., ۲۰۰۰. Tintina Gold Belt A global perspective. British Columbia and Yukon Chamber of Mines Cordilleran Round Up, Special Volume ۲, p. ۵-۲۴.

Goldfarb, R.J., Groves, D.I., Gardoll, S., ۲۰۰۱. Orogenic gold and geologic time: a global synthesis. Ore Geology Reviews, No. ۱۸ p. ۱-۷۵.

Ishihara, S., ۱۹۸۱. The granitoid series and mineralization. Economic Geology, ۷۶th, Aniv. Pp. ۴۸۴-۴۸۵.

Lang JR & Baker, T. ۲۰۰۱, Intrusion related gold systems: the present level of understanding. Mineralium Deposita, ۳۶: ۴۷۷-۴۸۹.

McCoy, D., Newberry, R.J., Layer, P., DiMarchi, J.J., Bakke, A., Masterman, J.S. and Minehane, D.L., ۱۹۹۷. Plutonic-related gold deposits of interior Alaska: Economic Geology Monograph ۹, p. ۱۹۱-۲۴۱.

Meinert, L. D., ۱۹۸۸, Gold in Skarn Deposits – A Preliminary Overview. In Proc. ۵<sup>th</sup> Quaderennial LAGOD Symposium.

- Mustard R. ۲۰۰۱. Granite-hosted Gold mineralization at Timbarra, northern New South Wales, Australia. Mineralium Deposita ۳۶:۵۴۲–۵۶۲.
- Newberry, R. J., ۱۹۸۲, tungsten-bearing skarn of Sierra Nevada. The pine Creek Mine: Econ. Geol. , V. ۷۷, pp. ۸۲۳–۸۴۴.
- Pearce, J.A., Harris, B.W., and Tindle, A. G., ۱۹۸۴, Trace element discrimination diagrams for the Tectonic interpretation of granitic rocks, Journal of Petrology, Vol. ۲۵, Part ۴, p. ۹۵۶–۹۸۳.
- Sillitoe R. H., ۱۹۸۷, Copper, Gold and subduction: a trans pacific perspective. In proc. Pacific congress, ۸۷, gold coast, Queensland, Australian Inst. Of mining and metallurgy, parkville, victoria, ۳۹۹–۴۰۳.
- Stocklin, J. (۱۹۷۷), Structural Correlation of the Alpine ranges between Iran and Central Asia. Memoire Horsserie, No. ۸ de la Sco. Geol. De France, ۸, pp. ۳۳۳–۳۵۳.